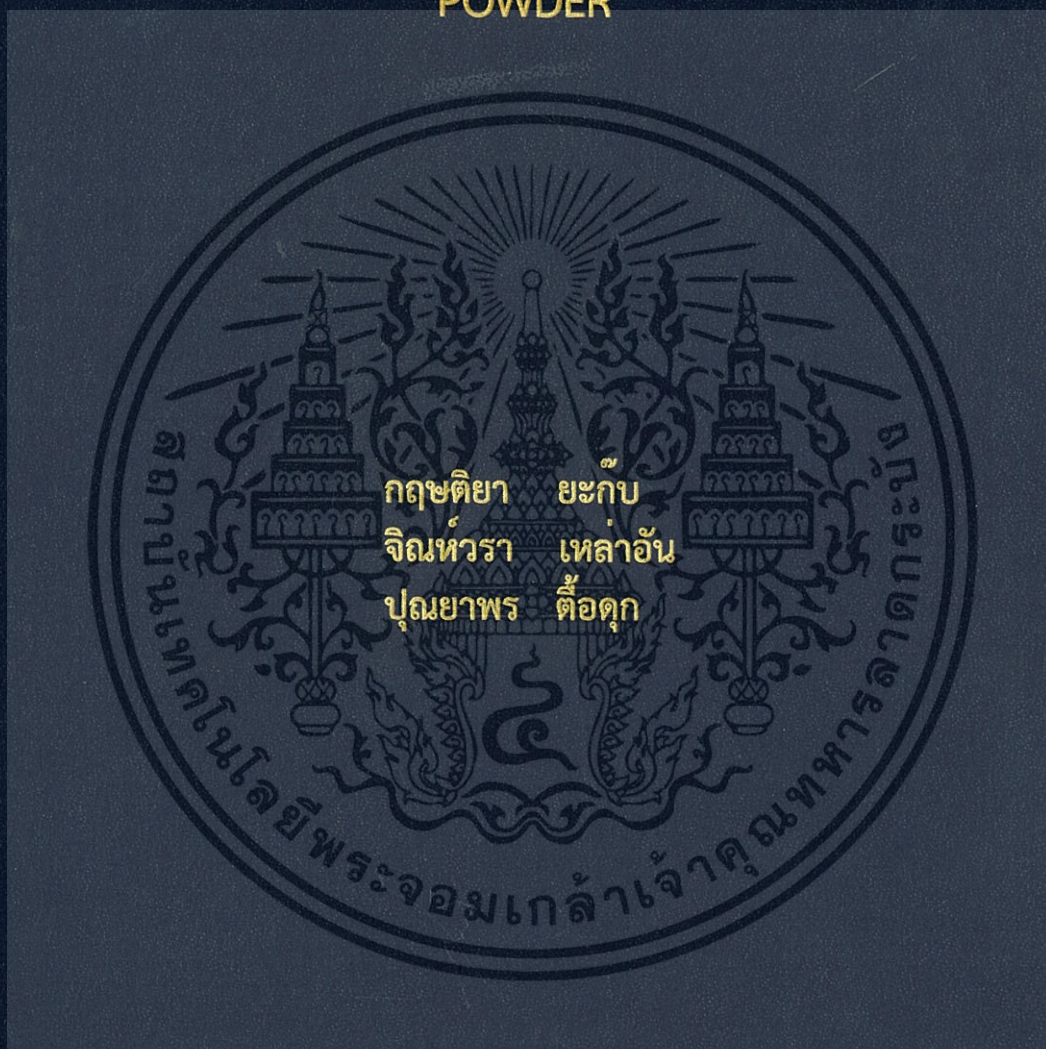


กระบวนการสังเคราะห์โดยตรง การเจริญเติบโตของผลึก และ  
สมบัติทางแสงของโลหะทังสเตตแบบผงละเอียด

DIRECTED SYNTHESIS, GROWTH PROCESS AND  
OPTICAL PROPERTIES OF METAL TUNGSTATE FINE  
POWDER



โครงการพิเศษนี้เป็นส่วนหนึ่งของการศึกษาตามหลักสูตร  
ปริญญาวิทยาศาสตรบัณฑิต (เคมีอุตสาหกรรม)  
ภาควิชาเคมี คณะวิทยาศาสตร์  
สถาบันเทคโนโลยีพระจอมเกล้าเจ้าคุณทหารลาดกระบัง  
ปีการศึกษา 2558

กระบวนการสังเคราะห์โดยตรง การเจริญเติบโตของผลึก และ  
สมบัติทางแสงของโลหะทั้งสเตรตแบบผงละเอียด

DIRECTED SYNTHESIS, GROWTH PROCESS AND  
OPTICAL PROPERTIES OF METAL TUNGSTATE FINE  
POWDER



กฤษติยา ยะกิบ  
จิณห์วรา เหล่าอัน  
ปัญยาพร ต้อดุก

b. 12886804  
i. ....

เลขหมู่.....  
เลขทะเบียน 149440  
รับเดือนปี 8 ค.ศ. 2561

โครงการพิเศษนี้เป็นส่วนหนึ่งของการศึกษาตามหลักสูตร  
ปริญญาวิทยาศาสตรบัณฑิต (เคมีอุตสาหกรรม)  
ภาควิชาเคมี คณะวิทยาศาสตร์  
สถาบันเทคโนโลยีพระจอมเกล้าเจ้าคุณทหารลาดกระบัง

ปีการศึกษา 2558

เอกสารนี้เป็นเอกสารที่สงวนไว้สำหรับการใช้งานเพื่อการศึกษาเท่านั้น ไม่อนุญาตให้นำไปใช้ประโยชน์ด้านการค้า  
ไม่ว่ากรณีใดๆทั้งสิ้น อีกทั้งห้ามมิให้ดัดแปลงเนื้อหา และต้องอ้างอิงถึงเจ้าของเอกสารทุกครั้งที่มีการนำไปใช้

DIRECTED SYNTHESIS, GROWTH PROCESS AND  
OPTICAL PROPERTIES OF METAL TUNGSTATE FINE  
POWDER



A SPECIAL PROJECT SUBMITTED IN PARTIAL FULFILLMENT OF  
THE REQUIREMENT FOR  
THE DEGREE OF BACHELOR OF SCIENCE (INDUSTRIAL CHEMISTRY)  
DEPARTMENT OF CHEMISTRY, FACULTY OF SCIENCE  
KING MONGKUT'S INSTITUTE OF TECHNOLOGY LADKRABANG  
ACADEMIC YEAR 2015

เอกสารนี้เป็นเอกสารที่สงวนไว้สำหรับการใช้งานเพื่อการศึกษาเท่านั้น ไม่อนุญาตให้นำไปใช้ประโยชน์ด้านการค้า  
ไม่ว่ากรณีใดๆทั้งสิ้น อีกทั้งห้ามมิให้ดัดแปลงเนื้อหา และต้องอ้างอิงถึงเจ้าของเอกสารทุกครั้งที่มีการนำไปใช้

หัวข้อโครงการพิเศษ

กระบวนการสังเคราะห์โดยตรง การเจริญเติบโตของผลึก และสมบัติทางแสงของโลหะทั้งสแตตแบบผงละเอียด

Directed synthesis, growth process and optical properties of metal tungstate fine powder

ชื่อนักศึกษา

นางสาว กฤษติยา ยะก๊ับ	รหัสนักศึกษา 55050567
นางสาว จิณห์วรา เหล่าอัน	รหัสนักศึกษา 55050597
นางสาว ปุณยาพร ตื้อดุก	รหัสนักศึกษา 55050740

ปริญญา

วิทยาศาสตร์บัณฑิต (เคมีอุตสาหกรรม)

ภาควิชา

เคมี

ปีการศึกษา

2558

อาจารย์ที่ปรึกษา

รศ.ดร.นราธิป วิทยากร

คณะวิทยาศาสตร์ สถาบันเทคโนโลยีพระจอมเกล้าเจ้าคุณทหารลาดกระบัง (สจล.) อนุมัติให้โครงการพิเศษนี้เป็นส่วนหนึ่งของการศึกษาตามหลักสูตรปริญญาวิทยาศาสตรบัณฑิต (เคมีอุตสาหกรรม) ประจำปีการศึกษา 2558

คณะกรรมการสอบ	ลายมือชื่อ
ผศ.ดร.ภิเชก รุ่งโรจน์ชัยพร ประธานกรรมการ	
ผศ.ดร.ปานไพลิน สีหาราช กรรมการ	
รศ.ดร.นราธิป วิทยากร กรรมการและอาจารย์ที่ปรึกษา	

เอกสารนี้เป็นเอกสารที่สงวนไว้สำหรับการใช้งานเพื่อการศึกษาเท่านั้น ไม่อนุญาตให้นำไปใช้ประโยชน์ด้านการค้า ไม่ว่ากรณีใดๆทั้งสิ้น อีกทั้งห้ามมิให้ตัดแปลงเนื้อหา และต้องอ้างอิงถึงเจ้าของเอกสารทุกครั้งที่มีการนำไปใช้

หัวข้อโครงการพิเศษ	กระบวนการสังเคราะห์โดยตรง การเจริญเติบโตของผลึก และสมบัติทางแสงของโลหะทั้งสแตตแบบผงละเอียด
ชื่อนักศึกษา	นางสาว กฤษติยา ยะกั๊บ รหัสนักศึกษา 55050567
	นางสาว จิณห์วรา เหล่าอัน รหัสนักศึกษา 55050597
	นางสาว ปุณยาพร ต้อดุก รหัสนักศึกษา 55050740
ปริญญา	วิทยาศาสตร์บัณฑิต (เคมีอุตสาหกรรม)
ภาควิชา	เคมี
คณะ	วิทยาศาสตร์
มหาวิทยาลัย	สถาบันเทคโนโลยีพระจอมเกล้าเจ้าคุณทหารลาดกระบัง (สจล.)
ปีการศึกษา	2558
อาจารย์ที่ปรึกษา	รศ.ดร.นราธิป วิทยากร

### บทคัดย่อ

งานวิจัยนี้ศึกษาการสังเคราะห์แบเรียมทั้งสแตต ( $BaWO_4$ ) และซิลเวอร์ทั้งสแตต ( $Ag_2WO_4$ ) แบบผงละเอียด ด้วยกระบวนการเคมีเชิงกลที่ปราศจากการให้ความร้อน โดยใช้โลหะไนเทรต (แบเรียมไนเทรต และซิลเวอร์ไนเทรต) และโซเดียมทั้งสแตต ( $Na_2WO_4$ ) เป็นสารตั้งต้นในการสังเคราะห์ ซึ่งได้ทำการศึกษาอิทธิพลของระยะเวลาในการบด ที่ส่งผลต่อการเปลี่ยนเฟส ลักษณะรูปร่าง รวมไปถึงสมบัติทางแสง จากนั้นได้ทำการตรวจวิเคราะห์สารที่สังเคราะห์ได้ทั้งหมดด้วยเทคนิคเอกซเรย์ดิฟแฟรกชัน (X-ray diffraction; XRD) เทคนิครามานสเปกโทรสโคปี (Raman spectroscopy) เทคนิคฟูเรียร์ทรานส์ฟอร์มอินฟราเรดสเปกโทรสโคปี (Fourier transform infrared spectroscopy; FTIR) กล้องจุลทรรศน์อิเล็กตรอนแบบส่องกราด (Scanning electron microscopy; SEM) เทคนิคอัลตราไวโอเลตวิสิเบิลสเปกโทรสโคปี (Ultraviolet-Visible spectroscopy; UV-Vis) เทคนิคสเปกโทรฟลูออโรเมทรี (Spectrofluorometry; PL) และกล้องจุลทรรศน์อิเล็กตรอนแบบส่องผ่าน (Transmission electron microscopy; TEM) ผลจากการตรวจวัดด้วยเทคนิคเอกซเรย์ดิฟแฟรกชัน (XRD) แสดงถึงความเป็นผลึกของแบเรียมทั้งสแตต และซิลเวอร์ทั้งสแตต ที่เกิดขึ้นจากการสังเคราะห์ด้วยกระบวนการเคมีเชิงกล ผลจากสเปกตรัมรามานได้ยืนยันโครงสร้างของแบเรียมทั้งสแตต และซิลเวอร์ทั้งสแตต โดยแบเรียมทั้งสแตตมีโครงสร้างเป็นเททระโกนอลซีไลต์ และซิลเวอร์ทั้งสแตตมีโครงสร้างเป็นออร์โทโรมบิก ผลจากการตรวจสอบลักษณะสัญญาณด้วยกล้องจุลทรรศน์พบว่าผงของแบเรียมทั้งสแตตมีรูปร่างคล้ายกระสวย ในขณะที่ผงของซิลเวอร์ทั้งสแตตพบรูปร่างคล้ายแท่ง

<b>Title</b>	Directed synthesis, growth process and optical properties of metal tungstate fine powder		
<b>Students</b>	Miss KRITTIYA	YAKOB	Student ID 55050567
	Miss JINWARA	LAOAN	Student ID 55050597
	Miss PUNYAPORN	TUEDUK	Student ID 55050740
<b>Degree</b>	Bachelor of Science (Industrial Chemistry)		
<b>Department</b>	Chemistry		
<b>Faculty</b>	Science		
<b>University</b>	King Mongkut's Institute of Technology Ladkrabang (KMITL)		
<b>Academic Year</b>	2015		
<b>Advisor</b>	Assoc. Prof. Naratip Vittayakorn		

### Abstract

Barium tungstate ( $\text{BaWO}_4$ ) and silver tungstate ( $\text{Ag}_2\text{WO}_4$ ) fine powder were successfully synthesized via the mechanochemical process without any heat treatment. Metal nitrate ( $\text{BaNO}_3$  and  $\text{Ag}_2\text{NO}_3$ ) and sodium tungstate ( $\text{Na}_2\text{WO}_4$ ) precursor were used as starting materials. The effect of milling time on the phase formation, morphology, and optical properties was investigated in this work. All synthesized products were characterized by X-ray diffraction (XRD), Raman spectroscopy, Fourier transform infrared spectroscopy (FTIR), Scanning electron microscopy (SEM), Ultraviolet-Visible spectroscopy (UV-Vis), Spectrofluorometry (PL) and Transmission electron microscopy (TEM). The XRD result shows that crystalline  $\text{BaWO}_4$  and  $\text{Ag}_2\text{WO}_4$  were directly formed via the mechanochemical process. The Raman spectra were further confirmed the fabricated patterns consisted of  $\text{BaWO}_4$  and  $\text{Ag}_2\text{WO}_4$ .  $\text{BaWO}_4$  exhibits tetragonal scheelite structure and  $\text{Ag}_2\text{WO}_4$  displays orthorhombic symmetry. Space-Shuttle-like shape was observed in the Barium tungstate powder, while Rod-shape morphology was founded in silver tungstate powder.

**Key words :** Mechanochemical, Silver tungstate, Barium tungstate

## กิตติกรรมประกาศ

โครงการพิเศษเล่มนี้สำเร็จลุล่วงไปได้ด้วยดี โดยได้รับความอนุเคราะห์จากบุคคลและหน่วยงานต่าง ๆ ซึ่งผู้วิจัยต้องขอขอบคุณไว้ ณ ที่นี้

รศ.ดร.นราธิป วิทยากร ที่ได้มอบหมายงานนี้ให้แก่กลุ่มของข้าพเจ้า และให้เกียรติเป็นอาจารย์ที่ปรึกษาโครงการพิเศษ เป็นผู้ให้ความรู้ สอนทักษะต่าง ๆ ในการทำงาน จึงขอขอบคุณเป็นอย่างสูง ณ ที่นี้ด้วย

ผศ.ดร.ภิเชก รุ่งโรจน์ชัยพร และ ผศ.ดร.ปานไพลิน สีหาราช ที่เป็นคณะกรรมการในการสอบและตรวจทานแก้ไขให้โครงการพิเศษฉบับนี้สำเร็จไปได้ด้วยดี

เหล่าคณาจารย์ภาควิชาเคมีทุกท่านที่ไม่ได้กล่าวถึงในที่นี้ ที่ช่วยประสิทธิ์ประสาทวิชาและประสบการณ์ให้แก่กลุ่มของข้าพเจ้ามาโดยตลอด

ภาควิชาเคมี คณะวิทยาศาสตร์ สถาบันเทคโนโลยีพระจอมเกล้าเจ้าคุณทหารลาดกระบัง ที่ได้ให้การสนับสนุน ทั้งทางด้านทุนวิจัย สารเคมี อุปกรณ์ และเครื่องมือต่าง ๆ อีกทั้งยังอำนวยความสะดวกตลอดระยะเวลาการทำงานวิจัยครั้งนี้

ขอบคุณพี่ ๆ นักศึกษาปริญญาโทและปริญญาเอกภาคเคมีทุกคน ที่ได้คอยให้คำแนะนำและให้คำปรึกษาเกี่ยวกับงานวิจัยในครั้งนี้ จนทำให้งานวิจัยสำเร็จลุล่วงไปได้ด้วยดี

ขอบคุณเพื่อน ๆ เคมีอุตสาหกรรม รุ่น 31 ที่คอยให้คำปรึกษาและคอยให้กำลังใจเวลาเกิดปัญหา รวมถึงบุคคลรอบข้างที่คอยสนับสนุน ผลักดัน ให้งานสำเร็จไปได้ด้วยดี

ขอกราบขอบพระคุณ คุณพ่อ คุณแม่ และทุกคนในครอบครัวที่ให้โอกาสในการศึกษาและการเรียนรู้ อีกทั้งยังคอยเป็นกำลังใจให้สามารถผ่านไปได้ด้วยดี

กฤษฎิยา ยะกิบ

จิณห์วรรา เหล่าอัน

ปุลนยาพร ต้อดุก

เอกสารนี้เป็นเอกสารที่สงวนไว้สำหรับการใช้งานเพื่อการศึกษาเท่านั้น ไม่อนุญาตให้นำไปใช้ประโยชน์ด้านการค้า ไม่ว่ากรณีใดๆทั้งสิ้น อีกทั้งห้ามมิให้ตัดแปลงเนื้อหา และต้องอ้างอิงถึงเจ้าของเอกสารทุกครั้งที่มีการนำไปใช้

# สารบัญ

	หน้า
บทคัดย่อภาษาไทย .....	ก
บทคัดย่อภาษาอังกฤษ .....	ข
กิตติกรรมประกาศ.....	ค
สารบัญ.....	ง
สารบัญตาราง .....	ฉ
สารบัญรูป .....	ช
บทที่ 1 บทนำ.....	1
1.1 ความเป็นมาและความสำคัญของงานวิจัย.....	1
1.2 วัตถุประสงค์ของงานวิจัย .....	2
1.3 ขอบเขตของงานวิจัย .....	2
1.4 ประโยชน์ที่คาดว่าจะได้รับ .....	2
บทที่ 2 ทฤษฎีและงานวิจัยที่เกี่ยวข้อง .....	3
2.1 โครงสร้าง.....	3
2.1.1 โครงสร้างผลึกชั้นพื้นฐาน .....	3
2.1.2 โครงสร้างโลหะทั้งสเตรต.....	4
2.2 สมบัติ.....	7
2.2.1 การเปล่งแสง.....	7
2.2.2 โฟโตลูมิเนสเซนซ์ .....	9
2.3 การประยุกต์ใช้งาน.....	10
2.3.1 แสงเลเซอร์.....	10
2.3.2 หลอดฟลูออเรสเซนต์ .....	12
2.4 การสังเคราะห์หอนภาคโลหะทั้งสเตรต.....	13
2.4.1 การสังเคราะห์แบบบนลงล่าง .....	13
2.4.2 การสังเคราะห์แบบล่างขึ้นบน.....	16
2.5 การวิเคราะห์.....	22
2.5.1 เครื่องเอกซเรย์ดิฟแฟรคโทรมิเตอร์ .....	22
2.5.2 ฟลูเรียวทรานส์ฟอรั่มอินฟราเรดสเปกโทรมิเตอร์.....	24
2.5.3 รามานสเปกโทรสโคปี.....	27
2.5.4 กล้องจุลทรรศน์อิเล็กตรอนแบบส่องกราด .....	29
2.5.5 สเปกโทรฟลูออโรมิเตอร์.....	32
2.5.6 อัลตราไวโอเลตวิสิเบิลสเปกโทรมิเตอร์ .....	34
2.5.7 กล้องจุลทรรศน์อิเล็กตรอนแบบส่องผ่าน.....	38
2.6 งานวิจัยที่เกี่ยวข้อง .....	39
บทที่ 3 วิธีการดำเนินงานวิจัย .....	42

3.2	อุปกรณ์และเครื่องมือที่ใช้ในการทดลอง.....	42
3.3	ขั้นตอนการสังเคราะห์แบเรียมทั้งสแตต.....	43
3.4	ขั้นตอนการสังเคราะห์ซิลเวอร์ทั้งสแตต.....	44
3.5	การตรวจวิเคราะห์สารตัวอย่าง.....	47
<b>บทที่ 4</b>	<b>ผลการวิจัยและการอภิปรายผล.....</b>	<b>49</b>
4.1	การตรวจสอบเอกลักษณ์ของแบเรียมทั้งสแตต.....	49
4.2	การตรวจสอบเอกลักษณ์ของซิลเวอร์ทั้งสแตต.....	63
<b>บทที่ 5</b>	<b>สรุปผลการวิจัยและข้อเสนอแนะ.....</b>	<b>75</b>
5.1	สรุปผลการวิจัย.....	75
5.2	ข้อเสนอแนะ.....	77
	เอกสารอ้างอิง.....	78
	ภาคผนวก.....	84
	ภาคผนวก ก.....	85
	ภาคผนวก ข.....	86
	ภาคผนวก ค.....	87



เอกสารนี้เป็นเอกสารที่สงวนไว้สำหรับการใช้งานเพื่อการศึกษาเท่านั้น ไม่อนุญาตให้นำไปใช้ประโยชน์ด้านการค้า  
ไม่ว่ากรณีใดๆทั้งสิ้น อีกทั้งห้ามมิให้ดัดแปลงเนื้อหา และต้องอ้างอิงถึงเจ้าของเอกสารทุกครั้งที่มีการนำไปใช้

## สารบัญตาราง

ตารางที่	หน้า
2.1 โครงสร้างผลึกตามมาตรฐานบราเวียสแลตทิซ .....	3
2.2 การเปล่งแสงสามารถแบ่งออกเป็นชนิดต่าง ๆ ตามวิธีการกระตุ้น.....	8
2.3 แสดงช่วงคลื่นอินฟราเรด.....	24
4.1 แสดงการเปรียบเทียบกับข้อมูลมาตรฐาน ICDD No. 85-0588 และข้อมูลแลตทิซพารามิเตอร์ของแบเรียมทังสเตตและงานวิจัยอื่น ๆ .....	50
4.2 แสดงการเปรียบเทียบกับข้อมูลมาตรฐาน ICDD No. 85-0588 และข้อมูลแลตทิซพารามิเตอร์ของแบเรียมทังสเตตและงานวิจัยอื่น ๆ .....	51
4.3 เปรียบเทียบขนาดและรูปร่างของแบเรียมทังสเตตจากงานวิจัยอื่นกับวิธีเคมีเชิงกล .....	61
4.4 แสดงการเปรียบเทียบกับข้อมูลมาตรฐาน ICDD No. 34-0061 และข้อมูลแลตทิซพารามิเตอร์ของซิลเวอร์ทังสเตต.....	61
4.5 แสดงการเปรียบเทียบกับข้อมูลมาตรฐาน ICDD No. 34-0061 และข้อมูลแลตทิซพารามิเตอร์ของซิลเวอร์ทังสเตตของงานวิจัยอื่น ๆ .....	64
4.6 ตารางเปรียบเทียบค่าแถบช่องว่างพลังงานของผงซิลเวอร์ทังสเตตที่สังเคราะห์ด้วยวิธีเคมีเชิงกลและวิธีการสังเคราะห์แบบอื่น ๆ .....	70
4.7 เปรียบเทียบขนาดและรูปร่างของซิลเวอร์ทังสเตตจากงานวิจัยอื่นกับวิธีเคมีเชิงกล.....	73
5.1 แสดงการเปรียบเทียบวิธีการสังเคราะห์ต่าง ๆ กับวิธีการเคมีเชิงกล.....	77

## สารบัญ

รูปที่	หน้า
2.1 หน่วยเซลล์ของแบเรียมทังสเตตที่มีโครงสร้างผลึกเป็นเทตระโกนอลซีไลต์ .....	5
2.2 โครงสร้างผลึกของโลหะทังสเตตแบบเทตระโกนอลซีไลต์ .....	5
2.3 แอลฟาซิลเวอร์ทังสเตตที่มีโครงสร้างผลึกเป็นออร์โทโรมบิก .....	6
2.4 บีต้าซิลเวอร์ทังสเตตที่มีโครงสร้างผลึกเป็นเฮกซะโกนอล .....	6
2.5 แกรมมาซิลเวอร์ทังสเตตที่มีโครงสร้างผลึกเป็นลูกบาศก์ .....	7
2.6 ปรากฏการณ์การเปล่งแสง .....	7
2.7 ปรากฏการณ์ทางแสงเนื่องจากการดูดกลืนและปลดปล่อยพลังงานโฟตอน .....	8
2.8 วัฏจักรการหมุนเวียนของการกระตุ้นพาหะและการเปล่งแสงในโฟโตลูมินเนสเซนซ์ .....	9
2.9 โครงสร้างแถบพลังงานของวัสดุ .....	10
2.10 แสดงส่วนประกอบของเลเซอร์ .....	11
2.11 จำลองการเปล่งแสงแบบถูกกระตุ้น .....	12
2.12 การทำงานของหลอดฟลูออโรสเซนส์ .....	12
2.13 แสดงการเกิดปฏิกิริยาสถานะของแข็ง .....	14
2.14 แสดงสัณฐานวิทยาของโลหะทังสเตตโดยใช้กล้องจุลทรรศน์อิเล็กตรอนแบบส่องกราด .....	15
2.15 แสดงลักษณะและพฤติกรรมการบดย่อยของลูกบด .....	15
2.16 แสดงรามานสเปกตรัมซิลเวอร์ทังสเตตที่สังเคราะห์ด้วยวิธีการไฮโดรเทอร์มอล .....	17
2.17 แสดงสัณฐานวิทยาโดยใช้กล้องจุลทรรศน์อิเล็กตรอนแบบส่องกราด .....	17
2.18 แสดงถึงขนาดของฟองกับจังหวะการอัดขยายของคลื่นเนื้อเสียง .....	19
2.19 แสดงสัณฐานวิทยาของแคลเซียมทังสเตตที่เวลาการให้คลื่นอัลตราโซนิก .....	20
2.20 แสดงสัณฐานวิทยาที่ได้จากกล้องจุลทรรศน์อิเล็กตรอนแบบส่องกราด .....	21
2.21 การเลี้ยวเบนในมุมต่าง ๆ ของริงส์เอกซ์ .....	24
2.22 องค์ประกอบของเครื่องฟูเรียร์ทรานส์ฟอร์มอินฟราเรดสเปกโตรมิเตอร์ .....	25
2.23 หลักการทำงานของเครื่องฟูเรียร์ทรานส์ฟอร์มอินฟราเรดสเปกโตรมิเตอร์ .....	26
2.24 แสดงระดับพลังงานของการดูดกลืนแบบต่าง ๆ .....	28
2.25 ส่วนประกอบต่าง ๆ ภายในกล้องจุลทรรศน์อิเล็กตรอนแบบส่องกราด .....	31
2.26 แสดงองค์ประกอบของเครื่องสเปกโทรโฟลูออโรมิเตอร์ .....	32
2.27 แผนภาพแสดงระดับพลังงาน Jablonski เกี่ยวกับการดูดกลืนและการแผ่รังสี .....	34
2.28 ส่วนประกอบที่สำคัญของเครื่องอัลตราไวโอเลตวิสิเบิลสเปกโตรมิเตอร์ .....	37
2.29 กล้องจุลทรรศน์อิเล็กตรอนแบบส่องผ่าน .....	38
2.30 แสดงส่วนประกอบของกล้องจุลทรรศน์อิเล็กตรอนแบบส่องผ่าน .....	39
2.31 รูปแบบของเอกซ์อาร์ตี .....	39
2.32 การแสดงการคายพลังงานของโฟโตลูมินเนสเซนซ์สเปกตรัมของแบเรียมทังสเตต .....	40
2.33 การแสดงการคายพลังงานของโฟโตลูมินเนสเซนซ์สเปกตรัม .....	40
2.34 สเปกตรัมยูวี-วิสิเบิลที่แสดงค่าพลังงานช่องว่างแถบพลังงาน .....	41
3.1 แผนภาพขั้นตอนการสังเคราะห์แบเรียมทังสเตต .....	45
3.2 แผนภาพขั้นตอนการสังเคราะห์ซิลเวอร์ทังสเตต .....	46

4.1	แสดงการเลี้ยวเบนรังสีเอกซ์ของผงแบเรียมทั้งสเดต .....	49
4.2	แสดงฟูรีเยร์ทรานส์ฟอร์มอินฟาเรดสเปกตรัมของผงแบเรียมทั้งสเดต.....	52
4.3	แสดงรามานสเปกตรัมของผงแบเรียมทั้งสเดต .....	53
4.4	แสดงกราฟที่มีความสัมพันธ์ระหว่างระหว่างค่าการดูดกลืนและค่าความยาวคลื่น .....	55
4.5	กราฟแสดงความสัมพันธ์ระหว่าง $(ahv)^2$ และ Photon energy ของผงแบเรียมทั้งสเดต	57
4.6	แสดงสเปกตรัมการคายแสงของผงแบเรียมทั้งสเดต .....	58
4.7	แสดงสัณฐานวิทยาของแบเรียมทั้งสเดต .....	60
4.8	แสดงโครงสร้างจุลภาคของผงแบเรียมทั้งสเดต.....	62
4.9	แสดงการเลี้ยวเบนรังสีเอกซ์ของซิลเวอร์ทั้งสเดต.....	63
4.10	แสดงฟูรีเยร์ทรานส์ฟอร์มอินฟาเรดสเปกตรัมของผงซิลเวอร์ทั้งสเดต .....	65
4.11	แสดงรามานสเปกตรัมของซิลเวอร์ทั้งสเดต .....	66
4.12	แสดงกราฟระหว่างค่าการดูดกลืนและค่าความยาวคลื่นของผงซิลเวอร์ทั้งสเดต .....	68
4.13	กราฟแสดงความสัมพันธ์ระหว่าง $(ahv)^2$ และ Photon energy ของผงซิลเวอร์ทั้งสเดต.	69
4.14	แสดงสเปกตรัมการคายแสงของผงซิลเวอร์ทั้งสเดต .....	71
4.15	แสดงโครงสร้างจุลภาคของซิลเวอร์ทั้งสเดตที่กำลังขยาย 5,000 เท่า.....	72
4.16	แสดงโครงสร้างจุลภาคของซิลเวอร์ทั้งสเดตโดยการให้แรงเชิงกล 1 นาที่ .....	74



เอกสารนี้เป็นเอกสารที่สงวนไว้สำหรับการใช้งานเพื่อการศึกษาเท่านั้น ไม่อนุญาตให้นำไปใช้ประโยชน์ด้านการค้า  
ไม่ว่ากรณีใดๆทั้งสิ้น อีกทั้งห้ามมิให้ตัดแปลงเนื้อหา และต้องอ้างอิงถึงเจ้าของเอกสารทุกครั้งที่มีการนำไปใช้

# บทที่ 1

## บทนำ

### 1.1 ความเป็นมาและความสำคัญของปัญหา

ปัจจุบันผู้คนส่วนใหญ่ให้ความสนใจกับวัสดุเซรามิกขั้นสูง เนื่องจากวัสดุชนิดนี้มีสมบัติที่หลากหลาย และสมบัติพิเศษเหล่านี้สามารถนำไปประยุกต์ใช้งานต่าง ๆ เช่น อุปกรณ์อิเล็กทรอนิกส์ เป็นสารเรืองแสงในเลเซอร์ เป็นส่วนประกอบในเครื่องมือวัด เป็นต้น นักวิจัยหลายท่านจึงให้ความสนใจกับการสังเคราะห์โลหะทั้งสแตตเป็นจำนวนมาก เพราะโลหะทั้งสแตตเป็นสารอนินทรีย์ที่มีสมบัติเฉพาะตัวทั้งทางด้านเคมีและฟิสิกส์ ตัวอย่างเช่น สมบัติทางด้าน การเรืองแสง (Luminescence property) และสมบัติทางไฟฟ้า (Electrical properties)

การสังเคราะห์โลหะทั้งสแตตนั้นได้มีนักวิจัยหลายท่านได้ทำการศึกษาตั้งแต่ในอดีต จนถึงปัจจุบันโดยในช่วงปี ค.ศ. 2008 นักวิจัยจากประเทศไทยได้ศึกษาการสังเคราะห์โลหะทั้งสแตต ( $BaWO_4$ ,  $SrWO_4$ ,  $CaWO_4$ ) ด้วยวิธีการการโซโนเคมี (Sonochemical) พบว่าโลหะทั้งสแตตที่สังเคราะห์ได้นั้น มีความบริสุทธิ์สูง และมีขนาดอนุภาคอยู่ที่ประมาณ 75 นาโนเมตร และได้วิเคราะห์ด้วยเครื่องวัดการวาวแสงหรือการเรืองแสงของวัสดุ (Photoluminescence spectrometer) พบว่าโลหะทั้งสแตตเหล่านี้ มีการคายพลังงานในช่วง 384-416 นาโนเมตร ซึ่งการคายพลังงานในช่วงนี้คือการคายพลังงานในช่วงแสงสีฟ้า [1] ในปี ค.ศ. 2009 นักวิจัยจากประเทศบราซิล ได้ศึกษาการสังเคราะห์แบเรียมทั้งสแตต ( $BaWO_4$ ) ด้วยวิธีการไฮโดรเทอร์มอล ที่อุณหภูมิ 80-180 องศาเซลเซียส เป็นเวลา 5-48 ชั่วโมง เพื่อศึกษาพฤติกรรมของการเรืองแสงของแบเรียมทั้งสแตตในงานวิจัยนี้ได้กล่าวว่า โครงสร้างผลึกมีความสำคัญต่อการคายพลังงานการเรืองแสงของวัสดุ (Photoluminescence) โดยเกิดจากการบิดเบี้ยวของโครงสร้างทั้งสแตต ( $WO_4$ ) ที่เป็นโครงสร้างเททเรฮีดรอล อะตอมของทั้งสแตตและแบเรียมทั้งสแตตจึงจะเกิดปฏิกิริยากับคลื่นไมโครเวฟในขณะที่ทำการสังเคราะห์ [2] และในปี 2011 นักวิจัยจากประเทศจีน ได้ทำการสังเคราะห์แบเรียมทั้งสแตตและศึกษาการเติบโตของโครงสร้างในระดับนาโนเมตร โดยการควบคุมความเข้มข้นของรีเอเจนต์ และสารละลายที่มีการผสมกันระหว่างน้ำกับเอทานอล จะทำให้ในแต่ละความเข้มข้นได้แบเรียมทั้งสแตตที่มีรูปร่างของอนุภาคต่างกันและส่งผลให้พฤติกรรมของการเรืองแสงต่างกันด้วย [3]

จากการกล่าวถึงงานวิจัยต่าง ๆ ข้างต้นนั้น กระบวนการเตรียมโลหะทั้งสแตตให้ได้อนุภาคขนาดเล็กจะค่อนข้างมีความซับซ้อนและต้องใช้เวลาใช้ค่าใช้จ่ายค่อนข้างสูง งานวิจัยนี้จึงให้ความสนใจที่จะสังเคราะห์โลหะทั้งสแตตด้วยวิธีการเคมีเชิงกล (Mechanochemical) เพราะเป็นวิธีการที่ง่ายและใช้เวลาในการเตรียมไม่นาน อีกทั้งยังมีค่าใช้จ่ายไม่สูง และกระบวนการเคมีเชิงกลนี้ยังสามารถสังเคราะห์อนุภาคที่มีความบริสุทธิ์ได้อีกด้วย นอกจากนี้ยังได้มีการศึกษาระยะเวลาในการให้แรงเชิงกลที่ส่งผลต่อขนาดและความบริสุทธิ์ของโลหะทั้งสแตตที่ทำการสังเคราะห์ โดยมีสารตั้งต้นเป็นโซเดียมทั้งสแตตไดไฮเดรต ( $Na_2WO_4 \cdot 2H_2O$ ) และเมททอลไนเตรตเททเรไฮเดรต ( $M(NO_3)_2 \cdot 4H_2O$ ) กระบวนการสังเคราะห์เป็นกระบวนการเคมีเชิงกล โดยเริ่มจากการนำสารตั้งต้นละลายในน้ำกลั่น โดยเหตุผลที่เลือกน้ำกลั่นเป็นตัวทำละลายเนื่องจากเป็นตัวทำละลายที่หาง่ายและไม่เป็นพิษต่อสิ่งแวดล้อม เมื่อได้สารละลายของสารตั้งต้นแล้วจึงนำสารทั้งสองตัวผสมกันและทำการบดและควบคุม

เวลาในการให้แรงเชิงกลที่เวลา 1 3 5 10 15 30 60 และ 120 นาที หลังจากนั้นจะทำการศึกษาเอกลักษณ์ของโลหะทั้งสเดด โดยนำไปวิเคราะห์หุ่ฟูงซันกัด้วยเครื่องฟูเรียร์ทรานส์ฟอร์มอินฟราเรดสเปกโทรมิเตอร์ (Fourier transform infrared spectrometer; FT-IR) ตรวจสอบการกระเจิงของสารด้วยเครื่องรามานสเปกโทรโฟโตมิเตอร์ (Raman spectrophotometer) ตรวจสอบหาโครงสร้างผลึกด้วยเครื่องวัดการเลี้ยวเบนของรังสีเอกซ์ (X-ray diffractometer; XRD) ตรวจสอบโครงสร้างจุลภาคของสารด้วยกล้องจุลทรรศน์อิเล็กตรอนแบบส่องกราด (Scanning electron microscope; SEM) และกล้องจุลทรรศน์แบบส่องผ่าน (Transmission Electron Microscope; TEM) ตรวจวัดค่าการดูดกลืนแสงด้วยเครื่องอัลตราไวโอเลตวิสิเบิลสเปกโทรสโกปี (Ultraviolet-Visible Spectroscopy) ตรวจสอบสมบัติการเปล่งแสงด้วยเครื่องสเปกโทรฟลูออโรมิเตอร์ (Spectrofluorometer)

## 1.2 วัตถุประสงค์ของงานวิจัย

- 1) ศึกษาความเป็นไปได้ในการสังเคราะห์โลหะทั้งสเดดด้วยวิธีการเคมีเชิงกล
- 2) ศึกษาอิทธิพลของระยะเวลาในการให้แรงเชิงกลที่มีผลต่อการเกิดเฟสบริสุทธิ์ของการสังเคราะห์โลหะทั้งสเดดด้วยวิธีการเคมีเชิงกล
- 3) ศึกษาสมบัติทางกายภาพ โครงสร้างผลึก และสมบัติทางแสงของโลหะทั้งสเดด

## 1.3 ขอบเขตของงานวิจัย

- 1) ศึกษาอิทธิพลของระยะเวลาการให้แรงเชิงกลที่มีผลต่อความบริสุทธิ์ของโลหะทั้งสเดดที่ทำการสังเคราะห์ด้วยวิธีการเคมีเชิงกล
- 2) ศึกษาอิทธิพลของระยะเวลาการให้แรงเชิงกลที่มีผลต่อขนาดของโลหะทั้งสเดดที่ทำการสังเคราะห์ด้วยวิธีการเคมีเชิงกล
- 3) ศึกษาสมบัติทางกายภาพ ขนาดอนุภาค โครงสร้างผลึกและพฤติกรรมการเรืองแสงของโลหะทั้งสเดดที่ทำการสังเคราะห์ด้วยวิธีการเคมีเชิงกล

## 1.4 ประโยชน์ที่คาดว่าจะได้รับ

- 1) สามารถสังเคราะห์โลหะทั้งสเดดด้วยกระบวนการเคมีเชิงกล
- 2) สามารถอธิบายผลของระยะเวลาการให้แรงเชิงกลต่อการสังเคราะห์โลหะทั้งสเดดให้ได้เฟสที่บริสุทธิ์
- 3) สามารถอธิบายผลพฤติกรรมการเรืองแสงของโลหะทั้งสเดดที่สังเคราะห์ด้วยกระบวนการเคมีเชิงกล
- 4) สามารถอธิบายผลจากการวิเคราะห์เอกลักษณ์โครงสร้างผลึกของโลหะทั้งสเดด

เอกสารนี้เป็นเอกสารที่สงวนไว้สำหรับการใช้งานเพื่อการศึกษาเท่านั้น ไม่อนุญาตให้นำไปใช้ประโยชน์ด้านการค้า ไม่ว่าจะกรณีใดๆทั้งสิ้น อีกทั้งห้ามมิให้ตัดแปลงเนื้อหา และต้องอ้างอิงถึงเจ้าของเอกสารทุกครั้งที่มีการนำไปใช้

## บทที่ 2

# ทฤษฎีและงานวิจัยที่เกี่ยวข้อง

ในบทนี้จะกล่าวถึงหลักการและข้อมูลเบื้องต้นในส่วนของโครงสร้างพื้นฐาน พฤติกรรมทางแสง และการประยุกต์ใช้งานของโลหะทั้งสเทต รวมถึงการอธิบายกระบวนการสังเคราะห์หอนุภาคและการพิสูจน์เอกลักษณ์ของโลหะทั้งสเทต

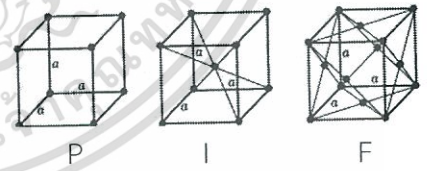
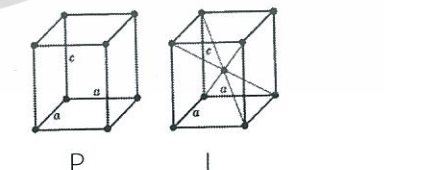
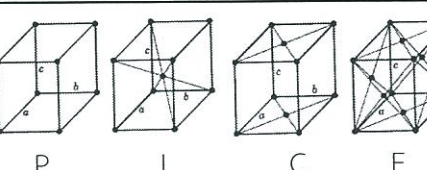
### 2.1 โครงสร้าง (Structure)

#### 2.1.1 โครงสร้างผลึกชั้นพื้นฐาน (Basic structure)

โครงสร้างผลึกชั้นพื้นฐานประกอบไปด้วยความยาวด้านละหนึ่งหน่วยตามแกน  $x$ ,  $y$ ,  $z$  จะระบุความยาวด้วย  $a$ ,  $b$ ,  $c$  ตามลำดับ และระบุมุมที่เกิดจากความยาวสองด้านที่มาประกอบกันทำให้ได้มุมประกอบชนิด  $\alpha$ ,  $\beta$ ,  $\gamma$  เมื่อนำทุกอย่างมาประกอบกันแล้วจะได้เป็นรูปทรงสี่เหลี่ยมมีชื่อเรียกว่าหน่วยเซลล์ (Unit cell) [4]

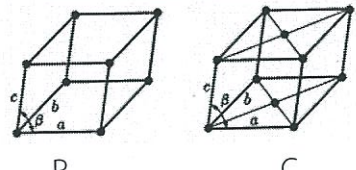
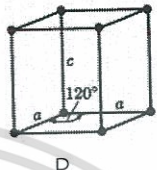

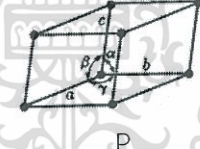
โครงสร้างผลึกตามมาตรฐานบราเวียสแลตทิซ (Bravais Lattice) ประกอบไปด้วยระบบผลึก 7 ระบบ 14 รูปแบบมาตรฐานหน่วยเซลล์ (Standard unit cells) ซึ่งในแต่ละระบบของผลึกนั้นจะประกอบไปด้วยโครงสร้างพื้นฐาน 4 ชนิด ได้แก่ P = ปริมิทีฟ (Primitive), I = บอดีเซ็นเตอร์ (Body-centered), F = เฟซเซ็นเตอร์ (Face-centered) และ C = ไซด์เซ็นเตอร์ (Side-centered) [4]

ตารางที่ 2.1 โครงสร้างผลึกตามมาตรฐานบราเวียสแลตทิซ [4]

ระบบ	ด้านของหน่วยเซลล์	มุม	รูปแบบผลึก
ลูกบาศก์	$a = b = c$	$\alpha = \beta = \gamma = 90$	
เทตระโกนอล	$a = b \neq c$	$\alpha = \beta = \gamma = 90$	
ออร์โธโรมบิก	$a \neq b \neq c$	$\alpha = \beta = \gamma = 90$	

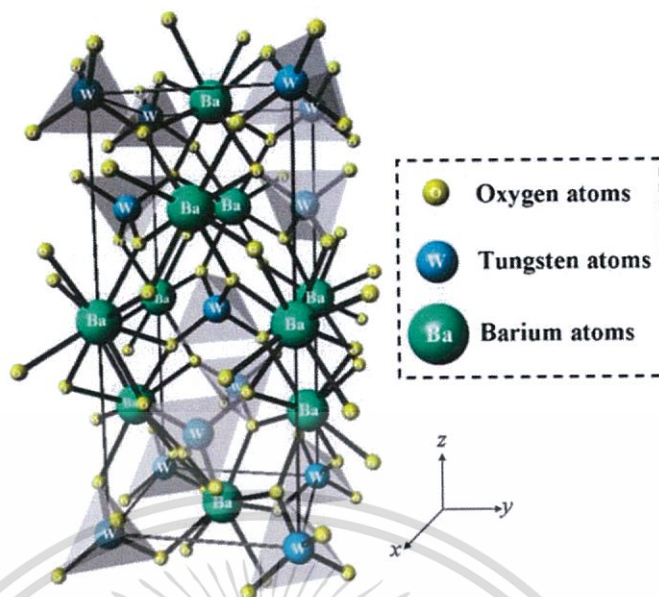
เอกสารนี้เป็นเอกสารที่สงวนไว้สำหรับการใช้งานเพื่อการศึกษาเท่านั้น ไม่อนุญาตให้นำไปใช้ประโยชน์ด้านการค้าไม่ว่ากรณีใดๆทั้งสิ้น อีกทั้งห้ามมิให้ตัดแปลงเนื้อหา และต้องอ้างอิงถึงเจ้าของเอกสารทุกครั้งที่มีการนำไปใช้

ตารางที่ 2.1 (ต่อ) โครงสร้างผลึกตามมาตรฐานบราวเวียสแลตทิจ [4]

ระบบ	ด้านของหน่วยเซลล์	มุม	รูปแบบผลึก
โมโนคลินิก	$a \neq b \neq c$	$\alpha = \gamma = 90, \beta \neq 90$	 P                      C
เฮกซะโกนอล	$a = b \neq c$	$\alpha = \beta = 90, \gamma = 120$	 P
รวมโบฮีตรอล	$a = b = c$	$\alpha = \beta = \gamma \neq 90$	 P
ไตรคลินิก	$a \neq b \neq c$	$\alpha = \beta = \gamma \neq 90$	 P

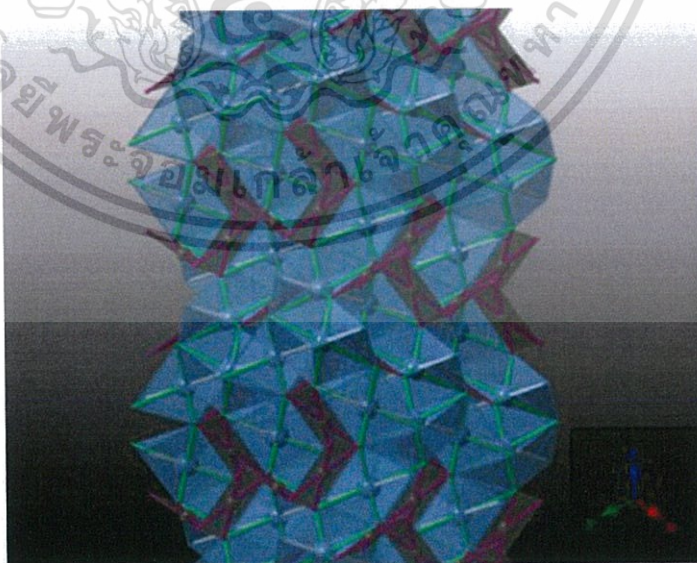
### 2.1.2 โครงสร้างโลหะทังสเตต (Metal tungstate structure)

สารโลหะทังสเตตแบ่งออกเป็นสองกลุ่ม ซึ่งมีความแตกต่างกันตามโครงสร้างผลึก โดยโครงสร้างผลึกของโลหะทังสเตตจะขึ้นอยู่กับไอออนบวก ( $A^+$ ) หากไอออนบวกมีขนาดรัศมีอะตอมน้อยกว่า  $0.77 \text{ \AA}$  จะเกิดโครงสร้างผลึกแบบวอลฟามาท์ (Wolframite) ส่วนไอออนบวกที่มีขนาดรัศมีมากกว่า  $0.99 \text{ \AA}$  จะเกิดโครงสร้างผลึกแบบซีไลต์ (Scheelite) โดยแบบเรียงทังสเตตที่เราได้ทำการสังเคราะห์มีโครงสร้างแบบซีไลต์ดังรูปที่ 2.1



รูปที่ 2.1 หนึ่งหน่วยเซลล์ของแบเรียมทังสเตตที่มีโครงสร้างผลึกเป็นเทตระโกนอลซีไลต์ [2]

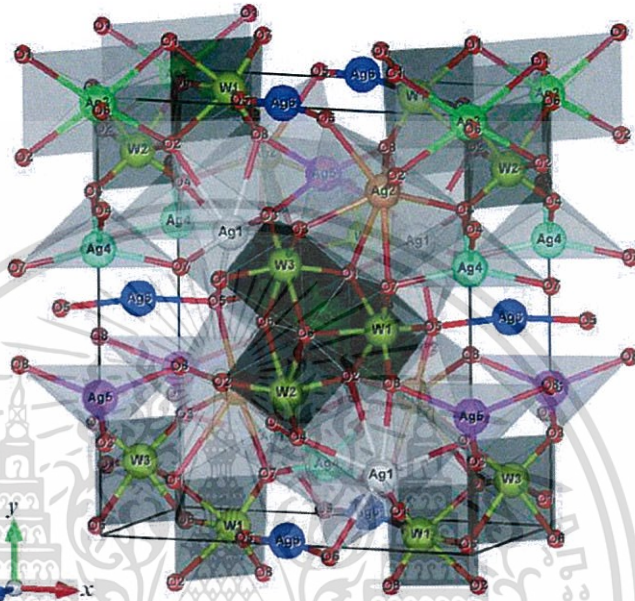
โครงสร้างของโลหะทังสเตมมีโครงสร้างเป็นโครงสร้างแบบเทตระโกนอล (Tetragonal structure) ที่มีกลุ่มปริภูมิ (Space group)  $I 4_{1/a}$  4 โมเลกุลของโลหะทังสเตตต่อหน่วยเซลล์ ที่มีสามอะตอมที่แตกต่างกันภายในโครงสร้างแบบมาตรฐาน คือ อะตอมของธาตุที่เป็นโลหะ (Ba) อะตอมของทังสเตน (W) อะตอมของออกซิเจน (O) ในหน่วยเซลล์อะตอมของธาตุโลหะ และทังสเตนจะอยู่บนสี่ตำแหน่งที่สมมาตร อะตอมธาตุโลหะจะมีอะตอมของออกซิเจนล้อมรอบทั้งหมด 8 ตัว ในขณะที่ทังสเตนที่อยู่ในตำแหน่งเทตระฮีดรอลที่มีออกซิเจนล้อมรอบ 4 ตัว แต่ละตัวจะเชื่อมติดกับอะตอมของธาตุโลหะ 2 ตัวและต่อกับทังสเตน 1 ตัว



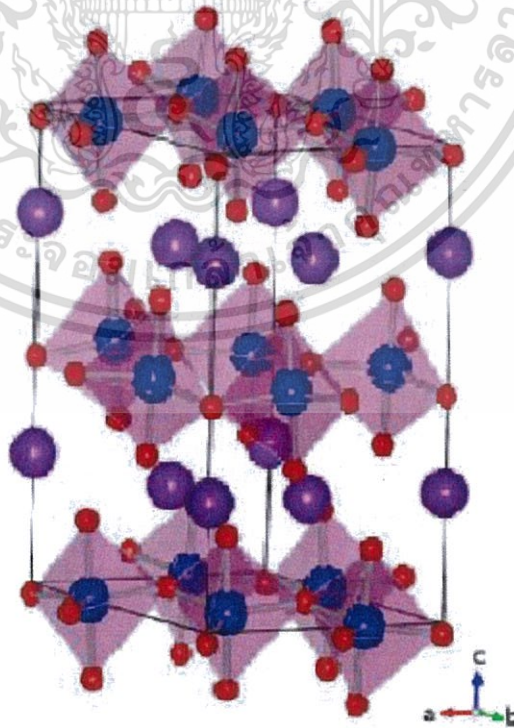
รูปที่ 2.2 โครงสร้างผลึกของโลหะทังสเตตแบบเทตระโกนอลซีไลต์ [5]

นอกจากนี้แล้วโครงสร้างของโลหะทังสเตตยังมีรูปร่างอื่น ๆ อีกที่ไม่ใช่โครงสร้างแบบเทตระโกนอลซีไลต์ โดยโลหะทังสเตตชนิดนั้นคือซิลเวอร์ทังสเตต ( $Ag_2WO_4$ ) นี้ ซิลเวอร์ทังสเตตนี้จะมีทั้งไม่ว่ากรณีใดๆทั้งสิ้น อีกทั้งห้ามมิให้ตัดแปลงเนื้อหา และต้องอ้างอิงถึงเจ้าของเอกสารทุกครั้งที่มีการนำไปใช้

แอลฟาซิลเวอร์ทังสเตต ( $\alpha\text{-Ag}_2\text{WO}_4$ ) บีต้าซิลเวอร์ทังสเตต ( $\beta\text{-Ag}_2\text{WO}_4$ ) และแกรมมาซิลเวอร์ทังสเตต ( $\gamma\text{-Ag}_2\text{WO}_4$ ) โดยซิลเวอร์ทังสเตตแต่ละชนิดจะมีโครงสร้างผลึกที่แตกต่างกันนั่นคือแอลฟาซิลเวอร์ทังสเตตจะมีโครงสร้างผลึกเป็นออร์โธโรมบิก (Orthorhombic) บีต้าซิลเวอร์ทังสเตตจะมีโครงสร้างผลึกเป็นเฮกซะโกนอล (Hexagonal) และแกรมมาซิลเวอร์ทังสเตตจะมีโครงสร้างผลึกเป็นลูกบาศก์ (Cubic)

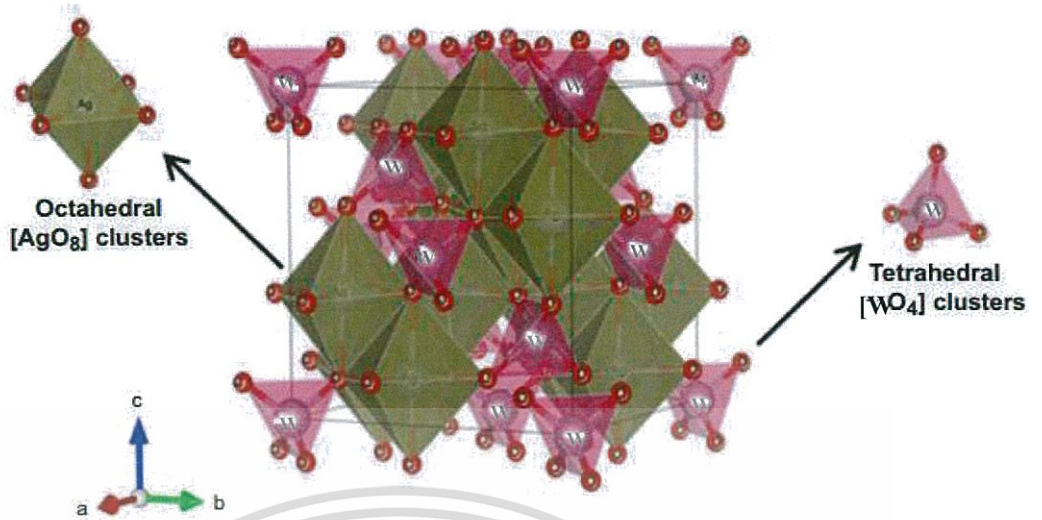


รูปที่ 2.3 แอลฟาซิลเวอร์ทังสเตตที่มีโครงสร้างผลึกเป็นออร์โธโรมบิก [6]



รูปที่ 2.4 บีต้าซิลเวอร์ทังสเตตที่มีโครงสร้างผลึกเป็นเฮกซะโกนอล [7]

เอกสารนี้เป็นเอกสารที่สงวนไว้สำหรับการใช้งานเพื่อการศึกษาเท่านั้น ไม่อนุญาตให้นำไปใช้ประโยชน์ด้านการค้า ไม่ว่าจะกรณีใดๆทั้งสิ้น อีกทั้งห้ามมิให้ดัดแปลงเนื้อหา และต้องอ้างอิงถึงเจ้าของเอกสารทุกครั้งที่มีการนำไปใช้



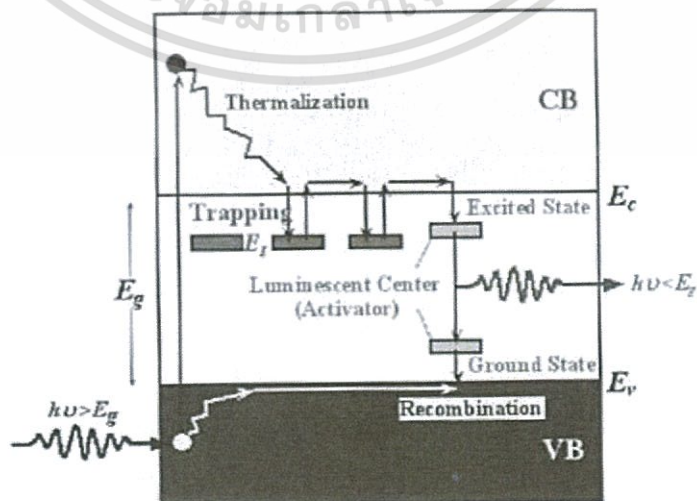
รูปที่ 2.5 แกรมมาซิลเวอร์ทังสเตตที่มีโครงสร้างผลึกเป็นลูกบาศก์ [8]

## 2.2 สมบัติ

วัสดุเซรามิกจะมีสมบัติเฉพาะตัวหลายด้านด้วยกัน ทั้งในด้านสมบัติทางแสง สมบัติทางแม่เหล็ก และสมบัติทางไฟฟ้า ในสารประเภทโลหะทังสเตตจะมีสมบัติเด่นในส่วนของการเกิดปรากฏการณ์เปล่งแสง (Luminescence)

### 2.2.1 การเปล่งแสง (Luminescence)

การเปล่งแสงคือ ปรากฏการณ์ทางแสงที่เกิดขึ้นเมื่อแสงตกกระทบวัสดุด้วยพลังงานโฟตอนแล้วทำให้อิเล็กตรอนที่ได้รับพลังงานดังกล่าวเกิดการเคลื่อนที่จากระดับชั้นพลังงานแถบเวเลนซ์ (Valence band) ไปยังระดับชั้นพลังงานที่สูงของแถบนำไฟฟ้า (Conduction band) อิเล็กตรอนที่ได้รับพลังงานโฟตอนดังกล่าวก็จะปลดปล่อย (Emission) พลังงานโฟตอนนั้นออกมาเพื่อให้อิเล็กตรอนดังกล่าวกลับสู่สภาวะสมดุล [4]



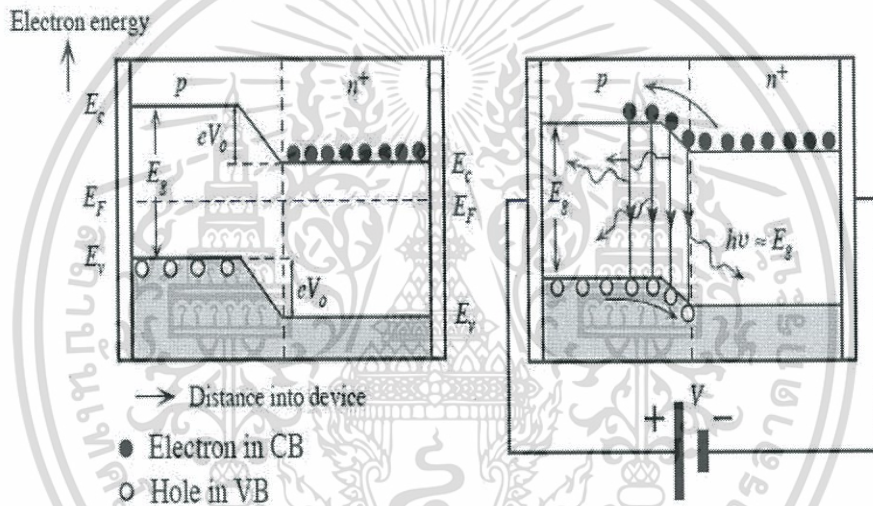
เอกสารนี้เป็นเอกสารที่สงวนลิขสิทธิ์ไว้เพื่อประโยชน์แก่การศึกษาเท่านั้น เมื่อผู้ใดได้มาโดยไม่ประสงค์การค้า ไม่ว่าจะกรณีใดๆทั้งสิ้น อีกทั้งห้ามมิให้ตัดแปลงเนื้อหา และต้องอ้างอิงถึงเจ้าของเอกสารทุกครั้งที่มีการนำไปใช้

สารบางชนิดนั้นมีสมบัติการเปล่งแสงซึ่งสมบัติพิเศษนี้สามารถนำไปตรวจสอบหรือตรวจพิสูจน์ได้ ในปัจจุบันการตรวจสอบสมบัติการเปล่งแสงเป็นอีกเทคนิคที่ใช้ในการวิเคราะห์โครงสร้างทางเคมี นักฟิสิกส์ชาวอังกฤษเป็นผู้อธิบายกระบวนการดูดกลืนแสงและการเปล่งแสงที่นำไปใช้ในเคมีวิเคราะห์อันถือได้ว่าเป็นการวางรากฐานทางความคิดที่สืบทอดมาจนถึงปัจจุบัน

ปรากฏการณ์การเปล่งแสงเป็นการให้พลังงานที่ไม่ใช่พลังงานความร้อนไปกระตุ้นให้วัตถุเปล่งแสงออกมา ซึ่งสามารถแบ่งปรากฏการณ์การเปล่งแสงได้เป็นสองประเภทคือ การวาวแสงหรือฟลูออเรสเซนซ์ (Fluorescence) และการเรืองแสงหรือฟอสฟอเรสเซนซ์ (Phosphorescence)

การวาวแสงหรือฟลูออเรสเซนซ์ คือการดูดกลืนพลังงานและการปลดปล่อยพลังงานที่เกิดขึ้นภายในเวลาอันรวดเร็วเพียงไม่กี่วินาที

การเรืองแสงหรือฟอสฟอเรสเซนซ์ คือการดูดกลืนพลังงานและการปลดปล่อยพลังงานที่เกิดขึ้นอย่างต่อเนื่อง



รูปที่ 2.7 ปรากฏการณ์ทางแสงเนื่องจากการดูดกลืนและการปลดปล่อยพลังงานโฟตอน [4]

การเปล่งแสงของสารถูกกระตุ้นด้วยพลังงานแสง (Photoluminescence) เป็นกระบวนการเปล่งแสง (Emission process) เป็นกระบวนการที่เกิดขึ้นจากอะตอมหรือโมเลกุลถูกกระตุ้นโดยการดูดกลืนรังสีแม่เหล็กไฟฟ้า แล้วกลับสู่สถานะพื้นโดยปล่อยพลังงานส่วนเกินในรูปของโฟตอน ถ้ากระบวนการคายแสงเกิดขึ้นเกือบทันทีโดยใช้เวลา  $10^{-5}$  วินาทีหรือน้อยกว่าเรียกว่า การวาวแสง และถ้ากระบวนการคายแสงใช้เวลาในการเกิดมากเป็นนาที่หรือชั่วโมงเรียกว่า การเรืองแสง

ตารางที่ 2.2 การเปล่งแสงสามารถแบ่งออกเป็นชนิดต่างๆตามวิธีการกระตุ้นได้ดังนี้ [9]

ชื่อ	แหล่งการกระตุ้น
Photo - Luminescence - Stokes type luminescence - Anti-Stokes type luminescence	แสง

เอกสารนี้เป็นเอกสารที่สงวนไว้สำหรับการใช้งานเพื่อการศึกษาเท่านั้น ไม่อนุญาตให้นำไปใช้ประโยชน์ด้านการค้า ไม่ว่ากรณีใดๆทั้งสิ้น อีกทั้งห้ามมิให้ตัดแปลงเนื้อหา และต้องอ้างอิงถึงเจ้าของเอกสารทุกครั้งที่มีการนำไปใช้

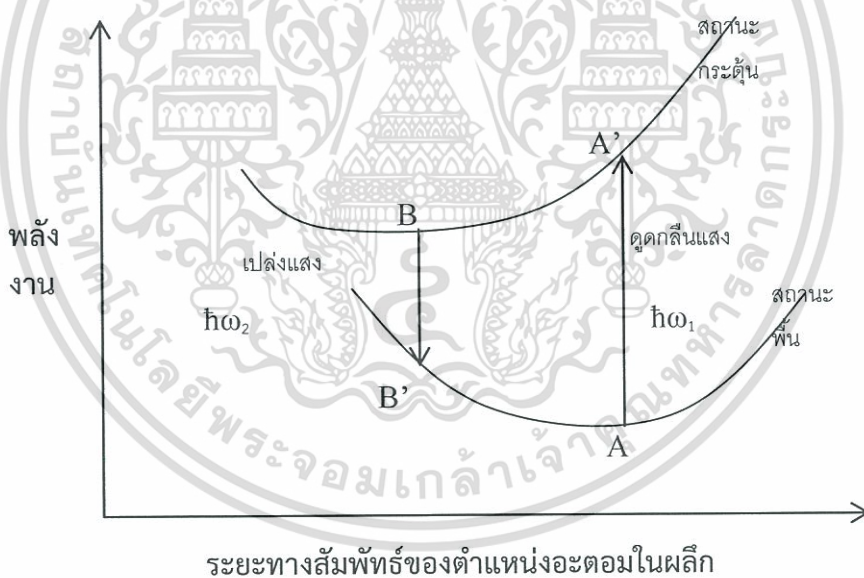
ตารางที่ 2.2 (ต่อ) การเปล่งแสงสามารถแบ่งออกเป็นชนิดต่างๆตามวิธีการกระตุ้นได้ดังนี้ [9]

ชื่อ	แหล่งการกระตุ้น
Electro - Luminescence - Intrinsic EL - Injection EL (LED)	ไฟฟ้า
Cathode - Luminescence	อิเล็กตรอน
Thermo - Luminescence	ความร้อน
Tribo - Luminescence	การเสียดสี
Chemical - Luminescence	เคมี

ในสารกึ่งตัวนำส่วนใหญ่จะเกิดการเปล่งแสงชนิดที่ให้การกระตุ้นด้วยแสงหรืออิเล็กตรอนซึ่งจะทำให้เราสามารถวิเคราะห์ระดับพลังงานได้เป็นอย่างดี

### 2.2.2 โฟโตลูมิเนสเซนซ์

โฟโตลูมิเนสเซนซ์ (Photoluminescence) คือ ปรากฏการณ์การเปล่งแสง อันเนื่องมาจากการกระตุ้นด้วยวิธีการส่องแสง ซึ่งมีกระบวนการดังต่อไปนี้

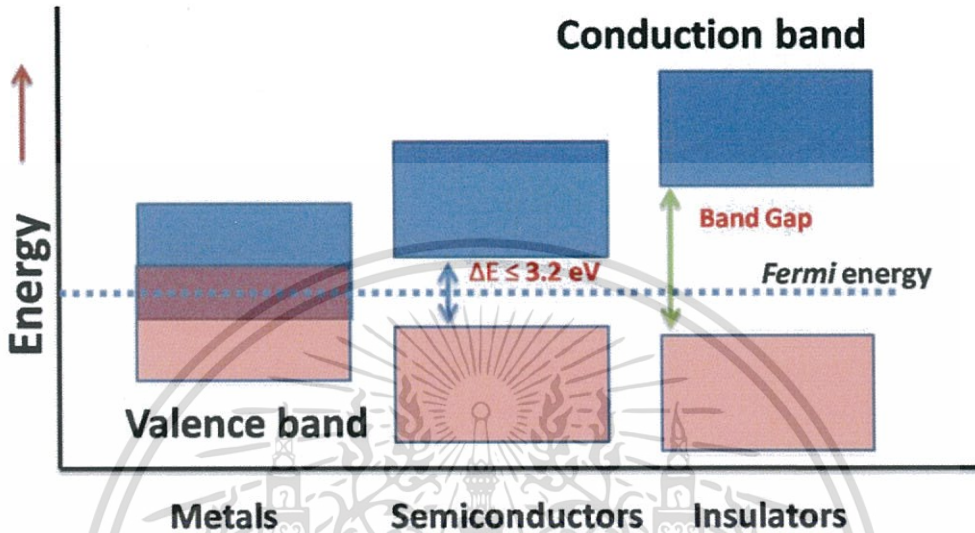


รูปที่ 2.8 วัฏจักรการหมุนเวียนของการกระตุ้นพาหะและการเปล่งแสงในโฟโตลูมิเนสเซนซ์ [9]

จากรูปที่ 2.8 เป็นกราฟที่แสดงความสัมพันธ์ระหว่างพลังงานของอิเล็กตรอนกับระยะทางสัมพัทธ์ของตำแหน่งอิเล็กตรอนในผลึก ซึ่งแสดงให้เห็นว่าสถานะของอิเล็กตรอนจะเปลี่ยนแปลงอย่างไรเมื่อพลังงานและระยะทางของอะตอมในผลึกเปลี่ยน แต่ในทางตรงข้ามกันถ้าพลังงานการดูดกลืนน้อยกว่าพลังงานที่เปล่งแสงออกมา จะเรียกการเกิดโฟโตลูมิเนสเซนซ์ลักษณะนี้ว่า Antistoke type luminescence [9]

วัสดุที่เป็นฉนวนและวัสดุที่เป็นสารกึ่งตัวนำจะดูดกลืนพลังงานโฟตอนหรือพลังงานแสงไว้ แล้วพลังงานที่ถูกดูดเข้าไบนั้นจะเป็นตัวกระตุ้นให้อิเล็กตรอนในแถบเวเลนซ์เคลื่อนที่ไปยังแถบการนำ เอกสารนี้เป็นเอกสารที่สงวนไว้สำหรับการใช้งานเพื่อการศึกษาเท่านั้น ไม่อนุญาตให้นำไปใช้ประโยชน์ด้านการค้า ไม่ว่ากรณีใดๆทั้งสิ้น อีกทั้งห้ามมิให้ตัดแปลงเนื้อหา และต้องอ้างอิงถึงเจ้าของเอกสารทุกครั้งที่มีการนำไปใช้

ทำให้อะตอมเสียเวเลนซ์อิเล็กตรอนและเกิดเป็นโฮล (Hole) เกิดขึ้นในระดับชั้นพลังงานแถบเวเลนซ์ การจะเกิดเหตุการณ์เช่นนี้ได้จะต้องมีพลังงานแสง หรือพลังงานโฟตอนไปกระตุ้นอิเล็กตรอนโดยต้องมีพลังงานในการกระตุ้นมากกว่าช่องพลังงาน (Energy gap;  $E_g$ ) จึงจะทำให้โฮลอิเล็กตรอนในวัสดุกึ่งตัวนำและฉนวนสามารถเปลี่ยนชั้นพลังงานจากชั้นระดับพลังงานต่ำหรือสถานะพื้น (Ground state) ไปยังชั้นระดับพลังงานสูงหรือสถานะกระตุ้น (Excited state) ดังรูปที่ 2.9



รูปที่ 2.9 โครงสร้างแถบพลังงานของวัสดุ [10]

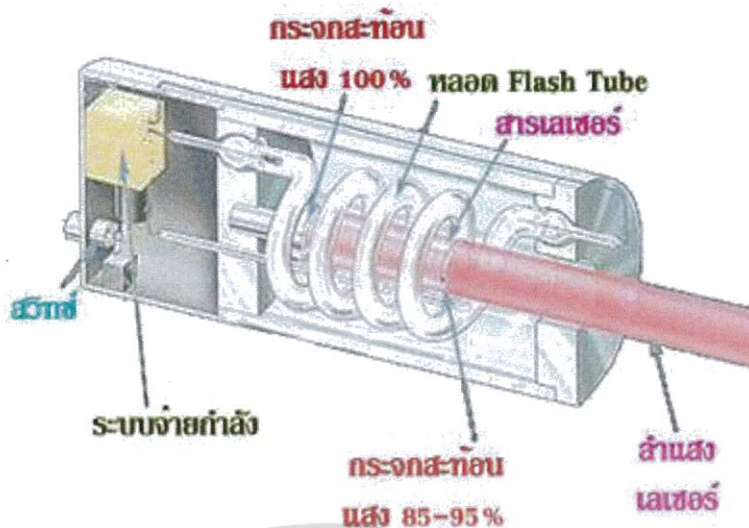
การเปล่งแสงของวัสดุกึ่งตัวนำและฉนวนเกิดขึ้นได้จากการที่วัสดุได้ดูดกลืนพลังงานที่ไปกระตุ้นและปลดปล่อยพลังงานบางส่วนออกมาในช่วงที่สายตาสสามารถมองเห็นเป็นแสงสีนั้น ๆ ได้ พลังงานที่ไปกระตุ้นวัสดุกึ่งตัวนำและฉนวนนั้นจะไปทำให้โฮลอิเล็กตรอนในแถบเวเลนซ์เคลื่อนที่ไปยังแถบการนำเมื่ออิเล็กตรอนคายพลังงานก็จะเกิดการเปล่งแสงเกิดขึ้น ในระหว่างการคายพลังงานของอิเล็กตรอนหากอิเล็กตรอนมีการคายพลังงานภายใน  $10^8$  วินาที จะสามารถเรียกรูปแบบเปล่งแสงแบบนี้ได้ว่าการเรืองแสง แต่หากอิเล็กตรอนใช้เวลานานกว่านี้ในการคายพลังงาน จะเรียกรูปแบบเปล่งแสงแบบนี้ว่าการเรืองแสง

## 2.3 การประยุกต์ใช้งาน

### 2.3.1 แสงเลเซอร์ [11]

เลเซอร์เป็นแหล่งกำเนิดแสงที่ทรงพลังและมีคุณสมบัติพิเศษที่มีประโยชน์ใช้งานอย่างกว้างขวาง ผู้ที่คิดค้นเลเซอร์ได้คือ ซี. เอช. ทาวน์ส์ (C.H. Townes) ในปี ค.ศ. 1954 ได้เสนอเป็นหลักการหรือทฤษฎีเลเซอร์ไว้ ซี.เอช.ทาวน์ส์ ได้รับรางวัลโนเบลสาขาฟิสิกส์ในปี ค.ศ. 1964 สำหรับการคิดค้นเรื่องเลเซอร์นี้เอง เมแมน (Maiman) เป็นผู้พิสูจนทฤษฎีเลเซอร์ของ ซี.เอช.ทาวน์ส์ ได้สำเร็จ โดยการประดิษฐ์เลเซอร์ตัวแรกของโลกขึ้น เป็นเลเซอร์ที่ทำจากทับทิม (Ruby Laser) ซึ่งเป็นของแข็งในปี ค.ศ. 1960 ในปีเดียวกันนั้นเอง จาแวน (Javan) ก็ได้ประดิษฐ์เลเซอร์ที่ทำจากก๊าซฮีเลียม-นีออนได้เป็นผลสำเร็จ จากนั้นจึงมีการพัฒนาเลเซอร์ ชนิดต่าง ๆ อีกมากมาย

เอกสารนี้เป็นเอกสารที่สงวนไว้สำหรับการใช้งานเพื่อการศึกษาเท่านั้น ไม่อนุญาตให้นำไปใช้ประโยชน์ด้านการค้า ไม่ว่าจะกรณีใดๆทั้งสิ้น อีกทั้งห้ามมิให้ดัดแปลงเนื้อหา และต้องอ้างอิงถึงเจ้าของเอกสารทุกครั้งที่มีการนำไปใช้



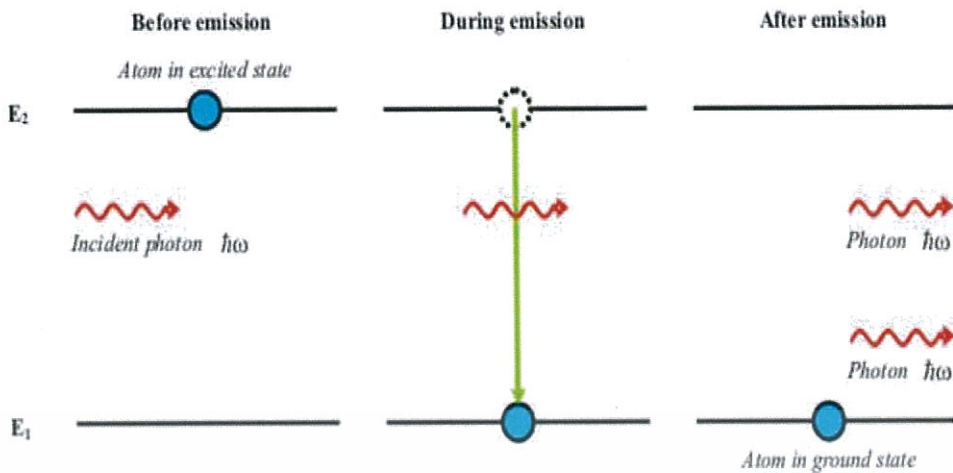
รูปที่ 2.10 แสดงส่วนประกอบของเลเซอร์ [12]

### องค์ประกอบหลักของเลเซอร์

1. ตัวกลางเลเซอร์ (Laser medium) เป็นวัสดุที่ถูกกระตุ้นให้แสงเลเซอร์ออกมา ซึ่งอาจเป็นก๊าซ ของแข็ง ของเหลว หรือสารกึ่งตัวนำ
2. ออปติคัลเรโซเนเตอร์ (Optical resonator) เป็นส่วนประกอบของเครื่องกำเนิดเลเซอร์ที่ทำให้เกิดการปล่อยแสงแบบถูกกระตุ้นแล้วซ้ำอีกจนถึงจุดเลเซอร์ ซึ่งประกอบด้วยกระจก 2 แผ่น วางหันหน้าเข้าหากัน โดยระหว่างกลางมีตัวกลางเลเซอร์อยู่
3. แหล่งกำเนิดพลังงาน (Energy source) เป็นตัวกระตุ้นที่ให้อะตอมอยู่ในสถานะที่เป็นประชากรผกผัน (ปรากฏการณ์ที่ทำให้จำนวนประชากรอะตอมในชั้นพลังงานสูงมีมากกว่าประชากรในชั้นพลังงานต่ำ) ในทางปฏิบัติสามารถทำให้เกิดประชากรผกผันได้โดยการใช้พลังงานจากภายนอกปริมาณหนึ่งซึ่งเพียงพอจะทำให้ประชากรอะตอมมีสถานะเปลี่ยนไปจากสถานะพื้น ( $E_0$ ) ไปยังสถานะกระตุ้น ( $E_1$ ) และทำให้การกระตุ้นประชากรอะตอมในสถานะกระตุ้นให้ตกกลับมายังสถานะพื้น เพื่อให้ประชากรอะตอมปลดปล่อยโฟตอนแสงเป็นจำนวนมากออกมา

### หลักการทำงานของเลเซอร์

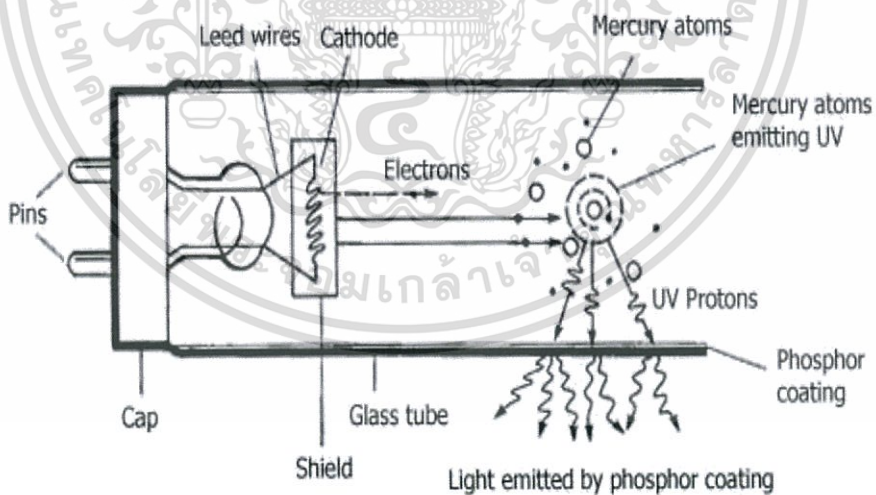
แสงเลเซอร์เป็นแสงที่มีคุณสมบัติแตกต่างจากแสงทั่ว ๆ ไป คือ มีลำแสงขนาดเล็ก มีความเข้มสูงกว่าแสงธรรมดา อีกทั้งยังมีความเบี่ยงเบนของแสงน้อยกว่า (Low-divergence beam) มีความถี่ของแสงเพียงความถี่เดียว การขยายแสงคือการเพิ่มจำนวนโฟตอนหรือเพิ่มความเข้มแสงให้มากขึ้นกว่าเดิม โดยปกติอะตอมหรือโมเลกุลจะอยู่ในชั้นพลังงานต่ำ ( $E_1$ ) เสมอ เพราะเป็นสถานะที่มีความเสถียรมากกว่า แต่เมื่ออะตอมหรือโมเลกุลถูกกระตุ้นก็จะเกิดการดูดกลืนแสงหรือพลังงานที่มากระตุ้นทำให้อะตอมหรือโมเลกุลขึ้นไปอยู่ในชั้นพลังงานที่สูงกว่า ( $E_2$ ) แต่สถานะพลังงานในชั้นพลังงานที่สูงกว่านั้นมีความไม่เสถียรจึงสามารถคงตัวได้เพียงชั่วระยะเวลาหนึ่งจึงคายพลังงานออกมาเพื่อทำให้ตัวเองอยู่ในสถานะเสถียรอีกครั้งในชั้นระดับพลังงานต่ำ



รูปที่ 2.11 จำลองการเปล่งแสงแบบถูกกระตุ้น [13]

### 2.3.2 หลอดฟลูออเรสเซนต์ [14]

หลอดฟลูออเรสเซนต์ (Fluorescent tube) หรือที่เรียกกันว่าหลอดนีออนเป็นหลอดไฟฟ้าระบบปล่อยประจุ ที่บรรจุไอปรอทความดันต่ำไว้ เมื่อกระแสไฟฟ้าไหลผ่านหลอดจะกระตุ้นให้อิออนปรอทปล่อยรังสีเหนือม่วงออกมาเมื่อรังสีนี้กระทบกับสารเรืองแสงที่ฉาบไว้ด้านในตัวของหลอด สารเรืองแสงจะเปล่งแสงสว่างที่มองเห็นได้ออกมา สารเรืองแสงดังกล่าวสามารถใช้สารจำพวกโลหะทั้งสแตดได้



รูปที่ 2.12 การทำงานของหลอดฟลูออเรสเซนต์ [14]

ข้อดีของหลอดฟลูออเรสเซนต์

1. เมื่อให้พลังงานไฟฟ้าเท่ากันจะให้ความสว่างมากกว่าหลอดไฟธรรมดาประมาณ 4 เท่า และมีอายุการใช้งานที่นานกว่า

เอกสารนี้เป็นเอกสารของสำนักงานคณะกรรมการการอุดมศึกษาและทบวงมหาวิทยาลัยสงวนลิขสิทธิ์ไว้ ไม่ให้นำไปใช้โดยไม่ได้รับอนุญาตจากสำนักงานคณะกรรมการการอุดมศึกษาและทบวงมหาวิทยาลัย

### 3. ค่าใช้จ่ายในการใช้งานหลอดฟลูออเรสเซนต์ถูกกว่าหลอดไฟธรรมดา

ข้อเสียของหลอดฟลูออเรสเซนต์

#### 1. ค่าใช้จ่ายในการติดตั้งสูงกว่าหลอดไฟธรรมดา

## 2.4 การสังเคราะห์อนุภาคโลหะทั้งสแตต

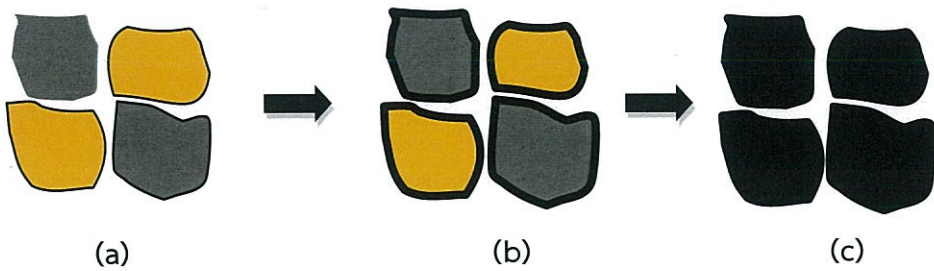
วิธีการเตรียมอนุภาคโลหะทั้งสแตต สามารถเตรียมได้โดยหลายวิธี โดยแบ่งออกเป็น 2 แบบใหญ่ ๆ คือ

### 2.4.1 การสังเคราะห์แบบบนลงล่าง (Top - Down)

เป็นการสังเคราะห์โดยการสร้างอนุภาคจากระดับบนลงล่างหรือจากอนุภาคขนาดใหญ่ให้เป็นอนุภาคที่มีขนาดเล็ก โดยการตัด แบ่ง แยก ย่อย ให้เล็กลงไปเรื่อย ๆ ด้วยแรงกระทำจากภายนอก โดยใช้เทคนิคต่าง ๆ ได้แก่

#### 2.4.1.1 ปฏิกิริยาสถานะของแข็ง (Solids state reaction)

ปฏิกิริยาสถานะของแข็ง เป็นวิธีการเตรียมผงโดยอาศัยความร้อนทำให้เกิดปฏิกิริยาระหว่างสารตั้งต้นที่มีสถานะของแข็งมาผสมกัน โดยเริ่มจากการนำสารตั้งต้นที่มีสถานะของแข็งตามปริมาณที่ต้องการมาทำการบดคลุกเคล้าโดยใช้เครื่องเขย่าหรือเครื่องบด จนสารมีความเป็นเนื้อเดียวกัน จากนั้นทำการอบให้แห้ง แล้วนำไปเผาที่อุณหภูมิและเวลาตามที่ต้องการ จะทำให้เกิดการสลายตัว ได้ผลิตภัณฑ์เป็นของแข็งชนิดใหม่และก๊าซ ซึ่งเป็นวิธีการที่นิยมใช้ในการเตรียมผงของพวกสารประกอบออกไซด์ การให้ความร้อนแก่สารตั้งต้นที่มีสถานะของแข็งเพื่อทำให้เกิดการสลายตัวหรือเกิดการทำปฏิกิริยากันระหว่างสารตั้งต้นต่างชนิดกัน แล้วเกิดเป็นของแข็งชนิดใหม่ขึ้นมานั้นจะเรียกกระบวนการนี้ว่ากระบวนการแคลไซน์ (Calcination) แสดงดังรูปที่ 2.13 ซึ่งเป็นกระบวนการทางความร้อนที่ทำให้สารตั้งต้นเกิดอันตรปฏิกิริยาต่อกัน โดยอาศัยการแพร่ระหว่างกันของไอออน จึงเป็นวิธีการที่ช่วยลดขอบเขตของการแพร่ในช่วงของซินเตอร์ได้ การเกิดการสลายตัวนั้นจะถูกควบคุมด้วยปัจจัยทางจลนพลศาสตร์ต่าง ๆ นอกจากนี้ยังขึ้นอยู่กับลักษณะธรรมชาติทางเคมีของตัวทำปฏิกิริยา สำหรับปัจจัยทางจลนพลศาสตร์ของการสลายตัวดังกล่าวนี้อาจจะถูกควบคุมจากหนึ่งในสามของกระบวนการต่อไปนี้คือ (1) ปฏิกิริยาพื้นผิว (2) การถ่ายเทความร้อนไปยังพื้นผิวที่เกิดปฏิกิริยา (3) การแพร่ของแก๊สหรือการซึมผ่านจากพื้นผิวที่เกิดปฏิกิริยาเข้าไปตามช่องรูพรุนในชั้นต่าง ๆ ของผง และยังมีปัจจัยสำคัญอยู่หลายอย่างที่มีอิทธิพลต่อการเกิดปฏิกิริยาการเกิดของแข็งระหว่างอนุภาคผงของตัวทำปฏิกิริยา เช่น ธรรมชาติทางเคมีของตัวทำปฏิกิริยาระหว่างสารที่เกิดขึ้นใหม่ ขนาดของอนุภาค ลักษณะการกระจายตัวของขนาดอนุภาค ความแตกต่างของขนาดอนุภาคในผงผสม ความเป็นเนื้อเดียวกันของผงผสม สภาวะของบรรยากาศ อุณหภูมิ และระยะเวลาที่ใช้ในการเกิดปฏิกิริยา โดยทั่วไปแล้วถ้าใช้อนุภาคของวัสดุผงที่มีขนาดใหญ่อัตราการเกิดปฏิกิริยาในวัสดุผงผสมก็จะลดลงเนื่องจากอนุภาคของผงต้องเคลื่อนที่ด้วยระยะไกลขึ้น

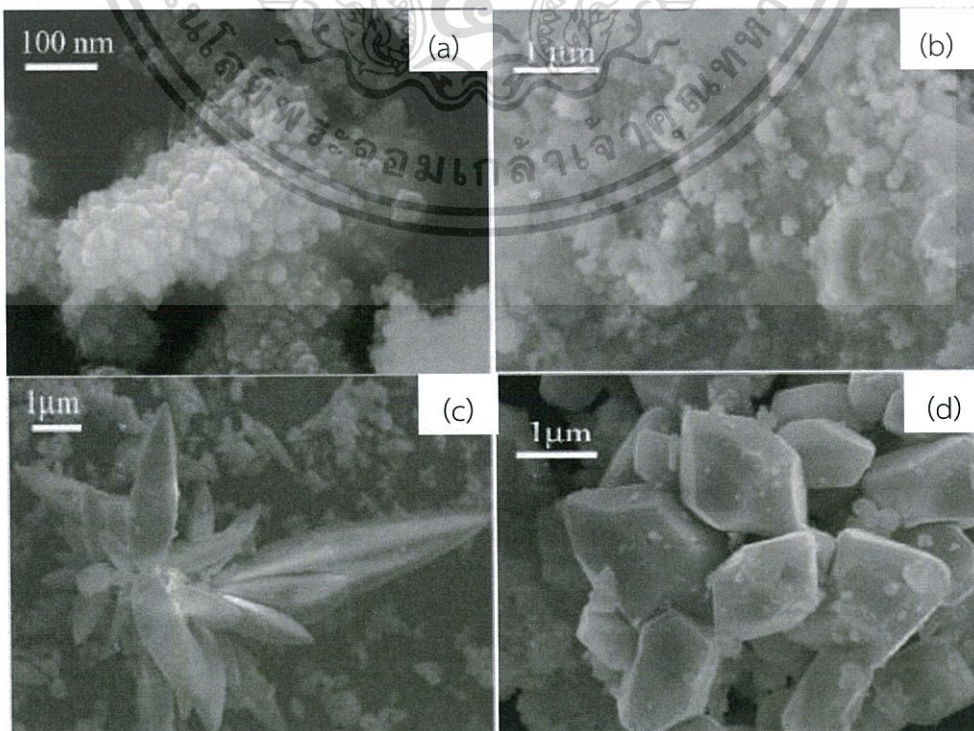


รูปที่ 2.13 แสดงการเกิดปฏิกิริยาสถานะของแข็งเมื่อ (a) ผงผสมกันอยู่ก่อนการเกิดปฏิกิริยา (b) มีปฏิกิริยาเคมีเกิดขึ้นบางส่วน (c) ปฏิกิริยาเกิดขึ้นอย่างสมบูรณ์ [15]

ข้อดีของวิธีการนี้คือ เป็นวิธีการที่ง่าย มีค่าใช้จ่ายน้อย นิยมใช้ในการเตรียมพวกสารประกอบออกไซด์เชิงซ้อน โดยใช้สารตั้งต้นในกลุ่มคาร์บอนेट ไนเตรต ซัลไฟด์ แอซิเตทและออกซาลेट

ข้อเสียของวิธีการนี้คือ ผลผลิตที่ได้มีความบริสุทธิ์ต่ำ สารไม่มีความเป็นเนื้อเดียวกัน และมักเกิดปัญหาเรื่องการเกาะกลุ่ม ทำให้ต้องมีการบดลดขนาดอยู่เสมอ สารผลิตภัณฑ์ที่ได้จึงอาจมีสารประกอบที่อยู่ในรูปอื่นๆเจือปนอยู่ ซึ่งเกิดมาจากสารตั้งต้นหรือมาจากอุปกรณ์ที่ใช้ในการให้แรงเชิงกล [15]

ในปี 2008 Purnendu Parhi และคณะ [16] ได้ทำการสังเคราะห์โลหะทั้งสแตดด้วยปฏิกิริยาสถานะของแข็งโดยใช้สารตั้งต้นเป็นโลหะคลอไรด์และไฮดรอกไซด์ทั้งสแตด โลหะที่ใช้เป็นสารตั้งต้นได้แก่ แคลเซียม (Ca), สตรอนเชียม (Sr), แบเรียม (Ba), ซิงค์ (Zn), แมงกานีส (Mn) และนิกเกิล (Ni) จากการตรวจสอบสัญญาณวิทยาโดยใช้กล้องจุลทรรศน์อิเล็กตรอนแบบส่องกราด จะพบว่า แคลเซียมทั้งสแตด ( $\text{CaWO}_4$ ) และสตรอนเชียมทั้งสแตด ( $\text{SrWO}_4$ ) ที่สังเคราะห์จะมีรูปร่างเป็นทรงกลม แบเรียมทั้งสแตด ( $\text{BaWO}_4$ ) ที่สังเคราะห์จะมีรูปร่างคล้ายกระสวย และซิงค์ทั้งสแตด ( $\text{ZnWO}_4$ ) ที่สังเคราะห์ได้มีรูปร่างแบบปริซึม ดังรูปที่ 2.14



เอกสารนี้เป็นเอกสารทรัพย์สินทางปัญญาของมหาวิทยาลัยเทคโนโลยีพระจอมเกล้าเจ้าคุณทหารลาดกระบัง  
ไม่ว่ากรณีใดๆทั้งสิ้น อีกทั้งห้ามมิให้ตัดแปลงเนื้อหา และต้องอ้างอิงถึงเจ้าของเอกสารทุกครั้งที่มีการนำไปใช้

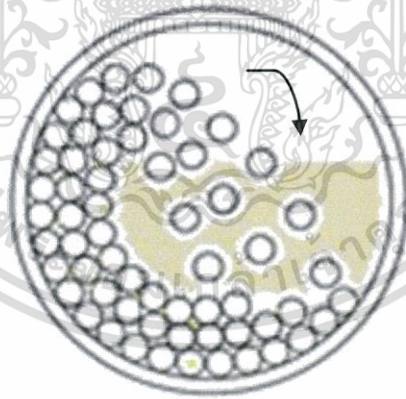
รูปที่ 2.14 แสดงสัญญาณวิทยาของโลหะทั้งสเตรดโดยใช้กล้องจุลทรรศน์อิเล็กตรอนแบบส่องกราด  
(a)  $\text{CaWO}_4$ , (b)  $\text{SrWO}_4$ , (c)  $\text{BaWO}_4$  และ (d)  $\text{ZnWO}_4$  [16]

#### 2.4.1.2 วิธีการผสมเคมีเชิงกล

วิธีการผสมเคมีเชิงกล เป็นวิธีที่ใช้พลังงานกลซึ่งเกิดจากการชน (Collision) และการเสียดสีกัน (Friction) ของสารตั้งต้นและลูกบด เพื่อที่จะทำให้เกิดการเปลี่ยนแปลงโครงสร้างผลึกของวัสดุหรือทำให้เกิดปฏิกิริยาเคมีกัน

การสังเคราะห์ด้วยวิธีการนี้ต้องนำสารประกอบมาผสมกันภายในหม้อบดแล้วทำการบดด้วยลูกบด (Ball mill) โดยเครื่องบดผสมชนิดนี้ประกอบด้วยหม้อบดรูปทรงกระบอกทำด้วยเหล็กหรือเซรามิกและหมุนในแนวนอน สำหรับหม้อบดที่ทำด้วยเหล็กลูกบดที่บรรจุภายในจะเป็นลูกเหล็กและใช้บดได้กับผลิตภัณฑ์ที่มีสีเข้มเท่านั้น หากหม้อบดที่ทำด้วยเซรามิก ลูกบดที่บรรจุภายในจะทำด้วยผลิตภัณฑ์เซรามิก เช่น สตีไทต์ (steatite) อะลูมินา หรือพอร์ซเลน ซึ่งสามารถใช้บดผลิตภัณฑ์ที่มีสีขาวหรือสีอ่อนได้

กระบวนการบดผสมด้วยลูกบดเป็นกระบวนการที่อาศัยการหมุนของหม้อบด ซึ่งในกระบวนการนี้ลูกบดจะมีการเคลื่อนที่คล้ายๆกับตัวอักษรตัวดี (D) โดยมีการเคลื่อนที่ไล่เรียงกันจากด้านล่างขึ้นไปด้านบน แล้วตกลงมากระทบกับวัสดุด้านล่างอีกครั้ง ดังรูปที่ 2.15 จากนั้นก็มีการหมุนเบียดเสียดสีกัน และมีการเลื่อนไหลเป็นวัฏจักรเช่นนี้ไปเรื่อย ๆ ทำให้อนุภาคของวัสดุมีขนาดเล็กลงเนื่องจากถูกกระทบด้วยลูกบด ถูกขัดสีระหว่างลูกบด และระหว่างลูกบดกับผนังของหม้อบด [15] โดยกระบวนการนี้จะทำให้เกิดปฏิกิริยาได้เร็วขึ้น



รูปที่ 2.15 แสดงลักษณะและพฤติกรรมการบดย่อยของลูกบด [15]

ข้อดีของวิธีการผสมเคมีเชิงกลคือ เป็นวิธีการที่ใช้ต้นทุนในการผลิตต่ำกว่าวิธีการอื่น ๆ เนื่องจากอุปกรณ์ เครื่องมือ และสารตั้งต้นที่ใช้ในการผลิตมีราคาถูก อีกทั้งยังเป็นวิธีการที่สามารถทำได้ง่าย สามารถควบคุมตัวแปรต่าง ๆ ที่เกี่ยวข้องได้ง่าย เนื่องจากไม่มีความร้อน หรือสารเคมีเข้ามาเกี่ยวข้อง สามารถทำได้ในระยะเวลาอันสั้น และในแต่ละครั้งที่ผลิตได้ในปริมาณที่มาก อีกทั้งยังสามารถสังเคราะห์วัสดุได้ทุกชนิดไม่ว่าจะเป็นวัสดุผงหรือสารคอมโพสิต (Composit) และยังมีศักยภาพที่สามารถผลิตได้ในระดับอุตสาหกรรมเนื่องจากมีประสิทธิภาพในการทำงานสูง

เอกสารนี้เป็นเอกสารที่สงวนไว้สำหรับการใช้งานเพื่อการศึกษาเท่านั้น ไม่อนุญาตให้นำไปใช้ประโยชน์ด้านการค้า ไม่ว่ากรณีใดๆทั้งสิ้น อีกทั้งห้ามมิให้ตัดแปลงเนื้อหา และต้องอ้างอิงถึงเจ้าของเอกสารทุกครั้งที่มีการนำไปใช้

ข้อเสียของวิธีการนี้คือ มีการกระจายตัวของอนุภาคไม่สม่ำเสมอและอาจมีสิ่งเจือปนจากขั้นตอนการบดผสม ทำให้ผลิตภัณฑ์ที่ได้มีความบริสุทธิ์ต่ำ

## 2.4.2 การสังเคราะห์แบบล่างขึ้นบน (Bottom up)

เป็นการสังเคราะห์โดยเริ่มต้นจากการเรียงอนุภาคที่มีขนาดเล็กแต่ละอนุภาคประกอบขึ้นเป็นโครงสร้างของอนุภาคที่มีขนาดใหญ่ขึ้น ด้วยวิธีการต่าง ๆ ทางเคมี

### 2.4.2.1 วิธีการไฮโดรเทอร์มอล (Hydrothermal)

การสังเคราะห์วัสดุโดยกระบวนการไฮโดรเทอร์มอล เป็นการเกิดปฏิกิริยาที่มีตัวกลางเป็นน้ำ โดยน้ำที่เป็นตัวกลางนั้นมีอุณหภูมิ (T) สูงกว่า 25 องศาเซลเซียส และความดัน (P) สูงมากกว่า 0.1 เมกะปาสกาล หรือ 1 บรรยากาศ และทำให้มีเฟสเดียว (Single phase) หรือเฟสที่ไม่เป็นเนื้อเดียวกัน (Heterogeneous phase) ตกตะกอนแยกออกจากสารละลาย ทั้งนี้เกิดขึ้น ณ ความดันที่สอดคล้องกันกับความดันไออิ่มตัวของสารละลายที่อุณหภูมิและองค์ประกอบของสารละลายในสถานะไฮโดรเทอร์มอลนี้ได้

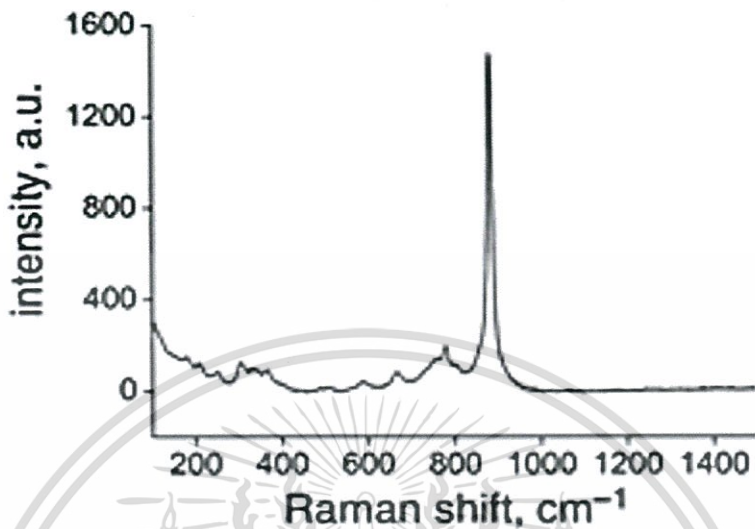
การสังเคราะห์ด้วยวิธีการไฮโดรเทอร์มอลอาจมีอุณหภูมิสูงถึง 1000 องศาเซลเซียส และอาจมีความดันสูงถึง 500 เมกะปาสกาล จึงต้องทำการเตรียมในหม้อความดัน (Autoclave) ซึ่งทำด้วยเหล็กกล้าที่มีความแข็งแรงทนทานและสามารถทนอุณหภูมิได้สูง โดยปกติแล้วจะมีการบุผนังภายในหม้อความดันด้วยเทฟลอน (Teflon) อีกทีเพื่อลดปัญหาเรื่องการกัดกร่อนของผนังหม้อความดันจากสารละลาย [17] ในกระบวนการนี้อาจมีการปรับค่าพารามิเตอร์ (Parameter) ต่าง ๆ ทั้งทางด้านเคมีและทางด้านฟิสิกส์ให้มีความเหมาะสม ทำให้การสังเคราะห์วัสดุโดยวิธีการไฮโดรเทอร์มอลเป็นกระบวนการที่มีความสลับซับซ้อน เนื่องจากมีพารามิเตอร์ต่าง ๆ จำนวนมากที่มีบทบาทต่อการเกิดปฏิกิริยาไฮโดรเทอร์มอล พารามิเตอร์เหล่านี้ได้ควบคุมให้ปฏิกิริยาดำเนินไปโดยได้ผลผลิตเกิดขึ้นจริง อุณหภูมิเป็นพารามิเตอร์หนึ่งที่ควบคุมอัตราการเกิดผลผลิต รวมทั้งควบคุมเสถียรภาพทางอุณหพลศาสตร์ (Thermodynamics) ของผลผลิตเฟสต่าง ๆ ถ้าใช้ความดันสูงเกินไปจะทำให้ผลึกมีความหนาแน่นมากขึ้น ในการสังเคราะห์วัสดุที่มีอุณหภูมิต่ำภายใต้ความดันสูง อาจเลือกการสังเคราะห์วัสดุโดยวิธีไฮโดรเทอร์มอลภายใต้ความดันสูงนี้ได้ เวลาในการสังเคราะห์เป็นอีกพารามิเตอร์หนึ่งที่มีความสำคัญ การสังเคราะห์เฟสที่เสถียรแบบจลนศาสตร์ (Kinetics) มักเกิดในช่วงระยะเวลาอันสั้น แต่เฟสที่เสถียรแบบอุณหพลศาสตร์มักเกิดขึ้นในช่วงเวลาการสังเคราะห์ที่นาน ทั้งนี้ขึ้นกับอุณหภูมิและความดันขณะสังเคราะห์ ทำให้การละลายและการตกผลึกของเฟสที่มีอยู่ก่อนแล้วเกิดขึ้นได้อีก นอกจากนี้ยังอาจควบคุมเฟสต่าง ๆ โดยการพาความร้อนในตัวกลางและมีการรวมตัวกันของวัสดุเกิดขึ้น เช่น ผลึกขนาดใหญ่

ข้อดีของวิธีการนี้คือ วัสดุที่สังเคราะห์ได้นี้อาจมีลักษณะเป็นผง เส้นใย ผลึกเดี่ยว วัสดุที่เป็นก้อนใหญ่ รวมทั้งวัสดุเคลือบบนโลหะ พอลิเมอร์และเซรามิก ได้ผลผลิตที่มีความบริสุทธิ์สูง มีความเป็นเนื้อเดียวกัน และไม่ต้องนำผงที่ได้ไปแคลไซน์เพื่อให้ได้ออกไซด์ที่ต้องการ [18]

ข้อเสียของวิธีการนี้คือ เป็นวิธีการที่ยุ่งยาก มีความสลับซับซ้อน อีกทั้งอุปกรณ์และเครื่องมือที่ใช้มีราคาสูง

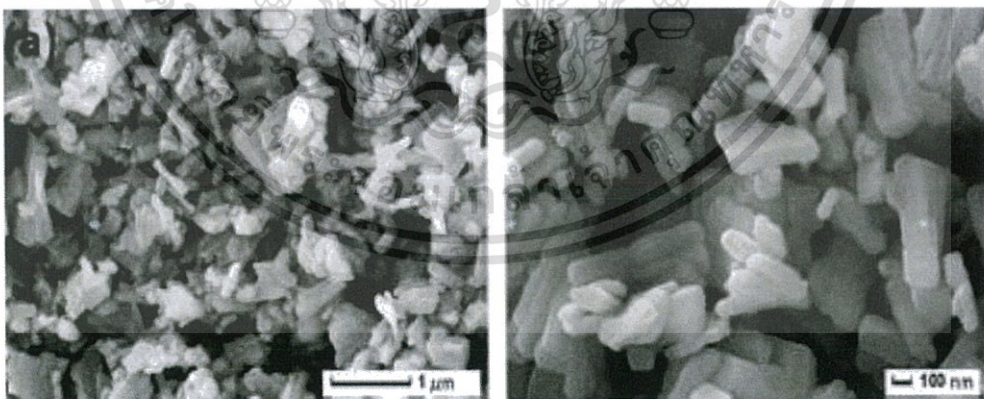
โดยในปี 2012 Rongxian Zhang และคณะ [19] ได้ทำการสังเคราะห์ซิลเวอร์ทังสเตตด้วยวิธีการไฮโดรเทอร์มอล โดยทำการสังเคราะห์จากโซเดียมทังสเตตไดไฮเดรต ( $\text{Na}_2\text{WO}_4 \cdot 2\text{H}_2\text{O}$ ) และซิลเวอร์ไนเตรต ( $\text{AgNO}_3$ ) เมื่อได้ทำการตรวจวัดการกระจายของคลื่นแสงด้วยเครื่องรามานสเปกโทรสโกปี (Raman Spectroscopy) พบว่ากรณีใดๆทั้งสิ้น อีกทั้งห้ามมิให้ตัดแปลงเนื้อหา และต้องอ้างอิงถึงเจ้าของเอกสารทุกครั้งที่มีการนำไปใช้

โฟโตมิเตอร์ (Raman spectrophotometer) พบว่าซิลเวอร์ทังสเตตที่สังเคราะห์ที่ได้นั้นจะมีพีคเกิดขึ้นที่ช่วง 200 ถึง 800  $\text{cm}^{-1}$  ซึ่งสอดคล้องกับโหมดการยืดของทังสเตต และมีการขึ้นพีคที่ 880  $\text{cm}^{-1}$  สอดคล้องกับโหมดของการดัดของซิลเวอร์ (Ag), ออกซิเจน (O), ทังสเตน (W) ดังรูปที่ 2.16



รูปที่ 2.16 แสดงรามานสเปกตรัมของซิลเวอร์ทังสเตตที่สังเคราะห์ด้วยวิธีการไฮโดรเทอร์มอล [19]

และจากการตรวจสอบสัณฐานวิทยาโดยใช้กล้องจุลทรรศน์อิเล็กตรอนแบบส่องกราด จากภาพกำลังขยายต่ำพบว่าตัวอย่างที่ได้มีรูปร่างคล้ายแท่งและคล้ายแผ่นดังรูปที่ 2.17 (a) และจากภาพกำลังขยายสูง ตัวอย่างที่ได้มีรูปร่างคล้ายแท่งมากกว่ารูปร่างคล้ายแผ่น เนื่องจากรูปร่างคล้ายแผ่นเป็นการโตมาจากรูปร่างคล้ายแท่ง ดังรูปที่ 2.17 (b)



รูปที่ 2.17 แสดงสัณฐานวิทยาโดยใช้กล้องจุลทรรศน์อิเล็กตรอนแบบส่องกราด [19]

#### 2.4.2.2 วิธีการโซล - เจล (Sol-Gel Method)

กระบวนการโซล - เจล เป็นกระบวนการแบบเปียก เป็นการสังเคราะห์โครงสร้างร่างแหอนินทรีย์ โดยกระบวนการทางเคมีในสารละลาย ณ อุณหภูมิต่ำ หรือเป็นการที่สารเปลี่ยนสถานะจากของเหลว (สารละลายหรือคอลลอยด์) เป็นของแข็ง (สารผสมที่มีมากกว่าสองวัฏภาคขึ้นไป) โดยไม่จำเป็นต้องเกิดในระบบที่มีน้ำเป็นองค์ประกอบ ตัวทำละลายที่ใช้ก็สามารถหาได้ง่าย และราคาไม่แพง เอกสารนี้เป็นเอกสารที่สงวนไว้สำหรับการใช้งานเพื่อการศึกษาเท่านั้น ไม่อนุญาตให้นำไปใช้ประโยชน์ด้านการค้า ไม่ว่าจะกรณีใดๆทั้งสิ้น อีกทั้งห้ามมิให้ดัดแปลงเนื้อหา และต้องอ้างอิงถึงเจ้าของเอกสารทุกครั้งที่มีการนำไปใช้

เช่นน้ำและแอลกอฮอล์ สารตั้งต้นที่นิยมใช้ในกระบวนการโซล - เจล เป็นสารโลหะออกไซด์ ซึ่งสารโลหะออกไซด์เหล่านี้สามารถควบคุมอัตราการเกิดปฏิกิริยาได้ โดยการควบคุมปฏิกิริยาไฮโดรไลซิส และปฏิกิริยาการควบแน่นระหว่างหมู่โลหะลิแกนด์ (M-OR) กับหมู่โลหะไฮดรอกไซด์ (M-OH) หรือระหว่างหมู่โลหะไฮดรอกไซด์ 2 หมู่



ปฏิกิริยาการควบแน่นระหว่างหมู่โลหะลิแกนด์กับหมู่โลหะไฮดรอกไซด์:



ปฏิกิริยาการควบแน่นระหว่างหมู่โลหะไฮดรอกไซด์ 2 หมู่:



โดย M คือ โลหะ ซึ่งได้แก่ ซิลิกอน (Si) เซอร์โคเนีย (Zr) ไทเทเนียม (Ti) อลูมิเนียม (Al) และ X คือ กลุ่มฮาโลเจน (-Cl, -Br, -I) กลุ่มแอลคอกไซด์ (-OR) กลุ่มแอลคิลเอมีน (-NR<sub>2</sub>) หรือกลุ่มอะซีเลต (-OCR)

ขั้นตอนของปฏิกิริยาในกระบวนการโซล - เจล

การเกิดปฏิกิริยาจากโมโนเมอร์ไปเป็นของแข็งที่มีลักษณะโครงสร้างร่างแหที่ค่อนข้างซับซ้อนสามารถแบ่งออกได้เป็น 2 ขั้นตอน คือขั้นตอนของการที่สารเป็นเนื้อเดียวกันหรือสารโมเลกุลเล็ก (Homogeneous or Molecular regime) ซึ่งสามารถทดสอบได้โดยการหาโครงสร้างและขนาดของโมเลกุล ขั้นตอนที่สองคือ ขั้นตอนที่ไม่เป็นเนื้อเดียวกัน (Heterogenous multiphase polymeric regime) ซึ่งตรวจสอบได้จากการใช้หลักการกระเจิง เช่น เครื่องเอกซเรย์นิวตรอน หรือสมบัติเชิงกล นอกจากนี้ยังมีขั้นตอนทรานซิชันหรือเกิดเป็นคอลลอยด์ขั้นระหว่าง 2 ขั้นตอนที่กำลังมาข้างหน้า อาจเรียกขั้นตอนนี้ว่าเป็นขั้นตอนของโซล และเมื่อสารกลายเป็นวัสดุหลายวัสดุ จะเรียกว่าเป็นขั้นตอนของการเกิดเจล ทรานซิชันที่เกิดในขณะที่โซลเปลี่ยนไปเป็นเจลจะเกิดได้ 3 แบบ คือ

- โมเลกุลพอลิเมอร์มีขนาดใหญ่ขึ้น โดยการเกิดโครงสร้างร่างแหแบบ 3 มิติ
- อนุภาคเดี่ยวมีขนาดใหญ่ขึ้น
- คอลลอยด์มีความเสถียรเนื่องจากประจุบนพื้นผิว และเกิดปฏิกิริยาการควบแน่นระหว่างอนุภาคคอลลอยด์ เพื่อเกิดเป็นเจล [20]

ปัจจัยที่มีผลต่ออัตราการเกิดปฏิกิริยาโซล - เจล คือ ค่าความเป็นกรด - ด่าง ตัวเร่งของปฏิกิริยา อัตราส่วนโมลระหว่างน้ำกับโลหะ และอุณหภูมิ ซึ่งการควบคุมปัจจัยต่าง ๆ เหล่านี้ในสภาวะที่ต่างกันย่อมส่งผลให้โซลและเจลที่ได้นั้นมีสมบัติและโครงสร้างที่แตกต่างกัน

ในวิธีการผลิตทั้งในสภาวะที่เป็นโซลและในสภาวะที่เป็นเจลนั้น เมื่อเข้าสู่กรรมวิธีการทำให้แห้งจะได้มาซึ่งผลิตภัณฑ์ในรูปแบบต่างกันไป เช่น แอโรเจล (Aerogel) ผง (Powder) เป็นต้น [21]

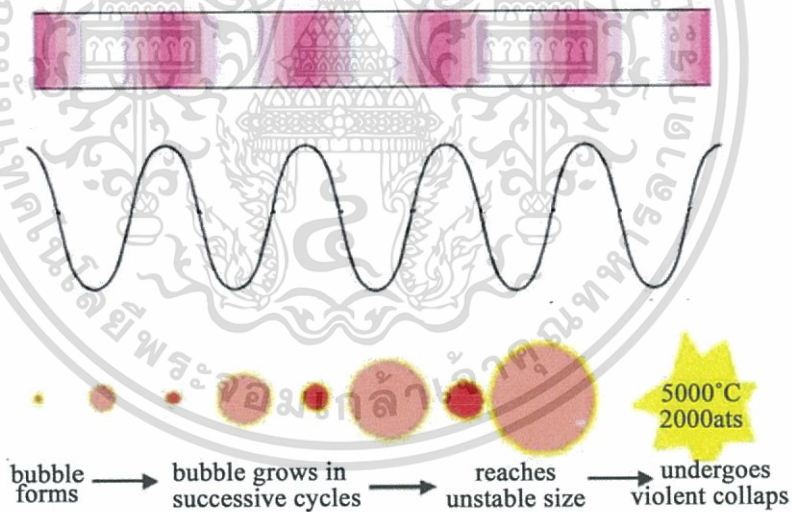
ข้อดีของวิธีการนี้คือผลิตภัณฑ์ที่เตรียมได้จะมีขนาดอนุภาคขนาดเล็กและมีความละเอียด มีความเป็นเนื้อเดียวกัน ใช้อุณหภูมิในการเผาต่ำ เป็นวิธีการที่ไม่ยุ่งยาก และอนุภาคที่ได้มีความบริสุทธิ์สูง [20]

ข้อเสียของวิธีการนี้คือ สารตั้งต้นและเครื่องมือที่ใช้มีราคาสูง ใช้เวลาในการสังเคราะห์นาน [17]

เอกสารนี้เป็นเอกสารที่สงวนไว้สำหรับการใช้งานเพื่อการศึกษาเท่านั้น ไม่อนุญาตให้นำไปใช้ประโยชน์ด้านการค้า ไม่ว่าจะกรณีใดๆทั้งสิ้น อีกทั้งห้ามมิให้ตัดแปลงเนื้อหา และต้องอ้างอิงถึงเจ้าของเอกสารทุกครั้งที่มีการนำไปใช้

### 2.4.2.3 วิธีการโซโนเคมี (Sonochemical process)

วิธีการโซโนเคมีคือวิธีการที่ใช้คลื่นอัลตราโซนิก (Ultrasonic wave) เพื่อเป็นการกระตุ้นให้เกิดปฏิกิริยาและกระบวนการทางเคมี กลไกนี้จะทำให้เกิดปรากฏการณ์อคูสติกคาวิตีชัน (Acoustic cavitation) โดยหลักการของวิธีการโซโนเคมีคือ เมื่อทำการผ่านคลื่นอัลตราโซนิก (Ultrasonic wave) ลงในสารละลายจะทำให้เกิดส่วนอัดและส่วนขยายขึ้นในของเหลว โดยในขณะที่เกิดส่วนขยายของเหลวจะแตกตัวออกเป็นฟองเล็ก ๆ ของอากาศหรือแก๊สที่เป็นไอของสารละลายที่คลื่นอัลตราโซนิกผ่านเข้าไปซึ่งไม่สามารถมองเห็นได้ด้วยตาเปล่า ฟองเหล่านี้จะมีการขยายขนาดจนมีขนาดโตที่สุดซึ่งขึ้นอยู่กับคุณสมบัติของสารละลายนั้น ๆ เช่น ความหนืดของความดันไอ เมื่อความดันไอในตัวของเหลวลดลงสู่ความดันปกติ ความดันจากส่วนอัดที่เกิดตามมาจะทำให้ฟองเหล่านี้ยุบตัวลงอย่างรวดเร็วและเกิดการระเบิด ส่งคลื่นกระแทกที่รุนแรงออกไป ซึ่งเรียกปรากฏการณ์นี้ว่าการเดือดเย็นหรือคาวิตีชัน (Cavitation) การยุบตัวและการระเบิดของฟองจำนวนมาก ทำให้เกิดการที่ของเหลวเคลื่อนที่ด้วยอัตราเร็วสูง อุณหภูมิและความดันในบริเวณที่เกิดคาวิตีชัน อาจสูงถึง 5,000 องศาเซลเซียส และมีความดันเป็น 600 เท่าของความดันปกติ แต่อุณหภูมิของสารละลายไม่สูงเนื่องจากการขยายตัวและการยุบตัวของฟองอากาศเกิดขึ้นในช่วงเวลาสั้นๆ เป็นเวลาไมโครวินาที ดังนั้นของเหลวที่อยู่รอบ ๆ ฟองจึงคายความร้อนอย่างรวดเร็วทำให้ความร้อนบริเวณที่เกิดคาวิตีชันลดลงอย่างรวดเร็ว ส่งผลให้สายละลายมีอุณหภูมิที่ไม่สูงมากนัก คือจะมีอุณหภูมิอยู่ในช่วง 30 ถึง 60 องศาเซลเซียส โดยรูปที่ 2.18 แสดงถึงขนาดของฟองกับจังหวะการอัดขยายของคลื่นเหนือเสียง



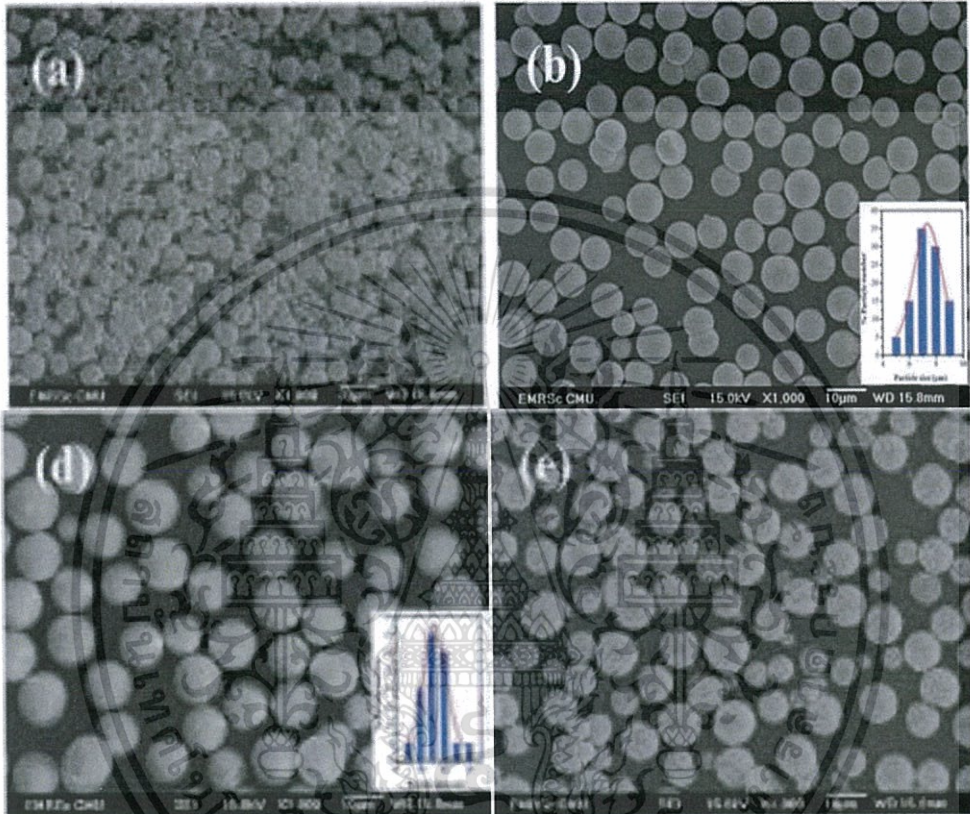
รูปที่ 2.18 แสดงถึงขนาดของฟองกับจังหวะการอัดขยายของคลื่นเหนือเสียง [22]

ข้อดีของวิธีการนี้คือ จะได้อนุภาคที่มีขนาดเล็ก มีรูปร่างใกล้เคียงกันมีความสม่ำเสมอ และได้อนุภาคใกล้เคียงกัน

ข้อเสียของวิธีการนี้คือ เป็นวิธีที่ยุ่งยาก เครื่องมือและอุปกรณ์ที่ใช้มีราคาแพง [22]

ในปี 2015 Jira Janbua และคณะ [23] ได้ทำการสังเคราะห์แคลเซียมทั้งสเตตด้วยวิธีการโซโนเคมี โดยใช้ แคลเซียมไนเตรตเทตระไฮเดรต ( $\text{Ca}(\text{NO}_3)_2 \cdot 4\text{H}_2\text{O}$ ) และโซเดียมทั้งสเตตไดไฮเดรต ( $\text{Na}_2\text{WO}_4 \cdot 2\text{H}_2\text{O}$ ) เป็นสารตั้งต้น โดยในขั้นตอนการสังเคราะห์ Jira Janbua และคณะ ได้ทำการให้คลื่นอัลตราโซนิกที่เวลาต่างกันคือที่เวลา 0 1 5 และ 15 นาที จากการตรวจสอบสัญญาณวิทยาด้วยเอกซเรย์เป็นเอกซเรย์ที่ส่งวนไว้สำหรับการใช้งานเพื่อการศึกษาเท่านั้น ไม่นอนุญาตให้นำไปใช้ประโยชน์ด้านการค้าไม่ว่ากรณีใดๆทั้งสิ้น อีกทั้งห้ามมิให้ตัดแปลงเนื้อหา และต้องอ้างอิงถึงเจ้าของเอกสารทุกครั้งที่มีการนำไปใช้

กล้องจุลทรรศน์อิเล็กตรอนแบบส่องกราดพบว่าจากรูป 2.19 (a) แคลเซียมทั้งสแตตที่ตั้งทิ้งไว้จนตกตะกอนและไม่มีการให้คลื่นอัลตราโซนิก สารที่สังเคราะห์ได้จะมีการกระจายตัวของขนาดที่กว้างขนาดของอนุภาควัดได้ยากเนื่องจากมีการเรียงตัวกันแบบสุ่ม จากรูป 2.19 (b) ให้คลื่นอัลตราโซนิกเป็นเวลา 1 นาทีจะได้ขนาดอนุภาค  $7.59 \pm 1.20$  ไมโครเมตร จากรูป 2.19 (d) ให้คลื่นอัลตราโซนิกเป็นเวลา 5 นาทีจะได้ขนาดอนุภาค  $11.20 \pm 1.07$  ไมโครเมตร และจากรูป 2.19 (e) ให้คลื่นอัลตราโซนิกเป็นเวลา 15 นาที มีขนาดอนุภาคเล็กและใหญ่ผสมกัน



รูปที่ 2.19 แสดงสัญญาณวิทยาของแคลเซียมทั้งสแตตที่เวลาการให้คลื่นอัลตราโซนิกเป็นเวลา (a) 0 นาที (b) 1 นาที (d) 5 นาที และ (e) 15 นาที [23]

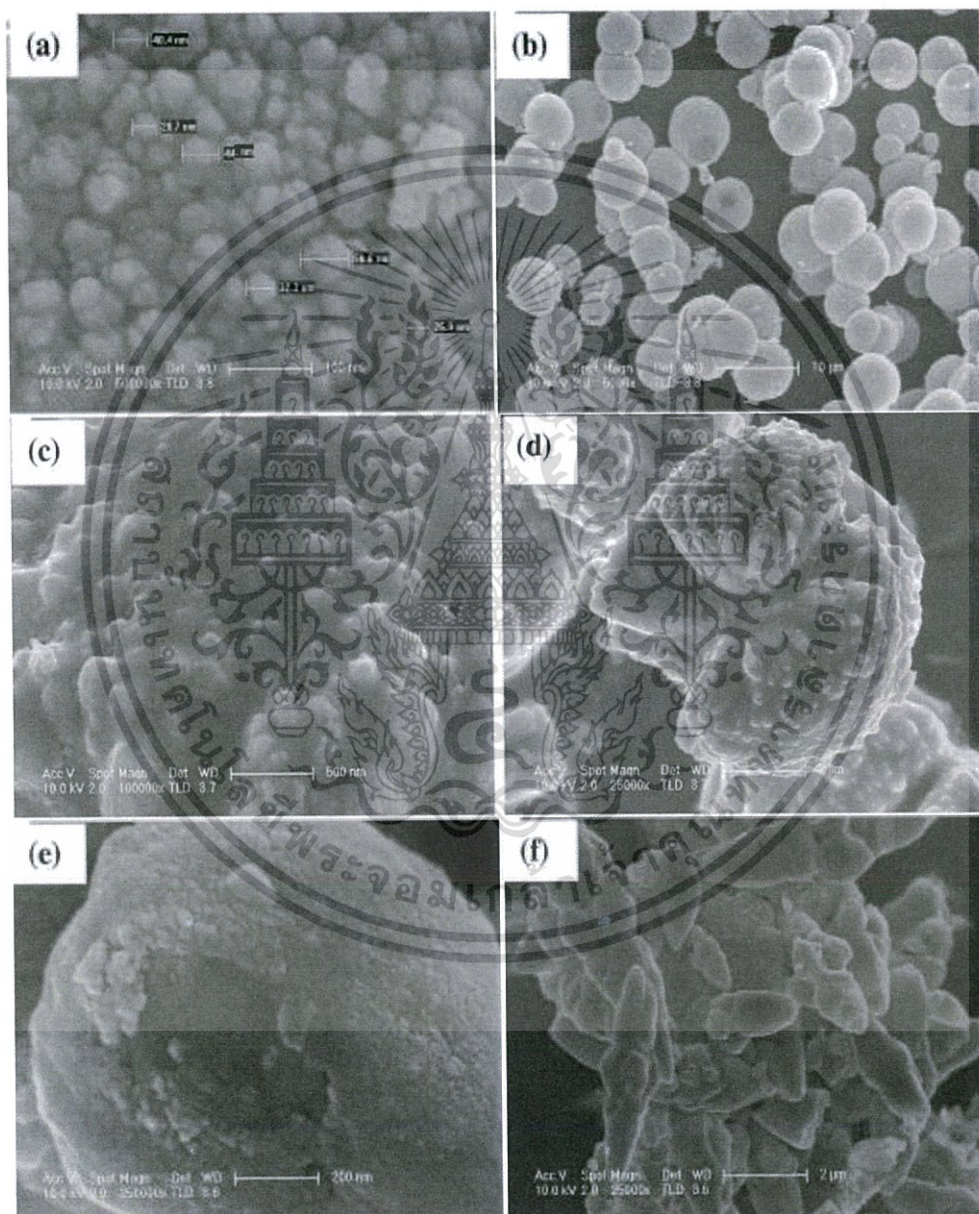
#### 2.4.2.4 การตกตะกอน (Precipitation)

การตกตะกอน เป็นวิธีการที่ถูกนำมาใช้ในการเตรียมสารประกอบของเกลืออนินทรีย์ต่าง ๆ ได้อย่างมากมาย การตกตะกอนเป็นการทำให้โมเลกุลหรือไอออนที่ละลายอยู่ในสารละลายแยกตัวออกจากสารละลายโดยอาศัยการเติมสารเคมีที่เหมาะสมที่เรียกว่า ปริซิพพิแทนท์ (Precipitant) หรือการตกตะกอนอย่างช้า ๆ ในปริมาณที่เหมาะสม หรือมีการเปลี่ยนแปลงอุณหภูมิ ความดัน เพื่อลดขีดความสามารถในการละลายของระบบลดลง ทำให้ระบบมีการตกตะกอนเกิดขึ้น การตกตะกอนประกอบไปด้วยกลไกที่สำคัญคือ การเกิดนิวเคลียส (Nucleation) และการเติบโต (Growth) โมเลกุลหรือไอออนของสารแปลกปลอมที่ปะปนอยู่ในสารละลายโดยการเกาะแน่นอยู่กับพื้นผิวบางส่วนของอนุภาคอะตอม จะทำให้กลไกการเติบโตของระบบเปลี่ยนแปลงได้เสมอ [24]

ข้อดีของวิธีการตกตะกอนเป็นวิธีการที่ใช้ต้นทุนในการผลิตต่ำ เนื่องจากอุปกรณ์ เครื่องมือ และสารตั้งต้นที่ใช้ในการผลิตมีราคาถูก อีกทั้งยังเป็นวิธีการที่สามารถทำได้ง่าย เอกสารนี้เป็นเอกสารที่สงวนไว้สำหรับการใช้งานเพื่อการศึกษาเท่านั้น ไม่อนุญาตให้นำไปใช้ประโยชน์ด้านการค้า ไม่ว่าจะกรณีใดๆทั้งสิ้น อีกทั้งห้ามมิให้ตัดแปลงเนื้อหา และต้องอ้างอิงถึงเจ้าของเอกสารทุกครั้งที่มีการนำไปใช้

ข้อเสียของวิธีการนี้คือ มีการกระจายตัวของอนุภาคไม่สม่ำเสมอ ควบคุมขนาดได้ยาก

ในปี 2015 C.Shivakumara และคณะ [25] ได้ทำการสังเคราะห์โลหะทั้งสเตรตด้วยวิธีการตกตะกอน โดยใช้แคลเซียมไนเตรตเทตระไฮเดรต ( $\text{Ca}(\text{NO}_3)_2 \cdot 4\text{H}_2\text{O}$ ) สตรอนเชียมไนเตรต ( $\text{Sr}(\text{NO}_3)_2$ ) และแบเรียมไนเตรต ( $\text{Ba}(\text{NO}_3)_2$ ) เป็นสารตั้งต้นทำปฏิกิริยากับโซเดียมทั้งสเตรตไดไฮเดรต ( $\text{Na}_2\text{WO}_4 \cdot 2\text{H}_2\text{O}$ ) จากรูปที่ 2.20 (a, b) แสดงภาพสัณฐานวิทยาของแคลเซียมทั้งสเตรต จากรูปที่ 2.20 (c, d) แสดงภาพสัณฐานวิทยาของสตรอนเชียมทั้งสเตรต และจากรูปที่ 2.20 (e, f) แสดงภาพสัณฐานวิทยาของแบเรียมทั้งสเตรต



รูปที่ 2.20 แสดงสัณฐานวิทยาที่ได้จากกล้องจุลทรรศน์อิเล็กตรอนแบบส่องกราด (a, b)  $\text{CaWO}_4$ , (c, d)  $\text{SrWO}_4$ , and (e, f)  $\text{BaWO}_4$  [25]

เอกสารนี้เป็นเอกสารที่สงวนไว้สำหรับการใช้งานเพื่อการศึกษาเท่านั้น ไม่อนุญาตให้นำไปใช้ประโยชน์ด้านการค้า ไม่ว่าจะกรณีใดๆทั้งสิ้น อีกทั้งห้ามมิให้ดัดแปลงเนื้อหา และต้องอ้างอิงถึงเจ้าของเอกสารทุกครั้งที่มีการนำไปใช้

## 2.5 การวิเคราะห์

### 2.5.1 เครื่องเอกซเรย์ดิฟแฟร็กโตมิเตอร์ (X-ray diffractometer; XRD) [26, 27]

เครื่องเอกซเรย์ดิฟแฟร็กโตมิเตอร์ (X-ray diffractometer; XRD) เป็นเครื่องมือวิเคราะห์วัสดุขั้นพื้นฐาน เป็นการวิเคราะห์แบบไม่ทำลายตัวอย่าง (Non-destructive analysis) เพื่อศึกษาเกี่ยวกับโครงสร้างของผลึก การจัดเรียงตัวของอะตอมในโมเลกุลของสารประกอบต่าง ๆ ทั้งในเชิงคุณภาพและปริมาณ โดยอาศัยหลักการเลี้ยวเบนและการกระเจิงของรังสีเอกซ์ และความรู้เกี่ยวกับวิชายาระบบโครงสร้างผลึก เครื่องมือชนิดนี้มีความสำคัญมากในกระบวนการควบคุมคุณภาพ การผลิต ใช้สำหรับตรวจสอบสมบัติของวัสดุดิบและผลิตภัณฑ์ในกระบวนการผลิตตามขั้นตอนต่าง ๆ ทฤษฎีพื้นฐานของเอกซเรย์ดิฟแฟร็กโตมิเตอร์จะอาศัยหลักการเลี้ยวเบนของลำรังสีเอกซ์ เมื่อลำรังสีตกกระทบวัตถุหรืออนุภาคจะเกิดการหักเหของลำรังสีที่สะท้อนทำมุมกับระนาบของอนุภาคเท่ากับมุมของลำรังสีตกกระทบ ซึ่งในปี ค.ศ. 1912 วิลเลียม ลอเรนซ์ แบรกก์ (W.L.Bragg) ได้นำทฤษฎีดังกล่าวมาศึกษารูปแบบโครงสร้างผลึกของแร่ต่าง ๆ ต่อมาได้มีการประดิษฐ์คิดค้น เครื่องเอกซเรย์ดิฟแฟร็กโตมิเตอร์ขึ้นในปี 1948 และมีการพัฒนาอย่างต่อเนื่อง จนกระทั่งสามารถนำคอมพิวเตอร์มาประยุกต์ใช้ในการควบคุม การทำงาน และวิเคราะห์ประมวลผล เพื่อให้เกิดความรวดเร็วแม่นยำยิ่งขึ้น เอกซเรย์ดิฟแฟร็กโตมิเตอร์เป็นที่รู้จักกันอย่างแพร่หลาย ในกลุ่มนักวัสดุศาสตร์ ธรณีวิทยา โลหะวิทยา เพราะเป็นเครื่องมือที่ใช้วิเคราะห์โครงสร้างผลึกของสารประกอบและแร่ ผลการวิเคราะห์จากเครื่องเอกซเรย์ดิฟแฟร็กโตมิเตอร์ ทำให้สามารถแยกแยะประเภทและชนิดของวัสดุที่พบในธรรมชาติว่ามีรูปแบบโครงสร้างผลึกแบบใด หรือจำแนกได้ว่าวัสดุที่พบเห็นนั้นเป็นแร่ชนิดใด โดยทำการวัดค่าความเข้มของรังสีที่สะท้อนออกมาที่มุมต่าง ๆ เปรียบเทียบกับข้อมูลมาตรฐานที่ทำการตรวจวัดโดยองค์กร JCPDS (Joint Committee on Powder Diffraction Standard) เนื่องจากสารประกอบแต่ละชนิด มีรูปแบบโครงสร้างผลึกแตกต่างกัน และระยะห่างระหว่างระนาบของอะตอม ที่จัดเรียงกันอย่างเป็นระเบียบก็แตกต่างกันไปด้วย โดยที่ขนาดและประจุของอะตอม ของสารประกอบแต่ละชนิด จะมีรูปแบบ (XRD pattern) เฉพาะตัว เปรียบได้กับลายนิ้วมือของคนที่แตกต่างกันเทคนิคที่ใช้หลักการการเลี้ยวเบนของรังสีเอกซ์นี้สามารถแบ่งได้เป็น 2 เทคนิค ได้แก่

#### 1. วิธีการแบบผลึกเดี่ยว (Single crystal method)

โดยหลักแล้วเทคนิคนี้ใช้ในการตรวจวัดโครงสร้างอะตอม เช่น ความสมมาตร ตำแหน่ง ช่องว่าง เป็นต้น) ซึ่งวิธีการดั้งเดิมนั้น (Laue method) จะใช้ผลึกติดอยู่กับที่และทำการเปลี่ยนแปลงค่าความยาวคลื่นของรังสีเอกซ์ เมื่อฉายลำรังสีให้ตกลงบนผลึกเดี่ยว จะทำการบันทึกผลการเลี้ยวเบนลงบนแผ่นโฟโตกราฟฟิก (Photographic plate) ซึ่งใช้ในการบันทึกค่าความเข้มและตำแหน่งของรังสีที่เกิดการเลี้ยวเบน แต่ในปัจจุบันนั้นจะทำให้ผลึกเกิดการหมุนและอาศัยความก้าวหน้าของเทคโนโลยีของกล้องก้าวข้ามขีดจำกัดของการตรวจวัดปริมาณของรังสีที่เลี้ยวเบนจากวิธีการดั้งเดิม วิธีการนี้จะใช้รังสีเอกซ์ที่มีความยาวคลื่นค่าเดียวแต่อาศัยการเปลี่ยนมุมโดยการเคลื่อนที่ของผลึกซึ่งอยู่บนแท่นหมุน แล้วใช้ดิฟแฟร็กโตมิเตอร์และคอมพิวเตอร์ ในการเก็บรวบรวมและจัดการข้อมูล ซึ่งจะให้ผลที่มีความแม่นยำมากกว่า

## 2. วิธีการแบบผง (Powder method)

วิธีการนี้จะใช้ในการระบุแร่ธาตุ โดยจะใช้บอกร่องประกอบและตรวจวัดความสัมพันธ์ของธาตุที่มีอยู่ในสารผสมเช่นเดียวกับ วิธีการตกผลึกเดี่ยว (Single-Crystal Methods) คือ แต่เดิมนั้นจะใช้เทคนิคของการถ่ายภาพในการบันทึกข้อมูลการเลี้ยวเบน แต่ในปัจจุบันจะใช้เครื่องมือที่เรียกว่า เอกซ์เรย์พาวเดอร์ดิฟแฟร็กโตมิเตอร์ (X-ray Powder Diffractometer) และยังสามารถช่วยแก้ปัญหาที่เกิดขึ้นในการเตรียมตัวอย่างผลึกแล้วไม่สามารถใช้วิธีการแรกในการตรวจวัดได้

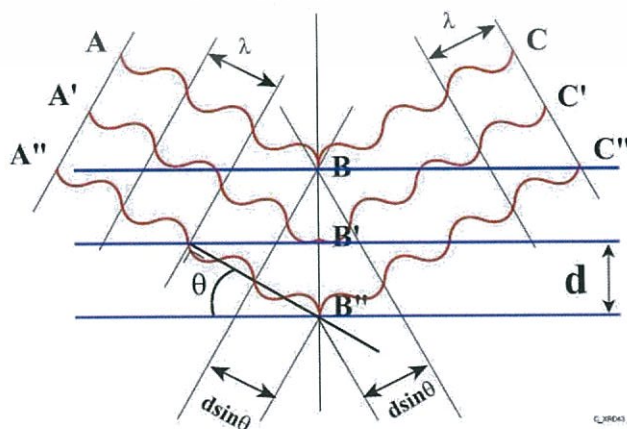
### 2.5.1.1 ข้อมูลทั่วไป

เครื่องวิเคราะห์การเลี้ยวเบนรังสีเอกซ์ เป็นเครื่องมือที่ใช้ในการวิเคราะห์สมบัติของวัสดุ โดยอาศัยหลักการเลี้ยวเบนของรังสีเอกซ์ สามารถทำการวิเคราะห์ได้ทั้งสารประกอบที่มีอยู่ในสารตัวอย่าง และนำมาใช้ศึกษารายละเอียดเกี่ยวกับโครงสร้างผลึกของสารตัวอย่างได้ ในผลึกของตัวอย่างแต่ละชนิดจะมีขนาดของหน่วยเซลล์ (Unit cell) ที่ไม่เท่ากัน ทำให้รูปแบบการเลี้ยวเบนรังสีเอกซ์ไม่เท่ากัน สามารถหาความสัมพันธ์ของสารประกอบต่าง ๆ และรูปแบบการเลี้ยวเบนของรังสีเอกซ์ได้ ซึ่งจะทำให้ทราบสารประกอบต่าง ๆ ภายในตัวอย่างที่นำมาตรวจวิเคราะห์

นอกจากนี้ ผลการวิเคราะห์ของการเลี้ยวเบนรังสีเอกซ์ จะสามารถหาล่องประกอบของตัวอย่างได้แล้วนั้น ยังสามารถคำนวณหาปริมาณขององค์ประกอบต่าง ๆ ที่มีอยู่ในตัวอย่าง คำนวณหาขนาดอนุภาคของแต่ละหน่วยเซลล์ ความเครียดของตัวอย่าง และค่าความเป็นผลึกของตัวอย่างได้ นอกจากนี้ยังสามารถทำการวิเคราะห์ห่องประกอบของฟิล์มบาง (Thin film) และคำนวณค่าความหนาของชั้นฟิล์มบางได้

### 2.5.1.2 หลักการทำงาน

เครื่องเอกซ์เรย์ดิฟแฟร็กโตมิเตอร์ เป็นเครื่องมือวิเคราะห์เลี้ยวเบนรังสีเอกซ์ในผลึกของตัวอย่าง โดยอาศัยหลักการของแบรกก์ (Bragg's law) หรือ  $2d \sin \theta = n\lambda$  ในการคำนวณค่าการเลี้ยวเบนของรังสีเอกซ์ ที่ยิงผ่านชั้นผลึกที่อยู่ในตัวอย่าง โดยใช้เครื่องตรวจวัด (Detector) รับความเข้มของรังสีเอกซ์ที่เกิดจากการเลี้ยวเบนในมุมต่างๆ ของการตรวจวัด ดังรูปที่ 2.21



รูปที่ 2.21 การเลี้ยวเบนในมุมต่าง ๆ ของรังสีเอกซ์ [26]

เอกสารนี้เป็นเอกสารที่สงวนลิขสิทธิ์หรือการเชิงอื่นเพื่อการศึกษาค้นคว้าเท่านั้น เมื่ออนุญาตเห็นไปใช้ประโยชน์ด้านการค้าไม่ว่ากรณีใดๆทั้งสิ้น อีกทั้งห้ามมิให้ดัดแปลงเนื้อหา และต้องอ้างอิงถึงเจ้าของเอกสารทุกครั้งที่มีการนำไปใช้

- เมื่อ  $d$  คือ ระยะห่างระหว่างระนาบของผลึก  $h k l$   
 $\theta$  คือ มุมที่เกิดการเลี้ยวเบนของรังสีเอกซ์  
 $n$  คือ เลขจำนวนเต็มใด ๆ ( $n = 1, 2, 3, \dots$ )  
 $\lambda$  คือ ความยาวคลื่นของรังสีเอกซ์มีค่า  $1.54056 \text{ \AA}$

### 2.5.1.3 ข้อดีและข้อจำกัด

เทคนิคเอกซเรย์ดิฟแฟรกชัน เป็นเทคนิคที่นำรังสีเอกซ์มาใช้วิเคราะห์สารประกอบที่มีอยู่ในสารตัวอย่างและนำมาใช้ศึกษารายละเอียดเกี่ยวกับโครงสร้างผลึกของสารตัวอย่าง เทคนิคนี้อาศัยหลักการของการยิงรังสีเอกซ์ที่ทราบความยาวคลื่น ไปกระทบชิ้นงาน ทำให้เกิดการเลี้ยวเบนของรังสีที่มุมต่าง ๆ กันโดยมีห้วัดเป็นตัวรับข้อมูล เนื่องจากองศาในการเลี้ยวเบนของรังสีเอกซ์จะขึ้นอยู่กับองค์ประกอบและโครงสร้างของสารที่มีอยู่ในตัวอย่าง ข้อมูลที่ได้รับจึงสามารถบ่งบอกชนิดของสารประกอบที่มีอยู่ในสารตัวอย่างและสามารถนำมาใช้ศึกษารายละเอียดเกี่ยวกับโครงสร้างของผลึกของสารตัวอย่างนั้น ๆ ได้ นอกจากนี้ข้อมูลที่ได้ยังสามารถนำมาหาปริมาณของสารประกอบแต่ละชนิดในสารตัวอย่าง ปริมาณความเป็นผลึก ขนาดของผลึก ความสมบูรณ์ของผลึก และความเค้นของสารประกอบในสารตัวอย่าง อีกทั้งความหนาของฟิล์มได้อีกด้วย

### 2.5.2 เครื่องฟูเรียร์ทรานส์ฟอร์มอินฟราเรดสเปกโทรมิเตอร์ (Fourier Transform Infrared Spectrometer; FT-IR) [27, 30]

โดยทั่วไปรังสีอินฟราเรดมีความยาวคลื่นอยู่ระหว่าง 0.78 ไมโครเมตร ถึง 1,000 ไมโครเมตร อยู่ระหว่างช่วงคลื่นวิสิเบิลและช่วงคลื่นไมโครเวฟ โดยช่วงคลื่นอินฟราเรดแบ่งย่อยออกเป็น 3 ช่วง ดังตารางที่ 2.3

ตารางที่ 2.3 แสดงช่วงคลื่นอินฟราเรด

ช่วงคลื่น	ช่วงความยาวคลื่น ( $\mu\text{m}$ )	จำนวนคลื่น ( $\text{cm}^{-1}$ )
อินฟราเรดย่านใกล้ (Near IR, NIR)	0.78-2.5	12,800-4,000
อินฟราเรดย่านกลาง (Mid or fundamental IR)	2.5-50	4,000-200
อินฟราเรดย่านไกล (Far IR)	50-1,000	200-10

ช่วงคลื่นอินฟราเรดที่ถูกนำมาใช้มากจะอยู่ในช่วง 4000 ถึง 670  $\text{cm}^{-1}$  โดยช่วงคลื่นอินฟราเรดย่านกลางจะให้แถบการดูดกลืน (Absorption bands) ที่ให้ข้อมูลเกี่ยวกับการวิเคราะห์เชิงคุณภาพและเชิงปริมาณของหมู่ฟังก์ชัน และข้อมูลเกี่ยวกับโครงสร้างของโมเลกุล ช่วงคลื่นอินฟราเรดมีพลังงานไม่เพียงพอที่จะทำให้ไอเล็กตรอนในโมเลกุลเกิดทรานซิชันได้ แต่ทำให้เกิดทรานซิชันของการสั่นของโมเลกุล สเปกตรัมที่ได้มีลักษณะเป็นแถบที่แคบและอยู่ใกล้กันมากจนหรือมีการซ้อนเหลื่อมกันของสเปกตรัม

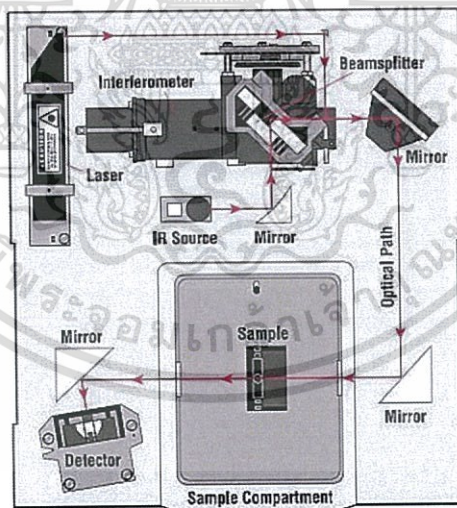
การดูดกลืนช่วงคลื่นอินฟราเรดของโมเลกุลมีข้อกำหนดที่สำคัญ 2 ประการดังนี้

เอกสารนี้เป็นเอกสารที่สงวนไว้สำหรับการใช้งานเพื่อการศึกษาเท่านั้น ไม่อนุญาตให้นำไปใช้ประโยชน์ด้านการค้าไม่ว่ากรณีใดๆทั้งสิ้น อีกทั้งห้ามมิให้ตัดแปลงเนื้อหา และต้องอ้างอิงถึงเจ้าของเอกสารทุกครั้งที่มีการนำไปใช้

1. โมเมนต์ขั้วคู่ที่กำลังสั่นต้องเกิดการเปลี่ยนแปลงโมเมนต์ขั้วคู่ (Dipole moment) ภายในโมเลกุล ดังนั้นโมเลกุลที่ประกอบด้วยสองอะตอมที่เหมือนกัน เช่น ไนโตรเจน ( $N_2$ ) ออกซิเจน ( $O_2$ ) และคลอไรด์ ( $Cl_2$ ) จะไม่ให้อินฟราเรดสเปกตรัม การที่โมเลกุลใด ๆ จะดูดกลืนช่วงคลื่นอินฟราเรตได้นั้นจะต้องมีการเปลี่ยนแปลงโมเมนต์ขั้วคู่ในระหว่างการสั่น ดังนั้นโมเลกุลของสารอินทรีย์และสารอนินทรีย์ที่มีความหนาแน่นของประจุ (Charge density) แตกต่างกันระหว่างอะตอมทั้งสองจะให้แถบการดูดกลืนคลื่นอินฟราเรตได้ เรียกโมเลกุลเหล่านี้ว่า ไออาร์แอคทีฟ (IR-active) สำหรับโมเลกุลที่ประกอบด้วยสองอะตอมที่เหมือนกันจึงไม่มีความแตกต่างของความหนาแน่นของประจุ การสั่นของโมเลกุลดังกล่าวจึงไม่มีการเปลี่ยนแปลงโมเมนต์ขั้วคู่ จะไม่ให้เกิดการดูดกลืนแสงอินฟราเรด เรียกโมเลกุลเหล่านี้ว่า ไออาร์อินแอคทีฟ (IR-inactive)
2. พลังงานของคลื่นแสงอินฟราเรดที่ให้กับโมเลกุลจะต้องมีค่าพอดีกับผลต่างของระดับพลังงานของการสั่นที่เกี่ยวข้องกับการแทรกซิ้น

#### 2.5.2.1 ลักษณะเด่นของเครื่องฟูเรียร์ทรานส์ฟอร์มอินฟราเรดสเปกโทรสโกปี

เทคนิคนี้จะใช้การวัดความเข้มเข้มแสงที่ความยาวคลื่นต่าง ๆ กันอย่างต่อเนื่องเปรียบเทียบกับเวลา (Time - Domain Spectrum) จากนั้นจะถูกเปลี่ยนให้เป็นสเปกตรัมของความเข้มของแสงต่อความยาวคลื่นหรือเลขคลื่นโดยการฟูเรียร์ทรานส์ฟอร์มด้วยคอมพิวเตอร์ก็จะได้ออกมาเป็นฟูเรียร์ทรานส์ฟอร์มสเปกตรัม วิธีการนี้จะช่วยให้การวิเคราะห์มีความรวดเร็วเพิ่มขึ้นพร้อมทั้งมีความสามารถในการแยกความละเอียดของสเปกตรัม (Resolution) ดีขึ้น



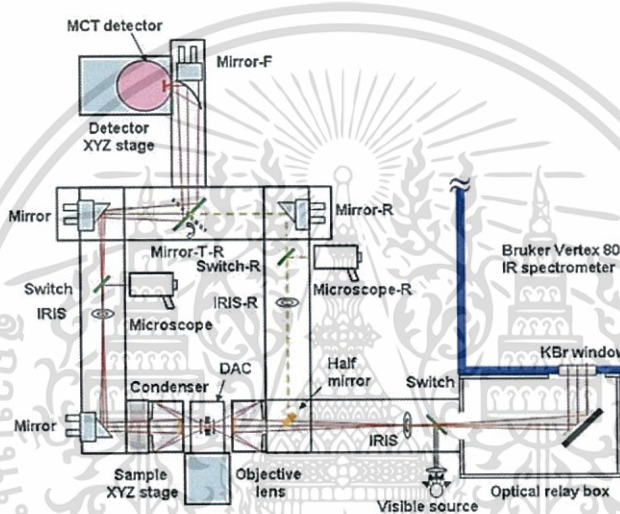
รูปที่ 2.22 องค์ประกอบของเครื่องฟูเรียร์ทรานส์ฟอร์มอินฟราเรดสเปกโทรมิเตอร์ [28]

#### 2.5.2.2 องค์ประกอบที่สำคัญของเครื่องฟูเรียร์ทรานส์ฟอร์มอินฟราเรดสเปกโทรมิเตอร์มีดังนี้

- 1) แหล่งกำเนิดแสง (Light source)
- 2) กระจกเงาที่สามารถสะท้อนรังสีอินฟราเรดเคลื่อนที่ได้ (Mobile mirror)

เอกสารนี้เป็นเอกสารที่สงวนไว้สำหรับการใช้งานเพื่อการศึกษาเท่านั้น ไม่อนุญาตให้นำไปใช้ประโยชน์ด้านการค้า ไม่ว่าจะกรณีใดๆทั้งสิ้น อีกทั้งห้ามมิให้ตัดแปลงเนื้อหา และต้องอ้างอิงถึงเจ้าของเอกสารทุกครั้งที่มีการนำไปใช้

- 3) กระจกเงาที่สามารถสะท้อนรังสีอินฟราเรดไม่สามารถที่จะเคลื่อนที่ได้ (Fixed mirror)
- 4) ตัวแยกรังสี (Beam Splitter) เป็นส่วนที่จะทำการแยกอินฟราเรดที่ผ่านเข้ามาให้เป็นสองส่วนคือ สามารถให้แสงทะลุผ่านได้ 50 เปอร์เซ็นต์ และสะท้อนกลับ 50 เปอร์เซ็นต์
- 5) กระจกหมุนได้ เป็นกระจกเงาที่สามารถสะท้อนรังสีอินฟราเรดใช้ในการบังคับทิศทางการเดินทางของรังสี อินฟราเรด ให้ไปตามทิศทางที่ต้องการ
- 6) ช่องใส่สารตัวอย่าง เป็นส่วนที่จะใช้ในการบรรจุสารตัวอย่างเข้าไปเพื่อทำการตรวจวิเคราะห์
- 7) ตัวตรวจวัด (Detector)



รูปที่ 2.23 หลักการทำงานของเครื่องฟูเรียทรานส์ฟอร์มอินฟราเรดสเปกโทรมิเตอร์ [29]

### 2.5.2.3 หลักการทำงานของเครื่องฟูเรียทรานส์ฟอร์มอินฟราเรดสเปกโทรมิเตอร์ มีดังนี้

- 1) แหล่งกำเนิดรังสีอินฟราเรดจะทำการผลิตรังสีอินฟราเรดในช่วงความยาวคลื่นหรือเลขคลื่นที่จะใช้ในการวิเคราะห์
- 2) ตัวแยกรังสี จะทำการแยกอินฟราเรดที่ผ่านเข้ามาให้เป็นสองส่วนคือ สามารถให้แสงทะลุผ่านได้ 50 เปอร์เซ็นต์ และสะท้อนกลับ 50 เปอร์เซ็นต์
- 3) กระจกเงาไม่เคลื่อนที่จะสะท้อนรังสีกลับมาที่ตัวแยกรังสี
- 4) กระจกเงาเคลื่อนที่จะสะท้อนรังสีกลับมาที่ตัวแยกรังสี
- 5) คลื่นอินฟราเรดที่สะท้อนมาจากทั้งกระจกเงาเคลื่อนที่และกระจกเงาไม่เคลื่อนที่จะมารวมกันและเกิดการแทรกสอดกันขึ้นแต่จากการที่กระจกเงาเคลื่อนที่สามารถเคลื่อนที่ได้โดยการควบคุมระยะการเคลื่อนที่โดยเลเซอร์ เมื่อกระจกเงาเคลื่อนที่ก็จะทำให้ระยะทางการสะท้อนกลับของรังสีอินฟราเรดของกระจกเงาเคลื่อนที่และกระจกเงาไม่เคลื่อนที่มีค่าไม่เท่ากัน ซึ่งก็จะส่งผลให้รังสีอินฟราเรดที่ได้มีความยาวคลื่นเปลี่ยนไปอันเกิดจากการแทรกสอดแบบเสริมกันหรือหักล้างกัน เรียกว่า อินเทอร์เฟอโรแกรม (Interferogram)

เอกสารนี้เป็นเอกสารที่สงวนไว้สำหรับการใช้งานเพื่อการศึกษาเท่านั้น ไม่อนุญาตให้นำไปใช้ประโยชน์ด้านการค้า ไม่ว่าจะกรณีใดๆทั้งสิ้น อีกทั้งห้ามมิให้ตัดแปลงเนื้อหา และต้องอ้างอิงถึงเจ้าของเอกสารทุกครั้งที่มีการนำไปใช้

- 6) อินฟราเรดที่ความยาวคลื่นต่าง ๆ จะสะท้อนไปที่ช่องใส่สารตัวอย่าง ผ่านสารตัวอย่าง ซึ่งจะมีการดูดกลืนอินฟราเรดเอาไว้บางส่วนในบางความยาวคลื่น ส่วนอินฟราเรดที่ไม่ถูกดูดกลืนก็จะผ่านเข้าสู่ตัวตรวจวัดสัญญาณที่ได้คอมพิวเตอร์จะทำการแปลงสัญญาณอินเทอร์เฟอโรแกรม (Interferogram) ด้วยสมการฟูเรียร์ทรานส์ฟอร์ม ผลที่ได้จะเป็นสเปกตรัมการดูดกลืนแสงอินฟราเรดของสารที่ความยาวคลื่นต่าง ๆ

#### 2.5.2.4 ข้อดีของเครื่องฟูเรียร์ทรานส์ฟอร์มอินฟราเรดสเปกโทรมิเตอร์

- 1) ให้ผลการวิเคราะห์ที่รวดเร็วและมีความไวสูง
- 2) มีอัตราส่วนของสัญญาณต่อสัญญาณรบกวน (Signal-to-noise ratio; s/n) ต่ำ ซึ่งจะแปรผันกับรากที่สองของปริมาณสัญญาณที่ตรวจวัดได้ทั้งหมด
- 3) ความไวของเครื่องตรวจวัดสามารถเพิ่มขึ้นได้ด้วยการเพิ่มอัตราส่วนของสัญญาณต่อสัญญาณรบกวนร่วมกับการเพิ่มจำนวนรอบของสแกน มีการใช้รูรับแสงแบบวงกลม (Circular optical aperture) แทนที่ช่องแสงเข้า (Entrance slit) ทำให้ลำรังสีมีขนาดมากกว่าแบบกระจายแสง (Dispersive) 75 ถึง 100 เท่า
- 4) มีกำลังแสงสูง เหมาะสำหรับตัวอย่างหรือเทคนิคบางเทคนิคที่มีข้อจำกัดของกำลังแสง
- 5) นอกจากนี้เทคนิคฟูเรียร์ทรานส์ฟอร์มอินฟราเรดสเปกโทรสโกปียังให้ประสิทธิภาพในการแยกสูงรวมทั้งมีความถูกต้องไม่ต่ำกว่า  $0.01 \text{ cm}^{-1}$  มีกลไกทำงานที่ง่าย

#### 2.5.2.5 ข้อจำกัดของเครื่องฟูเรียร์ทรานส์ฟอร์มอินฟราเรดสเปกโทรมิเตอร์

- 1) ในการเตรียมตัวอย่างบางเทคนิคที่ต้องใช้สารละลายที่ยินยอมให้รังสีทะลุผ่านและตัวอย่างจะต้องถูกกระตุ้นได้ในช่วงอินฟราเรด
- 2) เครื่องมือที่ใช้มีราคาค่อนข้างสูงและมีค่าใช้จ่ายในการบำรุงรักษาสูง

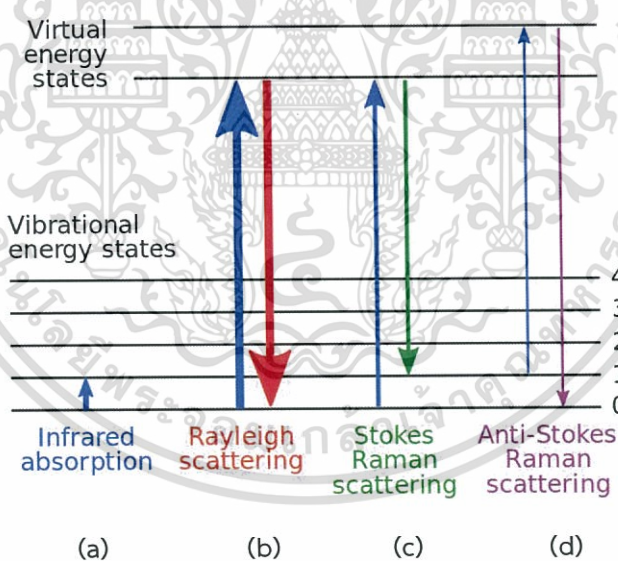
### 2.5.3 รามานสเปกโทรสโกปี (Raman Spectroscopy) [27, 30]

รามานสเปกโทรสโกปี (Raman spectroscopy) เป็นเทคนิคที่วัดการกระเจิงของคลื่นแสงหลังจากได้ชนกับโมเลกุลที่กำลังสั่นและหมุนอยู่ เนื่องจากโมเลกุลที่มีการเปลี่ยนแปลงโมเมนตัมชั่วครู่ภายในโมเลกุล ซึ่งเทคนิครามานสามารถให้สเปกตรัมของโมเลกุลดังกล่าวได้ โดยผ่านคลื่นแสงไปยังโมเลกุล รามานสเปกโทรสโกปีจัดได้ว่าเป็นเทคนิคหนึ่งที่เกี่ยวข้องกับทรานซิชันในช่วงพลังงานของการสั่นสะเทือนและการหมุนของโมเลกุล ข้อมูลที่ได้จากการศึกษาด้วยเทคนิครามานเมื่อเสริมด้วยข้อมูลจากเทคนิคอินฟราเรดก็จะทำให้การศึกษาเกี่ยวกับการสั่นสะเทือนของโมเลกุลสมบูรณ์ขึ้น

เทคนิครามานสเปกโทรสโกปีพบครั้งแรกโดย เซอร์ จันดราเชกฮารา เวนกาท่า รามาน (Sir Chandrasekhara Venkata Raman) ชาวอินเดีย ในการทดลองเกี่ยวกับรามานนั้น ลำแสงโมโนโครมาติกจะถูกฉายไปยังสารตัวอย่างที่จะทำการศึกษา แล้วจึงสังเกตแสงที่กระจายออกมา (Scattering light) ตั้งฉากกับอินซิเดนซีไลท์ (Incident light) ลำแสงโมโนโครมาติกที่ใช้ในการทดลองนั้นมีอยู่ด้วยกันหลายชนิด และอาจมีความถี่ต่าง ๆ กัน ซึ่งในปัจจุบันนิยมใช้แสงเลเซอร์

### 2.5.3.1 หลักการทำงาน

เมื่อลำแสงที่มีความเข้มสูงผ่านเข้าไปยังตัวกลางโปร่งแสงส่วนใหญ่จะผ่านทะลุไปได้ แต่จะมีแสงส่วนน้อยเกิดการกระเจิงไปทุกทิศทางและเกิดการชนแบบยืดหยุ่น (Elastic collision) หรือการชนแบบไม่ยืดหยุ่น (Inelastic collision) กับโมเลกุลของสาร เมื่อโฟตอนผ่านเข้าไปในโมเลกุลสารจะมีการดูดกลืนพลังงานเข้าไปซึ่งพลังงานที่เหลือจะให้สเปกตรัมออกมาในลักษณะสเปกตรัมที่เป็นพิคแหลม โดยส่วนใหญ่โฟตอนที่กระเจิงออกมาจะมีความยาวคลื่นเดียวกันกับความยาวคลื่นที่ตกกระทบ ซึ่งอิเล็กตรอนจะกลับสู่ระดับพลังงานเดิมก่อนที่จะได้รับการกระตุ้นจากโฟตอน แต่มีโฟตอนบางส่วน (ประมาณ 1 ใน 10<sup>7</sup>) ที่กระเจิงออกมามีความยาวคลื่นเปลี่ยนไป โฟตอนที่มีความยาวคลื่นเปลี่ยนไปนี้เรียกว่า รามานสแคตเตอร์ (Raman scatter) โฟตอนที่เป็นรามานสแคตเตอร์นี้ส่วนใหญ่จะมีความยาวคลื่นมากกว่าความยาวคลื่นของโฟตอนที่ตกกระทบ (Stoke shift) แต่ก็มีส่วนน้อยที่โฟตอนที่เป็นรามานสแคตเตอร์จะมีความยาวคลื่นน้อยกว่าความยาวคลื่นของโฟตอนที่ตกกระทบ (Anti-Stokes shift) ซึ่งรามานสแคตเตอร์ทั้งสองแบบนี้ อิเล็กตรอนจะไม่ได้กลับมาสู่ระดับพลังงานเดิม (Stokes Raman scattering) ระดับพลังงานสุดท้ายของอิเล็กตรอนจะสูงกว่าระดับพลังงานเริ่มต้น ส่วนแอนติสโตกส์สแคตเตอร์ ระดับพลังงานสุดท้ายของอิเล็กตรอนจะมีพลังงานต่ำกว่าระดับพลังงานเริ่มต้น และสโตกส์สแคตเตอร์จะมีปริมาณมากกว่าแอนติสโตกส์สแคตเตอร์



รูปที่ 2.24 แสดงระดับพลังงานของการดูดกลืนแบบต่าง ๆ (a) เส้นการดูดกลืนอินฟราเรด (b) เส้นการกระจัดกระจายแบบเรย์ (c) เส้นสโตกส์รามาน (d) เส้นแอนติสโตกส์รามาน [31]

### 2.5.3.2 ทฤษฎีควอนตัมของรามานสเปกโตรสโคปี (Quantum Theory of Raman Effect)

การเกิดการกระจัดกระจายแสงของรามาน อาจจะอธิบายได้ง่าย ๆ โดยใช้ทฤษฎีควอนตัม เมื่อพิจารณาการชนระหว่างคลื่นแสงความยาวคลื่นเดียวกับโมเลกุล มีการชนได้ 2 แบบ คือ

- 1) การชนแบบยืดหยุ่น

เป็นการชนที่ไม่มีการสูญเสียพลังงาน คลื่นแสงที่กระจัดกระจายหลังจากการชนจะมีพลังงานเท่ากับคลื่นแสงที่ตกกระทบ ซึ่งการกระจัดกระจายแบบนี้เรียกว่าการกระจัดกระจายแบบเรย์ลี (Rayleigh Scattering)

## 2) การชนแบบไม่ยืดหยุ่น

เป็นการชนที่มีการเปลี่ยนแปลงพลังงานเกิดขึ้น ซึ่งคลื่นแสงที่กระจัดกระจายหลังจากการชน อาจมีพลังงานสูงกว่าหรือต่ำกว่าคลื่นแสงที่ตกกระทบ การกระจัดกระจายแบบนี้เรียกว่าการกระจัดกระจายแบบรามาน (Raman Scattering)

การที่คลื่นกระจัดกระจายมีพลังงานสูงหรือต่ำกว่าคลื่นแสงที่ตกกระทบนั้น เกิดขึ้นเนื่องจากปฏิกิริยาร่วมระหว่างโฟตอนกับโมเลกุล โดยถ้าโฟตอนให้พลังงานแก่มอเลกุลทำให้คลื่นแสงมีความถี่ลดลง และได้สเปกตรัมที่มีความถี่ต่ำกว่าความถี่ของคลื่นแสงตกกระทบ เรียกเส้นสเปกตรัมนี้ว่าเส้นสโตกส์ (Stokes lines) ถ้าโฟตอนได้รับพลังงานจากโมเลกุลจะทำให้คลื่นแสงที่มีความถี่เพิ่มขึ้น จะได้เส้นสเปกตรัมที่มีความถี่สูงกว่าความถี่ของคลื่นแสงที่ตกกระทบ เรียกเส้นสเปกตรัมนี้ว่า เส้นแอนติสโตกส์ (Anti-Stokes lines) เส้นสเปกตรัมที่มีความถี่ของคลื่นแสงตกกระทบเท่ากับความถี่ของคลื่นแสงกระจัดกระจาย เรียกเส้นสเปกตรัมนี้ว่า เส้นเรย์ลี (Rayleigh lines)

จะเห็นว่าเมื่อโมเลกุลถูกกระตุ้นจากสถานะพื้นขึ้นไปยังระดับพลังงานของการสั่นที่สูงขึ้นไประดับหนึ่งด้วยคลื่นแสงความยาวคลื่นเดียว แล้วกลับมายังระดับพลังงานของการสั่นอีกระดับหนึ่งที่ไม่ใช่สถานะพื้นจะได้เส้นสโตกส์ แต่ถ้ากลับลงมายังระดับพลังงานเหมือนเดิมจะได้เส้นเรย์ลี ส่วนเส้นแอนติสโตกส์เกิดได้โดยตอนแรกโมเลกุลจะถูกกระตุ้นไปยังระดับพลังงานของการสั่นระดับที่ 1 ก่อนต่อจากนั้นจะถูกกระตุ้นต่อไปยังระดับพลังงานที่สูงกว่าแล้วจึงกลับมายังสถานะพื้น โดยทั่วไปความเข้มของคลื่นแสงที่กระจัดกระจายมีค่าประมาณ  $10^{-3} - 10^{-5}$  เท่าของความเข้มแสงที่ตกกระทบเท่านั้น และคลื่นแสงที่กระจัดกระจายเหล่านี้ส่วนใหญ่จะมีความถี่เท่ากับความถี่ของคลื่นแสงที่ตกกระทบ ดังนั้นจะพบว่าเส้นเรย์ลีจะมีความเข้มสูงกว่า

### 2.5.3.3 ข้อดีของเทคนิครามานสเปกโตรสโกปี

- 1) เนื่องจากปรากฏการณ์รามานเป็นกระบวนการกระเจิงของแสง ดังนั้น สารตัวอย่างที่ใช้ อาจจะมีรูปทรงหรือขนาดใด ๆ ก็ได้
- 2) สามารถใช้วัดสารตัวอย่างที่มีความเข้มข้นหรือปริมาณน้อยได้
- 3) สามารถใช้วิเคราะห์สารตัวอย่างที่ละลายในน้ำได้ เนื่องจากโมเลกุลน้ำซึ่งมีสภาพขั้วสูงจะไม่เกิดสัญญาณรบกวนสเปกตรัมรามาน
- 4) ช่องใส่สารตัวอย่าง (Sample holder) เป็นวัสดุประเภทแก้ว ซึ่งมีราคาไม่แพงเมื่อเทียบกับที่ใส่สารตัวอย่างของอินฟราเรดสเปกโทรสโกปี (IR window) บางตัว เช่น ซิงค์เซลิไนด์ (ZnSe)
- 5) สามารถใช้วิเคราะห์ได้ทั้งในเชิงคุณภาพและปริมาณ

## 2.5.4 กล้องจุลทรรศน์อิเล็กตรอนแบบส่องกราด (Scanning electron microscope; SEM) [32]

### 2.5.4.1 ข้อมูลทั่วไป

กล้องจุลทรรศน์อิเล็กตรอนแบบส่องกราด เป็นกล้องจุลทรรศน์ที่ใช้อิเล็กตรอน (Electron)

เป็นแหล่งกำเนิดแสง เป็นเครื่องมือที่ใช้ศึกษาลักษณะพื้นฐานของวัสดุในระดับจุลภาค เช่น ลักษณะ  
 เอกสารฉบับนี้จัดทำขึ้นเพื่อแจกจ่ายให้แก่นักศึกษาและบุคลากรในสังกัดมหาวิทยาลัยเทคโนโลยีพระจอมเกล้าธนบุรี  
 ไม่ว่ากรณีใดๆทั้งสิ้น อีกทั้งห้ามมิให้ตัดแปลงเนื้อหา และต้องอ้างอิงถึงเจ้าของเอกสารทุกครั้งที่มีการนำไปใช้

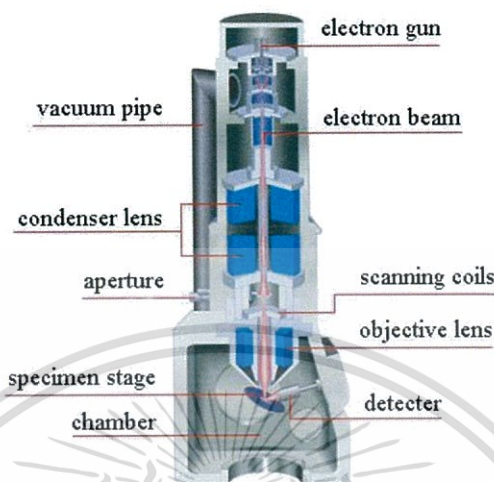
รูปร่าง ลวดลายเป็นผิวตัวอย่าง หรือขนาดของตัวอย่าง ซึ่งเป็นรายละเอียดที่เล็กมาก เนื่องจากข้อจำกัดของกล้องจุลทรรศน์แบบแสงที่มีความยาวคลื่นแสงขนาดใหญ่กว่าลักษณะสัณฐานบางชนิดที่ต้องการศึกษา และกำลังความสามารถในการแยกชัดของกล้องจุลทรรศน์แบบแสงธรรมดา มีค่าต่ำ ใช้วัตถุเล็กสุดประมาณ 0.2 ไมโครเมตร และให้กำลังขยายสูงสุดไม่เกิน 3,000 เท่า ซึ่งไม่สามารถตรวจสอบรายละเอียดของวัตถุที่มีขนาดเล็กมาก ๆ ได้ จึงมีความจำเป็นอย่างยิ่งที่จะต้องใช้กล้องจุลทรรศน์อิเล็กตรอนที่มีกำลังขยายสูง มีความสามารถในการแยกชัดดี เนื่องจากมีความยาวคลื่นสั้นเพื่อช่วยในการวิเคราะห์ลักษณะสัณฐานของวัสดุ โดยกล้องจุลทรรศน์อิเล็กตรอนแบบส่องกราดมีกำลังขยายมากกว่า 3,000 เท่า จนถึงระดับมากกว่า 10,000 เท่า และสามารถแจกแจงรายละเอียดของภาพ ซึ่งขึ้นกับลักษณะตัวอย่างได้ตั้งแต่ 3 ถึง 1,000 นาโนเมตร อีกทั้งยังสามารถใช้งานร่วมกับเทคนิคการวิเคราะห์อื่น เช่น หัววัดอีดีเอส (Energy Dispersive Spectrometry; EDS) และหัววัดดับเบิลยูดีเอส (Wavelength Dispersive Spectrometry; WDS) ที่เป็นข้อมูลทางเคมี จึงทำให้กล้องจุลทรรศน์อิเล็กตรอนแบบส่องกราดเป็นที่นิยมใช้กันอย่างกว้างขวางในปัจจุบัน โดยภาพที่ได้จากกล้องจุลทรรศน์อิเล็กตรอนแบบส่องกราดจะได้ภาพแบบ 3 มิติ

กล้องจุลทรรศน์อิเล็กตรอนแบบส่องกราดมีต้นกำเนิดเป็นอิเล็กตรอนแทนแสง โดยต้นกำเนิดอิเล็กตรอนถูกสร้างจากการจ่ายกระแสไฟฟ้าสูงแก่ขดลวดทั้งสแตนด์ ทำให้อิเล็กตรอนหลุดออกจากขดลวด จากนั้นอิเล็กตรอนที่หลุดออกมาจะถูกควบคุมทิศทางภายใต้สนามแม่เหล็ก ซึ่งอาศัยหลักการเลี้ยวเบนของอิเล็กตรอนในสนามแม่เหล็กหรือที่เรียกว่า เลนส์แม่เหล็ก ทำให้ลำอิเล็กตรอนปฐมภูมิวิ่งเข้ามากระทบกับชิ้นงาน เกิดอันตรกิริยาของอิเล็กตรอนต่อชิ้นงานหลายแบบ เนื่องจากลำอิเล็กตรอนที่วิ่งมากระทบชิ้นงานมีพลังงานสูง ทำให้อิเล็กตรอนที่หลุดออกจากชิ้นงานมีหลายระดับพลังงานแบ่งได้เป็น

- 1) อิเล็กตรอนทุติยภูมิ (Secondary electron) เป็นอิเล็กตรอนที่หลุดออกจากชั้นแถบการนำ (Conduction band) หรือแถบพลังงานเวเลนซ์ (Valance band) ซึ่งไม่ต้องใช้พลังงานสูงสามารถหลุดออกจากผิวชิ้นงานได้ง่าย บางครั้งเรียกว่าอิเล็กตรอนอิสระ ซึ่งจะมีช่วงพลังงาน 10 ถึง 50 อิเล็กตรอนโวลต์ อิเล็กตรอนชนิดนี้จะใช้ในการสร้างภาพที่บริเวณพื้นผิวของชิ้นงานสำหรับกล้องจุลทรรศน์อิเล็กตรอนแบบส่องกราด (SEM)
- 2) อิเล็กตรอนแบบกระเจิงกลับ (Back scattered electron) เป็นอิเล็กตรอนที่เกิดจากการที่ลำอิเล็กตรอนปฐมภูมิวิ่งเข้าชนกับชิ้นงาน โดยสูญเสียพลังงานให้กับอะตอมในชิ้นงานเพียงบางส่วน แล้วเกิดการกระเจิงกลับออกมาจากชิ้นงาน ซึ่งพลังงานของอิเล็กตรอนชนิดนี้จะมีค่าตั้งแต่พลังงานของอิเล็กตรอนปฐมภูมิไปจนถึงพลังงานอิเล็กตรอนทุติยภูมิ ค่าพลังงานต่างๆที่กระเจิงกลับมานั้นจะขึ้นกับเลขมวลอะตอมของธาตุที่เป็นองค์ประกอบในชิ้นงาน ดังนั้นอิเล็กตรอนชนิดนี้จึงสามารถใช้สร้างภาพที่แสดงความแตกต่างของธาตุได้ โดยแสดงในรูปแบบของความเข้ม และความสว่างของภาพที่เกิดขึ้นในแต่ละบริเวณใช้ในการวิเคราะห์การกระจายตัวของธาตุที่เป็นองค์ประกอบในชิ้นงาน
- 3) รังสีเอกซ์ (X-ray) เป็นคลื่นแม่เหล็กไฟฟ้าที่มีความยาวคลื่นสั้น มีความถี่สูง เกิดจากการที่ลำอิเล็กตรอนพลังงานสูงวิ่งเข้าชนสารตัวอย่าง ทำให้อิเล็กตรอนในระดับชั้นโคจรต่าง ๆ (K, L, M, ...) ได้รับความเสียหายจนหลุดออกจากวงโคจร แล้วอิเล็กตรอนจากชั้นโคจรถัดไปเข้ามาแทนที่ ทำให้มีการปลดปล่อยรังสีเอกซ์ออกมา ซึ่งสเปกตรัมของรังสีเอกซ์ที่

เอกสารนี้เป็นเอกสารที่สงวนไว้สำหรับการใช้งานเพื่อการศึกษาเท่านั้น ไม่อนุญาตให้นำไปใช้ประโยชน์ด้านการค้า ไม่ว่าจะกรณีใดๆทั้งสิ้น อีกทั้งห้ามมิให้ตัดแปลงเนื้อหา และต้องอ้างอิงถึงเจ้าของเอกสารทุกครั้งที่มีการนำไปใช้

ปล่อยออกมาสามารถนำไปวิเคราะห์หาองค์ประกอบของธาตุได้ทั้งในเชิงคุณภาพและปริมาณ โดยค่าพลังงานนี้จะขึ้นกับเลขอะตอมของธาตุ ซึ่งจะใช้หัววัดรังสีเอกซ์ในการวิเคราะห์ข้อมูลประกอบกับกล้องจุลทรรศน์อิเล็กตรอนแบบส่องกราด



รูปที่ 2.25 ส่วนประกอบต่าง ๆ ภายในกล้องจุลทรรศน์อิเล็กตรอนแบบส่องกราด [32]

#### 2.5.4.2 ส่วนประกอบพื้นฐานของกล้องจุลทรรศน์อิเล็กตรอนแบบส่องกราด

- 1) แหล่งกำเนิดอิเล็กตรอน (Electron gun)
- 2) เลนส์ควบคุมลำแสงอิเล็กตรอน (Electromagnetic lens) และขดลวดควบคุมการเคลื่อนที่ของลำแสงอิเล็กตรอน (Scan coil)
- 3) ช่องตัวอย่าง (Specimen Chamber)
- 4) อุปกรณ์รวบรวมสัญญาณ (Collector & scintillator)
- 5) อุปกรณ์สร้างภาพและถ่ายภาพ (Imaging photographic devices)

#### 2.5.4.3 หลักการทำงาน

หลักการทำงานของกล้องจุลทรรศน์อิเล็กตรอนแบบส่องกราดจะประกอบด้วยแหล่งกำเนิดอิเล็กตรอนซึ่งทำหน้าที่ผลิตอิเล็กตรอนเพื่อป้อนให้กับระบบ โดยกลุ่มอิเล็กตรอนที่ได้จากแหล่งกำเนิดจะถูกเร่งด้วยสนามไฟฟ้า จากนั้นกลุ่มอิเล็กตรอนจะผ่านเลนส์รวบรวมรังสี (Condenser lens) เพื่อให้กลุ่มอิเล็กตรอนกลายเป็นลำอิเล็กตรอน ซึ่งสามารถปรับให้ขนาดของลำอิเล็กตรอนให้มีขนาดใหญ่หรือเล็กได้ตามต้องการ หากต้องการภาพที่มีความคมชัดจะปรับให้ลำอิเล็กตรอนมีขนาดเล็ก หลังจากนั้นลำอิเล็กตรอนจะถูกปรับระยะโฟกัสโดยเลนส์ใกล้วัตถุ (Objective lens) ลงไปบนผิวชิ้นงานที่ต้องการศึกษา หลังจากลำอิเล็กตรอนถูกกราดลงบนชิ้นงานจะทำให้เกิดอิเล็กตรอนทุติยภูมิ (Secondary electron) ขึ้นซึ่งสัญญาณจากอิเล็กตรอนทุติยภูมินี้จะถูกบันทึกและแปลงไปเป็นสัญญาณทางอิเล็กทรอนิกส์และถูกนำไปสร้างเป็นภาพบนจอโทรทัศน์ต่อไปและสามารถบันทึกภาพจากหน้าจอโทรทัศน์ได้

#### 2.5.4.4 ข้อดีของกล้องจุลทรรศน์อิเล็กตรอนแบบส่องกราด

เอกสารนี้เป็นเอกสารที่สงวนไว้สำหรับการใช้งานเพื่อการศึกษาเท่านั้น ไม่อนุญาตให้นำไปใช้ประโยชน์ด้านการค้าไม่ว่ากรณีใดๆทั้งสิ้น อีกทั้งห้ามมิให้ตัดแปลงเนื้อหา และต้องอ้างอิงถึงเจ้าของเอกสารทุกครั้งที่มีการนำไปใช้

เมื่อเปรียบเทียบกับกล้องจุลทรรศน์อิเล็กตรอนแบบส่องผ่าน ภาพโครงสร้างที่เห็นจากกล้องจุลทรรศน์อิเล็กตรอนแบบส่องกราดจะเป็นภาพลักษณะ 3 มิติ ในขณะที่ภาพจากกล้องจุลทรรศน์อิเล็กตรอนแบบส่องผ่านจะให้ภาพลักษณะ 2 มิติ อีกทั้งวิธีการใช้งานกล้องจุลทรรศน์อิเล็กตรอนแบบส่องกราดจะมีความรวดเร็วและใช้งานง่ายกว่ากล้องจุลทรรศน์อิเล็กตรอนแบบส่องผ่านมาก

## 2.5.5 สเปกโตรฟลูออโรมิเตอร์ (Spectrofluorometer) [33]

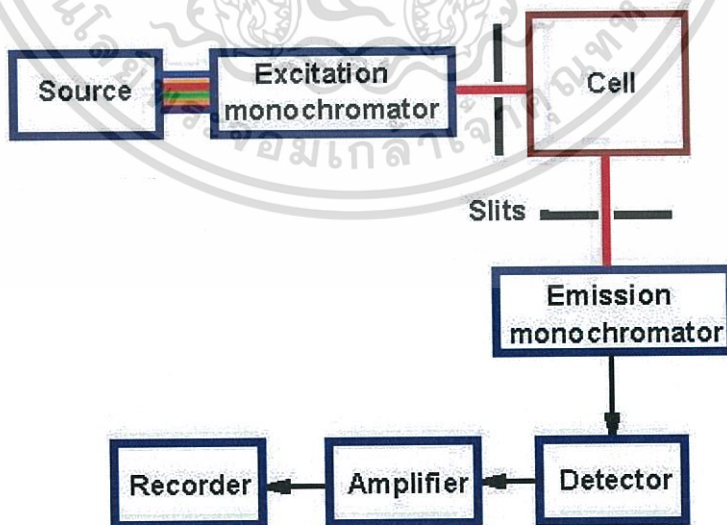
### 2.5.5.1 ข้อมูลทั่วไป

การเปล่งแสง (Luminescence) ของสารบางชนิดจัดว่าเป็นปรากฏการณ์ที่เกิดขึ้นค่อนข้างพิเศษสามารถนำไปใช้ในการตรวจสอบสารได้ โดยในปัจจุบันนี้ได้กลายเป็นเทคนิคใช้ในการวิเคราะห์ทางเคมีได้อย่างดี ผู้ที่พบปรากฏการณ์เปล่งแสงนี้เป็นคนแรก คือนักวิทยาศาสตร์ชาวสเปนชื่อ นิโคลาส โมนาเดส (Nicholas Monardes) ได้ค้นพบตั้งแต่ปี ค.ศ. 1565 หลังจากนั้นในปีค.ศ. 1852 เซอร์-จอร์จ กาเบียล สโตค (Sir George Gabriel Stokes) นักฟิสิกส์ชาวอังกฤษเป็นผู้อธิบายกระบวนการดูดกลืนแสงและการเปล่งแสงและเป็นผู้บัญญัติคำว่า ฟลูออเรสเซนซ์ (Fluorescence) ขึ้นมาใช้ เทคนิคการเปล่งแสง (Luminescence Spectroscopy) ได้กลายมาเป็นเทคนิคที่สำคัญและใช้กันอย่างกว้างขวางในการวิเคราะห์ทางเคมีเนื่องจากเป็นวิธีการวิเคราะห์ที่มีสภาพไวสูง มีลักษณะเฉพาะ

### 2.5.5.2 ชนิดการเปล่งแสง (Types of Luminescence)

การเปล่งแสงมีด้วยกันหลายชนิด ทั้งนี้แล้วแต่แหล่งพลังงานที่ทำให้โมเลกุลไปอยู่ที่สถานะกระตุ้น เช่น โมเลกุลที่เกิดอันตรกิริยากับโฟตอนของการแผ่รังสีแม่เหล็กไฟฟ้าทำให้เกิดลูมิเนสเซนส์ โมเลกุล (Luminescent molecules) เรียกว่าโฟโตลูมิเนสเซนซ์ ซึ่งยังแบ่งออกเป็นการร่วแสง (Fluorescence) และการเรืองแสง (Phosphorescence) ทั้งสองปรากฏการณ์นี้แตกต่างกันที่กระบวนการกลับมาสู่สถานะพื้นใหม่

### 2.5.5.3 องค์ประกอบของเครื่องสเปกโตรฟลูออโรมิเตอร์ (Spectrofluorometer)



รูปที่ 2.26 แสดงองค์ประกอบของเครื่องสเปกโตรฟลูออโรมิเตอร์ [33]

เอกสารนี้เป็นเอกสารที่สงวนไว้สำหรับการใช้งานเพื่อการศึกษาเท่านั้น ไม่อนุญาตให้นำไปใช้ประโยชน์ด้านการค้า ไม่ว่ากรณีใดๆทั้งสิ้น อีกทั้งห้ามมิให้ตัดแปลงเนื้อหา และต้องอ้างอิงถึงเจ้าของเอกสารทุกครั้งที่มีการนำไปใช้

## 1) แหล่งกำเนิดแสง (Light source)

แหล่งกำเนิดแสงภายในเครื่องสเปกโทรฟลูออโรมิเตอร์จะต้องมีความเข้มแสงสูงเนื่องจากความเข้มของแสงมีผลต่อการกระตุ้นจำนวนโมเลกุลให้ขึ้นไปสู่สถานะเร้าในปัจจุบันแหล่งกำเนิดแสงที่นิยมใช้ในเครื่องสเปกโทรฟลูออโรมิเตอร์จะเป็นเลเซอร์ซึ่งสามารถให้ความยาวคลื่นแสงได้ตั้งแต่ 300 ถึง 600 นาโนเมตร

## 2) ส่วนแยกความยาวคลื่น (Excitation and emission monochromator)

ส่วนแยกความยาวคลื่นที่ใช้ในการกระตุ้น (Excitation monochromator) มีหน้าที่เลือกความยาวคลื่นที่เราต้องการใช้สำหรับการกระตุ้นโมเลกุลให้ขึ้นไปอยู่ในสถานะเร้าส่วนแยกความยาวคลื่นแสงฟลูออเรสเซนซ์ที่โมเลกุลของสารคายแสงออกมา (Emission monochromator) มีหน้าที่เลือกเฉพาะความยาวคลื่นแสงฟลูออเรสเซนซ์ที่ต้องการจะวัด

## 3) ภาชนะใส่สารละลาย (Cell หรือ Cuvette)

เป็นคิวเวทท์ที่ทำจากควอทซ์และมีด้านใสทั้งสี่ด้าน เพื่อให้แสงกระตุ้นผ่านเข้ามาแล้ววัดแสงฟลูออเรสเซนซ์ที่ออกมาในแนวตั้งฉาก (90 องศา)

## 4) ตัวตรวจวัดหรือดีเทคเตอร์ (Detector)

แสงฟลูออเรสเซนซ์ที่โมเลกุลของสารคายออกมาจะอยู่ในช่วงอัลตราไวโอเล็ตหรือช่วงแสงที่เห็นได้อยู่แล้วดังนั้นตัวตรวจวัดจึงใช้แบบเดียวกับในเครื่องสเปกโทรโฟโตมิเตอร์ได้เลยแต่แสงฟลูออเรสเซนซ์จะมีความเข้มต่ำมากดังนั้นจำเป็นต้องมีตัวขยายสัญญาณ (Amplifier) จำนวนมาก

## 5) ตัวบันทึกสัญญาณ (Recorder)

ทำหน้าที่แปรผลสัญญาณอิเล็กทรอนิกส์ให้ออกมาอยู่ในรูปตัวเลขหรือดิจิทัล

## 2.5.5.4 หลักการของโฟโตลูมิเนสเซนซ์ (Principles of Photoluminescence)

โฟโตลูมิเนสเซนซ์เป็นกระบวนการไปสู่สถานะกระตุ้นและการกลับสู่สถานะพื้น (Excitation de excitation process) โดยมีโฟตอนเข้าไปเกี่ยวข้องคือมีการดูดกลืนโฟตอนและให้โฟตอนออกมา เนื่องจากกระบวนการที่เกิดขึ้นจะต้องแข่งขันกัน ดังนั้นอัตราการเกิดของกระบวนการกระตุ้นจึงมีความสำคัญคือเมื่อโมเลกุลดูดกลืนรังสีจากการแผ่รังสีแม่เหล็กไฟฟ้าขึ้นไปอยู่ที่สถานะกระตุ้น (Excited state) ซึ่งจะต้องมีกลไกในการลดพลังงานที่มากเกินไปลงมาสู่สถานะพื้น (Deexcited state) ถ้าให้มัลติพลิสิตี (Multiplicity) ของโมเลกุล  $M$  ซึ่งแสดงถึงออร์บิทัลแองกูลาร์ (Orbital angular momentum) ของแต่ละสถานะ (State) และเกี่ยวกับสปิน ดังสมการ

$$M = 2S + 1$$

$S$  คือ เลขควอนตัมการสปินของโมเลกุลและเป็นผลรวมของการสปินของอิเล็กตรอนในโมเลกุล สำหรับโมเลกุลของสารอินทรีย์ส่วนใหญ่แล้ว  $S$  จะมีค่าเท่ากับ 0 เพราะโมเลกุลมีจำนวนอิเล็กตรอนเป็นเลขคู่ (Pair)

$$S = \left( +\frac{1}{2} - \frac{1}{2} \right) = 0$$

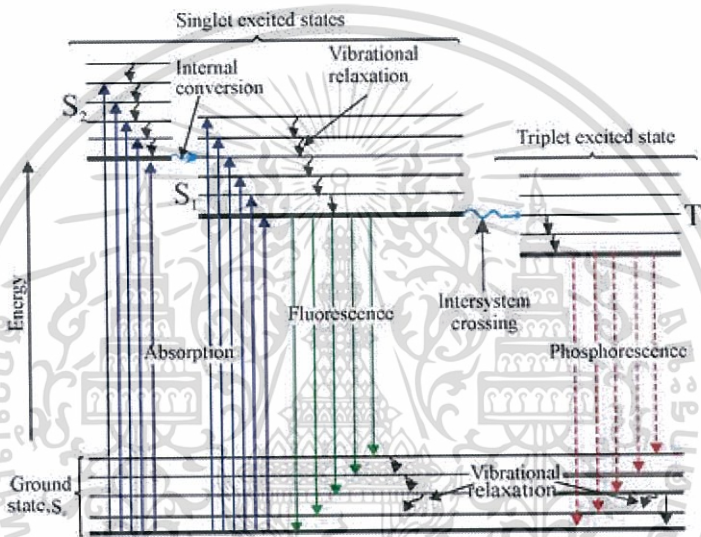
$M = 2(0) + 1 = 1$  เรียกว่าซิงเลต (Singlet electronic state) และให้ซิงเลตสแตตพื้น (Ground single state) เป็น  $S_0$  ถ้าเป็น  $S_1$  และ  $S_2$  จะหมายถึงซิงเลตกระตุ้นที่หนึ่ง และที่สอง

เอกสารนี้เป็นเอกสารที่สงวนไว้สำหรับการใช้งานเพื่อการศึกษาเท่านั้น ไม่อนุญาตให้นำไปใช้ประโยชน์ด้านการค้า ไม่ว่าจะกรณีใดๆทั้งสิ้น อีกทั้งห้ามมิให้ตัดแปลงเนื้อหา และต้องอ้างอิงถึงเจ้าของเอกสารทุกครั้งที่มีการนำไปใช้

ตามลำดับ (First and second excited singlet states) ขณะที่โมเลกุลอยู่ในสถานะกระตุ้นอิเล็กตรอนตัวหนึ่งมีโอกาสที่เปลี่ยนสปินกลับทางดั่งนั้น

$$S = +\frac{1}{2} + \frac{1}{2} = 1$$

$M = 2(1) + 1 = 3$  เรียก ทริปเลต (triplet state) และ ทริปเลต ที่มีพลังงานต่ำที่สุดให้เป็น  $T_1$  ดังนั้น โมเลกุลใดที่มีอิเล็กตรอนเป็นเลขคู่ ไม่สามารถมีทริปเปิลพื้น (Ground triplet state) เพราะอิเล็กตรอนมีพลังงานต่ำที่สุดมีคู่สปิน ดังนั้นโมเลกุลที่มีหนึ่งอิเล็กตรอนโดดเดี่ยว (จำนวนอิเล็กตรอนเป็นเลขคี่) จึงมีสถานะเป็นดับเบิลสเตรต เช่นพวกอิเล็กตรอนอิสระ เป็นต้น รูปที่ 2.27 จะแสดงถึงกระบวนการทำให้เกิดการ กระตุ้นและการแผ่รังสีออกมาเป็นสถานะซิงเกิล (Singlet state) และทริปเลต (triplet state) ของโมเลกุลของสารอินทรีย์โดยใช้แผนภาพแสดงระดับพลังงาน Jablonski



รูปที่ 2.27 แผนภาพแสดงระดับพลังงาน Jablonski เกี่ยวกับการดูดกลืนและการแผ่รังสี [34]

ในรูปที่ 2.27 แสดงระดับพลังงานให้เห็นเฉพาะอิเล็กตรอน และระดับพลังงานในการสั่นเท่านั้น แต่จะไม่แสดงระดับพลังงานในการหมุน เนื่องจากไม่สามารถวัดและแยกออกได้ด้วยเครื่องสเปกโตรมิเตอร์ธรรมดา ซึ่งระดับพลังงานความยาวคลื่นแสงที่ให้ออกมาแตกต่างกันอย่างมากและยังขึ้นอยู่กับชนิดของสารอินทรีย์

## 2.5.6 อัลตราไวโอเลตวิสิเบิลสเปกโทรมิเตอร์(Ultraviolet-Visible Spectroscopy)

[35]

### 2.5.6.1 ข้อมูลทั่วไป

เครื่องอัลตราไวโอเลตวิสิเบิลสเปกโทรมิเตอร์เครื่องมือชนิดนี้ทำหน้าที่ในการตรวจวัดความเข้มแสงที่ผ่านหรือสะท้อนจากตัวอย่าง เปรียบเทียบกับความเข้มแสงจากแหล่งกำเนิด เครื่องอัลตราไวโอเลตวิสิเบิลสเปกโทรมิเตอร์โดยทั่วไปแล้วจะมีส่วนประกอบหลัก ๆ ที่เหมือนกัน ได้แก่ แหล่งกำเนิดแสง เกรตติ้งหรือโมโนโครเมเตอร์ เซลล์ที่บรรจุ สารตัวอย่าง และเครื่องตรวจวัด แหล่งกำเนิดแสง จะต้องให้แสงที่คงที่อย่างต่อเนื่อง ซึ่งตัวที่นิยมใช้เป็นแหล่งกำเนิดแสง คือ หลอดทังสเตนฮาโลเจน ซึ่งให้แสงที่มีความยาวคลื่นในช่วง 320 - 2500 นาโนเมตร สำหรับแหล่งกำเนิดแสงเอกสารนี้เป็นเอกสารที่สงวนไว้สำหรับการใช้งานเพื่อการศึกษาเท่านั้น ไม่อนุญาตให้นำไปใช้ประโยชน์ด้านการค้า ไม่ว่าจะกรณีใดๆทั้งสิ้น อีกทั้งห้ามมิให้ตัดแปลงเนื้อหา และต้องอ้างอิงถึงเจ้าของเอกสารทุกครั้งที่มีการนำไปใช้

ในช่วงรังสียูวีนั้นจะใช้หลอดไฮโดรเจนหรือหลอดดิวทีเรียม ซึ่งให้แสงในช่วงความยาวคลื่น 160 - 375 นาโนเมตร แต่แสงที่ได้จากแหล่งกำเนิดนั้นจะมีความยาวคลื่นต่าง ๆ ดังนั้นจึงต้องใช้ โมโนโครเมเตอร์ เป็นตัวกระจายแสงออกเพื่อให้แสงที่จะผ่านไปยังตัวอย่างมีความยาวคลื่นค่าเดียวตามที่ต้องการ หลังจากนั้นแสงความยาวคลื่นค่าเดียวจะผ่านไปยังเซลล์ที่บรรจุสารตัวอย่างและสารเปรียบเทียบ ซึ่งเซลล์ที่บรรจุสารตัวอย่างจะมีรูปร่างต่างกันไป แต่โดยส่วนใหญ่จะมีลักษณะเป็นกล่องทรงสี่เหลี่ยมผืนผ้าที่มีความกว้าง ภายใน 1 เซนติเมตร ซึ่งค่านี้จะเป็นค่าระยะทางเดินของแสงที่ผ่านเข้าไปในตัวอย่างตามกฎของ เบียร์ แลมเบิร์ต (Beer-Lambert) แต่เซลล์บรรจุสารตัวอย่างที่ดีที่สุดนั้นทำมาจากควอร์ตที่มีคุณภาพสูง สำหรับเซลล์บรรจุสารตัวอย่างที่ทำจากแก้วหรือพลาสติกนั้นเป็นที่นิยมใช้กันทั่วไป แต่สามารถใช้ได้เฉพาะในช่วงแสงขาวเท่านั้น เพราะแก้วและพลาสติกดูดกลืนแสงในช่วงรังสียูวีแสงในส่วนที่ไม่ถูกดูดกลืนจะเดินทางผ่านตัวอย่างมาถึงเครื่องตรวจวัด โดยเครื่องจะทำการบันทึกค่าความยาวคลื่นร่วมกับค่ามุมของแต่ละความยาวคลื่นที่เกิดการดูดกลืน ผลของสเปกตรัมที่ได้จะแสดงในรูปของกราฟระหว่างค่าการดูดกลืน (absorbance) และค่าความยาวคลื่น อัลตราไวโอเลต วิซิเบิลสเปกโตรมิเตอร์สามารถแบ่งได้เป็น 2 ระบบ คือ แบบลำแสงเดี่ยว และแบบลำแสงคู่ สำหรับเครื่องแบบลำแสงเดี่ยวเป็นเครื่องที่ใช้ลำแสงเดี่ยวจากแหล่งกำเนิดผ่านไปยังตัวอย่าง ซึ่งเครื่องมือนี้ได้รับการออกแบบให้สามารถใช้งานได้ง่ายสะดวกและมีราคาไม่แพงมากนัก

การดูดกลืนแสงหรือรังสีที่อยู่ในช่วงอัลตราไวโอเลตและวิซิเบิล ซึ่งอยู่ในช่วงความยาวคลื่นประมาณ 190 ถึง 800 นาโนเมตรของสารเคมี ส่วนใหญ่ได้แก่สารอินทรีย์ (Organic compound) หรือสารประกอบเชิงซ้อน (Complex compound) หรือสารอนินทรีย์ (Inorganic compound) ทั้งที่มีสีและไม่มีสี สมบัติของสารดังกล่าวนี้ได้นำมาใช้วิเคราะห์ทั้งในเชิงคุณภาพและเชิงปริมาณอย่างกว้างขวาง เพราะวิธีนี้ให้ความเที่ยงและความแม่นยำ และมีสภาพไว (Sensitivity) สูง โดยอาจทำการวิเคราะห์อยู่ในรูปของธาตุหรือโมเลกุลก็ได้ เทคนิคการวิเคราะห์นี้บางครั้งนิยมเรียกว่ายูวี - วิซิเบิลสเปกโตรโฟโตเมตรี ถ้าสารที่ทำการวิเคราะห์ที่มีสีหรือทำให้เกิดสีขึ้น สารที่มีสีนั้นจะดูดกลืนแสงในช่วงวิซิเบิล อาจเรียกว่า คัลเลอร์ิเมตรี (Colorimetry)

เมื่อให้ลำแสงที่เคลื่อนที่อย่างต่อเนื่องกัน (Continuous beam of radiation) ผ่านเข้าไปในวัตถุใสจะพบว่าแสงบางส่วนถูกดูดกลืน บางส่วนเกิดการสะท้อน บางส่วนกระเจิง และบางส่วนทะลุออกไป ถ้าให้แสงทะลุออกไปนั้นผ่านเข้าเครื่องกระจายแสง (เช่น ปริซึม หรือ เกรตติง) จะเห็นว่าสเปกตรัมหายไปส่วนหนึ่ง ส่วนที่หายไปนี้เรียกว่า แอ็บซอร์ปชันสเปกตรัม (Absorption spectrum) พลังที่ดูดกลืนไปนั้นจะทำให้โมเลกุลหรืออะตอมเปลี่ยนระดับพลังงานจากสถานะพื้นไปยังสถานะกระตุ้น

#### 2.5.6.2 ส่วนประกอบของเครื่องยูวี - วิซิเบิลสเปกโตรโฟโตมิเตอร์

- 1) แหล่งกำเนิดแสง (Light Source) แหล่งกำเนิดแสงที่ใช้ในงานทางสเปกโตรโฟโตเมตรีนั้น ควรจะต้องมีลักษณะดังนี้
  1. จะต้องให้ลำแสง (Beam of radiation) ที่มีกำลังพอที่วัดได้ด้วยมาตรฐานแสง
  2. จะต้องให้การแผ่รังสี (Radiation) ออกมาตลอดเวลาในช่วงความยาวคลื่นที่ต้องการ
  3. จะต้องให้การแผ่รังสีที่คงที่ตลอดเวลา มิฉะนั้นแล้วผลของการวิเคราะห์จะไม่แม่นยำหรือไม่มีความเที่ยง

เอกสารนี้เป็นเอกสารที่สงวนไว้สำหรับการใช้งานเพื่อการศึกษาเท่านั้น ไม่อนุญาตให้นำไปใช้ประโยชน์ด้านการค้า ไม่ว่าจะกรณีใดๆทั้งสิ้น อีกทั้งห้ามมิให้ตัดแปลงเนื้อหา และต้องอ้างอิงถึงเจ้าของเอกสารทุกครั้งที่มีการนำไปใช้

สำหรับเครื่องยูวี - วิลิเบิลสเปกโทรโฟโตมิเตอร์นั้น ต้นกำเนิดแสงอัลตราไวโอเล็ตเป็นหลอดไฮโดรเจน (Hydrogen lamp) หรือหลอดดิวเทอเรียม (Deuterium lamp) ให้แสงอยู่ช่วงความยาวคลื่น 185 - 375 นาโนเมตร

2) โมโนโครเมเตอร์ (Monochromator)

ส่วนประกอบที่ถือว่าเป็นหัวใจของเครื่องสเปกโทรโฟโตมิเตอร์ เพราะเป็นส่วนที่ใช้ควบคุมแสงโดยจะทำให้แสงที่ออกมาจากต้นกำเนิดแสง ซึ่งพอลิโครเมติก (คือแสงที่ประกอบด้วยแสงที่มีความยาวคลื่นต่าง ๆ ) ให้เป็นแสงโมโนโครเมติก ซึ่งเป็นแถบแสงแคบ ๆ

3) ส่วนที่วางสารตัวอย่างเพื่อวัด (Cell Compartment)

เซลล์ที่บรรจุสารตัวอย่างและสารปรับเทียบแล้วนำไปใส่ที่สำหรับวัด ซึ่งส่วนนี้จะมีฝาปิดเพื่อกันแสงจากภายนอกจะเข้าไปและถูกกั้นออกจากส่วนที่เป็นระบบอิเล็กทรอนิกส์และระบบแสง

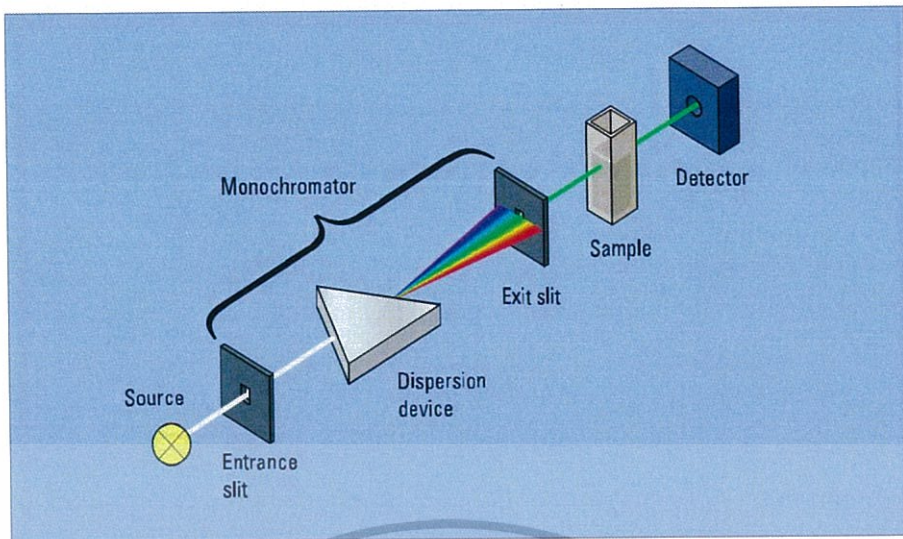
4) เครื่องวัดแสง (Radiation Detector)

เครื่องที่ใช้สำหรับวัดแสงนั้นมีด้วยกันหลายแบบ ซึ่งแต่ละแบบอาจแตกต่างกันบ้างที่ความกว้างของช่วงคลื่นแสงที่สามารถตรวจสอบได้ ความเร็วของการตอบสนองต่อแสง สภาพไวของการรับแสง เพื่อเปลี่ยนพลังงานแสงให้เป็นสัญญาณไฟฟ้า (Electrical signal) โดยเครื่องวัดแสงที่ดีควรมีลักษณะดังนี้

1. มีสภาพไวสูง คือ สามารถตรวจวัดกำลังของแสงที่เปลี่ยนแปลงไปเพียงเล็กน้อยได้
2. ตอบรับแสงเป็นสภาพเชิงเส้น (Linearity of response) คือถ้าแสงตกกระทบบ่อยมากสามารถวัดได้มาก แสงตกกระทบน้อยสามารถวัดได้น้อย
3. ระดับของสัญญาณรบกวนต้องมัน้อย (Low noise level)
4. การตอบสนองต่อแสงขึ้นอยู่กับความถี่หรือความยาวคลื่นแสง
5. เครื่องจะต้องมีสภาพที่ดี (Stability) ค่าที่วัดได้ไม่ควรแปรปรวน
6. ขนาดไม่ควรใหญ่เกินไป

5) เครื่องขยาย-แยกสัญญาณ และประมวลผล

สัญญาณได้จากเครื่องวัดจะนำไปเข้ากระบวนการของระบบอิเล็กทรอนิกส์ เช่น ขยายสัญญาณให้มากขึ้น อาจมีการกรองสัญญาณที่ไม่ต้องการออกไป จากนั้นจะได้สัญญาณซึ่งเป็นผลของการวิเคราะห์ออกมา โดยสามารถต่อเข้ากับ มิเตอร์ ดิจิตัลมิเตอร์ เครื่องบันทึก ปริ้นเตอร์ เครื่องไมโครคอมพิวเตอร์ หรือไมโครโพรเซสเซอร์ได้



รูปที่ 2.28 ส่วนประกอบที่สำคัญของเครื่องอัลตราไวโอเล็ตวิสิเบิลสเปกโทรมิเตอร์ [36]

### 2.5.6.3 หลักการทำงาน

โดยเครื่องสเปกโทรโฟโตมิเตอร์ที่ใช้โดยทั่วไปแบ่งออกเป็น 2 ประเภท ได้แก่

- 1) ลำรังสีลำเดี่ยว (Single-Beam) เมื่อลำรังสีออกจากแหล่งกำเนิดรังสีจะผ่านเลนส์ โมนโครเมเตอร์ที่เป็นเกรตติง (Grating) ผ่านสารตัวอย่าง แล้วจึงเข้าสู่อุปกรณ์ตรวจจับสัญญาณ เนื่องจากสเปกโทรโฟโตมิเตอร์ประเภทนี้ใช้ลำรังสีเพียงลำเดียวผ่านจากโมนโครเมเตอร์ไปสู่สารละลายที่ต้องการวัดลำรังสีนี้จะไปสู่อุปกรณ์ตรวจจับสัญญาณเลย การวัดแต่ละครั้งจึงต้องใช้เซลล์ 2 เซลล์ให้ลำรังสีผ่านสลับกัน
- 2) ลำรังสีคู่ (Double-Beam) ลำรังสีจะผ่านโมนโครเมเตอร์ 2 ครั้งด้วยกัน ทำให้ได้ลำรังสีความยาวคลื่นเดียวกันที่มีประสิทธิภาพและความละเอียดมากขึ้น เมื่อออกจากช่องแสงออก (Exit slit) แล้ว ลำรังสีจะไปสู่อุปกรณ์ตัดลำรังสี (Beam chopper) ก็จะสะท้อนไปผ่านสารตัวอย่าง ในขณะที่เดียวกันลำรังสีจะผ่านไปผ่านสารอ้างอิงด้วยวิธีนี้ลำรังสีลำเดี่ยวที่ผ่านโมนโครเมเตอร์จะถูกอุปกรณ์ตัดลำรังสีแยกออกเป็นลำรังสีสองลำที่มีความเข้มเท่ากันตลอดเวลา เมื่อลำรังสีทั้งสองนี้ไปตกกระทบตัวตรวจจับวัดรังสี ความแตกต่างของความเข้มจะกลายเป็นสัญญาณส่งต่อไปยังอุปกรณ์บันทึกสัญญาณต่อไปในการใช้สเปกโทรโฟโตมิเตอร์แบบลำรังสีคู่

### 2.5.6.4 ข้อดี

- 1) เป็นเทคนิคที่ง่าย ประยุกต์ใช้ได้กว้าง
- 2) มีความรวดเร็ว และมีความแม่นยำสูง
- 3) เป็นเทคนิคที่ใช้ค่าใช้จ่ายไม่สูง

## 2.5.7 กล้องจุลทรรศน์อิเล็กตรอนแบบส่องผ่าน (Transmission Electron Microscope; TEM) [32]

### 2.5.7.1 ข้อมูลทั่วไป

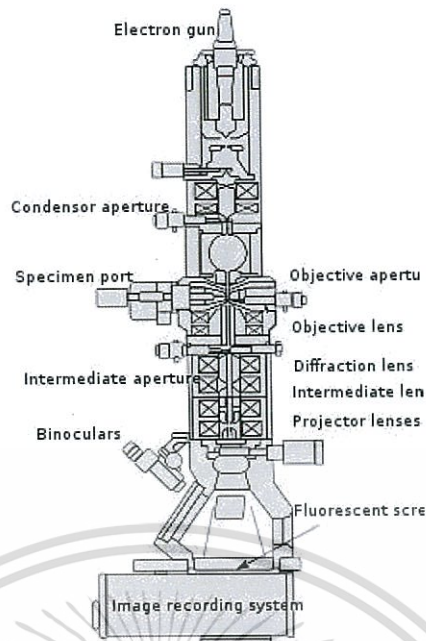
กล้องจุลทรรศน์อิเล็กตรอนแบบส่องผ่านเป็นกล้องจุลทรรศน์อิเล็กตรอนที่ใช้ศึกษาตัวอย่างชนิดบาง ซึ่งเตรียมขึ้นโดยวิธีพิเศษเพื่อให้ลำอนุภาคอิเล็กตรอนผ่านทะลุได้ การสร้างภาพจากกล้องประเภทนี้จะทำได้โดยการตรวจวัดอิเล็กตรอนที่ทะลุผ่านตัวอย่างนั่นเอง กล้องจุลทรรศน์อิเล็กตรอนแบบส่องผ่านเหมาะสำหรับศึกษารายละเอียดขององค์ประกอบภายในของตัวอย่าง เช่น องค์ประกอบภายในเซลล์ ลักษณะของเยื่อหุ้มเซลล์ ผนังเซลล์ เป็นต้น ซึ่งจะให้รายละเอียดสูงกว่ากล้องจุลทรรศน์ชนิดอื่น ๆ เนื่องจากมีกำลังขยายและประสิทธิภาพในการแจกแจงรายละเอียดสูงมาก (กำลังขยายสูงสุดประมาณ 0.1 นาโนเมตร)



รูปที่ 2.29 แสดงกล้องจุลทรรศน์อิเล็กตรอนแบบส่องผ่าน [32]

### 2.5.7.2 หลักการทำงานของกล้องจุลทรรศน์อิเล็กตรอนแบบส่องผ่าน

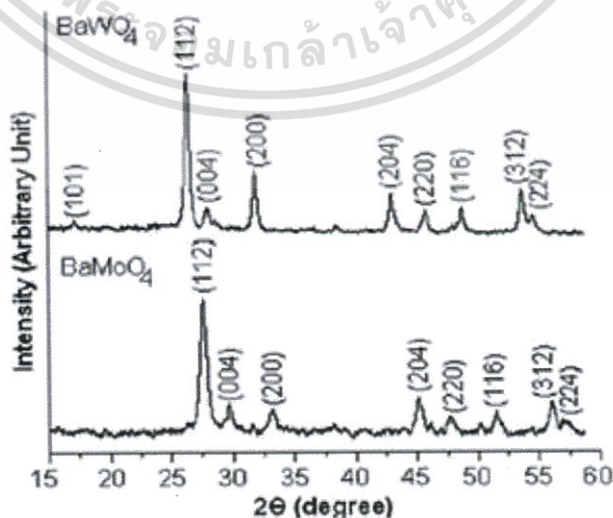
จะประกอบด้วยแหล่งกำเนิดอิเล็กตรอนซึ่งทำหน้าที่ผลิตอิเล็กตรอนเพื่อป้อนให้กับระบบ โดยกลุ่มอิเล็กตรอนที่ได้จากแหล่งกำเนิดจะถูกเร่งด้วยสนามไฟฟ้า จากนั้นกลุ่มอิเล็กตรอนจะผ่านเลนส์รวบรวมรังสี เพื่อทำให้กลุ่มอิเล็กตรอนกลายเป็นลำอิเล็กตรอน ซึ่งสามารถปรับให้ขนาดของลำอิเล็กตรอนใหญ่หรือเล็กได้ตามต้องการ จากนั้นลำอิเล็กตรอนจะเคลื่อนที่ผ่านตัวอย่างที่จะศึกษา (Specimen) ซึ่งตัวอย่างที่จะศึกษาจะต้องมีลักษณะที่แบนและบางมาก จากนั้นจะเกิดการกระเจิงอนุภาคขึ้นเมื่ออิเล็กตรอนทะลุผ่านตัวอย่างไปและอิเล็กตรอนที่ทะลุผ่านตัวอย่งนี้ก็จะถูกปรับโฟกัสของภาพโดยเลนส์ใกล้วัตถุ ซึ่งเป็นเลนส์ที่ทำหน้าที่ขยายภาพให้ได้รายละเอียดมากที่สุด จากนั้นจะได้รับการขยายด้วยเลนส์ทอดภาพไปสู่จอรับ และปรับโฟกัสของลำอนุภาคอิเล็กตรอนให้ยาวพอดีที่จะปรากฏบนฉากรังแสง สุดท้ายจะเกิดการสร้างภาพขึ้นมาได้



รูปที่ 2.30 แสดงส่วนประกอบของกล้องจุลทรรศน์อิเล็กตรอนแบบส่องผ่าน [32]

## 2.6 งานวิจัยที่เกี่ยวข้อง

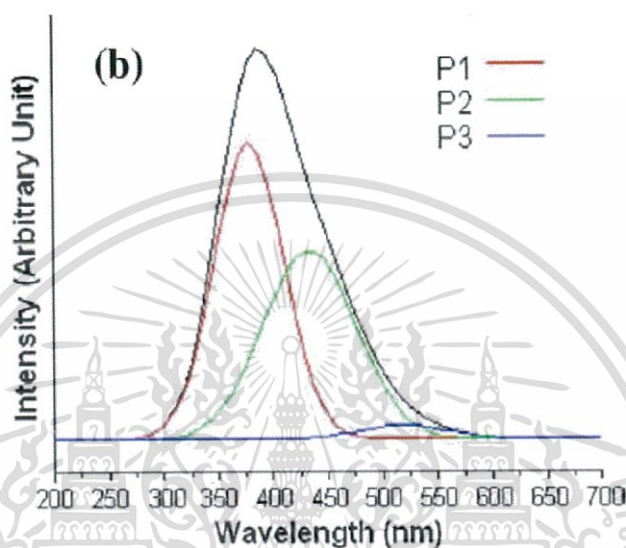
ในปี 2012 Anukorn Phuruangrat และคณะ [37] ได้ทำการสังเคราะห์แบเรียมทังสเตต ( $\text{BaWO}_4$ ) ด้วยกระบวนการตกตะกอนร่วม และศึกษาสมบัติการเปล่งแสงของมันโดยงานวิจัยนี้ได้เตรียมแบเรียมทังสเตตจากแบเรียมไนเตรต ( $\text{Ba}(\text{NO}_3)_2$ ) 0.005 โมล ในเอทิลีนไกลคอล 15 มิลลิลิตร ผสมกับโซเดียมทังสเตต ( $\text{Na}_2\text{WO}_4$ ) 0.005 โมลในเอทิลีนไกลคอล 15 มิลลิลิตรและทำการปั่นกวนเป็นเวลา 24 ชั่วโมง เมื่อทำการวิเคราะห์ด้วยเครื่องวัดการเลี้ยวเบนของรังสีเอกซ์พบว่าโครงสร้างของแบเรียมทังสเตตที่สังเคราะห์ได้มีโครงสร้างผลึกเป็น เททระโกนอล และมีค่าแลตทิซพารามิเตอร์ดังนี้  $a = 5.5682$  อังสตรอม  $c = 12.7702$  อังสตรอม



รูปที่ 2.31 รูปแบบของเอกซ์อาร์ดี (XRD pattern) [37]

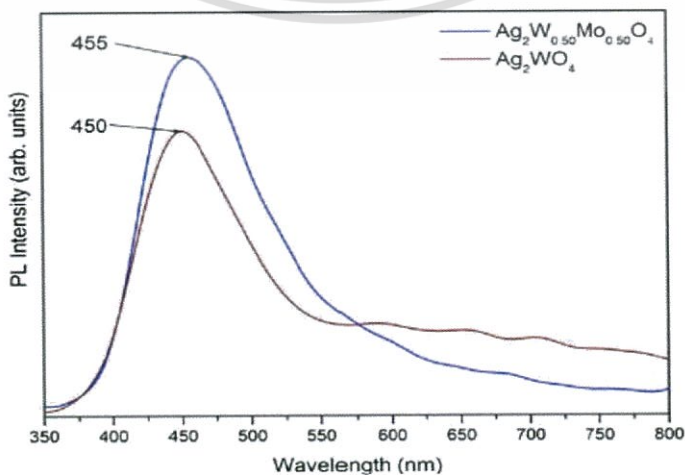
เอกสารนี้เป็นเอกสารที่สงวนไว้สำหรับการใช้งานเพื่อการศึกษาเท่านั้น ไม่อนุญาตให้นำไปใช้ประโยชน์ด้านการค้า ไม่ว่าจะกรณีใดๆทั้งสิ้น อีกทั้งห้ามมิให้ตัดแปลงเนื้อหา และต้องอ้างอิงถึงเจ้าของเอกสารทุกครั้งที่มีการนำไปใช้

และเมื่อนำสารที่สังเคราะห์ได้ไปผ่านการเผาแคลไซน์ (Calcination) ที่อุณหภูมิ 400 องศาเซลเซียส เป็นเวลา 3 ชั่วโมงทำให้พบว่าสมบัติการเปล่งแสงนั้นดีขึ้น โดยผ่านการวิเคราะห์ด้วยเครื่องโฟโตลูมิเนสเซนซ์สเปกโตรมิเตอร์ (Photoluminescence spectrometer; PL) ได้ผลว่าแบบเรียงทั้งสแตตมีค่าการกระตุ้นที่ 280 นาโนเมตร การตอบสนองของโฟโตลูมิเนสเซนซ์จะมีในช่วงแสงสีแดงในขณะที่เป็นรูปแบบผลึกและเมื่อช่วงสีแดงหายไปจะปรากฏให้เป็นช่วงสีเขียว ให้เห็นการเปล่งแสงเป็นสีเขียว



รูปที่ 2.32 การแสดงการคายพลังงานของโฟโตลูมิเนสเซนซ์สเปกตรัมของแบบเรียงทั้งสแตต [37]

ในปี 2016 Silva และคณะ [38] ได้ทำการสังเคราะห์ซิลเวอร์ทั้งสแตตโมลิบเดต ( $\text{Ag}_2(\text{W}_{1-x}\text{Mo}_x)\text{O}_4$ ) ด้วยกระบวนการไฮโดรเทอร์มอล เพื่อเปรียบเทียบคุณสมบัติการเปล่งแสงกับซิลเวอร์ทั้งสแตต ( $\text{Ag}_2\text{WO}_4$ ) ผลการวิเคราะห์ที่น่าสนใจและใช้ในการศึกษาสมบัติการเปล่งแสงได้นั้นคือการวิเคราะห์ด้วยเครื่องโฟโตลูมิเนสเซนซ์สเปกโตรมิเตอร์พบว่าค่าการกระตุ้นอยู่ที่ 350.7 นาโนเมตร ส่วนค่าการคายพลังงานของสารทั้งสองตัวอยู่ที่ประมาณ 450 นาโนเมตร

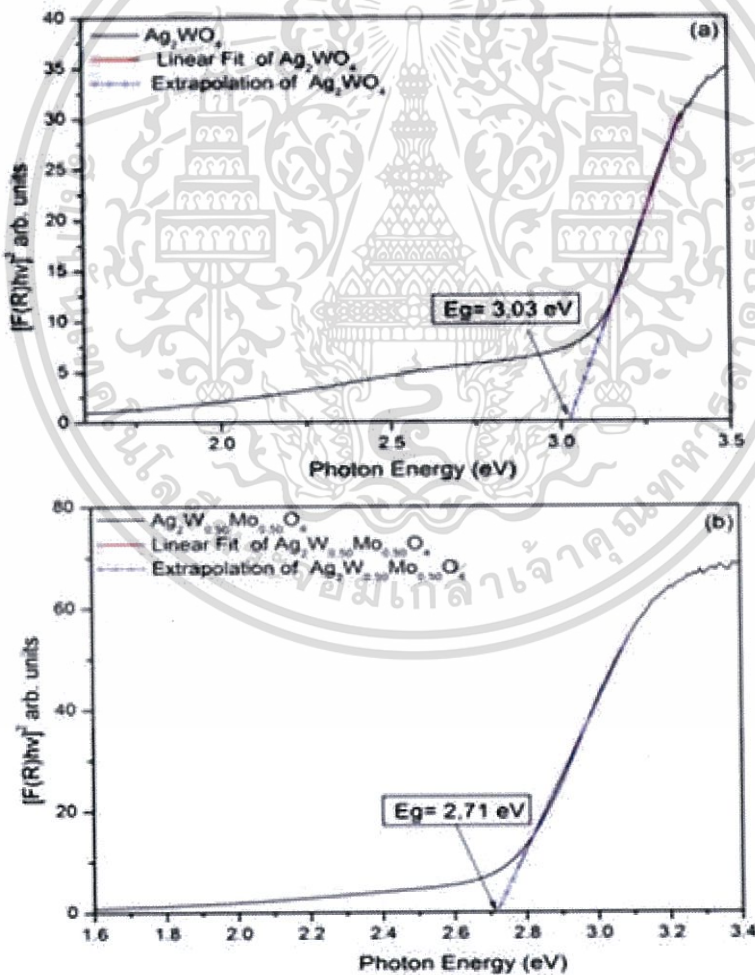


เอกสารนี้เป็นเอกสารที่สงวนไว้สำหรับการใช้งานเพื่อการศึกษาเท่านั้น ไม่อนุญาตให้นำไปใช้ประโยชน์ด้านการค้า ไม่ว่าจะกรณีใดๆทั้งสิ้น อีกทั้งห้ามมิให้ตัดแปลงเนื้อหา และต้องอ้างอิงถึงเจ้าของเอกสารทุกครั้งที่มีการนำไปใช้

รูปที่ 2.33 การแสดงการคายพลังงานของโฟโตลูมิเนสเซนซ์สเปกตรัมของ  $\text{Ag}_2(\text{W}_{1-x}\text{Mo}_x)\text{O}_4$  และ  $(\text{Ag}_2\text{WO}_4)$  [38]

จากการศึกษาวิจัยเราจะสามารถศึกษาสมบัติการเปล่งแสงของสารแต่ละชนิดได้จากการนำไปวิเคราะห์จากโฟโตลูมิเนสเซนซ์สเปกตรัม ซึ่งสามารถบอกได้ว่าสารชนิดนั้น ๆ มีการคายพลังงานการเปล่งแสงในช่วงความยาวคลื่นเท่าไร หรือการวิเคราะห์ด้วยเทคนิคการดูดกลืนแสงในช่วงความยาวคลื่นของยูวี หรือความยาวคลื่นแสงก็สามารถนำมาใช้ในการคำนวณหาค่าพลังงานช่องว่างแถบพลังงาน (Eg) เพื่อเป็นข้อมูลที่ใช้ในการวิเคราะห์สมบัติการเปล่งแสง

อีกการวิเคราะห์ที่น่าสนใจของค่าการดูดกลืนแสงจากกราฟที่แสดงความสัมพันธ์ระหว่าง  $[\text{F(R)}\text{h}\nu]^2$  กับ พลังงานโฟตอน จะสามารถหาพลังงานช่องว่างแถบพลังงานได้ (Energy gap; Eg) และจะเห็นได้ว่า พลังงานช่องว่างแถบพลังงานของซิลเวอร์ทังสเตตมีค่า 3.03 อิเล็กตรอนโวลต์ ส่วน  $\text{Ag}_2\text{W}_{1-x}\text{Mo}_x\text{O}_4$  มีค่าพลังงานช่องว่างแถบพลังงาน 2.71 อิเล็กตรอนโวลต์



รูปที่ 2.34 สเปกตรัมยูวี-วิสิเบิลที่แสดงค่าพลังงานช่องว่างแถบพลังงาน (Eg) (a) สเปกตรัมยูวี-วิสิเบิลของ  $\text{Ag}_2\text{WO}_4$  (b) สเปกตรัมยูวี-วิสิเบิลของ  $\text{Ag}_2\text{W}_{1-x}\text{Mo}_x\text{O}_4$  [38]

เอกสารนี้เป็นเอกสารที่สงวนไว้สำหรับการใช้งานเพื่อการศึกษาเท่านั้น ไม่อนุญาตให้นำไปใช้ประโยชน์ด้านการค้า ไม่ว่าจะกรณีใดๆทั้งสิ้น อีกทั้งห้ามมิให้ตัดแปลงเนื้อหา และต้องอ้างอิงถึงเจ้าของเอกสารทุกครั้งที่มีการนำไปใช้

## บทที่ 3

# วิธีการดำเนินงานวิจัย

ในบทที่ 3 จะกล่าวถึงการสังเคราะห์โลหะทั้งสเตรตและการทำไปวิเคราะห์เพื่อพิสูจน์เอกลักษณ์ของสารที่ทำการสังเคราะห์ โดยในงานวิจัยนี้จะทำการสังเคราะห์โลหะทั้งสเตรต 2 ชนิด คือ ซิลเวอร์ทั้งสเตรต (Silver tungstate;  $\text{AgWO}_4$ ) และแบเรียมทั้งสเตรต (Barium tungstate;  $\text{BaWO}_4$ ) โดยกระบวนการเคมีเชิงกล (Mechanochemical) ทำการสังเคราะห์ในเวลาที่แตกต่างกันคือ 1 นาที 3 นาที 5 นาที 10 นาที 15 นาที 30 นาที 60 นาที และ 120 นาที จากนั้นจะนำสารที่ทำการสังเคราะห์ได้ไปตรวจสอบเอกลักษณ์ด้วยเทคนิคต่าง ๆ ได้แก่ ตรวจสอบโครงสร้างของผลึกด้วยเครื่องเอกซเรย์ดิฟแฟรกโตมิเตอร์ (X-ray diffractometer; XRD) ตรวจสอบหมู่ฟังก์ชันของสารด้วยเครื่องฟูเรียรทรานส์ฟอร์มอินฟราเรดสเปกโทรมิเตอร์ (Fourier Transform Infrared Spectrometer; FT-IR) ตรวจสอบการกระเจิงแสงด้วยเครื่องรามานสเปกโทรมิเตอร์ (Raman Spectroscopy) ตรวจสอบลักษณะสัณฐานของวัสดุในระดับจุลภาคด้วยกล้องจุลทรรศน์อิเล็กตรอนแบบส่องกราด (Scanning electron microscope; SEM) และกล้องจุลทรรศน์อิเล็กตรอนแบบส่องผ่าน (Transmission Electron Microscope; TEM) เป็นการตรวจสอบการเปล่งแสงด้วยเครื่องสเปกโตรฟลูออโรมิเตอร์ (Spectrofluorometer) และตรวจหาแถบช่องว่างพลังงานด้วยอัลตราไวโอเลตวิสิเบิลสเปกโทรมิเตอร์ (Ultraviolet-Visible Spectroscopy)

### 3.1 สารเคมีที่ใช้ในการทดลอง

1. ซิลเวอร์ไนเตรต (Silver Nitrate;  $\text{AgNO}_3$ ) ความบริสุทธิ์ 99 เปอร์เซ็นต์
2. แบเรียมไนเตรต (Barium Nitrate;  $\text{Ba(NO}_3)_2$ ) ความบริสุทธิ์ 99 เปอร์เซ็นต์
3. โซเดียมทั้งสเตรตไดไฮเดรต (Sodium Tungstate Dihydrate;  $\text{Na}_2\text{WO}_4 \cdot 2\text{H}_2\text{O}$ ) ความบริสุทธิ์ 99.5 เปอร์เซ็นต์
4. เอทานอล (Ethanol) ความบริสุทธิ์ 95 เปอร์เซ็นต์
5. น้ำกลั่น

### 3.2 อุปกรณ์และเครื่องมือที่ใช้ในการทดลอง

1. ลูกบดทรงกระบอก
2. หม้ออบพลาสติก
3. เทปพันท่อ
4. ยาง
5. กระดาษฟอยด์
6. แท่งแก้วคนสาร

เอกสารนี้เป็นเอกสารที่สงวนไว้สำหรับการใช้งานเพื่อการศึกษาเท่านั้น ไม่อนุญาตให้นำไปใช้ประโยชน์ด้านการค้าไม่ว่ากรณีใดๆทั้งสิ้น อีกทั้งห้ามมิให้ตัดแปลงเนื้อหา และต้องอ้างอิงถึงเจ้าของเอกสารทุกครั้งที่มีการนำไปใช้

7. ปีกเกอร์ขนาด 250 มิลลิลิตร
8. ปีกเกอร์ขนาด 600 มิลลิลิตร
9. ปีกเกอร์ขนาด 1000 มิลลิลิตร
10. กระจกบดขนาด 100 มิลลิลิตร
11. ซ้อนตักสาร
12. กระจกนาฬิกา
13. ตู้อบสาร
14. เครื่องบดลดขนาด (Ball mill)
15. เครื่องกรองลดความดัน
16. เครื่องชั่งทศนิยม 4 ตำแหน่ง
17. เครื่องปั่นเหวี่ยง Universal 320
18. เครื่องเอกซ์เรย์ดิฟแฟรคโตมิเตอร์ (X-ray diffractometer; XRD) รุ่น D8 Advance ผลิตโดยบริษัท Bruker-AXS
19. เครื่องฟูเรียร์ทรานส์ฟอร์มอินฟราเรดสเปกโตรมิเตอร์ (Fourier Transform Infrared Spectrometer; FT-IR) รุ่น FTIR spectrum GX ผลิตโดยบริษัท Perkin Elmer ประเทศสหรัฐอเมริกา
20. เครื่องรามานสเปกโตรมิเตอร์ (Raman Spectrometer) รุ่น DXR ยี่ห้อ Thermo scientific
21. กล้องจุลทรรศน์อิเล็กตรอนแบบส่องกราด (Scanning electron microscope: SEM) รุ่น JEOL ยี่ห้อ JSM-6335F
22. เครื่องสเปกโตรฟลูออโรมิเตอร์ (Spectrofluorometer) รุ่น LS-55 ยี่ห้อ Perkin-Elmer ผลิตโดยบริษัท Perkin Elmer, Inc ประเทศสหรัฐอเมริกา
23. เครื่องอัลตราไวโอเลตวิสิเบิลสเปกโตรมิเตอร์ (Ultraviolet-Visible Spectrometer) รุ่น T60 ยี่ห้อ PG
24. กล้องจุลทรรศน์อิเล็กตรอนแบบส่องผ่าน (Transmission Electron Microscope; TEM)
25. กัดมันน้ำ
26. กระดาษกรองยี่ห้อ Whatman เบอร์ 2

### 3.3 ขั้นตอนการสังเคราะห์แบเรียมทั้งสเตรต

1. ละลายแบเรียมไนเตรต 3.3663 กรัม ในน้ำกลั่นที่ต้มแล้วปริมาณ 50 มิลลิลิตร ใน ปีกเกอร์ขนาด 250 มิลลิลิตร

เอกสารนี้เป็นเอกสารที่สงวนไว้สำหรับการใช้งานเพื่อการศึกษาเท่านั้น ไม่อนุญาตให้นำไปใช้ประโยชน์ด้านการค้า ไม่ว่าจะกรณีใดๆทั้งสิ้น อีกทั้งห้ามมิให้ตัดแปลงเนื้อหา และต้องอ้างอิงถึงเจ้าของเอกสารทุกครั้งที่มีการนำไปใช้

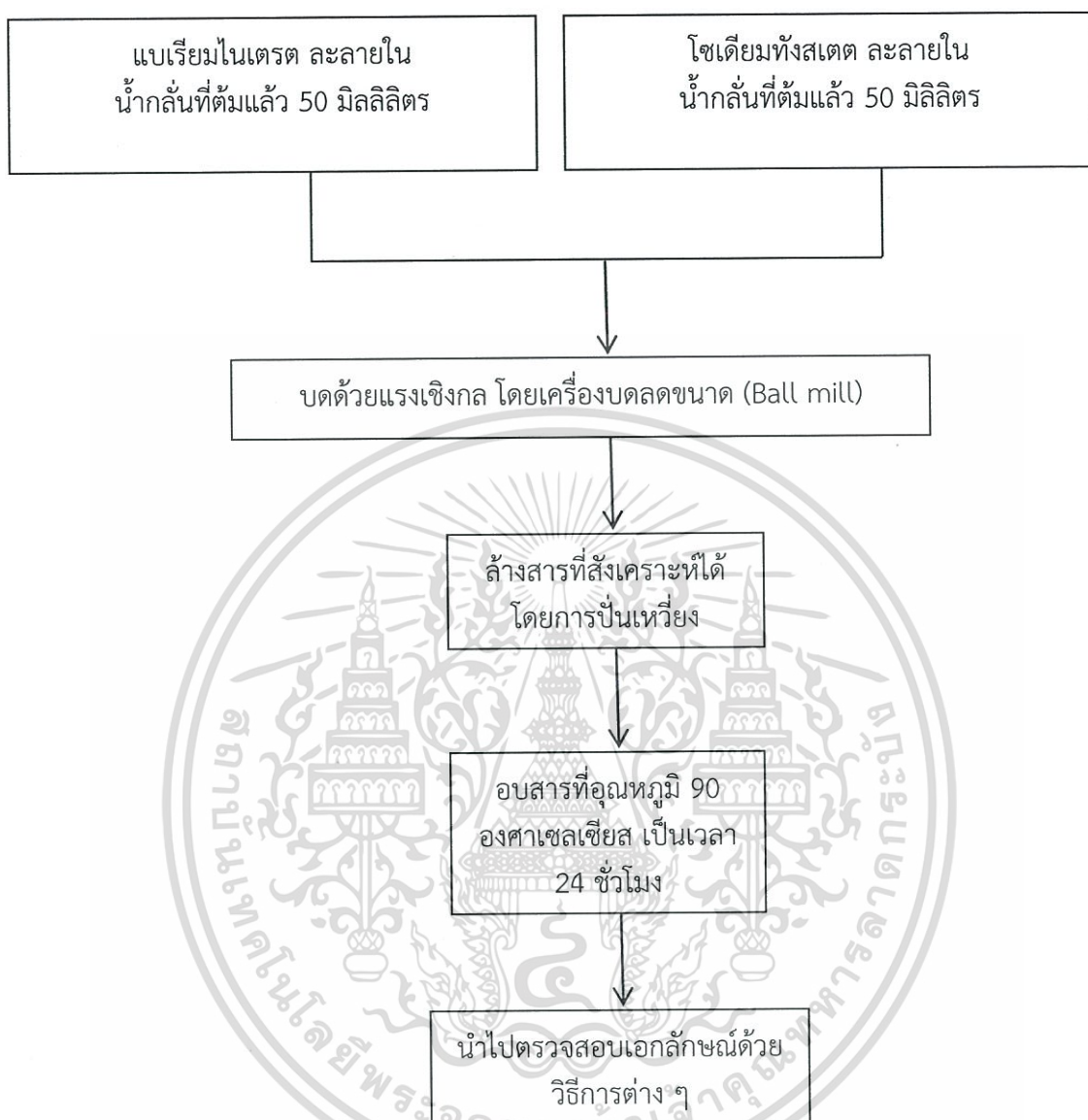
2. ละลายโซเดียมทังสเตต 4.2874 กรัม ในน้ำกลั่นที่ต้มแล้วปริมาณ 50 มิลลิลิตร ในบีกเกอร์ขนาด 250 มิลลิลิตร
3. นำสารละลายแบเรียมทังสเตตและสารละลายโซเดียมทังสเตต มาผสมกันในบีกเกอร์ขนาด 250 มิลลิลิตร
4. นำสารละลายที่ผสมกันแล้ว เทใส่หม้อบดที่บรรจุลูกบดไว้แล้ว นำเทปพันท่อมาพันปากหม้อบดเพื่อกันสารละลายรั่วซึมออกมา แล้วปิดฝาหม้อบด จากนั้นนำไปวางบนเครื่องบด (Ball mill) ใช้เวลาในการให้แรงเชิงกลเป็นเวลา 1 นาที 3 นาที 5 นาที 10 นาที 15 นาที 30 นาที 60 นาที และ 120 นาที
5. นำสารที่สังเคราะห์ได้มากรองแยกเอาลูกบดกับสารที่สังเคราะห์ได้ออกจากกัน โดยเทใส่บีกเกอร์ผ่านตะแกรงแยก แล้วใช้น้ำกลั่นฉีดล้างสารที่ติดกับลูกบด
6. นำลูกบดไปแช่ในเอทานอลบริสุทธิ์ 95 เปอร์เซ็นต์
7. นำสารที่สังเคราะห์ไปล้างกับน้ำกลั่นเพื่อล้างในเตตรา โดยวิธีการปั่นเหวี่ยงด้วยความเร็ว 9000 รอบต่อ 1 นาที ในรอบสุดท้ายที่ทำการปั่นเหวี่ยงจะใช้เอทานอลแทนน้ำกลั่นเพื่อให้สารตกตะกอน
8. นำสารที่ล้างเสร็จแล้วไปอบที่อุณหภูมิ 90 องศาเซลเซียส เป็นเวลา 24 ชั่วโมง ดังแสดงในรูปที่ 3.1
9. นำผงโลหะทังสเตตไปทำการตรวจสอบเอกลักษณ์ด้วยวิธีการต่าง ๆ

### 3.4 ขั้นตอนการสังเคราะห์ซิลเวอร์ทังสเตต

1. ละลายซิลเวอร์ไนเตรต 3.6644 กรัม ในน้ำกลั่นที่ต้มแล้วปริมาณ 50 มิลลิลิตร ในบีกเกอร์ขนาด 250 มิลลิลิตร
2. ละลายโซเดียมทังสเตต 3.5576 กรัม ในน้ำกลั่นที่ต้มแล้วปริมาณ 50 มิลลิลิตร ในบีกเกอร์ขนาด 250 มิลลิลิตร
3. นำสารละลายซิลเวอร์ไนเตรตและสารละลายโซเดียมทังสเตต มาผสมกันในบีกเกอร์ขนาด 250 มิลลิลิตร
4. นำสารละลายที่ผสมกันแล้ว เทใส่หม้อบดที่บรรจุลูกบดไว้แล้ว นำเทปพันท่อมาพันปากหม้อบดเพื่อกันสารละลายรั่วซึมออกมา แล้วปิดฝาหม้อบด นำหม้อบดไปวางบนเครื่องบดใช้เวลาในการให้แรงเชิงกลเป็นเวลา 1 นาที 3 นาที 5 นาที 10 นาที 15 นาที 30 นาที 60 นาที และ 120 นาที
5. นำสารที่สังเคราะห์ได้มากรองแยกเอาลูกบดกับสารที่สังเคราะห์ได้ออกจากกันโดยเทใส่บีกเกอร์ผ่านตะแกรงแยก แล้วใช้น้ำกลั่นฉีดล้างสารที่ติดกับลูกบด
6. นำลูกบดไปแช่ในเอทานอลบริสุทธิ์ 95 เปอร์เซ็นต์
7. นำสารที่สังเคราะห์ไปล้างกับน้ำกลั่นเพื่อล้างในเตตรา โดยวิธีการปั่นเหวี่ยงด้วยความเร็ว 9000 รอบต่อ 1 นาที ในรอบสุดท้ายที่ทำการปั่นเหวี่ยงจะใช้เอทานอลแทนน้ำกลั่นเพื่อให้สารตกตะกอน
8. นำสารที่ล้างเสร็จแล้วไปอบที่อุณหภูมิ 90 องศาเซลเซียส เป็นเวลา 24 ชั่วโมง ดังแสดงในรูปที่ 3.2
9. นำผงโลหะทังสเตตไปทำการตรวจสอบเอกลักษณ์ด้วยวิธีการต่าง ๆ

เอกสารนี้เป็นเอกสารที่สงวนไว้สำหรับการใช้งานเพื่อการศึกษาเท่านั้น ไม่อนุญาตให้นำไปใช้ประโยชน์ด้านการค้า ไม่ว่ากรณีใดๆทั้งสิ้น อีกทั้งห้ามมิให้ตัดแปลงเนื้อหา และต้องอ้างอิงถึงเจ้าของเอกสารทุกครั้งที่มีการนำไปใช้

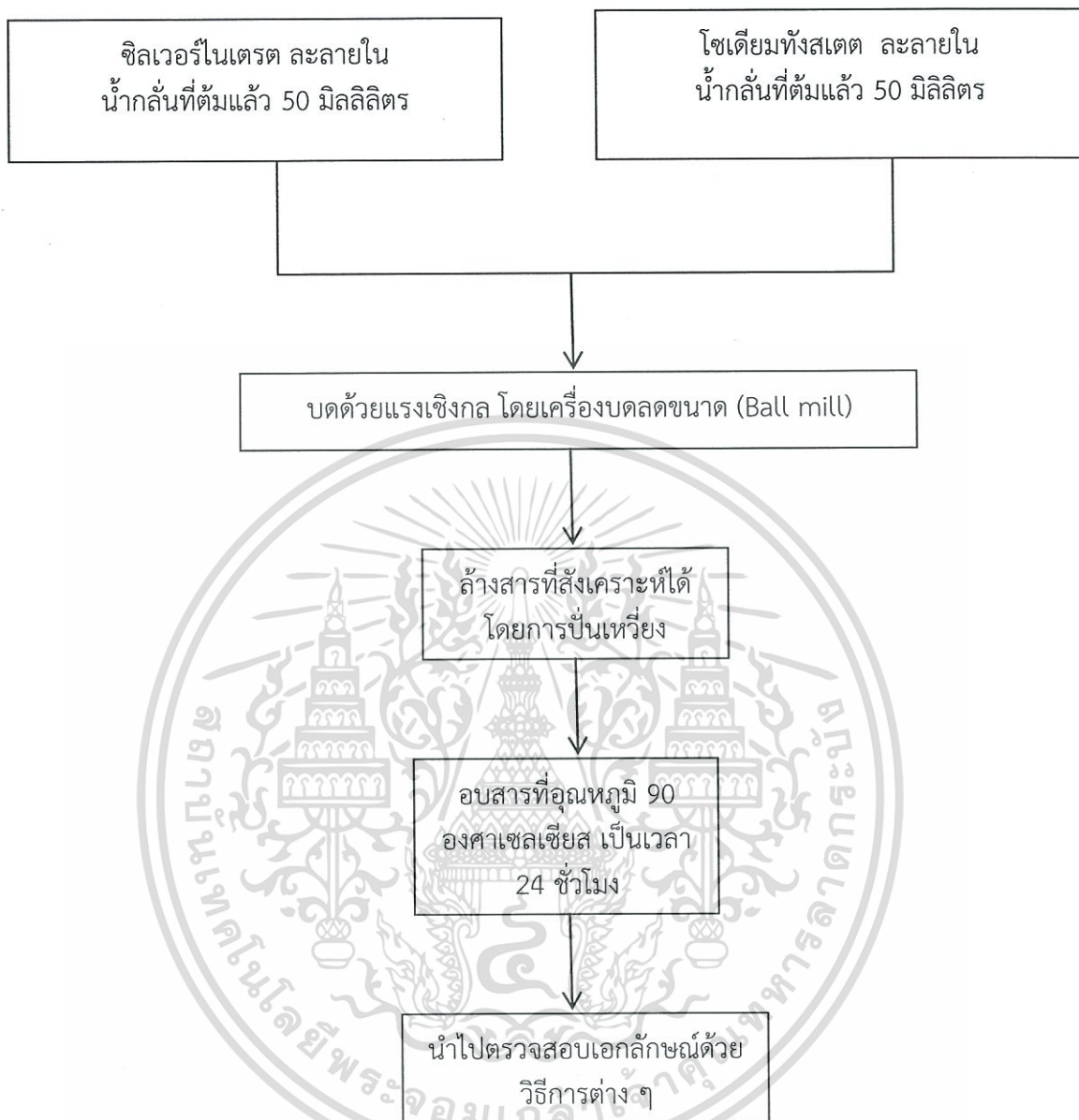
## แผนภาพขั้นตอนการสังเคราะห์แบเรียมทั้งสเตรต



รูปที่ 3.1 แผนภาพขั้นตอนการสังเคราะห์แบเรียมทั้งสเตรต

เอกสารนี้เป็นเอกสารที่สงวนไว้สำหรับการใช้งานเพื่อการศึกษาเท่านั้น ไม่อนุญาตให้นำไปใช้ประโยชน์ด้านการค้า ไม่ว่าจะกรณีใดๆทั้งสิ้น อีกทั้งห้ามมิให้ดัดแปลงเนื้อหา และต้องอ้างอิงถึงเจ้าของเอกสารทุกครั้งที่มีการนำไปใช้

## แผนภาพขั้นตอนการสังเคราะห์ซิลเวอร์ทังสเตต



รูปที่ 3.2 แผนภาพขั้นตอนการสังเคราะห์ซิลเวอร์ทังสเตต

เอกสารนี้เป็นเอกสารที่สงวนไว้สำหรับการใช้งานเพื่อการศึกษาเท่านั้น ไม่อนุญาตให้นำไปใช้ประโยชน์ด้านการค้า ไม่ว่าจะกรณีใดๆทั้งสิ้น อีกทั้งห้ามมิให้ดัดแปลงเนื้อหา และต้องอ้างอิงถึงเจ้าของเอกสารทุกครั้งที่มีการนำไปใช้

### 3.5 การตรวจวิเคราะห์สารตัวอย่าง

#### 3.5.1 เครื่องอัลตราไวโอเลตและวิสิเบิลสเปกโทรสโกปี (UV-VIS Spectrophotometer)

วิธีการวิเคราะห์ด้วยเครื่องอัลตราไวโอเลตและวิสิเบิลสเปกโทรสโกปี (UV-Vis Spectrophotometer) สามารถเตรียมตัวอย่างได้โดยการทำผง แบบเรียงทั้งสแตต และ ซิลเวอร์ ทั้งสแตตไปละลายในน้ำปราศจากไอออนให้มีความเข้มข้น 2 มิลลิโมลาร์ จากนั้นนำไปใส่เครื่องอัลตราไวโอเลตและวิสิเบิลสเปกโทรสโกปี (UV-VIS Spectrophotometer) และทำการปิดฝาเครื่อง ขณะที่มีการวัดค่า เพื่อทำการวัดค่าการดูดกลืนของแสงที่ส่องผ่านสารตัวอย่างในช่วง 900-190 นาโนเมตร จากนั้นจะได้ข้อมูลออกมาเป็นกราฟและนำผลที่ได้ไปคำนวณหาค่าแถบช่องว่างพลังงาน (Band gap) ของสารตัวอย่างได้

#### 3.5.2 เครื่องรามานสเปกสเปกโทรโฟโตมิเตอร์ (Raman spectrophotometer)

วิธีวิเคราะห์ด้วยเครื่องรามานสเปกสเปกโทรโฟโตมิเตอร์ (Raman spectrophotometer) เตรียมโดยการนำสารตัวอย่างปริมาณเล็กน้อย ใส่ลงในอุปกรณ์สำหรับใส่สารตัวอย่างที่เป็นผงแล้วเกลี่ยผิวหน้าให้เรียบ จากนั้นนำไปวิเคราะห์ด้วยเครื่องรามานสเปกโทรโฟโตมิเตอร์ รุ่น DXR smart raman ยี่ห้อ Thermo โดยเลือกใช้ความยาวคลื่นที่  $100-1000\text{ cm}^{-1}$  ชนิดเลเซอร์ที่ใช้ คือฮีเลียม นีออน

#### 3.5.3 เครื่องฟูเรียร์ทรานส์ฟอร์มอินฟราเรดสเปกโทรมิเตอร์ (Fourier transform infrared spectrometer; FTIR)

การวิเคราะห์ด้วยเครื่องฟูเรียร์ทรานส์ฟอร์มอินฟราเรดสเปกโทรมิเตอร์ (Fourier transform infrared spectrometer; FTIR) เตรียมสารโดยการนำสารตัวอย่างที่เตรียมได้ผสมกับโพแทสเซียมโบรไมด์ (KBr) ในอัตราส่วนประมาณ 1:10 แล้วใช้ครกบดเพื่อให้สารผสมเข้ากันและละเอียดพอที่จะอัดเป็นแผ่นได้ หลังจากนั้นนำผงที่ได้ไปอัดโดยใช้เครื่องอัดไฮดรอลิก แล้วนำไปวิเคราะห์ด้วยเครื่องฟูเรียร์ทรานส์ฟอร์มอินฟราเรดสเปกโทรมิเตอร์ รุ่น FTIR spectra GX ผลิตโดยบริษัท Perkin Elmer ประเทศสหรัฐอเมริกา

#### 3.5.4 กล้องจุลทรรศน์อิเล็กตรอนแบบส่องกราด (Scanning electron microscope: SEM)

ในการตรวจสอบลักษณะพื้นฐานของวัสดุในระดับจุลภาคเตรียมโดยการนำผงซิลเวอร์ ทั้งสแตต หรือผงแบบเรียงทั้งสแตตโรยบาง ๆ ลงบนเทปกาวยแบบคาร์บอน (Carbon tape) ให้ทั่วทั้งแผ่น จากนั้นนำแผ่นเทปกาวยแบบคาร์บอนที่โรยด้วยผงสารตัวอย่างแล้วไปติดลงบนสตัปโลหะ โดยตัวอย่างที่จะนำไปตรวจไม่สามารถนำไฟฟ้าได้ จึงต้องมีการเคลือบทองลงบนแผ่นเทปกาวยแบบคาร์บอนที่โรยด้วยผงสารตัวอย่าง และนำไปตรวจวิเคราะห์ด้วยกล้องจุลทรรศน์อิเล็กตรอนแบบส่องกราด รุ่น JEOL ยี่ห้อ JSM-6335F

#### 3.5.5 เครื่องสเปกโทรฟลูออโรมิเตอร์ (Spectrofluorometer)

ตรวจสอบการเปล่งแสงด้วยสเปกโทรฟลูออโรมิเตอร์สามารถเตรียมตัวอย่างโดยนำผงซิลเวอร์ ทั้งสแตต และผงแบบเรียงทั้งสแตต ปริมาณ 1 กรัม และนำไปตรวจด้วยเครื่องสเปกโทรฟลูออโรมิเตอร์ รุ่น LS-55 ยี่ห้อ Perkin-Elmer

#### 3.5.6 กล้องจุลทรรศน์อิเล็กตรอนแบบส่องผ่าน (Transmission Electron Microscope; TEM)

เอกสารนี้เป็นเอกสารที่สงวนไว้สำหรับการใช้งานเพื่อการศึกษาเท่านั้น ไม่อนุญาตให้นำไปใช้ประโยชน์ด้านการค้า ไม่ว่าจะกรณีใดๆทั้งสิ้น อีกทั้งห้ามมิให้ตัดแปลงเนื้อหา และต้องอ้างอิงถึงเจ้าของเอกสารทุกครั้งที่มีการนำไปใช้

เป็นการศึกษาที่ใช้ตัวอย่างชนิดบาง ซึ่งเตรียมขึ้นโดยวิธีพิเศษเพื่อให้ลำอนุภาคอิเล็กตรอนผ่านทะลุได้ การสร้างภาพจากกล้องจุลทรรศน์อิเล็กตรอนแบบส่องผ่านจะทำได้โดยการตรวจวัดอิเล็กตรอนที่ทะลุผ่านตัวอย่าง

### 3.5.7 เครื่องเอกซเรย์ดิฟแฟรคโตมิเตอร์ (X-ray diffractometer; XRD)

การวิเคราะห์นี้เป็นการตรวจสอบเฟสองค์ประกอบของสารตัวอย่างโดยอาศัยหลักการการเลี้ยวเบนของรังสีเอกซ์ เมื่อรังสีเอกซ์ตกกระทบบนพื้นผิวของวัสดุแล้วเกิดการกระเจิงและเลี้ยวเบนโดยมุมเลี้ยวเบนจะขึ้นอยู่กับโครงสร้างของผลึก และระนาบที่รังสีตกกระทบ ดังนั้นเมื่อทราบมุมที่กระเจิงออกมาสามารถตรวจสอบได้ว่าเป็นเฟสของ ผลึกชนิดใด โดยเครื่องเอกซเรย์ดิฟแฟรคโตมิเตอร์เป็นเครื่องมือวิเคราะห์เลี้ยวเบนรังสีเอกซ์ในผลึกของตัวอย่าง โดยอาศัยหลักการของ Bragg's law ในการคำนวณค่าการเลี้ยวเบนของรังสีเอกซ์ ที่ยิงผ่านชั้นผลึกที่อยู่ในตัวอย่าง โดยใช้เครื่องตรวจจับรับความเข้มของรังสีเอกซ์ที่เกิดจากการเลี้ยวเบนในมุมต่างๆ ของการตรวจวัด ดังสมการ

$$2d \sin\theta = n\lambda$$

- เมื่อ  $d$  คือ ระยะห่างระหว่างระนาบของผลึก  $hkl$   
 $\theta$  คือ มุมที่เกิดการเลี้ยวเบนของรังสีเอกซ์  
 $n$  คือ เลขจำนวนเต็มใด ๆ ( $n = 1, 2, 3, \dots$ )  
 $\lambda$  คือ ความยาวคลื่นของรังสีเอกซ์มีค่า  $1.54056 \text{ \AA}$

โดยในงานวิจัยนี้ได้ใช้

มุม $2\theta$ เริ่มต้น – สิ้นสุด	20 – 80
Step size	0.02
Time step	1 sec

เมื่อได้ผลจากการตรวจวัดด้วยเครื่องเอกซเรย์ดิฟแฟรคโตมิเตอร์จะนำผลที่ได้มาคำนวณหาค่าแลตทิซพารามิเตอร์ และขนาดของผลึก โดยใช้โปรแกรม XRD Analytical Program โดยเลือกโครงสร้างผลึก ใส่ชื่อสารตัวอย่าง เลือก  $\text{CuK}\alpha$  ที่ความยาวคลื่น  $1.54184 \text{ \AA}$  ใส่ค่า  $h k l$  2Tetra และค่า FWHM และจะได้ค่าแลตทิซพารามิเตอร์ และขนาดของผลึกออกมา

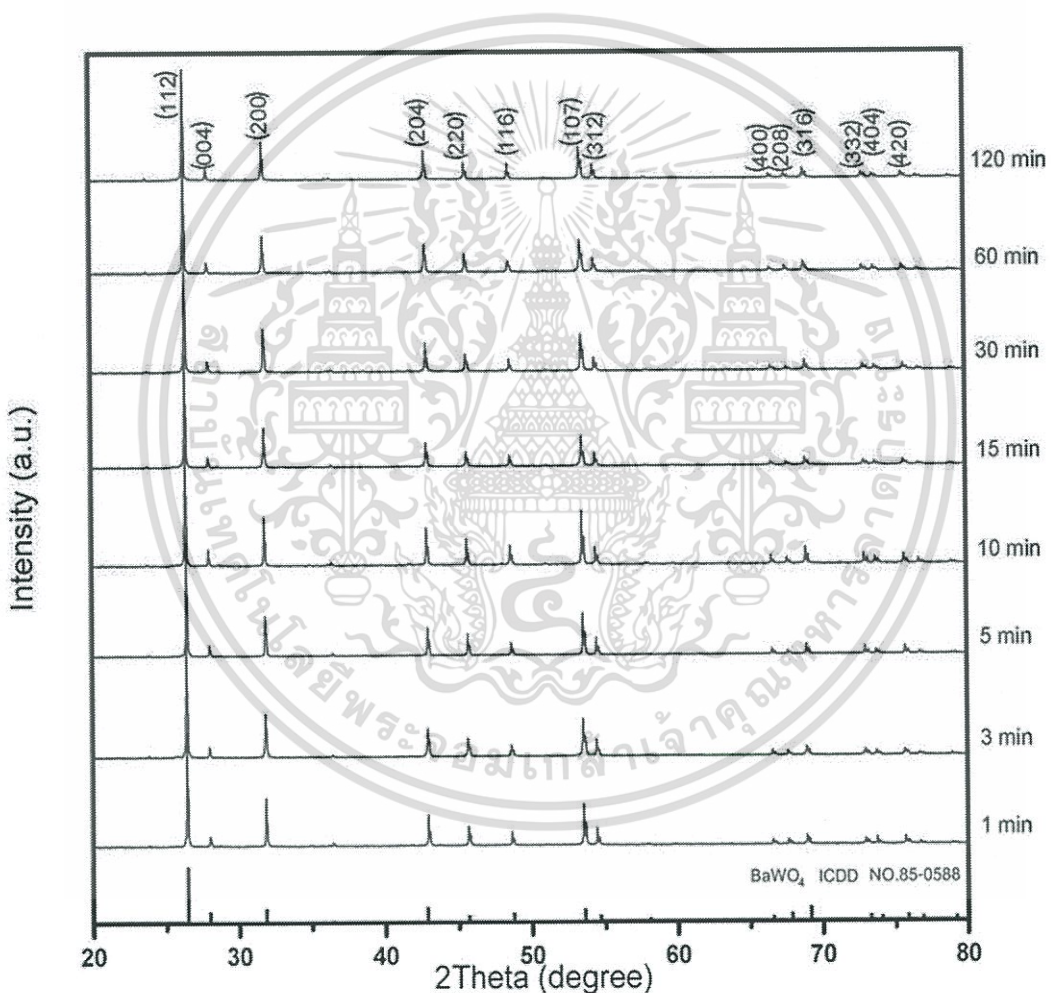
## บทที่ 4

### ผลการทดลองและอภิปรายผล

ในบทนี้จะรายงานผลและอภิปรายผลจากการตรวจสอบเอกลักษณ์ของแบเรียมทังสเตต และซิลเวอร์ทังสเตตที่สังเคราะห์ด้วยวิธีเคมีเชิงกลโดยการให้แรงเชิงกลที่ระยะเวลาต่างกัันดังต่อไปนี้

#### 4.1 การตรวจสอบเอกลักษณ์ของแบเรียมทังสเตต

4.1.1 ผลจากการตรวจสอบหาโครงสร้างผลึกด้วยเทคนิคการเลี้ยวเบนของรังสีเอกซ์ (X-ray diffractometer; XRD) ของแบเรียมทังสเตต



รูปที่ 4.1 แสดงการเลี้ยวเบนรังสีเอกซ์ของแบเรียมทังสเตตที่สังเคราะห์ด้วยวิธีเคมีเชิงกล

เทคนิคการเลี้ยวเบนรังสีเอกซ์สามารถบ่งบอกถึงโครงสร้างของสารที่เป็นผลึกซึ่งถือว่าเป็นข้อมูลที่มีความจำเพาะเจาะจง โดยสารที่มีความเป็นผลึกนี้จะมีรูปแบบการเลี้ยวเบนรังสีเอกซ์ที่ต่างกัน สามารถเปรียบเทียบรูปแบบการเลี้ยวเบนได้จากข้อมูลมาตรฐาน จากรูปที่ 4.1 แสดงการเลี้ยวเบนรังสีเอกซ์ของแบเรียมทังสเตตที่สังเคราะห์ด้วยวิธีเคมีเชิงกล โดยใช้ระยะเวลาในการให้แรงเชิงกล 1 3 5 10 15 30 60 และ 120 นาที พบว่าโครงสร้างของแบเรียมทังสเตตที่สังเคราะห์ด้วยวิธีเคมีเชิงกลมีเอกลักษณ์เป็นเอกลักษณ์เฉพาะตัวสำหรับการใช้งานเพื่อการศึกษาเท่านั้น เมื่อนำไปใช้ประโยชน์ด้านการค้าไม่ว่ากรณีใดๆทั้งสิ้น อีกทั้งห้ามมิให้ตัดแปลงเนื้อหา และต้องอ้างอิงถึงเจ้าของเอกสารทุกครั้งที่มีการนำไปใช้

โครงสร้างเป็นซีไลต์ที่มีโครงผลึกเป็นเทตระโกนอล และมีพีคที่สำคัญของแบเรียมทังสเตต ได้แก่ (112) (004) (200) (204) (220) (116) (107) (312) (400) (208) (316) (332) (404) และ (420) ผลจากการเลี้ยวเบนของรังสีเอกซ์ของแบเรียมทังสเตตพบว่าแบเรียมทังสเตตทุกตัวอย่างที่สังเคราะห์ได้นั้นไม่มีพีคแปลกปลอมและไม่มีการเลื่อนของพีคเกิดขึ้น เมื่อเทียบกับข้อมูลมาตรฐาน ICDD No. 85-0588 สอดคล้องกับงานวิจัยในปี 2012 โดย Anukorn Phuruangrat และคณะได้ทำการสังเคราะห์แบเรียมทังสเตตด้วยวิธีการตกตะกอนร่วมเพื่อให้ได้แบเรียมทังสเตตที่เป็นเฟสบริสุทธิ์ [37] จากข้อมูล que แสดงการเลี้ยวเบนรังสีเอกซ์ของแบเรียมทังสเตตสามารถบอกความเป็นผลึกได้โดย การดูความเข้มของการเลี้ยวเบนของรังสีเอกซ์ ถ้ามีค่าความเข้มสูงแสดงว่าสารตัวอย่างนั้นมีความเป็นผลึกสูง ถ้าค่าความเข้มต่ำแสดงว่ามีความเป็นผลึกต่ำ และยังสามารถนำข้อมูลการเลี้ยวเบนของรังสีเอกซ์มาคำนวณหาค่าแลตทิซพารามิเตอร์โดยใช้โปรแกรม XRD Analytical ได้ผลดังตารางที่ 4.1

**ตารางที่ 4.1** แสดงการเปรียบเทียบกับข้อมูลมาตรฐาน ICDD No. 85-0588 และข้อมูลแลตทิซพารามิเตอร์ของแบเรียมทังสเตตที่สังเคราะห์ด้วยวิธีเคมีเชิงกลโดยใช้เวลาในการให้แรงเชิงกล 1 3 5 10 15 30 60 และ 120 นาที

BaWO <sub>4</sub>	แลตทิซพารามิเตอร์		
	a (Å)	b (Å)	c (Å)
BaWO <sub>4</sub> ICDD No. 85-0588	5.6123	5.6123	12.7059
BaWO <sub>4</sub> 1 min	5.6607	5.6607	12.7018
BaWO <sub>4</sub> 3 min	5.6066	5.6066	12.6026
BaWO <sub>4</sub> 5 min	5.6061	5.6061	12.5988
BaWO <sub>4</sub> 10 min	5.6062	5.6062	12.5972
BaWO <sub>4</sub> 15 min	5.6064	5.6064	12.6019
BaWO <sub>4</sub> 30 min	5.6588	5.6588	12.6995
BaWO <sub>4</sub> 60 min	5.6747	5.6747	12.7929
BaWO <sub>4</sub> 120 min	5.6699	5.6699	12.7860

จากตารางที่ 4.1 เห็นได้ว่าแลตทิซพารามิเตอร์ของแบเรียมทังสเตตที่มีโครงสร้างซีไลต์และโครงผลึกเป็นเทตระโกนอล จะมีโครงผลึกที่  $a = b \neq c$  ซึ่งผลของเวลาในการให้แรงเชิงกลไม่ได้แสดงให้เห็นถึงแนวโน้มของแลตทิซพารามิเตอร์ เนื่องจากแลตทิซพารามิเตอร์ที่คำนวณได้ที่ค่าเพิ่มขึ้นและลดลงอย่างไม่สอดคล้องกัน โดยแลตทิซพารามิเตอร์ที่คำนวณได้มีค่าเฉลี่ยอยู่ที่  $a = 5.6361$  Å และ  $c = 12.6727$  Å จึงได้มีการเปรียบเทียบค่าแลตทิซพารามิเตอร์ของแบเรียมทังสเตตกับข้อมูลมาตรฐาน ICDD 85-0588 และงานวิจัยอื่นดังตารางที่ 4.2

เอกสารนี้เป็นเอกสารที่สงวนไว้สำหรับการใช้งานเพื่อการศึกษาเท่านั้น ไม่อนุญาตให้นำไปใช้ประโยชน์ด้านการค้า ไม่ว่าจะกรณีใดๆทั้งสิ้น อีกทั้งห้ามมิให้ตัดแปลงเนื้อหา และต้องอ้างอิงถึงเจ้าของเอกสารทุกครั้งที่มีการนำไปใช้

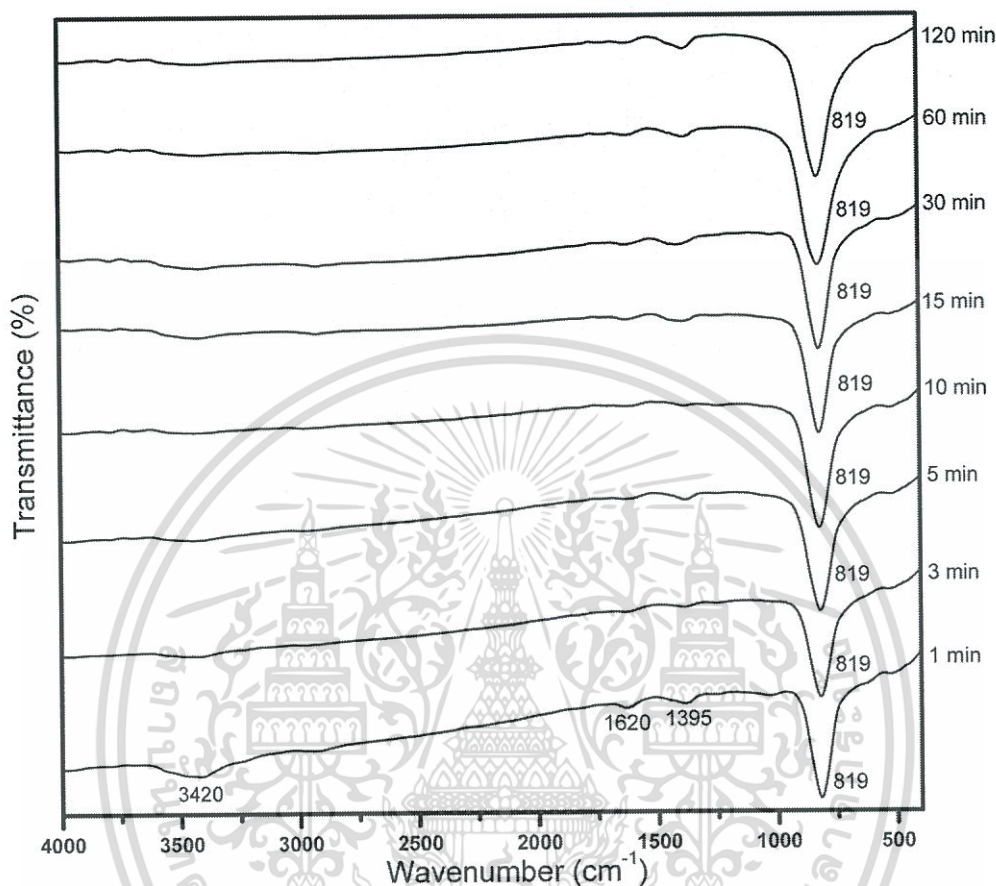
ตารางที่ 4.2 แสดงการเปรียบเทียบกับข้อมูลมาตรฐาน ICDD No. 85-0588 และข้อมูลแลตทิซพารามิเตอร์ของแบเรียมทังสเตตที่สังเคราะห์ด้วยวิธีเคมีเชิงกลโดยใช้เวลาในการให้แรงเชิงกลที่ 1 3 5 10 15 30 60 และ 120 นาที และงานวิจัยอื่น ๆ

การสังเคราะห์แบเรียมทังสเตต	แลตทิซพารามิเตอร์		อ้างอิง
	a (Å)	c (Å)	
BaWO <sub>4</sub> ICDD No. 85-0588	5.6123	12.7059	-
ปฏิกิริยาเคมีแบบอ่อน (Soft chemical method)	5.6132	12.7201	[39]
การตกตะกอนของ BaWO <sub>4</sub>	5.6150	12.7220	[25]
เคมีเชิงกล	5.6362	12.6727	[งานวิจัยนี้]

จากตารางที่ 4.2 พบว่าค่าแลตทิซพารามิเตอร์ที่คำนวณได้จากการสังเคราะห์แบเรียมทังสเตตด้วยวิธีเคมีเชิงกลมีค่าแตกต่างจากข้อมูลมาตรฐานโดยค่า a ที่ได้จากข้อมูลมาตรฐาน ICDD No.85-0588 มีค่าเท่ากับ 5.6123 Å แต่จากการสังเคราะห์แบเรียมทังสเตตด้วยวิธีเคมีเชิงกลค่า a ที่ได้มีค่าเฉลี่ยเท่ากับ 5.6362 Å และค่า c ที่ได้จากข้อมูลมาตรฐาน ICDD No. 85-0588 มีค่าเท่ากับ 12.7059 Å ซึ่งใกล้เคียงกับการสังเคราะห์แบเรียมทังสเตตด้วยวิธีเคมีเชิงกลซึ่งค่า c มีค่าเฉลี่ยเท่ากับ 12.6727 Å

ผลจากการเลี้ยวเบนรังสีเอกซ์แสดงให้เห็นว่า สามารถสังเคราะห์แบเรียมทังสเตตด้วยวิธีเคมีเชิงกลเพื่อให้ได้เฟสบริสุทธิ์ได้เมื่อเทียบกับข้อมูลมาตรฐาน โดยการสังเคราะห์วิธีเคมีเชิงกลจะใช้ระยะเวลาในการสังเคราะห์น้อยและไม่ต้องใช้พลังงานสูงในการสังเคราะห์ จึงทำให้การสังเคราะห์แบเรียมทังสเตตด้วยวิธีเคมีเชิงกลเป็นวิธีที่ประหยัดเวลาและประหยัดพลังงาน

4.1.2 ผลจากการตรวจสอบหาหมู่ฟังก์ชันของสารอินทรีย์และสารอินทรีย์ด้วยเครื่องฟูเรียร์ทรานส์ฟอร์มอินฟราเรดสเปกโตรมิเตอร์ (Fourier transform infrared spectrometer; FTIR) ของแบเรียมทั้งสเตรต



รูปที่ 4.2 แสดงฟูเรียร์ทรานส์ฟอร์มอินฟราเรดสเปกตรัมของผงแบเรียมทั้งสเตรตที่สังเคราะห์ด้วยวิธีเคมีเชิงกล

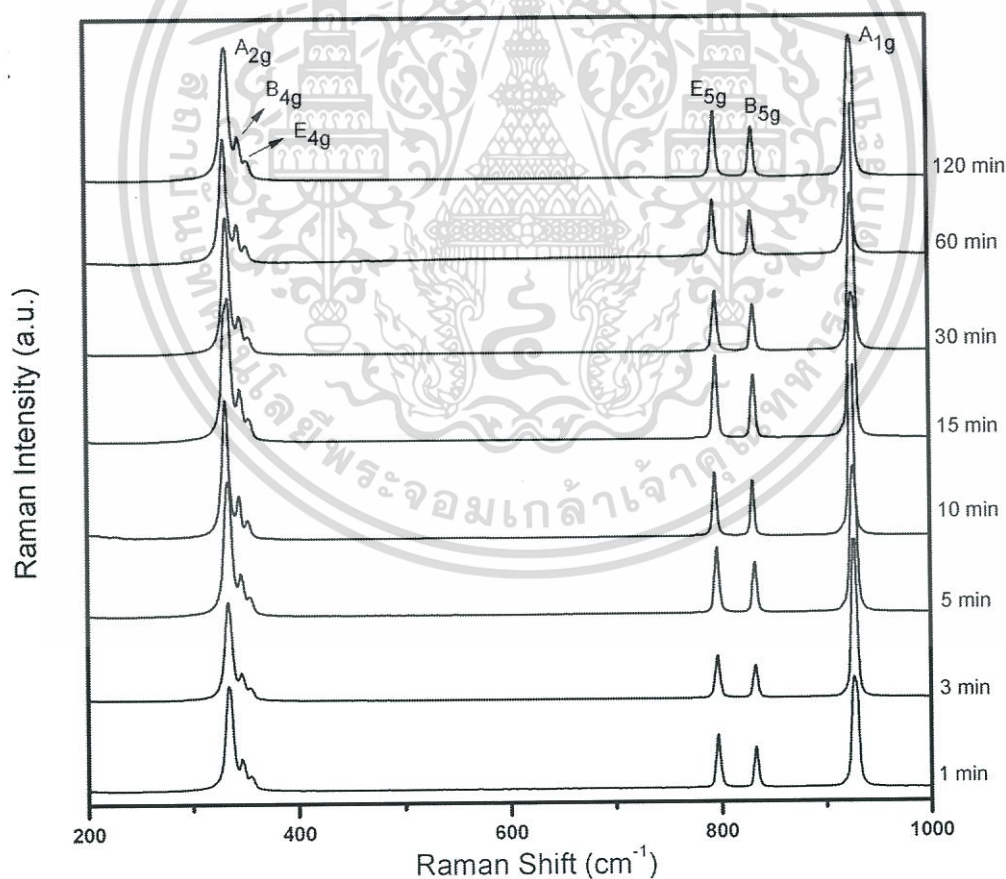
จากรูปที่ 4.2 แสดงฟูเรียร์ทรานส์ฟอร์มอินฟราเรดสเปกตรัมของผงแบเรียมทั้งสเตรตที่สังเคราะห์ด้วยวิธีเคมีเชิงกล ซึ่งเป็นการตรวจสอบหาหมู่ฟังก์ชันของสารอินทรีย์และสารอินทรีย์ด้วยเครื่องฟูเรียร์ทรานส์ฟอร์มอินฟราเรดสเปกโตรมิเตอร์ของแบเรียมทั้งสเตรตที่สังเคราะห์ด้วยวิธีเคมีเชิงกลโดยใช้ระยะเวลาในการให้แรงเชิงกลที่ 1 3 5 10 15 30 60 และ 120 นาที พบว่ามีการสั่นแบบยืดหดของพันธะภายในโมเลกุลที่  $819 \text{ cm}^{-1}$  ซึ่งเป็นการสั่นแบบไม่สมมาตรระหว่างอะตอมของทั้งสเตรตกับอะตอมของออกซิเจนในโมเลกุลของทั้งสเตรต ( $\text{WO}_4^{2-}$ ) ที่สอดคล้องกับงานวิจัยของ M. Mohamed Jaffer Sadiq และคณะ [39] ที่ได้ทำการสังเคราะห์แบเรียมทั้งสเตรตด้วยวิธีการเคมีแบบอ่อน นอกจากนี้ยังพบการสั่นแบบยืดหด และการสั่นแบบงอระหว่างอะตอมของไฮโดรเจนกับออกซิเจนซึ่งเป็นโมเลกุลของน้ำที่เกิดจากความชื้นที่หลงเหลืออยู่หรือความชื้นที่เกิดจากสารตัวอย่างได้สัมผัสกับอากาศ การสั่นที่เกิดขึ้นนี้จะสั่นที่ความยาวคลื่นประมาณ  $1620 \text{ cm}^{-1}$  และ  $3420 \text{ cm}^{-1}$  ตามลำดับ โดยที่พีค  $1620 \text{ cm}^{-1}$  เป็นการสั่นแบบงอ (Bending vibration) ระหว่างอะตอมของไฮโดรเจนกับอะตอมของออกซิเจน ส่วนการสั่นที่  $3420 \text{ cm}^{-1}$  เป็นการสั่นแบบยืดหด (Stretching vibration) ระหว่างอะตอมของไฮโดรเจนและอะตอมของออกซิเจน และยังตรวจพบการสั่นที่ความ

เอกสารนี้เป็นเอกสารที่สงวนลิขสิทธิ์ของภาควิชาวิศวกรรมโยธา มหาวิทยาลัยเทคโนโลยีพระจอมเกล้าธนบุรี ไม่สามารถนำออกจำหน่ายหรือเผยแพร่โดยไม่ได้รับอนุญาต  
ไม่ว่ากรณีใดๆทั้งสิ้น อีกทั้งห้ามมิให้ตัดแปลงเนื้อหา และต้องอ้างอิงถึงเจ้าของเอกสารทุกครั้งที่มีการนำไปใช้

ยาวคลื่น  $1395\text{ cm}^{-1}$  ซึ่งเป็นการสั่นระหว่างอะตอมของไนโตรเจนกับอะตอมของออกซิเจนที่เกิดจากการสั่นภายในโมเลกุลของไนเตรต ( $\text{NO}_3^-$ ) ซึ่งสอดคล้องกับงานวิจัยของ Jianying Zhu และคณะ ที่ได้ทำการสังเคราะห์แบเรียมทั้งสแตตด้วยวิธีการตกตะกอน [41]

ผลของการตรวจสอบหมู่ฟังก์ชันของสารอินทรีย์และสารอินทรีย์ด้วยเครื่องฟูเรียร์ทรานส์ฟอร์มอินฟราเรดสเปกโทรมิเตอร์ของแบเรียมทั้งสแตต แสดงให้เห็นว่าเทคนิคฟูเรียร์ทรานส์ฟอร์มอินฟราเรดสเปกโทรสโคปี สามารถใช้ในการหาการสั่นของพันธะแบบไม่สมมาตรในโมเลกุลของแบเรียมทั้งสแตตได้ โดยการสั่นที่พบคือการสั่นแบบไม่สมมาตรระหว่างอะตอมของทั้งสแตตกับอะตอมของออกซิเจนภายในโมเลกุลของทั้งสแตต การสั่นที่เกิดขึ้นจากโมเลกุลของน้ำซึ่งเป็นทั้งการสั่นแบบงอและการสั่นแบบยืดหด นอกจากนี้ยังพบสั่นที่เกิดขึ้นระหว่างอะตอมของไนโตรเจนกับอะตอมของออกซิเจน ภายในโมเลกุลของไนเตรต ทำให้ทราบว่าแบเรียมทั้งสแตตที่สังเคราะห์ด้วยวิธีเคมีเชิงกลยังไม่ใช่เฟสบริสุทธิ์ทั้งหมด ซึ่งเกิดจากขั้นตอนในการล้างแบเรียมทั้งสแตตที่สังเคราะห์ได้ แล้วล้างไนเตรตที่หลงเหลืออยู่ออกไม่หมด

#### 4.1.3 ผลจากการตรวจสอบการกระเจิงของโมเลกุลด้วยเครื่องรามานสเปกโทรโฟโตมิเตอร์ (Raman Spectrophotometer) ของแบเรียมทั้งสแตต



รูปที่ 4.3 แสดงรามานสเปกตรัมของแบเรียมทั้งสแตตที่สังเคราะห์ด้วยวิธีเคมีเชิงกล

จากรูปที่ 4.3 เป็นรูปที่แสดงรามานสเปกตรัมของแบเรียมทั้งสแตตที่สังเคราะห์ด้วยวิธีเคมีเชิงกลโดยให้ระยะเวลาในการให้แรงเชิงกลที่ 1 3 5 10 15 30 60 และ 120 นาที การวิเคราะห์เอกสารนี้เป็นเอกสารที่สงวนไว้สำหรับการใช้งานเพื่อการศึกษาเท่านั้น ไม่อนุญาตให้นำไปใช้ประโยชน์ด้านการค้า ไม่ว่าจะกรณีใดๆทั้งสิ้น อีกทั้งห้ามมิให้ตัดแปลงเนื้อหา และต้องอ้างอิงถึงเจ้าของเอกสารทุกครั้งที่มีการนำไปใช้

รามานสเปกตรัมแสดงให้เห็นว่าการสั่นที่เกิดขึ้นในผลึกของแบเรียมทังสเตตโครงสร้างแบบซีไลต์ เทตระโกนอลที่ได้จากการคำนวณทางทฤษฎีพบว่า การสั่นที่เกิดขึ้นในผลึกแบเรียมทังสเตมมี 26 โหมดการสั่น ดังสมการ

$$r = 3A_g + 5A_u + 5B_g + 3B_u + 5E_g + 5E_u$$

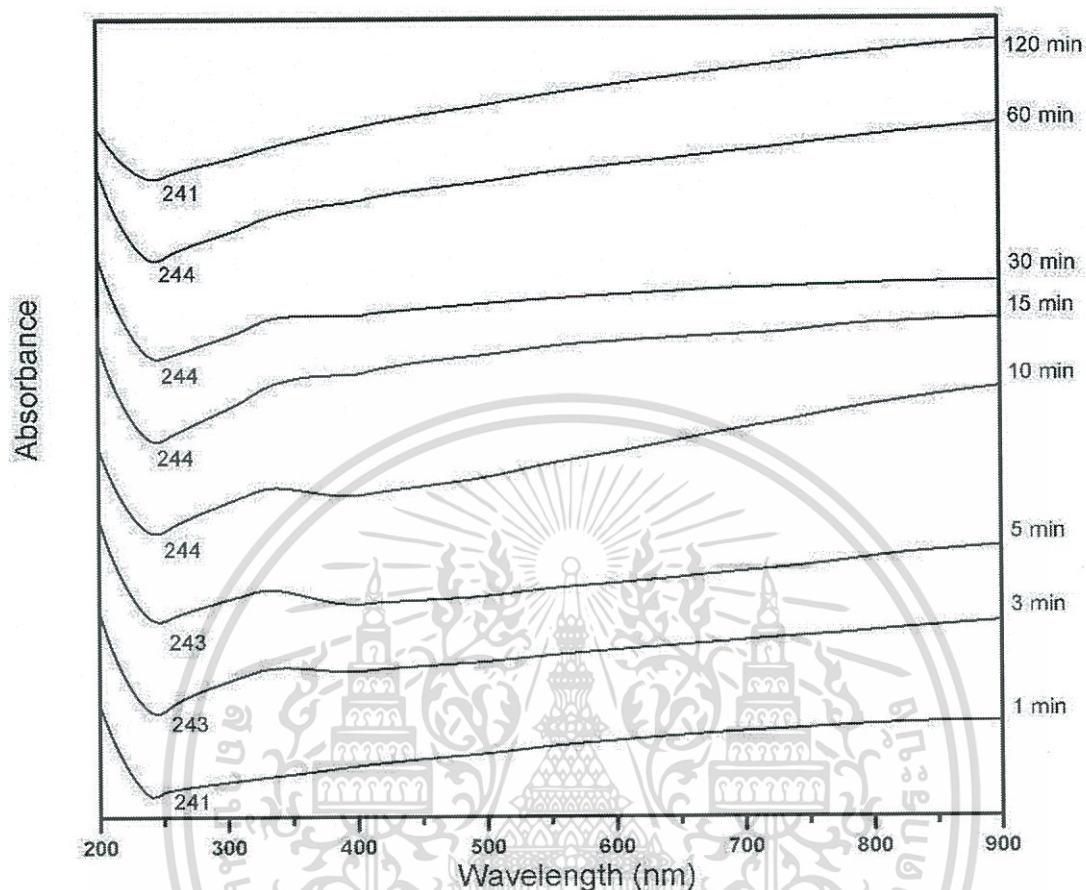
โดยจะมีการสั่นแบบ Raman active 13 ตำแหน่ง ( $A_g$ ,  $B_g$ ,  $E_g$ ) และการสั่นแบบ IR active 13 ตำแหน่ง ( $A_u$ ,  $B_u$ ,  $E_u$ ) ดังนั้นพีกที่เกิดขึ้นจากการตรวจสอบการกระเจิงของโมเลกุลด้วยเครื่องรามานสเปกโตรโฟโตมิเตอร์ สามารถเกิดได้ 13 โหมดการสั่นดังสมการ

$$r = 3A_g + 5B_g + 5E_g$$

แต่ผลจากการตรวจสอบการกระเจิงของโมเลกุลด้วยเครื่องรามานสเปกโตรโฟโตมิเตอร์ของแบเรียมทังสเตต พบโหมดการสั่นทั้งหมด 6 ตำแหน่ง โดยสัญลักษณ์ที่ใช้อธิบายโหมดการสั่นได้มีการอธิบายดังนี้ A และ B คือโหมดนอนดีเจเนอเรท (Nondegenerate) โดยที่ A เกี่ยวข้องกับการหมุนในแกนหลักแบบสมมาตร B เกี่ยวข้องกับการหมุนในแกนหลักแบบไม่สมมาตร E คือโหมดดีเจเนอเรทเป็นสองเท่า (Doubly degenerate) ตัวห้อย “g” แสดงถึงความผกผันแบบสมมาตร ตัวห้อย “u” แสดงถึงความผกผันแบบไม่สมมาตร ภายในผลึกที่มีลักษณะสมมาตรผ่านจุดศูนย์กลาง (Centrosymmetric crystal) โหมดการสั่นที่พบในรามานสามารถแบ่งได้สองกลุ่มคือ โหมดการสั่นภายใน (Internal mode) และโหมดการสั่นภายนอก (External mode) โหมดการสั่นภายในที่เกิดขึ้นจากการวิเคราะห์ฟังก์ชันของแบเรียมทังสเตตที่สังเคราะห์ด้วยวิธีเคมีเชิงกล คือการสั่นภายในโมเลกุลของทังสเตตที่มีโครงสร้างเป็นเทตระฮีดรอล และโหมดการสั่นภายนอกจะสอดคล้องกับการเคลื่อนไหวของแบเรียมไอออน ( $Ba^{2+}$ ) [42] จากรูปที่ 4.3 พบว่ามีการสั่นสูง (Strong vibration) 2 ตำแหน่งคือ  $A_{1g}$  ที่  $927\text{ cm}^{-1}$  และ  $A_{2g}$  ที่  $333\text{ cm}^{-1}$  ส่วนการสั่นต่ำ (Weak vibration) 4 ตำแหน่ง คือ  $B_{4g}$  ที่  $346\text{ cm}^{-1}$   $E_{4g}$  ที่  $355\text{ cm}^{-1}$   $E_{5g}$  ที่  $796\text{ cm}^{-1}$   $B_{3g}$  ที่  $833\text{ cm}^{-1}$  โดยที่โหมดการสั่นของ  $A_{1g}$  ที่  $927\text{ cm}^{-1}$   $A_{2g}$  ที่  $333\text{ cm}^{-1}$  และ  $E_{5g}$  ที่  $796\text{ cm}^{-1}$  เป็นการสั่นแบบยืดหดระหว่างอะตอมทั้งสแตน และอะตอมออกซิเจน ที่มีโครงสร้างเป็นเทตระฮีดรอลซึ่งสอดคล้องกับงานวิจัยของ Siti Murni, M Zawawi และคณะ [43]

ผลจากการตรวจสอบการกระเจิงของโมเลกุลด้วยเครื่องรามานสเปกโตรโฟโตมิเตอร์ สามารถบ่งบอกได้ถึงคุณสมบัติของแบเรียมทังสเตตได้ เนื่องจากการตรวจสอบการกระเจิงของโมเลกุลด้วยเครื่องรามานสเปกโตรโฟโตมิเตอร์นี้สามารถใช้หาการสั่นของพันธะแบบสมมาตรในโมเลกุลของแบเรียมทังสเตตได้

#### 4.1.4 ผลจากการตรวจวัดค่าการดูดกลืนแสงด้วยเครื่องอัลตราไวโอเลตวิสิเบิลสเปกโตรมิเตอร์ (Ultraviolet-Visible Spectrometer) ของแบเรียมทั้งสเตรต



รูปที่ 4.4 แสดงกราฟที่มีความสัมพันธ์ระหว่างค่าการดูดกลืน (Absorbance) และค่าความยาวคลื่น (Wavelength) ของแบเรียมทั้งสเตรตที่สังเคราะห์ด้วยวิธีเคมีเชิงกล

จากรูปที่ 4.4 แสดงกราฟที่มีความสัมพันธ์ระหว่างค่าการดูดกลืน และค่าความยาวคลื่นของแบเรียมทั้งสเตรตที่สังเคราะห์ด้วยวิธีเคมีเชิงกล โดยใช้ระยะเวลาในการให้แสงเชิงกลที่ 1 3 5 10 15 30 60 และ 120 นาที ผลจากการตรวจวัดความเข้มแสงที่แบเรียมทั้งสเตรตดูดกลืน พบว่าแบเรียมทั้งสเตรตที่สังเคราะห์ด้วยวิธีเคมีเชิงกลมีค่าการดูดกลืนแสงในช่วงความยาวคลื่นประมาณ 241-244 nm และจากการคำนวณสเปกตรัมการดูดกลืนของแบเรียมทั้งสเตรตที่สังเคราะห์ด้วยวิธีเคมีเชิงกลจากสมการของ wood และ Tauc

$$\alpha h \nu = (h\nu - E_g)^n$$

เมื่อ	$\alpha$	=	ค่าสัมประสิทธิ์การดูดกลืน (Absorption coefficient)
	$h$	=	ค่าคงที่ของพลังค์ (Planck constant)
	$\nu$	=	ความถี่ของโฟตอน (Frequency of photon)
	$E_g$	=	แถบช่องว่างพลังงาน (Energy gap)
	$n$	=	ค่าที่มีความสัมพันธ์กับการเปลี่ยนที่ของอิเล็กตรอน

เอกสารนี้เป็นเอกสารที่สงวนไว้สำหรับการใช้งานเพื่อการศึกษาเท่านั้น ไม่อนุญาตให้นำไปใช้ประโยชน์ด้านการค้า ไม่ว่าจะกรณีใดๆทั้งสิ้น อีกทั้งห้ามมิให้ตัดแปลงเนื้อหา และต้องอ้างอิงถึงเจ้าของเอกสารทุกครั้งที่มีการนำไปใช้

โดย  $n$  ที่มีค่า  $1/2$  สามารถบอกได้ว่าเป็นการยอมรับให้แสงผ่านได้โดยตรง เมื่อ  $n$  มีค่าเท่ากับ 2 สามารถบอกได้ว่าเป็นการยอมรับให้แสงผ่านได้โดยอ้อม เมื่อ  $n$  มีค่าเท่ากับ  $3/2$  สามารถบอกได้ว่าไม่สามารถดูดกลืนแสงได้ แต่โลหะทั้งสแตตที่มีโครงสร้างเป็นซีลิต์เททระโกนอล  $n$  จะมีค่าเท่ากับ  $1/2$  เพราะค่าที่มีความสัมพันธ์กันกับการเปลี่ยนที่ของอิเล็กตรอน เป็นแบบที่แสงสามารถผ่านได้โดยตรง

$$\alpha = -\ln T/d$$

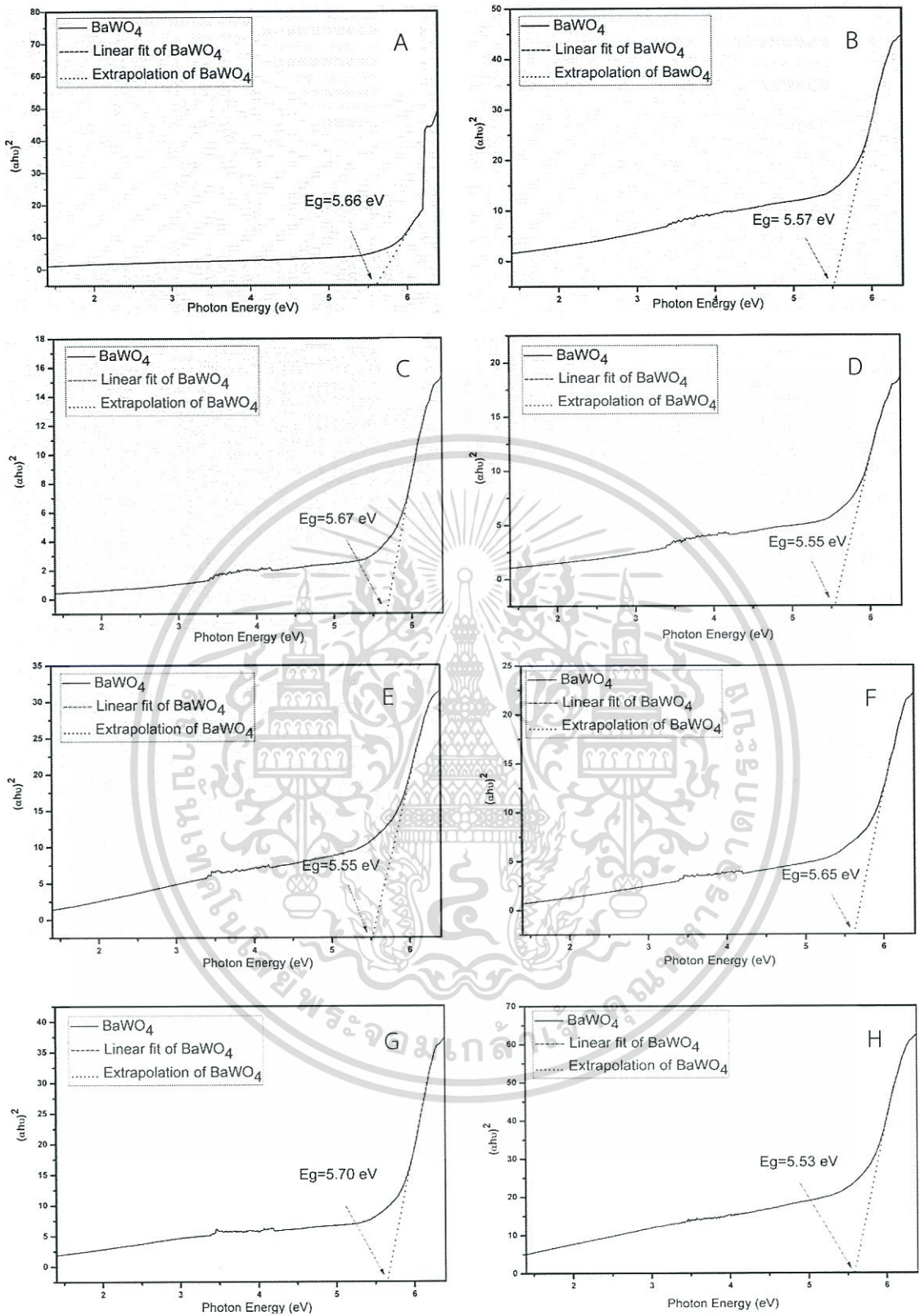
เมื่อ  $T$  = แสงที่ส่องผ่าน

$d$  = ระยะที่แสงผ่าน หรือ ความกว้างของคิวเวต มีระยะ 1 เซนติเมตร

ค่า  $E_g$  สามารถหาได้จากการคาดคะเนของกราฟเชิงเส้นที่มีความสัมพันธ์ระหว่าง  $(\alpha h\nu)^2$

และ พลังงานโฟตอน (Photon Energy) ค่าแถบพลังงานช่องว่าง ( $E_g$ ) สามารถบอกได้ถึงสมบัติเฉพาะของวัสดุ ว่าวัสดุนั้นจะเป็นฉนวนหรือเป็นตัวนำที่ดี วัสดุที่เป็นตัวนำค่า  $E_g$  ประมาณ 0 ส่วนวัสดุที่เป็นฉนวนจะมีค่า  $E_g$  มากกว่า 3 eV จากการคำนวณเพื่อหาค่าแถบพลังงานช่องว่าง ( $E_g$ ) โดยนำข้อมูลจากการตรวจวัดค่าการดูดกลืนแสง ด้วยเครื่องอัลตราไวโอเลตวิสิเบิลสเปกโทรมิเตอร์มาใช้ในการคำนวณ จึงได้เป็นกราฟแสดงความสัมพันธ์ระหว่าง  $(\alpha h\nu)^2$  และ Photon Energy ของผงแบเรียมทังสเตตที่สังเคราะห์ด้วยวิธีเคมีเชิงกลที่แสดงค่าแถบช่องว่างพลังงาน ( $E_g$ ) ที่แตกต่างกันดังรูปที่ 4.5

โดยจากรูปที่ 4.5 จะแสดงกราฟแสดงความสัมพันธ์ระหว่าง  $(\alpha h\nu)^2$  และ Photon Energy ของแบเรียมทังสเตตที่สังเคราะห์ด้วยวิธีเคมีเชิงกล พบว่าค่าของแถบช่องว่างพลังงาน ( $E_g$ ) มีค่า 5.66, 5.57, 5.67, 5.55, 5.55, 5.65, 5.70 และ 5.53 eV ตามระยะเวลาในการให้แรงเชิงกลที่เวลา 1 นาที 3 นาที 5 นาที 10 นาที 15 นาที 30 นาที 60 นาที และ 120 นาทีตามลำดับ ค่าของแถบพลังงานช่องว่างที่ได้จากการคำนวณนี้มีความแตกต่างกันเล็กน้อย และพบว่าระยะเวลาในการให้แรงเชิงกลไม่ได้บ่งบอกถึงแนวโน้มการเพิ่มขึ้นหรือลดลงของแถบช่องว่างพลังงาน โดยค่าแถบช่องว่างพลังงานนี้สอดคล้องกับงานวิจัยของ M. Mohamed Jaffer Sadiq และคณะ [39] โดยในงานวิจัยของ M. Mohamed Jaffer Sadiq ทำการสังเคราะห์แบเรียมทังสเตตด้วยวิธีการเคมีแบบอ่อน พบว่าค่าของแถบช่องว่างพลังงาน ( $E_g$ ) มีค่า 5.77 eV



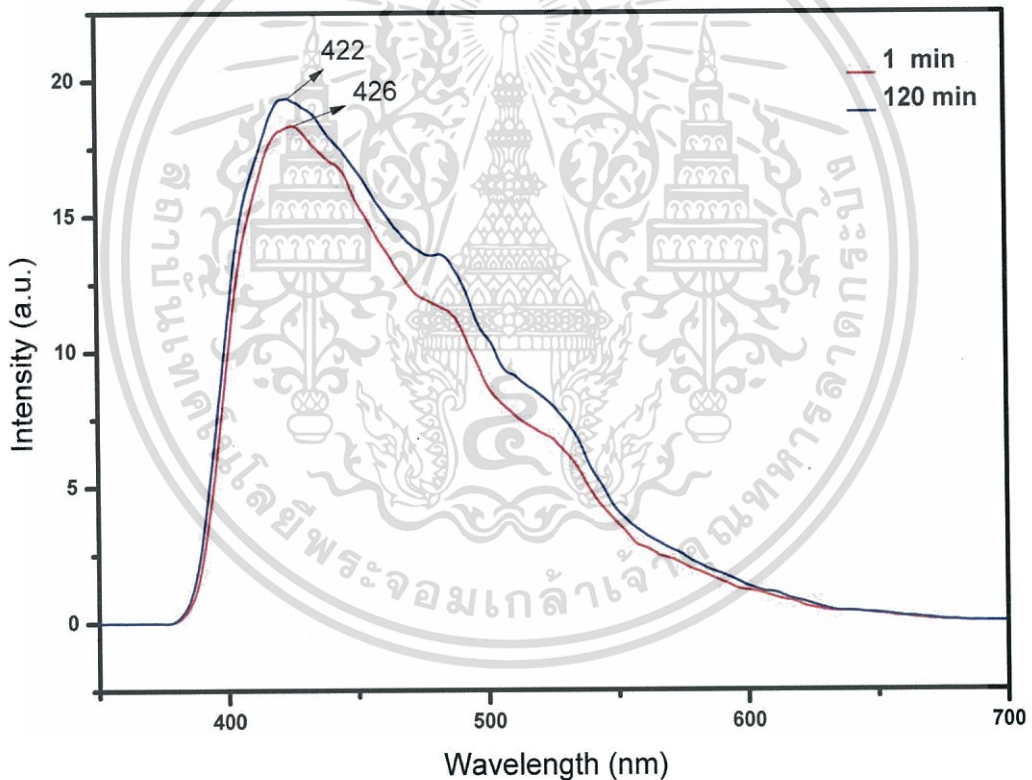
รูปที่ 4.5 กราฟแสดงความสัมพันธ์ระหว่าง  $(\alpha h\nu)^2$  และ Photon Energy ของแบเรียมทั้งสแตดที่สังเคราะห์ด้วยวิธีเคมีเชิงกลโดยใช้เวลาในการให้แรงเชิงกล A) 1 นาที B) 3 นาที C) 5 นาที D) 10 นาที E) 15 นาที F) 30 นาที G) 60 นาที และ H) 120 นาที

เอกสารนี้เป็นเอกสารที่สงวนไว้สำหรับการใช้งานเพื่อการศึกษาเท่านั้น ไม่อนุญาตให้นำไปใช้ประโยชน์ด้านการค้า ไม่ว่าจะกรณีใดๆทั้งสิ้น อีกทั้งห้ามมิให้ตัดแปลงเนื้อหา และต้องอ้างอิงถึงเจ้าของเอกสารทุกครั้งที่มีการนำไปใช้

ผลจากการเปรียบเทียบค่าช่องว่างแถบพลังงานกับงานวิจัยอื่น ๆ พบว่ามีปัจจัยหลายอย่างที่ส่งผลต่อค่าช่องว่างแถบพลังงาน ไม่ว่าจะเป็นขนาดของอนุภาคของสารตัวอย่าง หรือรูปร่างของอนุภาคของสารตัวอย่าง โดยจากการเปรียบเทียบระหว่างการสังเคราะห์แบบเริ่มทั้งสแตดด้วยวิธีเคมีเชิงกล และการสังเคราะห์แบบเริ่มทั้งสแตดด้วยปฏิกิริยาเคมีแบบอ่อน จะได้ค่าแถบพลังงานช่องว่างใกล้เคียงกันเนื่องจากรูปร่าง และขนาดของอนุภาคจากการสังเคราะห์สองวิธีนี้มีรูปร่าง และขนาดใกล้เคียงกัน

#### 4.1.5 ผลจากการตรวจสอบสมบัติการคายแสงด้วยเครื่องสเปกโทรฟลูออโรมิเตอร์ (Spectrofluorometer) ของแบเรียมทั้งสแตด

เมื่อทำการสังเคราะห์แบเรียมทั้งสแตดด้วยวิธีการเคมีเชิงกลโดยการให้แรงเชิงกลที่เวลาต่างกัน (1 นาที และ 120 นาที) จากนั้นนำไปตรวจสอบสมบัติการคายแสงด้วยเครื่องสเปกโทรฟลูออโรมิเตอร์



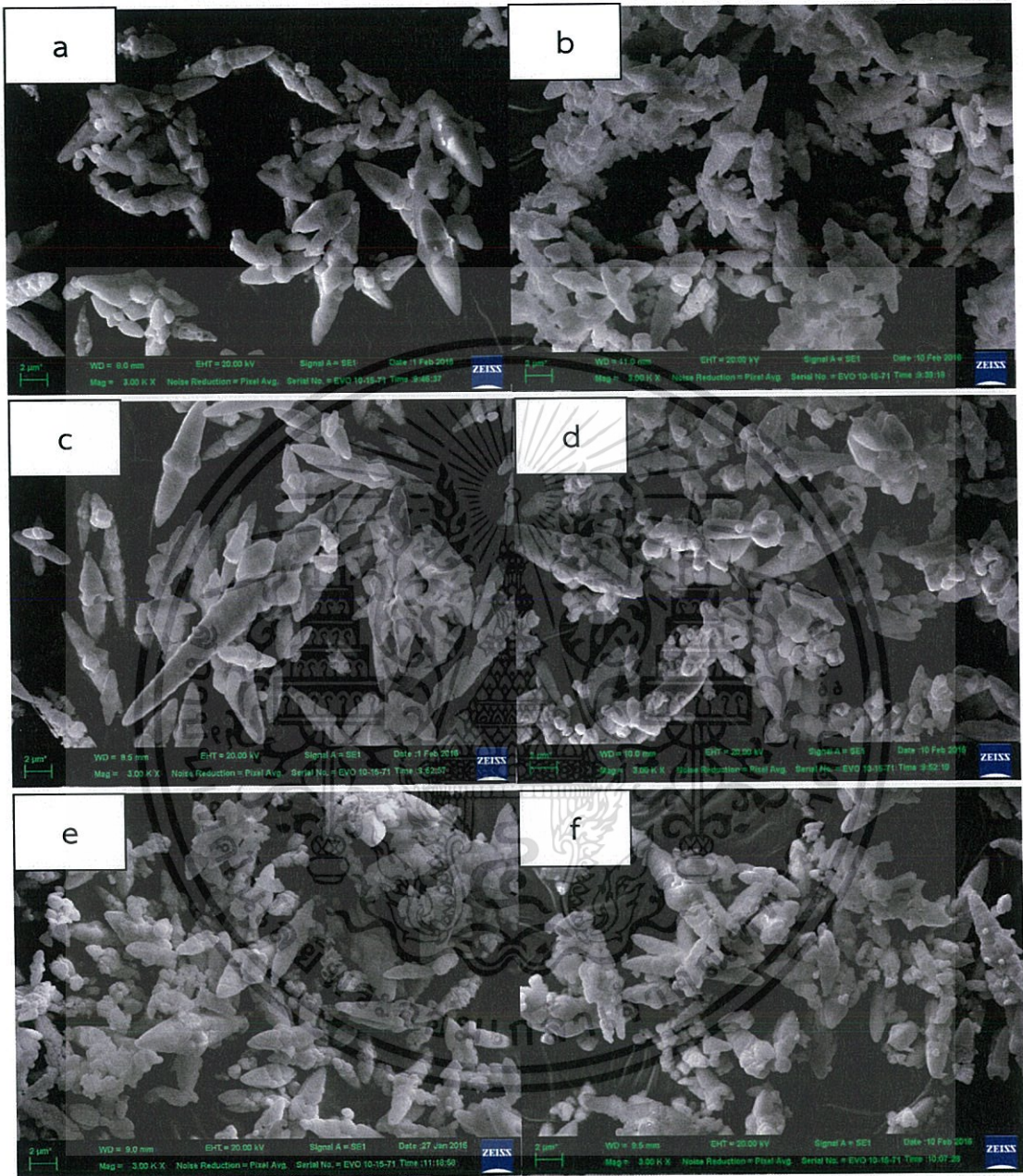
รูปที่ 4.6 แสดงสเปกตรัมการคายแสงของแบเรียมทั้งสแตดที่สังเคราะห์จากวิธีการเคมีเชิงกลโดยการให้แรงเชิงกลที่เวลาต่างกัน ที่เวลา 1 นาที และ 120 นาที

จากรูปที่ 4.6 สเปกตรัมการคายแสงของแบเรียมทั้งสแตดที่สังเคราะห์ด้วยวิธีการเคมีเชิงกลโดยการให้แรงเชิงกลเป็นระยะเวลา 1 และ 120 นาที ในการวัดสมบัติการคายแสงเพื่อยืนยันสมบัติทางแสงของสารที่สังเคราะห์ได้นั้น จะใช้ความยาวคลื่นกระตุ้น (Excitation wavelength;  $\lambda_{ex}$ ) ที่เอกสารนี้เป็นเอกสารที่สงวนไว้สำหรับการใช้งานเพื่อการศึกษาเท่านั้น ไม่อนุญาตให้นำไปใช้ประโยชน์ด้านการค้า ไม่ว่าจะกรณีใดๆทั้งสิ้น อีกทั้งห้ามมิให้ดัดแปลงเนื้อหา และต้องอ้างอิงถึงเจ้าของเอกสารทุกครั้งที่มีการนำไปใช้

ความยาวคลื่นประมาณ 350 nm พบว่าแบเรียมทังสเตตที่สังเคราะห์ได้ทุกตัวนั้นให้สเปกตรัมของการคายแสงมีลักษณะของพีคที่กว้าง (Broad peak) อยู่ในช่วง 380 – 650 nm ซึ่งอยู่ในช่วงที่ตามองเห็นได้โดยให้การคายแสงอยู่ในช่วงสีฟ้า โดยแบเรียมทังสเตตที่ให้แรงเชิงกลเป็นเวลา 1 นาทีให้การคายแสงที่ความยาวคลื่นประมาณ 425 nm ส่วนแบเรียมทังสเตตที่ให้แรงเชิงกลเป็นเวลา 120 นาทีให้การคายแสงที่ความยาวคลื่น 422 nm โดยแบเรียมทังสเตตที่ให้แรงเชิงกลเป็นเวลา 1 นาที มีค่าความเข้มของการคายแสงที่ต่ำกว่าแบเรียมทังสเตตที่ให้แรงเชิงกลเป็นเวลา 120 นาที ซึ่งผลที่ได้สอดคล้องกับงานวิจัยของ Lei Zhang และคณะ [44] โดย Lei Zhang และคณะได้ทำการสังเคราะห์แบเรียมทังสเตตด้วยวิธีการไฮโดรเทอร์มอล ซึ่งได้ใช้ความยาวคลื่นกระตุ้นที่ 320 nm ให้ค่าการคายแสงที่ความยาวคลื่น 426 nm ซึ่งเป็นช่วงของแสงสีฟ้า โดยแสงสีฟ้าที่คายออกมานั้นเกิดจากการเปลี่ยนแปลงอิเล็กตรอนภายในโมเลกุลไอออนของทังสเตต ( $WO_4^{2-}$ ) และสอดคล้องกับงานวิจัยของ C. Shivakumara และคณะ [25] โดย C. Shivakumara และคณะได้ทำการสังเคราะห์แบเรียมทังสเตตด้วยวิธีการตกตะกอนโดยใช้แบเรียมไนเตรตกับโซเดียมทังสเตตไดไฮดรตเป็นสารตั้งต้น และไม่ใช่สารลดแรงตึงผิว (Surfactant) หรือสารที่ทำให้คงตัว (Stabilizing agent) ซึ่งได้ใช้ความยาวคลื่นกระตุ้นที่ 350 nm ให้ค่าการคายแสงที่ความยาวคลื่น 433 nm

โดยทั่วไปการคายแสงและการกระตุ้นแสงของเมททอลทังสเตต ( $MWO_4$ ) เกิดจากการเปลี่ยนแปลงการถ่ายโอนจากลิแกนด์ของอะตอมออกซิเจนไปยังอะตอมทังสเตนภายในโครงสร้างทังสเตต ระหว่างออร์บิทัลที่เต็มของ  $t_1$  และออร์บิทัลว่างของ  $2e$  การกระตุ้นแสงจากระดับพลังงานชั้นพื้น ( $^1A_1$ ) ของทังสเตต ก่อให้เกิดระดับชั้นพลังงานกระตุ้น 4 ชั้นได้แก่  $^1T_2$ ,  $^1T_1$ ,  $^3T_2$  และ  $^3T_1$  ซึ่งเป็นเพียงการเปลี่ยนแปลงระหว่าง  $^1A_1$  และ  $^1T_2$  อย่างไรก็ตามสารประกอบของทังสเตตในโครงสร้างซีไลต์ของทังสเตตจะเกิดการบิดเบี้ยวเล็กน้อยจาก  $T_d$  ไปยังสมมาตร  $D_{2d}$  โดยมีอิทธิพลมาจาก John-Teller ด้วยเหตุนี้เกิดการเสื่อมในชั้น T ภายใต้การบิดเบี้ยวและการสมมาตรที่ลดลงไปยังชั้นสมมาตร  $D_{2d}$  ซึ่งยังเพิ่มการเปลี่ยนแปลง  $^1A_1$  ไปยัง  $^1T_2$ ,  $^1T_1$  และ  $^1A_1$  ไปยัง  $^3T_2$ ,  $^3T_1$  มีการเปลี่ยนแปลงจากระดับชั้นพลังงานกระตุ้นไปยังชั้นพื้น  $A_1$  มีการปล่อยแสงที่ความยาวคลื่นแสงสีฟ้า

4.1.6 ผลจากการตรวจสอบสัณฐานวิทยาโดยใช้กล้องจุลทรรศน์อิเล็กตรอนแบบส่องกราด (Scanning electron microscope; SEM) ของแบเรียมทั้งสเตรต



รูปที่ 4.7 แสดงสัณฐานวิทยาของแบเรียมทั้งสเตรตที่สังเคราะห์ได้จากวิธีการเคมีเชิงกล ที่กำลังขยาย 3,000 เท่า โดยการให้แรงเชิงกลเป็นเวลา a) 1 นาที b) 3 นาที c) 5 นาที d) 10 นาที e) 15 นาที f) 60 นาที

จากรูปที่ 4.7 เป็นการวิเคราะห์ภาพจากกล้องจุลทรรศน์อิเล็กตรอนแบบส่องกราดของแบเรียมทั้งสเตรตที่สังเคราะห์จากวิธีการเคมีเชิงกลโดยการให้แรงเชิงกลที่เวลาต่างกัน พบว่าแบเรียมทั้งสเตรตที่สังเคราะห์ได้มีขนาดอนุภาคขนาดเล็กในระดับไมโครเมตรมีลักษณะรูปร่างคล้ายกระสวย เอกสารนี้เป็นเอกสารที่สงวนไว้สำหรับการใช้งานเพื่อการศึกษาเท่านั้น ไม่อนุญาตให้นำไปใช้ประโยชน์ด้านการค้า ไม่ว่าจะกรณีใดๆทั้งสิ้น อีกทั้งห้ามมิให้ดัดแปลงเนื้อหา และต้องอ้างอิงถึงเจ้าของเอกสารทุกครั้งที่มีการนำไปใช้

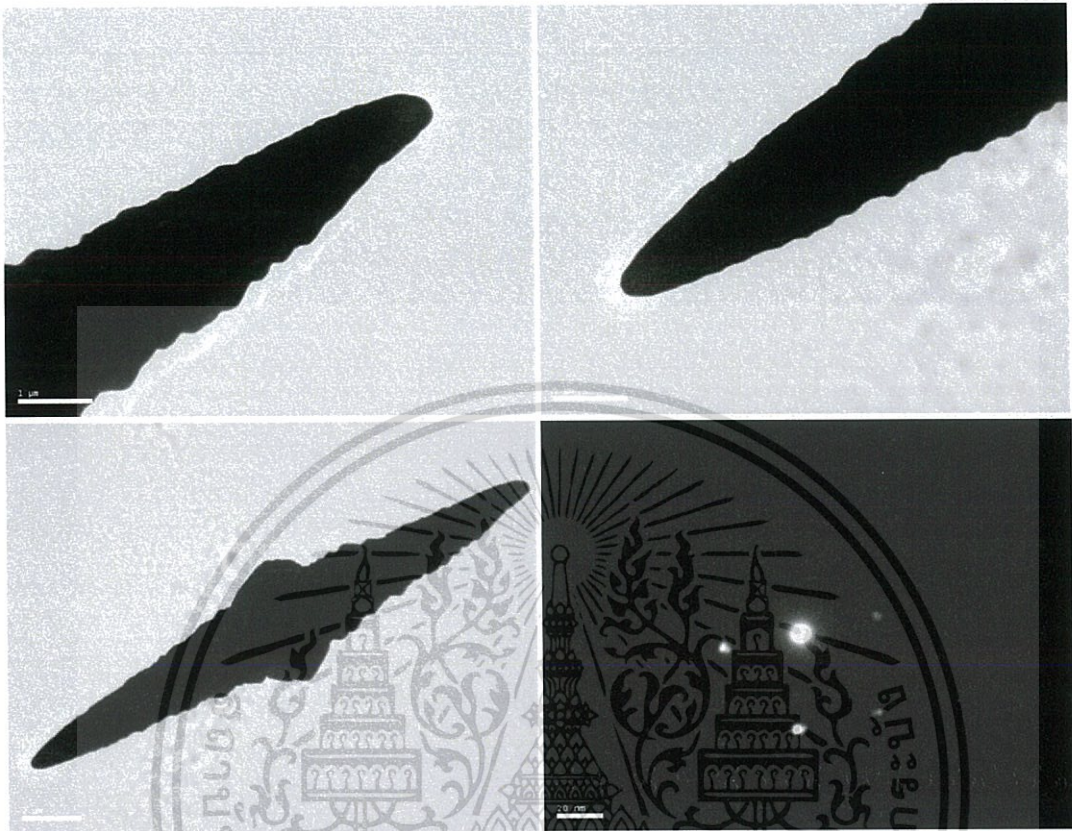
(Shuttle like) อนุภาคบางส่วนมีการเกาะกลุ่มกัน และจากการคำนวณหาขนาดอนุภาคที่ให้แรงเชิงกลที่เวลาต่างกันคือที่เวลา 1 3 5 10 15 และ 60 นาที ได้ขนาดอนุภาคที่มีความกว้างประมาณ  $2.48 \pm 0.49$   $2.88 \pm 0.66$   $2.96 \pm 0.76$   $2.76 \pm 0.76$   $2.40 \pm 0.91$  และ  $2.17 \pm 0.31$   $\mu\text{m}$  ตามลำดับ และได้ขนาดอนุภาคที่มีความยาวประมาณ  $7.32 \pm 1.45$   $7.68 \pm 0.77$   $10.40 \pm 2.72$   $7.56 \pm 3.31$   $6.50 \pm 2.22$  และ  $6.40 \pm 2.01$   $\mu\text{m}$  ตามลำดับ จากการสังเคราะห์แบบเรียงทั้งสแตตพบว่าเมื่อที่เวลาการให้แรงเชิงกลมากขึ้นจะทำให้อนุภาคมีการเติบโตใหญ่ขึ้น มีการเกาะกลุ่มกัน โดยที่เวลา 5 นาทีอนุภาคแบบเรียงทั้งสแตตมีรูปร่างที่มีความสมบูรณ์มากที่สุด และเมื่อเพิ่มเวลาการให้แรงเชิงกลมากขึ้นที่เวลาในการบด 10 15 และ 60 นาที อนุภาคบางส่วนเกิดการแตกหัก ส่งผลให้อนุภาคมีขนาดลดลงไป ซึ่งผลที่ได้สอดคล้องกับงานวิจัยของ Yongkui Yin และคณะ [45] ที่ได้ทำการสังเคราะห์แบบเรียงทั้งสแตตด้วยวิธีการตกตะกอนและงานวิจัยของ Xiaomao Wang และคณะ [46] ที่ได้ทำการสังเคราะห์แบบเรียงทั้งสแตตด้วยวิธีการตกตะกอน ดังแสดงในตารางที่ 4.3

ตารางที่ 4.3 เปรียบเทียบขนาดและรูปร่างของแบบเรียงทั้งสแตตจากงานวิจัยอื่นกับวิธีเคมีเชิงกล

วิธีการสังเคราะห์	รูปร่างอนุภาค	ขนาดอนุภาค		อ้างอิง
		ความกว้าง ( $\mu\text{m}$ )	ความยาว ( $\mu\text{m}$ )	
เคมีเชิงกล (ให้แรงเชิงกล 1 นาที)	กระสวย	$2.48 \pm 0.49$	$7.32 \pm 1.45$	[งานวิจัยนี้]
เคมีเชิงกล (ให้แรงเชิงกล 3 นาที)	กระสวย	$2.88 \pm 0.66$	$7.68 \pm 0.77$	[งานวิจัยนี้]
เคมีเชิงกล (ให้แรงเชิงกล 5 นาที)	กระสวย	$2.96 \pm 0.76$	$10.40 \pm 2.72$	[งานวิจัยนี้]
เคมีเชิงกล (ให้แรงเชิงกล 10 นาที)	กระสวย	$2.76 \pm 0.76$	$7.56 \pm 3.31$	[งานวิจัยนี้]
เคมีเชิงกล (ให้แรงเชิงกล 15 นาที)	กระสวย	$2.40 \pm 0.91$	$6.50 \pm 2.22$	[งานวิจัยนี้]
เคมีเชิงกล (ให้แรงเชิงกล 60 นาที)	กระสวย	$2.17 \pm 0.31$	$6.40 \pm 2.01$	[งานวิจัยนี้]
การตกตะกอนของ $\text{BaWO}_4$	กระสวย	1.94	9.98	[45]
การตกตะกอนของ $\text{BaWO}_4$	กระสวย	-	30	[46]

เอกสารนี้เป็นเอกสารที่สงวนไว้สำหรับการใช้งานเพื่อการศึกษาเท่านั้น ไม่อนุญาตให้นำไปใช้ประโยชน์ด้านการค้า ไม่ว่าจะกรณีใดๆทั้งสิ้น อีกทั้งห้ามมิให้ตัดแปลงเนื้อหา และต้องอ้างอิงถึงเจ้าของเอกสารทุกครั้งที่มีการนำไปใช้

#### 4.1.7 การตรวจสอบสัณฐานวิทยาโดยใช้กล้องจุลทรรศน์อิเล็กตรอนแบบส่องผ่าน (Transmission Electron Microscope; TEM) ของแบเรียมทั้งสแตต

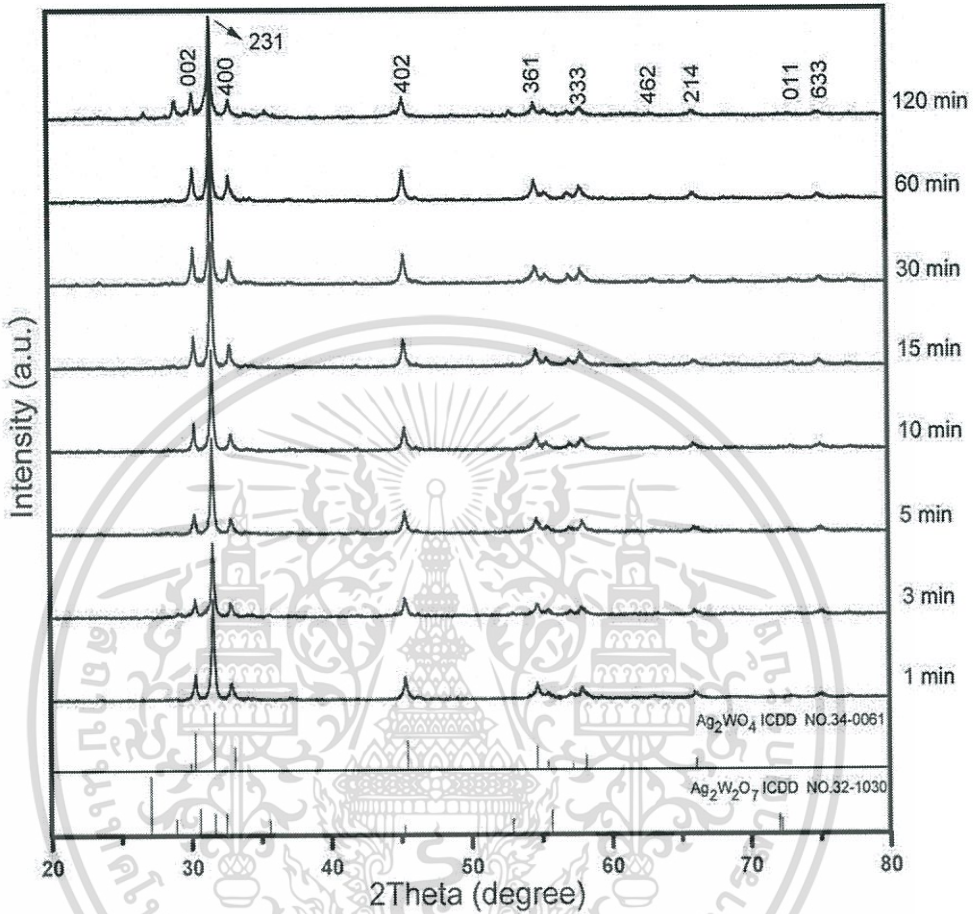


รูปที่ 4.8 แสดงโครงสร้างจุลภาคของแบเรียมทั้งสแตตที่สังเคราะห์ได้จากวิธีการเคมีเชิงกล โดยการให้แรงเชิงกลเป็นเวลา 5 นาที ที่กำลังขยายต่างกัน

จากรูป 4.8 เป็นการวิเคราะห์ภาพจากกล้องจุลทรรศน์อิเล็กตรอนแบบส่องผ่านของแบเรียมทั้งสแตตที่สังเคราะห์จากวิธีการเคมีเชิงกลโดยการให้แรงเชิงกลเป็นเวลา 5 นาที พบว่าแบเรียมทั้งสแตตมีลักษณะเป็นผลึกเดี่ยว มีขนาดอนุภาคขนาดเล็กอยู่ในระดับไมโครเมตร โดยขนาดอนุภาคมีความยาวประมาณ  $19.20 \mu\text{m}$  และอนุภาคมีขนาดกว้างประมาณ  $4.27 \mu\text{m}$  มีลักษณะคล้ายกระสวย (Shuttle like) ซึ่งผลที่ได้สอดคล้องกับผลที่ได้จากกล้องจุลทรรศน์อิเล็กตรอนแบบส่องกราด

## 4.2 การตรวจสอบเอกลักษณ์ของซิลเวอร์ทั้งสเตรต

4.2.1 ผลจากการตรวจสอบหาโครงสร้างผลึกด้วยเทคนิคการเลี้ยวเบนของรังสีเอกซ์ (X-ray diffractometer; XRD) ของซิลเวอร์ทั้งสเตรต



รูปที่ 4.9 แสดงการเลี้ยวเบนรังสีเอกซ์ของซิลเวอร์ทั้งสเตรตที่สังเคราะห์ด้วยวิธีเคมีเชิงกล

จากภาพที่ 4.9 แสดงการเลี้ยวเบนรังสีเอกซ์ ของซิลเวอร์ทั้งสเตรตที่สังเคราะห์ด้วยวิธีเคมีเชิงกล โดยใช้ระยะเวลาในการให้แรงเชิงกลที่ 1 3 5 10 15 30 60 และ 120 นาที พบว่าโครงสร้างของซิลเวอร์ทั้งสเตรตที่สังเคราะห์ด้วยวิธีเคมีเชิงกลมีโครงสร้างแบบออร์โทโรมบิก แสดงให้เห็นว่าซิลเวอร์ทั้งสเตรตที่สังเคราะห์ได้เป็นแอลฟา-ซิลเวอร์ทั้งสเตรต ( $\alpha$ - $\text{Ag}_2\text{WO}_4$ ) โดยพีคสำคัญของแอลฟาซิลเวอร์ทั้งสเตรต ได้แก่ (002) (231) (400) (402) (361) (333) (462) (214) (011) และ (633) ผลจากการเลี้ยวเบนของรังสีเอกซ์ของซิลเวอร์ทั้งสเตรตพบว่าซิลเวอร์ทั้งสเตรตทุกอย่างไม่มีพีคแปลกปลอมและไม่มีการเลื่อนของพีคเกิดขึ้นเมื่อเทียบกับข้อมูลมาตรฐาน ICDD No. 34-0061 ยกเว้นผงซิลเวอร์ทั้งสเตรตที่ผ่านการให้แรงเชิงกลเป็นเวลา 120 นาที พบว่ามีพีคที่เป็นเฟสอื่นเกิดขึ้น และเมื่อได้นำมาเทียบกับข้อมูลมาตรฐาน ICDD No.32-1030 ซึ่งเป็นข้อมูลของซิลเวอร์ทั้งสเตรตออกไซด์ จากนั้นจึงได้ทำการคำนวณแลตทิซพารามิเตอร์ด้วยโปรแกรม XRD Analytical เพื่อเป็นการยืนยันผลจากเทคนิคการเลี้ยวเบนรังสีเอกซ์ ผลจากการคำนวณแลตทิซพารามิเตอร์ได้ดังตารางที่ 4.5

ตารางที่ 4.4 แสดงการเปรียบเทียบกับข้อมูลมาตรฐาน ICDD No. 34-0061 และข้อมูลแลตทิซพารามิเตอร์ของซิลเวอร์ทังสเตตที่สังเคราะห์ด้วยวิธีเคมีเชิงกลโดยใช้เวลาในการให้แรงเชิงกลที่ 1 3 5 10 15 30 60 และ 120 นาที

Ag <sub>2</sub> WO <sub>4</sub>	แลตทิซพารามิเตอร์		
	a (Å)	b (Å)	c (Å)
α-Ag <sub>2</sub> WO <sub>4</sub> ICDD No.34-0061	10.8200	12.0100	5.9000
α-Ag <sub>2</sub> WO <sub>4</sub> 1 min	10.8961	12.0438	5.9035
α-Ag <sub>2</sub> WO <sub>4</sub> 3 min	10.8993	12.0135	5.8939
α -Ag <sub>2</sub> WO <sub>4</sub> 5 min	10.8832	11.9985	5.8806
α-Ag <sub>2</sub> WO <sub>4</sub> 10 min	10.8919	12.0426	5.8972
α-Ag <sub>2</sub> WO <sub>4</sub> 15 min	10.9080	12.0577	5.9106
α-Ag <sub>2</sub> WO <sub>4</sub> 30 min	10.8955	12.0432	5.9032
α-Ag <sub>2</sub> WO <sub>4</sub> 60 min	10.8867	12.0293	5.9017
α -Ag <sub>2</sub> WO <sub>4</sub> 120 min	10.87730	12.0298	5.9000

จากตารางที่ 4.4 แลตทิซพารามิเตอร์ของผงซิลเวอร์ทังสเตตมีโครงสร้างเป็นออร์โทโรมบิกจะมีโครงสร้างที่  $a \neq b \neq c$  ผลจากการคำนวณพบว่าซิลเวอร์ทังสเตตมีค่าแลตทิซพารามิเตอร์ใกล้เคียงกับข้อมูลมาตรฐาน ICDD No.34-0061

ตารางที่ 4.5 แสดงการเปรียบเทียบข้อมูลมาตรฐาน ICDD No. 34-0061 และข้อมูลแลตทิซพารามิเตอร์ของซิลเวอร์ทังสเตตกับงานวิจัยอื่น

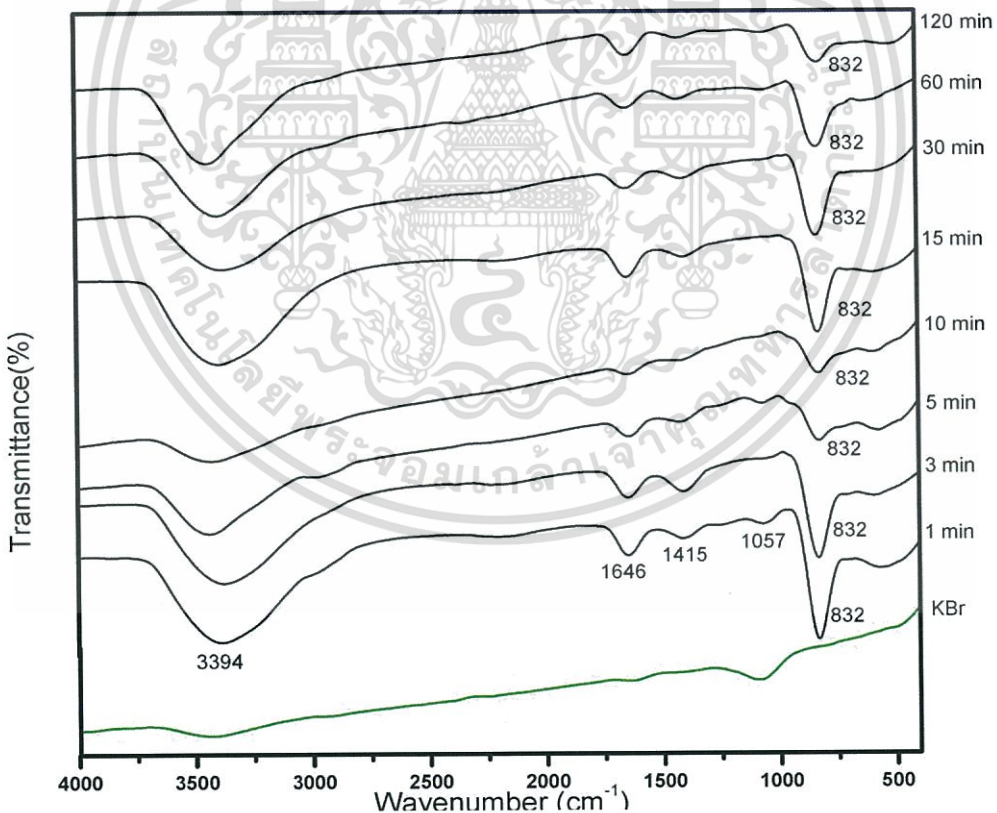
การสังเคราะห์ซิลเวอร์ทังสเตต	แลตทิซพารามิเตอร์			อ้างอิง
	a (Å)	b (Å)	c (Å)	
α-Ag <sub>2</sub> WO <sub>4</sub> ICDD No. 34-0061	10.82	12.01	5.9	-
การตกตะกอนของ Ag <sub>2</sub> WO <sub>4</sub>	10.82	12.02	5.9	[47]
เคมีเชิงกล	10.8944	12.0326	5.8987	[งานวิจัยนี้]

เอกสารนี้เป็นเอกสารที่สงวนไว้สำหรับการใช้งานเพื่อการศึกษาเท่านั้น ไม่อนุญาตให้นำไปใช้ประโยชน์ด้านการค้าไม่ว่ากรณีใดๆทั้งสิ้น อีกทั้งห้ามมิให้ตัดแปลงเนื้อหา และต้องอ้างอิงถึงเจ้าของเอกสารทุกครั้งที่มีการนำไปใช้

จากตารางที่ 4.5 พบว่าแลตทิซพารามิเตอร์จากการสังเคราะห์ซิลเวอร์ทังสเตตด้วยวิธีเคมี-เชิงกลมีค่าเฉลี่ยใกล้เคียงกับข้อมูลมาตรฐานโดยค่า a จากข้อมูลมาตรฐาน ICDD No. 34-0061 มีค่า = 10.82 Å ส่วนการสังเคราะห์ซิลเวอร์ทังสเตตด้วยวิธีเคมีเชิงกลมีค่าเฉลี่ยประมาณ 10.8944 Å ค่า b จากข้อมูลมาตรฐาน ICDD No. 34-0061 มีค่าเท่ากับ 12.01 Å ส่วนการสังเคราะห์ซิลเวอร์ทังสเตตด้วยวิธีเคมีเชิงกลมีค่าเฉลี่ยประมาณ 12.0326 Å และค่า c จากข้อมูลมาตรฐาน ICDD No. 34-0061 มีค่าเท่ากับ 5.9 Å ส่วนการสังเคราะห์ซิลเวอร์ทังสเตตด้วยวิธีเคมีเชิงกลมีค่าเฉลี่ยประมาณ 5.8987 Å โดยข้อมูลค่าเฉลี่ยที่ได้นี้ไม่รวมกับข้อมูลการเลี้ยวเบนรังสีเอกซ์ของตัวอย่างซิลเวอร์ทังสเตตที่มีฟีดของซิลเวอร์ไนเตรตปะปนอยู่

ผลจากการเลี้ยวเบนรังสีเอกซ์แสดงให้เห็นว่า สามารถพิสูจน์ได้ว่าซิลเวอร์ทังสเตตที่สังเคราะห์ด้วยวิธีเคมีเชิงกลเป็นเฟสบริสุทธิ์หรือไม่เมื่อเทียบกับข้อมูลมาตรฐาน ซึ่งพบว่าการสังเคราะห์ซิลเวอร์ทังสเตตด้วยวิธีเคมีเชิงกลนี้ยังมีบางตัวอย่างที่พบเฟสแปลกปลอมเกิดขึ้น ซึ่งเป็นของซิลเวอร์ทังสเตนออกไซด์ โดยสามารถเทียบได้จากข้อมูลมาตรฐาน ICDD No.32-1030

4.2.2 ผลจากการตรวจสอบหาหมู่ฟังก์ชันของสารอินทรีย์และสารอินทรีย์ด้วยเครื่องฟูเรียร์ทรานส์ฟอร์มอินฟราเรดสเปกโทรมิเตอร์ (Fourier transform infrared spectrometer; FTIR) ของซิลเวอร์ทังสเตต

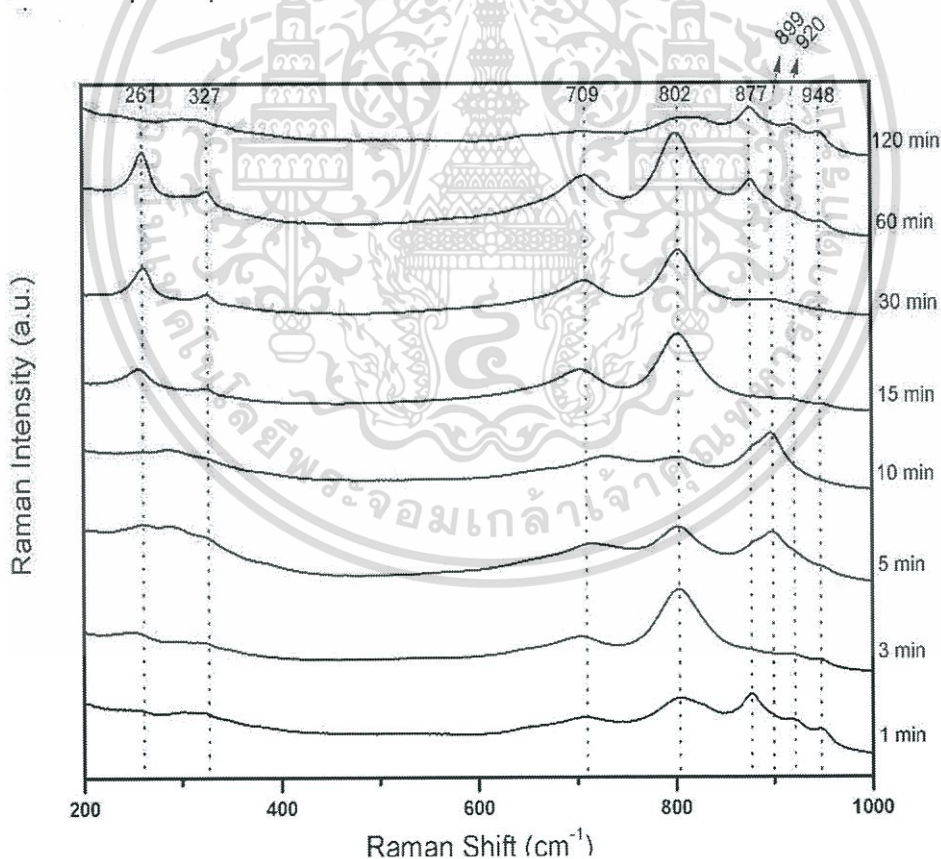


รูปที่ 4.10 แสดงฟูเรียร์ทรานส์ฟอร์มอินฟราเรดสเปกตรัมของซิลเวอร์ทังสเตตที่สังเคราะห์ด้วยวิธีเคมีเชิงกล

จากรูปที่ 4.10 เป็นการแสดงฟูรีเยร์ทรานส์ฟอร์มอินฟราเรดสเปกตรัมของซิลเวอร์ทังสเตตที่สังเคราะห์ด้วยวิธีเคมีเชิงกลโดยใช้ระยะเวลาในการให้แรงเชิงกลที่ 1 3 5 10 15 30 60 และ 120 นาที พบว่ามีการสั่นแบบยืดหดของพันธะไนโมเลกุล (Stretching vibration) ที่  $832\text{ cm}^{-1}$  ซึ่งเป็นการสั่นที่ไม่สมมาตรระหว่างอะตอมของทั้งสเดนกับอะตอมของออกซิเจน ในลักษณะ O-W-O และ W-O-W สอดคล้องกับงานวิจัยของ S. Muthamizh และคณะ [40] นอกจากนี้ยังพบการสั่นแบบยืดหดและการสั่นแบบงอระหว่างอะตอมของไฮโดรเจนกับออกซิเจนซึ่งเป็นโมเลกุลของน้ำที่เกิดจากความชื้นที่หลงเหลืออยู่ที่เลขความยาวคลื่นประมาณ  $1646\text{ cm}^{-1}$  และ  $3394\text{ cm}^{-1}$  ตามลำดับที่ความยาวคลื่น  $1415\text{ cm}^{-1}$  เป็นการสั่นที่เกิดขึ้นระหว่างอะตอมของไนโตรเจนกับอะตอมของออกซิเจน ภายในโมเลกุลของไนเตรต และยังตรวจพบการสั่นที่ความยาวคลื่น  $1057\text{ cm}^{-1}$  ซึ่งเกิดจากผงโปแทสเซียมโบรไมด์ (KBr) ที่ใช้ในการผสมกับสารตัวอย่างในขั้นตอนการเตรียมเพื่อตรวจวัด

ผลของฟูรีเยร์ทรานส์ฟอร์มอินฟราเรดสเปกตรัมของซิลเวอร์ทังสเตตแสดงให้เห็นว่าเทคนิคฟูรีเยร์ทรานส์ฟอร์มอินฟราเรดสเปกโทรสโคปีสามารถใช้ในการหาการสั่นของพันธะแบบไม่สมมาตรในโมเลกุลของซิลเวอร์ทังสเตตได้

#### 4.2.3 ผลจากการตรวจสอบการกระเจิงของโมเลกุลด้วยเครื่องรามานสเปกโทรโฟโตมิเตอร์ (Raman spectrophotometer) ของซิลเวอร์ทังสเตต



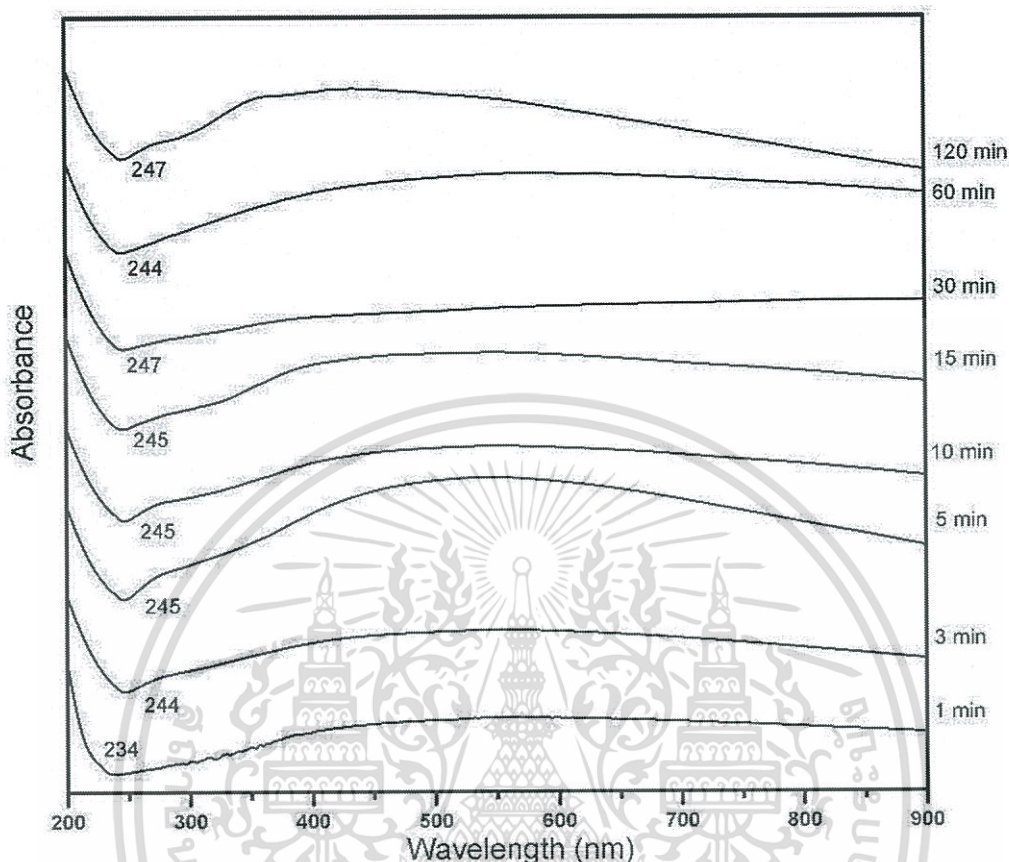
รูปที่ 4.11 แสดงรามานสเปกตรัมของซิลเวอร์ทังสเตตที่สังเคราะห์ด้วยวิธีเคมีเชิงกล

จากรูปที่ 4.11 แสดงรามานสเปกตรัมของซิลเวอร์ทังสเตตที่สังเคราะห์ด้วยวิธีเคมีเชิงกลโดยใช้ระยะเวลาในการให้แรงเชิงกลที่ 1 3 5 10 15 30 60 และ 120 นาที จากการวิเคราะห์รามานเอกลักษณะเป็นเอกลักษณะที่ตรงกันของงานเพื่อการวิจัย เห็นได้ว่าเมื่ออยู่ในตำแหน่งที่เบี่ยงเบนจากการค้าไม่ว่ากรณีใดๆทั้งสิ้น อีกทั้งห้ามมิให้ตัดแปลงเนื้อหา และต้องอ้างอิงถึงเจ้าของเอกสารทุกครั้งที่มีการนำไปใช้

สเปกตรัมของซิลเวอร์ทังสเตตที่สังเคราะห์ด้วยวิธีเคมีเชิงกล พบว่าการสั่นที่เกิดขึ้นของซิลเวอร์ทังสเตตที่มีโครงสร้างแบบออร์โทโรมบิกมีการสั่นที่บ่งบอกถึงโหมดการสั่น โดยโหมดการสั่นที่เกิดขึ้นในช่วงความยาวคลื่น  $100\text{-}500\text{ cm}^{-1}$  เป็นโหมดการสั่นภายนอกที่เกิดจากการสั่นของไอออนซิลเวอร์ โดยโหมดการสั่น  $B_{1g}$  ที่  $261\text{ cm}^{-1}$  เป็นการสั่นระหว่างอะตอมของซิลเวอร์และอะตอมของออกซิเจน (Ag-O) และโหมดการสั่นที่เกิดขึ้นในช่วงความยาวคลื่น  $500\text{-}1000\text{ cm}^{-1}$  เป็นโหมดการสั่นภายในของโมเลกุลของทังสเตตโดยโหมดการสั่นของ  $B_{2g}$  ที่  $327\text{ cm}^{-1}$  และ  $A_{1g}$  ที่  $920\text{ cm}^{-1}$  เป็นการสั่นแบบงอและแบบยืดหด ของโมเลกุลทังสเตต ( $WO_4^{2-}$ ) โหมดการสั่นของ  $A_{1g}$  ที่  $877\text{ cm}^{-1}$  เป็นการสั่นแบบยืดหดภายในโมเลกุลของไตรออกซิโด(ออกซิ)ทังสเตน ( $WO_6$ ) ที่มีโครงสร้างเป็นออกตะฮีดรอล (Octahedral) ส่วนโหมดการสั่น  $A_{1g}$  ที่  $899\text{ cm}^{-1}$  เป็นการสั่นแบบงอระหว่างกลุ่มอะตอมของซิลเวอร์ ออกซิเจน และทังสเตน (Ag-O-W) [48] นอกจากนี้ยังพบโหมดการสั่นของกลุ่มไนเตรต ( $NO_3^-$ ) ได้แก่ โหมดการสั่น  $B_{1g}$  ที่  $709\text{ cm}^{-1}$  เป็นการสั่นระหว่างอะตอมของไนโตรเจนกับอะตอมของออกซิเจนซึ่งเป็นการสั่นในระนาบเดียวกัน (in-plan) และโหมดการสั่น  $B_{2g}$  ที่  $802\text{ cm}^{-1}$  เป็นการสั่นระหว่างอะตอมของไนโตรเจนกับอะตอมของออกซิเจน (N-O) ซึ่งเป็นการสั่นแบบต่างระนาบกัน (Out-of-plan) [49]

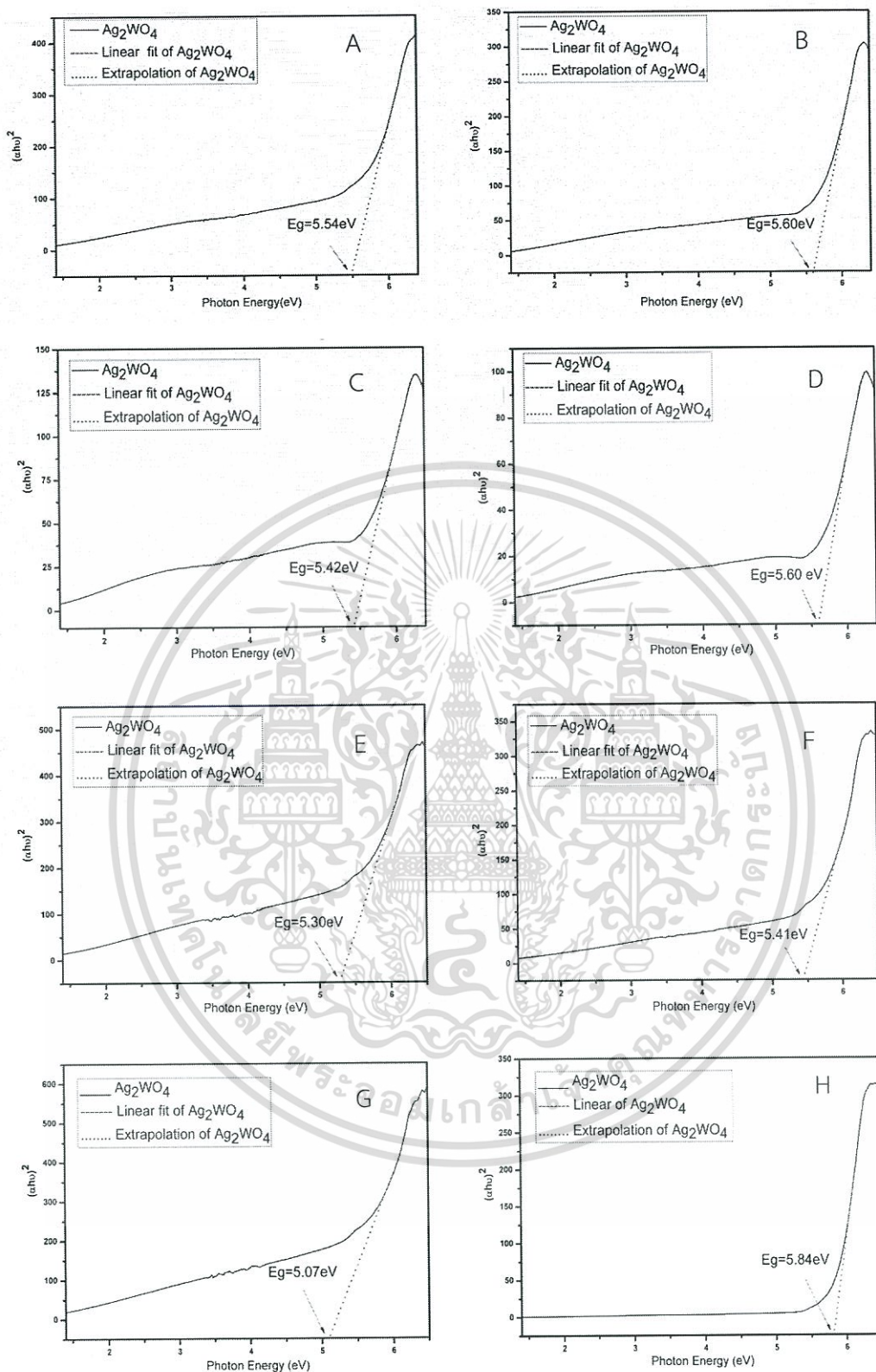
ผลจากการตรวจสอบการกระเจิงของโมเลกุลด้วยเครื่องรามานสเปกโทรโฟโตมิเตอร์ สามารถบ่งบอกได้ถึงความบริสุทธิ์ของซิลเวอร์ทังสเตต เนื่องจากการตรวจสอบการกระเจิงของโมเลกุลด้วยเครื่องรามานสเปกโทรโฟโตมิเตอร์นี้สามารถใช้หาการสั่นของพันธะแบบสมมาตรในโมเลกุลของซิลเวอร์ทังสเตตได้และพบว่าของซิลเวอร์ทังสเตตมีโหมดการสั่นของไนเตรตเกิดขึ้น ซึ่งสอดคล้องกับผลจากการตรวจสอบหาโครงสร้างผลึกด้วยเทคนิคการเลี้ยวเบนของรังสีเอกซ์ (X-ray diffractometer; XRD) และ ผลจากการตรวจสอบหาหมู่ฟังก์ชันของสารอนินทรีย์และสารอินทรีย์ด้วยเครื่องฟูเรียร์ทรานส์ฟอร์มอินฟราเรดสเปกโทรมิเตอร์ (Fourier transform infrared spectrometer; FTIR)

#### 4.2.4 ผลจากการตรวจวัดค่าการดูดกลืนแสง ด้วยเครื่องอัลตราไวโอเลตวิสิเบิลสเปกโตร-มิเตอร์ (Ultraviolet-Visible Spectrometer) ของซิลเวอร์ทังสเตต



รูปที่ 4.12 แสดงกราฟระหว่างค่าการดูดกลืน (absorbance) และค่าความยาวคลื่น (wavelength) ของซิลเวอร์ทังสเตตที่สังเคราะห์ด้วยวิธีเคมีเชิงกล

จากรูปที่ 4.12 แสดงกราฟระหว่างค่าการดูดกลืนและค่าความยาวคลื่นของซิลเวอร์ทังสเตตที่สังเคราะห์ด้วยวิธีเคมีเชิงกลโดยให้แรงเชิงกลที่เวลา 1 3 5 10 15 30 60 และ 120 นาที พบว่าซิลเวอร์ทังสเตตที่สังเคราะห์ด้วยวิธีเคมีเชิงกลมีค่าการดูดกลืนแสงในช่วงความยาวคลื่น 234-247 nm จากนั้นคำนวณสเปกตรัมการดูดกลืนของซิลเวอร์ทังสเตตจากสมการของ Wood และ Tauc เพื่อคำนวณหาค่าแถบช่องว่างพลังงาน ( $E_g$ ) จากกราฟที่แสดงความสัมพันธ์ระหว่าง  $(\alpha h\nu)^2$  และ Photon Energy ของซิลเวอร์ทังสเตตที่สังเคราะห์ด้วยวิธีเคมีเชิงกล และผลจากการหาค่าช่องว่างแถบพลังงานได้แสดงผลดังรูปที่ 4.13



รูปที่ 4.13 กราฟแสดงความสัมพันธ์ระหว่าง  $(\alpha h\nu)^2$  และ Photon Energy ของผงซิลเวอร์ที่สังเคราะห์ด้วยวิธีเคมีเชิงกลโดยใช้เวลาในการบด A) 1 นาที B) 3 นาที C) 5 นาที D) 10 นาที E) 15 นาที F) 30 นาที G) 60 นาที และ H) 120 นาที

เอกสารนี้เป็นเอกสารที่สงวนไว้สำหรับการใช้งานเพื่อการศึกษาเท่านั้น ไม่อนุญาตให้นำไปใช้ประโยชน์ด้านการค้า ไม่ว่าจะกรณีใดๆทั้งสิ้น อีกทั้งห้ามมิให้ดัดแปลงเนื้อหา และต้องอ้างอิงถึงเจ้าของเอกสารทุกครั้งที่มีการนำไปใช้

จากรูปที่ 4.13 แสดงกราฟแสดงความสัมพันธ์ระหว่าง  $(\alpha h\nu)^2$  และ Photon Energy ของซิลเวอร์ทังสเตตที่สังเคราะห์ด้วยวิธีเคมีเชิงกล พบว่าค่าของแถบช่องว่างพลังงาน ( $E_g$ ) มีค่า 5.54, 5.60, 5.42, 5.60, 5.30, 5.41, 5.07, และ 5.84 eV ตามระยะเวลาในการให้แรงเชิงกลที่เวลา 1 นาที 3 นาที 5 นาที 10 นาที 15 นาที 30 นาที 60 นาที และ 120 นาทีตามลำดับ ค่าของแถบช่องว่างพลังงานนี้พบว่ามีค่าแถบช่องว่างพลังงานมากกว่างานวิจัยอื่น ๆ เมื่อเทียบกับงานวิจัยของ A. Sreedevi และคณะ [50] จึงได้มีการเปรียบเทียบวิธีการสังเคราะห์กับค่าแถบช่องว่างพลังงานของซิลเวอร์ทังสเตตจากงานวิจัยอื่นดังนี้

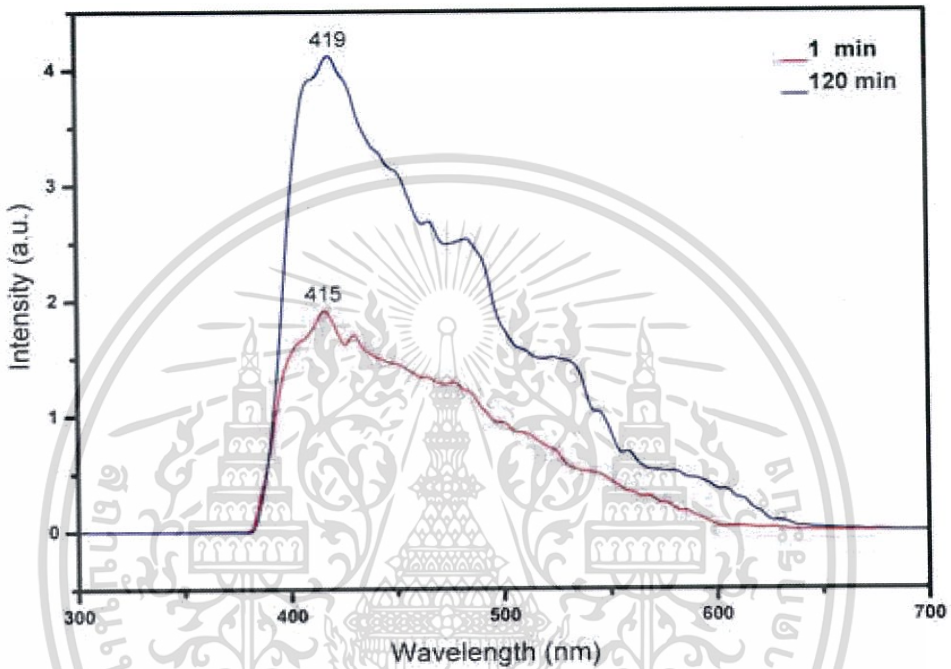
**ตารางที่ 4.6** ตารางเปรียบเทียบค่าแถบช่องว่างพลังงานของผงซิลเวอร์ทังสเตตที่สังเคราะห์ด้วยวิธีเคมีเชิงกลและวิธีการสังเคราะห์แบบอื่น ๆ

วิธีการสังเคราะห์	ค่าแถบช่องว่างพลังงาน	อ้างอิง
การตกตะกอนของ $Ag_2WO_4$	3.80 eV – 4.10 eV	[50]
เคมีเชิงกล	5.07 eV – 5.84 eV	[งานวิจัยนี้]

ผลจากตารางที่ 4.6 นี้พบว่ามีค่าแถบช่องว่างพลังงาน ( $E_g$ ) ของซิลเวอร์ทังสเตตที่สังเคราะห์ด้วยวิธีเคมีเชิงกลมีค่ามากกว่างานวิจัยอื่น ๆ เมื่อเทียบกับงานวิจัยของ A. Sreedevi และคณะ พบว่ามีค่าแถบช่องว่างพลังงาน ( $E_g$ ) ที่ประมาณ 3.80-4.0 eV [50] โดยที่ขนาดอนุภาคของซิลเวอร์ทังสเตตมีขนาดประมาณ 0.4  $\mu m$  ซึ่งขนาดและรูปร่างของอนุภาคเป็นปัจจัยหนึ่งที่ส่งผลให้ค่าแถบช่องว่างพลังงานมีค่าที่ต่างกันรวมถึงการสังเคราะห์แบบเตรียมทั้งสเตตที่ไม่บริสุทธิ์ อาจเป็นอีกปัจจัยหนึ่งที่ทำให้ค่าแถบช่องว่างพลังงานมีการคาดเคลื่อนได้ ดังนั้นจึงกล่าวได้ว่าขนาดอนุภาคจะส่งผลกับค่าแถบพลังงานเมื่ออนุภาคมีขนาดเล็กค่าแถบพลังงานจะมีค่าสูง แต่เมื่อขนาดอนุภาคใหญ่ขึ้นค่าแถบพลังงานจะมีแนวโน้มลดลง ดังนั้นค่าของช่องว่างแถบพลังงานที่แตกต่างต่างกันั้นอาจเกิดจากปัจจัยของขนาดหรือรูปร่างของอนุภาคที่สังเคราะห์

#### 4.2.5 ผลจากการตรวจสอบสมบัติการคายแสงด้วยเครื่องสเปกโทรฟลูออโรมิเตอร์ (Spectrofluorometer) ของซิลเวอร์ทั้งสแตต

เมื่อทำการสังเคราะห์ซิลเวอร์ทั้งสแตต ด้วยวิธีการเคมีเชิงกลโดยใช้การให้แรงเชิงกลที่เวลาต่างกัน (1 นาที และ 120 นาที) เมื่อนำไปตรวจสอบสมบัติการคายแสงด้วยเครื่องสเปกโทรฟลูออโรมิเตอร์



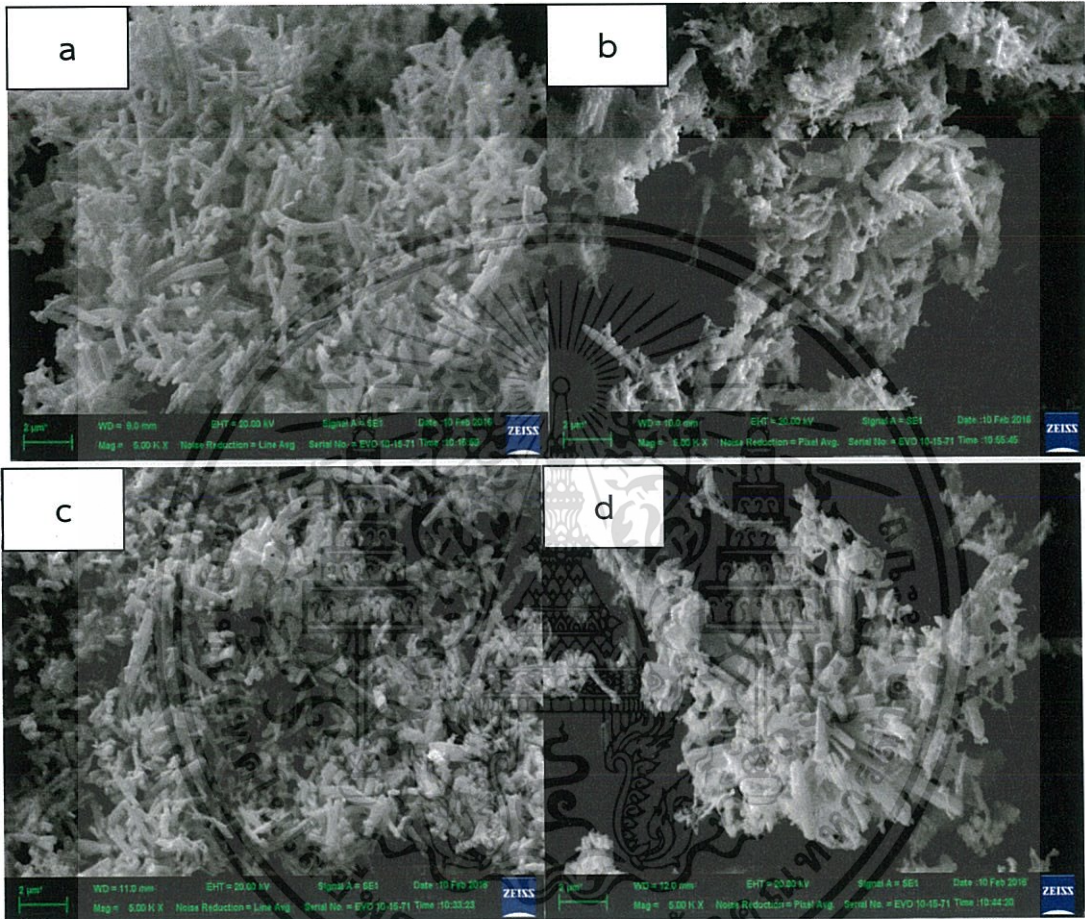
รูปที่ 4.14 แสดงสเปกตรัมการคายแสงของซิลเวอร์ทั้งสแตตที่สังเคราะห์จากวิธีเคมีเชิงกลโดยที่ให้แรงเชิงกลเป็นเวลา 1 นาที และ 120 นาที

จากรูปที่ 4.14 สเปกตรัมการคายแสงของซิลเวอร์ทั้งสแตตที่สังเคราะห์ด้วยวิธีการเคมีเชิงกล โดยการให้แรงเชิงกลเป็นระยะเวลา 1 และ 120 นาที ในการวัดสมบัติการคายแสงเพื่อยืนยันสมบัติทางแสงของสารซิลเวอร์ทั้งสแตตที่สังเคราะห์ได้ โดยใช้ความยาวคลื่นกระตุ้นที่ความยาวคลื่นประมาณ 300 nm พบว่าซิลเวอร์ทั้งสแตตที่สังเคราะห์ได้ทุกตัวนั้นให้สเปกตรัมของการคายแสงในลักษณะของพีคที่กว้างอยู่ในช่วง 390-640 nm ซึ่งอยู่ในช่วงที่ตาคนเรามองเห็นได้เป็นช่วงของแสงสีฟ้า โดยซิลเวอร์ทั้งสแตตที่ให้แรงเชิงกลเป็นเวลา 120 นาที มีการคายแสงในความยาวคลื่นประมาณ 419 nm ส่วนผงซิลเวอร์ทั้งสแตตที่ให้แรงเชิงกลเป็นเวลา 1 นาที ให้การคายแสงที่ความยาวคลื่น 415 nm โดยผงซิลเวอร์ทั้งสแตตที่ให้แรงเชิงกลเป็นเวลา 120 นาทีจะมีค่าความเข้มของการคายแสงที่สูงกว่าการให้แรงเชิงกลเป็นเวลา 1 นาที ซึ่งผลที่ได้สอดคล้องกับงานวิจัยของ Haihang Chen [47] ด้วยวิธีการตกตะกอนโดยใช้ซิลเวอร์ไนเตรตและโซเดียมทั้งสแตตเป็นสารตั้งต้น ซึ่งได้ใช้ความยาวคลื่นกระตุ้นที่ 300 nm ให้ค่าการคายแสงที่ความยาวคลื่น 400 nm ซึ่งเป็นช่วงของแสงสีฟ้า 300 nm

เอกสารนี้เป็นเอกสารที่สงวนไว้สำหรับการใช้งานเพื่อการศึกษาเท่านั้น ไม่อนุญาตให้นำไปใช้ประโยชน์ด้านการค้า ไม่ว่าจะกรณีใดๆทั้งสิ้น อีกทั้งห้ามมิให้ตัดแปลงเนื้อหา และต้องอ้างอิงถึงเจ้าของเอกสารทุกครั้งที่มีการนำไปใช้

#### 4.2.6 การตรวจสอบสัณฐานวิทยาโดยใช้กล้องจุลทรรศน์อิเล็กตรอนแบบส่องกราด (Scanning electron microscope; SEM) ของซิลเวอร์ทั้งสเตรต

ทำการสังเคราะห์ซิลเวอร์ทั้งสเตรต ด้วยวิธีการเคมีเชิงกลโดยการให้แรงเชิงกลต่างกัน (1 นาที 30 นาที 60 นาที 120 นาที) เมื่อนำไปตรวจสอบสัณฐานวิทยาโดยใช้กล้องจุลทรรศน์อิเล็กตรอนแบบส่องกราด (SEM) ในการตรวจสอบรูปร่าง ดังแสดงในรูปที่ 4.18



รูปที่ 4.15 แสดงโครงสร้างจุลภาคของซิลเวอร์ทั้งสเตรตที่สังเคราะห์ได้จากวิธีการเคมีเชิงกลที่กำลังขยาย 5,000 เท่า โดยการให้แรงเชิงกลเป็นเวลาต่างกันว่าเวลา a) 1 นาที b) 30 นาที c) 60 นาที และ d) 120 นาที

จากรูป 4.15 แสดงโครงสร้างจุลภาคของซิลเวอร์ทั้งสเตรตที่สังเคราะห์จากวิธีการเคมีเชิงกล โดยทำการให้แรงเชิงกลเป็นเวลาต่างกัน พบว่าซิลเวอร์ทั้งสเตรตที่สังเคราะห์ได้มีขนาดอนุภาคเล็กอยู่ในระดับไมโครเมตร มีลักษณะรูปร่างคล้ายแท่ง (Rod like) อนุภาคบางส่วนมีการเกาะกลุ่มกัน จากการคำนวณขนาดอนุภาคที่ให้แรงเชิงกลที่เวลาต่างกันคือที่เวลา 1 30 60 และ 120 นาที ได้ขนาดอนุภาคที่มีความกว้างประมาณ  $0.29 \pm 0.06$   $0.35 \pm 0.06$   $0.42 \pm 0.06$   $0.42 \pm 0.06$   $\mu\text{m}$  ตามลำดับ และได้ขนาดอนุภาคที่มีความยาวประมาณ  $1.65 \pm 0.16$   $1.94 \pm 0.18$   $2.22 \pm 0.49$  และ  $2.55 \pm 0.44$   $\mu\text{m}$  ตามลำดับ โดยที่เวลาในการให้แรงเชิงกลมากขึ้นจะทำให้ผลึกเกิดการรวมตัว เกาะกลุ่มกันมากขึ้น

เอกสารนี้เป็นเอกสารที่สงวนไว้สำหรับการใช้งานเพื่อการศึกษาเท่านั้น เมื่อนุญาตให้นำไปใช้ประโยชน์ด้านการค้าไม่ว่ากรณีใดๆทั้งสิ้น อีกทั้งห้ามมิให้ตัดแปลงเนื้อหา และต้องอ้างอิงถึงเจ้าของเอกสารทุกครั้งที่มีการนำไปใช้

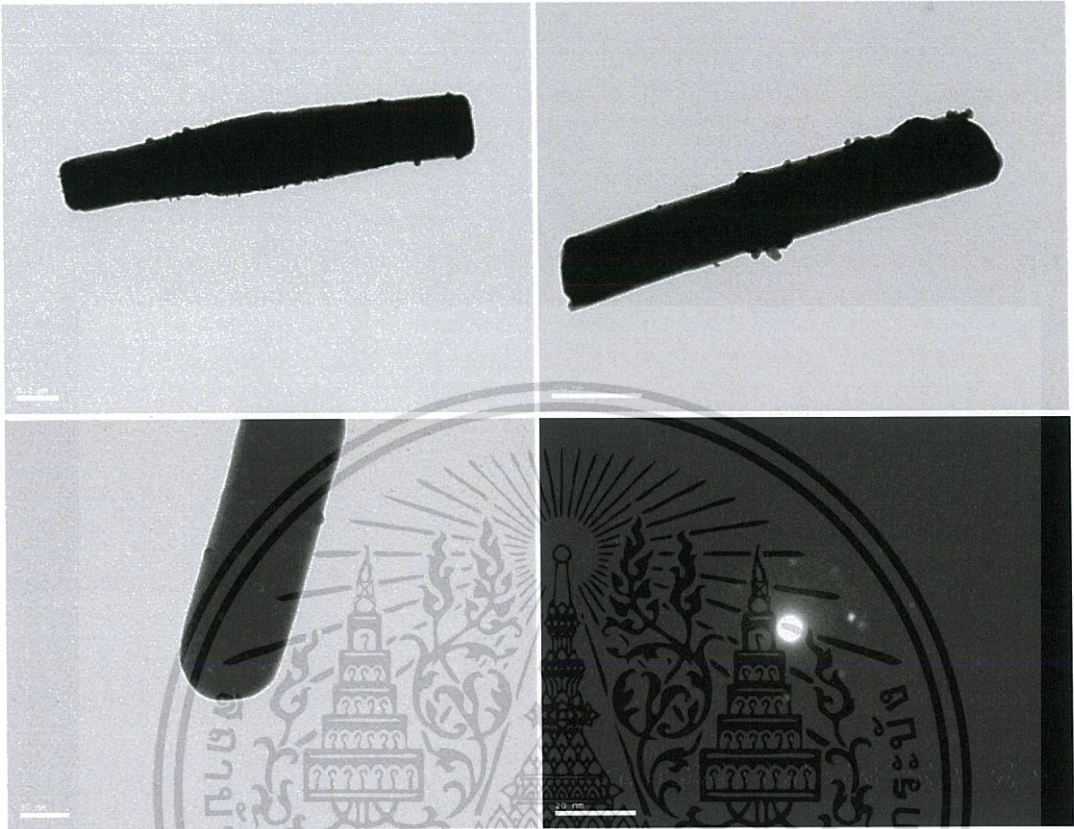
และอนุภาคมีขนาดใหญ่ขึ้น ซึ่งผลที่ได้สอดคล้องกับงานวิจัยของ Lu pan และคณะ [51] Haihang Chen และคณะ[47] และ Rongxian Zhan และคณะ[19] ดังแสดงในตารางที่ 4.7

ตารางที่ 4.7 เปรียบเทียบขนาดและรูปร่างของซิลเวอร์ทังสเตตจากงานวิจัยอื่นกับวิธีเคมีเชิงกล

วิธีการสังเคราะห์	รูปร่างอนุภาค	ขนาดอนุภาค		อ้างอิง
		ความกว้าง ( $\mu\text{m}$ )	ความยาว ( $\mu\text{m}$ )	
เคมีเชิงกล (ให้แรงเชิงกล 1 นาที)	คล้ายแท่ง	$0.29\pm 0.06$	$1.65\pm 0.16$	[งานวิจัยนี้]
เคมีเชิงกล (ให้แรงเชิงกล 30 นาที)	คล้ายแท่ง	$0.35\pm 0.06$	$1.94\pm 0.18$	[งานวิจัยนี้]
เคมีเชิงกล (ให้แรงเชิงกล 60 นาที)	คล้ายแท่ง	$0.42\pm 0.06$	$2.22\pm 0.49$	[งานวิจัยนี้]
เคมีเชิงกล (ให้แรงเชิงกล 120 นาที)	คล้ายแท่ง	$0.42\pm 0.06$	$2.55\pm 0.44$	[งานวิจัยนี้]
การตกตะกอนของ $\text{Ag}_2\text{WO}_4$	กระสวย	-	-	[51]
การตกตะกอนของ $\text{Ag}_2\text{WO}_4$	คล้ายแท่ง	0.56	1.18	[47]
ไฮโดรเทอร์มอลของ $\text{Ag}_2\text{WO}_4$	คล้ายแท่ง	60-100 nm	200-600 nm	[19]

เอกสารนี้เป็นเอกสารที่สงวนไว้สำหรับการใช้งานเพื่อการศึกษาเท่านั้น ไม่อนุญาตให้นำไปใช้ประโยชน์ด้านการค้า ไม่ว่าจะกรณีใดๆทั้งสิ้น อีกทั้งห้ามมิให้ตัดแปลงเนื้อหา และต้องอ้างอิงถึงเจ้าของเอกสารทุกครั้งที่มีการนำไปใช้

#### 4.2.7 การตรวจสอบสัณฐานวิทยาโดยใช้กล้องจุลทรรศน์อิเล็กตรอนแบบส่องผ่าน (Transmission Electron Microscope; TEM) ของซิลเวอร์ทังสเตต



รูปที่ 4.16 แสดงโครงสร้างจุลภาคของซิลเวอร์ทังสเตตที่สังเคราะห์ได้จากวิธีการเคมีเชิงกล โดยการให้แรงเชิงกลเป็นเวลา 1 นาที

จากรูป 4.16 แสดงโครงสร้างจุลภาคของซิลเวอร์ทังสเตตที่สังเคราะห์จากวิธีการเคมีเชิงกล โดยทำการให้แรงเชิงกลเป็นเวลา 1 นาที พบว่าซิลเวอร์ทังสเตตมีขนาดอนุภาคขนาดเล็กในระดับไมโครเมตร มีขนาดอนุภาคที่มีความกว้างประมาณ  $0.37 \mu\text{m}$  และมีขนาดอนุภาคที่มีความยาวประมาณ  $1.98 \mu\text{m}$  เป็นผลึกเดี่ยว มีลักษณะรูปร่างคล้ายแท่ง (Rod like) ซึ่งผลที่ได้สอดคล้องกับผลที่ได้จากกล้องจุลทรรศน์แบบส่องกราด

## สรุปผลการทดลองและข้อเสนอแนะ

## 5.1 สรุปผลการทดลอง

งานวิจัยนี้ได้สังเคราะห์แบเรียมทังสเตต ( $BaWO_4$ ) และซิลเวอร์ทังสเตต ( $Ag_2WO_4$ ) จากกระบวนการเคมีเชิงกล โดยศึกษาผลของการบดที่ระยะเวลาต่าง ๆ กัน จากนั้นนำไปวิเคราะห์ด้วยเทคนิคต่าง ๆ ดังนี้

1. ผลจากการตรวจสอบหาโครงสร้างผลึกด้วยเทคนิคการเลี้ยวเบนของรังสีเอกซ์ (XRD) เมื่อเปรียบเทียบกับข้อมูลมาตรฐาน ICDD No.85-0588 ซึ่งพบว่าแบเรียมทังสเตตที่สังเคราะห์ได้มีโครงสร้างผลึกแบบเทตระโกนอลซีไลต์ (Tetragonal sheelite structure) และตรวจสอบหาโครงสร้างผลึกของซิลเวอร์ทังสเตต เปรียบเทียบกับข้อมูลมาตรฐาน ICDD No.34-0061 พบว่าซิลเวอร์ทังสเตตที่สังเคราะห์ได้มีโครงสร้างผลึกแบบออโทโรมบิก ชนิดแอลฟาซิลเวอร์ทังสเตต และพบว่ามีเฟสแปลกปลอมของซิลเวอร์ทังสเตนออกไซด์เมื่อเทียบกับข้อมูลมาตรฐาน ICDD No.32-1030

2. ผลจากการตรวจสอบหาหมู่ฟังก์ชันของสารอินทรีย์และสารอินทรีย์ด้วยเครื่องฟูเรียรทรานส์ฟอร์มอินฟราเรดสเปกโตรมิเตอร์ (Fourier transform infrared spectrometer; FTIR) ของผงแบเรียมทังสเตตพบพีคการสั่นแบบยืดหดของพันธะในโมเลกุล ของการสั่นแบบไม่สมมาตรระหว่างอะตอมของทังสเตตกับอะตอมของออกซิเจนในโมเลกุลของ ( $WO_4^{2-}$ ) ที่มีการดูดกลืนที่เลขคลื่นประมาณ  $819\text{ cm}^{-1}$  และยังพบการสั่นแบบยืดหดและการสั่นแบบงอระหว่างอะตอมของไฮโดรเจนกับออกซิเจน ที่เลขคลื่นประมาณ  $1620\text{ cm}^{-1}$  และ  $3420\text{ cm}^{-1}$  ตามลำดับ ส่วนผลจากการตรวจสอบหาหมู่ฟังก์ชันของสารอินทรีย์และสารอินทรีย์ด้วยเครื่องฟูเรียรทรานส์ฟอร์มอินฟราเรดสเปกโตรมิเตอร์ของผงซิลเวอร์ทังสเตตพบพีคการสั่นแบบยืดหดของพันธะในโมเลกุล ของการสั่นแบบไม่สมมาตรระหว่างอะตอมของทังสเตตกับอะตอมของออกซิเจนในโมเลกุลของ ( $WO_4^{2-}$ ) ที่มีการดูดกลืนที่เลขคลื่นประมาณ  $832\text{ cm}^{-1}$  และยังพบการสั่นแบบยืดหดและการสั่นแบบงอระหว่างอะตอมของไฮโดรเจนกับออกซิเจน ที่เลขคลื่นประมาณ  $1646\text{ cm}^{-1}$  และ  $3394\text{ cm}^{-1}$  ตามลำดับ

3. ผลจากการตรวจสอบการกระเจิงของโมเลกุลด้วยเครื่องรามานสเปกโตรโฟโตมิเตอร์ (Raman spectrophotometer) ของแบเรียมทังสเตตพบพีคทั้งหมด 6 พีคคือ  $A_{1g}$ ,  $A_{2g}$ ,  $B_{4g}$ ,  $E_{4g}$ ,  $E_{5g}$ ,  $B_{3g}$  ที่เลขคลื่นประมาณ 927, 333, 346, 355, 796 และ  $833\text{ cm}^{-1}$  ตามลำดับ ซึ่งเป็นการสั่นแบบยืดหดระหว่างอะตอมทั้งสแตนและอะตอมออกซิเจนที่มีโครงสร้างเป็นเทตระฮีดรอล และผลจากการตรวจสอบการกระเจิงของโมเลกุลด้วยเครื่องรามานสเปกโตรโฟโตมิเตอร์ของซิลเวอร์ทังสเตตพบโหมดการสั่น 2 แบบคือโหมดการสั่นภายในและโหมดการสั่นภายนอกโดยโหมดการสั่นที่เกิดขึ้นในช่วงความยาวคลื่น  $100\text{-}500\text{ cm}^{-1}$  เป็นโหมดการสั่นภายนอก และโหมดการสั่นที่เกิดขึ้นในช่วงความยาวคลื่น  $500\text{-}1000\text{ cm}^{-1}$  เป็นโหมดการสั่นภายในของโมเลกุลของทังสเตต นอกจากนี้ยังพบ

เอกสารนี้เป็นเอกสารที่สงวนไว้สำหรับการใช้งานเพื่อการศึกษาเท่านั้น ไม่อนุญาตให้นำไปใช้ประโยชน์ด้านการค้าไม่ว่ากรณีใดๆทั้งสิ้น อีกทั้งห้ามมิให้ตัดแปลงเนื้อหา และต้องอ้างอิงถึงเจ้าของเอกสารทุกครั้งที่มีการนำไปใช้

โหมตการสั้นของกลุ่มไนเตรตได้แก่ โหมตการสั้น  $B_{1g}$  ที่เลขคลื่น  $709\text{ cm}^{-1}$  เป็นการสั้นในระนาบเดียวกันและโหมตการสั้น  $B_{2g}$  ที่เลขคลื่น  $802\text{ cm}^{-1}$  เป็นการสั้นแบบต่างระนาบกัน

4. ผลจากการตรวจวัดค่าการดูดกลืนแสงด้วยเครื่องอัลตราไวโอเลตวิสิเบิลสเปกโทรมิเตอร์ (Ultraviolet-Visible Spectrometer) ของแบเรียมทั้งสเตรตพบว่าค่าของแถบช่องว่างพลังงานมีค่า 5.66, 5.57, 5.67, 5.55, 5.55, 5.65, 5.70 และ 5.53 eV ตามระยะเวลาในการให้แรงเชิงกลที่เวลา 1, 3, 5, 10, 15, 30, 60 และ 120 นาทีตามลำดับ และผลจากการตรวจวัดค่าการดูดกลืนแสงด้วยเครื่องอัลตราไวโอเลตวิสิเบิลสเปกโทรมิเตอร์ของซิลเวอร์ทั้งสเตรตที่สังเคราะห์ด้วยวิธีเคมีเชิงกลพบค่าของแถบช่องว่างพลังงานมีค่า 5.54, 5.60, 5.42, 5.60, 5.30, 5.41, 5.07 และ 5.84 eV ตามระยะเวลาในการให้แรงเชิงกลที่เวลา 1, 3, 5, 10, 15, 30, 60 และ 120 นาที ตามลำดับ

5. ผลจากการตรวจสอบสมบัติการคายแสงด้วยเครื่องสเปกโทรฟลูออโรมิเตอร์ (Spectrofluorometer) พบว่าผงแบเรียมทั้งสเตรตที่สังเคราะห์จากการใช้เวลาในการให้แรงเชิงกล 1 นาที ให้ความเข้มของการคายแสงที่สูงกว่าเวลาที่ใช้ในการให้แรงเชิงกล 15 และ 120 นาที ซึ่งแบเรียมทั้งสเตรตที่สังเคราะห์ได้ให้การคายแสงในช่วงสีฟ้า ที่มีความยาวคลื่น  $426\text{ nm}$  ส่วนซิลเวอร์ทั้งสเตรตที่สังเคราะห์จากการใช้เวลาในการให้แรงเชิงกล 120 นาที ให้ความเข้มของการคายแสงที่สูงกว่าเวลาที่ใช้ในการให้แรงเชิงกล 1 และ 15 นาที ซึ่งซิลเวอร์ทั้งสเตรตที่สังเคราะห์ได้ให้การคายแสงในช่วงสีฟ้า ที่มีความยาวคลื่น  $418\text{ nm}$

6. ผลจากการตรวจสอบสัณฐานวิทยาของสารด้วยกล้องจุลทรรศน์อิเล็กตรอนแบบส่องกราด (Scanning electron microscope; SEM) พบว่าแบเรียมทั้งสเตรตที่สังเคราะห์ด้วยวิธีการเคมีเชิงกลมีลักษณะรูปร่างแบบกระสวย เวลาที่ใช้ในการให้แรงเชิงกล 5 นาที จะมีขนาดอนุภาคที่ใหญ่ที่สุด มีรูปร่างเป็นกระสวยที่สมบูรณ์ ไม่เกิดการแตกหักของอนุภาค เนื่องจากที่เวลา 1 และ 3 นาที อนุภาคมีการเจริญเติบโตที่ยังไม่สมบูรณ์ และเมื่อใช้เวลาในการให้แรงเชิงกลนานขึ้นที่เวลา 15, 30, 60 และ 120 นาที อนุภาคเกิดการแตกออก และเกาะกลุ่มกัน ส่วนซิลเวอร์ทั้งสเตรตที่สังเคราะห์ด้วยวิธีการเคมีเชิงกลมีลักษณะรูปร่างแบบทรงกระบอก (rod like) พบว่าที่เวลา 1 นาที อนุภาคมีรูปร่างเป็นกระสวยที่สมบูรณ์ เนื่องจากเมื่อใช้เวลาการให้แรงเชิงกลนานขึ้นที่เวลา 30, 60 และ 120 นาที อนุภาคบางส่วนเกิดการแตก ทำให้อนุภาคเกิดการเกาะกลุ่ม และเติบโตขึ้น

7. ผลจากการตรวจสอบสัณฐานวิทยาด้วยกล้องจุลทรรศน์อิเล็กตรอนแบบส่องผ่าน (Transmission electron microscope; TEM) พบว่าผงแบเรียมทั้งสเตรตที่สังเคราะห์จากการใช้เวลาในการให้แรงเชิงกล 5 นาที มีรูปร่างเป็นกระสวย ซึ่งผลที่ได้สอดคล้องกับผลที่ได้จากผลจากการตรวจสอบสัณฐานวิทยาของสารด้วยกล้องจุลทรรศน์อิเล็กตรอนแบบส่องกราด ส่วนซิลเวอร์ทั้งสเตรตที่สังเคราะห์จากการใช้เวลาในการให้แรงเชิงกล 1 นาที มีรูปร่างเป็นทรงกระบอก ซึ่งผลที่ได้สอดคล้องกับผลที่ได้จากผลจากการตรวจสอบสัณฐานวิทยาของสารด้วยกล้องจุลทรรศน์อิเล็กตรอนแบบส่องกราด

เอกสารนี้เป็นเอกสารที่สงวนไว้สำหรับการใช้งานเพื่อการศึกษาเท่านั้น ไม่อนุญาตให้นำไปใช้ประโยชน์ด้านการค้า ไม่ว่าจะกรณีใดๆทั้งสิ้น อีกทั้งห้ามมิให้ตัดแปลงเนื้อหา และต้องอ้างอิงถึงเจ้าของเอกสารทุกครั้งที่มีการนำไปใช้

ตารางที่ 5.1 แสดงการเปรียบเทียบวิธีการสังเคราะห์ต่าง ๆ กับวิธีการเคมีเชิงกล

หัวข้อ \ วิธี	เคมีเชิงกล	การตกตะกอน	ไฮโดรเทอร์มอล	โซโนเคมี
ความซับซ้อนของวิธี	ง่าย	ง่าย	ยาก	ง่าย
พลังงานที่ใช้	ต่ำ	ต่ำ	สูง	สูง
เวลาที่ใช้	น้อย	มาก	น้อย	น้อย
ความบริสุทธิ์	ปานกลาง	ต่ำ	สูง	สูง
ขนาดอนุภาค	ไมโครเมตร	ไมโครเมตร	นาโนเมตร	นาโนเมตร

## 5.2 ข้อเสนอแนะ

1. เนื่องจากสารตั้งต้นที่ใช้มีสารประกอบไนเตรตทำให้มีไนเตรตหลงเหลืออยู่ในสารที่สังเคราะห์ได้ จึงทำให้สารที่สังเคราะห์ได้ไม่บริสุทธิ์ ดังนั้นในงานวิจัยครั้งต่อไปควรใช้สารตั้งต้นที่ไม่มีส่วนประกอบของไนเตรต

2. เนื่องจากในงานวิจัยนี้ได้สังเคราะห์โลหะทั้งสแตตที่มีตัวทำละลายคือน้ำกลั่นเพียงชนิดเดียว ดังนั้นในงานวิจัยครั้งต่อไปควรศึกษาตัวทำละลายชนิดอื่นเพื่อศึกษาสัมพันธภาพของโลหะทั้งสแตต



เอกสารนี้เป็นเอกสารที่สงวนไว้สำหรับการใช้งานเพื่อการศึกษาเท่านั้น ไม่อนุญาตให้นำไปใช้ประโยชน์ด้านการค้า  
ไม่ว่ากรณีใดๆทั้งสิ้น อีกทั้งห้ามมิให้ดัดแปลงเนื้อหา และต้องอ้างอิงถึงเจ้าของเอกสารทุกครั้งที่มีการนำไปใช้

- [1] P.Anukorn, T.Somchai, T.Titipun. 2008. Characterization of  $\text{MeWO}_4$  (Me= Ba, Sr, Ca) nanocrystallines prepared by sonochemical method. Applied Surface Science. 254, 7581-7582
- [2] E. Longo, J.A. Varela, J.C. Sczancoski, J.W.M. Espinosa, L.S. Cavalacante, P.S. Pizani. 2009. Photoluminescence behavior of  $\text{BaWO}_4$  powders processed in microwave-hydrothermal. Journal of Alloys and com-pounds. 474, 195-200
- [3] G. Song, G. Zibao, L. Xiaoxia, Q. Zengming, Y. Fenghua, Y. Yong, Y. Yongkui, Z. Baibin. 2011. Controlled synthesis of  $\text{BaWO}_4$  hierarchical nano structures by exploiting oriented attachment in the solution of  $\text{H}_2\text{O}$  and  $\text{C}_2\text{H}_2\text{OH}$ . Super-lattices and Microstructures. 49, 599-607
- [4] นุชนภา ตั้งบริบูรณ์. 2556. เซรามิกวิศวกรรม. กรุงเทพมหานคร : มหาวิทยาลัยเกษตรศาสตร์
- [5] [Online]. Available : [https://www.researchgate.net/figure/282605467\\_fig1\\_Fig-1-AWO-4-structures-A-Monoclinic-wolframite-P2c-and-B-tetragonal-scheelite](https://www.researchgate.net/figure/282605467_fig1_Fig-1-AWO-4-structures-A-Monoclinic-wolframite-P2c-and-B-tetragonal-scheelite)
- [6] C.P. de Sousa, E. Longo, G.E. Luz, H.C. Alves, I.C. Nogueira, J. Andrés, J.C. Sczancoski, L. Gracia, L.P.S. Santos, L.S. Cavalcante, M.T. Fabbro and R.A. Roca. 2015. Facet-dependent photocatalytic and antibacterial properties of  $\alpha\text{-Ag}_2\text{WO}_4$  crystals: combining experimental data and the oretical insights. Catal. Sci. Technol. 4091-4107
- [7] [Online]. Available : <http://greman.univ-tours.fr/axis-2/optical-and-raman-spectros-copy-of-functional-and-strongly-correlated-materials-336875.kjsp>
- [8] C. Saliby, E. Longo, F.A. La Porta, J. Andrés, L. Gracia, L.R. Rios, M.T. Fabbro, P.S. Santos and S.L. Máximo. 2015. Identifying and rationalizing the morphological, structural, and optical properties of  $\text{Ag}_2\text{MoO}_4$  microcrystals, and the formation process of Ag nanoparticles on their surfaces: combining experimental data and first-principles calculations. Sci. Technol. Adv. Master. 16, 065002
- [9] ดุสิตี เครื่องาม. 2535. โพลีคริสตัลไลน์. กรุงเทพมหานคร : ซีเอ็ดดูเคชั่น จำกัด
- [10] [online]. Available : <https://nirajchawake.wordpress.com>
- [11] ดำรงค์ศักดิ์ มณีพงษ์สวัสดิ์. 2533. หลักการของเลเซอร์. กรุงเทพมหานคร : มหาวิทยาลัยรามคำแหง

เอกสารนี้เป็นเอกสารที่สงวนไว้สำหรับการใช้งานเพื่อการศึกษาเท่านั้น ไม่อนุญาตให้นำไปใช้ประโยชน์ด้านการค้า  
ไม่ว่ากรณีใดๆทั้งสิ้น อีกทั้งห้ามมิให้ตัดแปลงเนื้อหา และต้องอ้างอิงถึงเจ้าของเอกสารทุกครั้งที่มีการนำไปใช้

- [12] [Online]. Available : <http://www.rmutphysics.com/charud/oldnews/181/Laser-Introduction.htm>
- [13] [online]. Available : <http://www.vcharkarn.com/varticle/38409>
- [14] M. A. Laughton. 2003. *Electrical Engineer's Reference Book*. Sixteenth Edition. 21-12
- [15] ศุภมาส วิรุณจิตตร. 2552. การเตรียมและศึกษาสมบัติทางไฟฟ้าของเซรามิก (1-X)  $PbZrO_3 - XPb(Ni_{1/3}Nb_{2/3})O_3$ . วิทยานิพนธ์วิทยาศาสตรบัณฑิต สาขาวิชาเคมี คณะวิทยาศาสตร์ สถาบันเทคโนโลยีพระจอมเกล้าเจ้าคุณทหารลาดกระบัง.
- [16] Purnendu Parhi, T.N. Karthik, V. Manivannan. 2008. Synthesis and characterization of metal tungstates by novel solid-state metathetic approach. *Journal of Alloys and Compounds*. 465, 380–386
- [17] พัชราภรณ์ เจตศรีสุภาพ. 2554. การสังเคราะห์ไอออนออกไซด์ขนาดอนุภาคนาโนด้วยวิธีการตกตะกอน. วิทยานิพนธ์วิทยาศาสตรบัณฑิต สาขาวิชาเคมีอุตสาหกรรม-เครื่องมือวิเคราะห์ คณะวิทยาศาสตร์ สถาบันเทคโนโลยีพระจอมเกล้าเจ้าคุณทหารลาดกระบัง.
- [18] จิตพันธ์ ทองเต็ม. 2557. การสังเคราะห์วัสดุนาโนโดยกระบวนการไฮโดรเทอร์มอล. เชียงใหม่: ศูนย์บริการวิทยาศาสตร์และเทคโนโลยี คณะวิทยาศาสตร์ มหาวิทยาลัยเชียงใหม่
- [19] Rongxian Zhang, Haiying Cui, Xiaofei Yang, Hua Tang, Heng Liu and Yang Li. 2012. Facile hydrothermal synthesis and photocatalytic activity of rod-like nanosized silver tungstate. *Micro & Nano Letters*. 1285–1288
- [20] สุจิตรา วงศ์เกษมจิตต์. 2552. วิทยาศาสตร์และเทคโนโลยี. กรุงเทพมหานคร : จุฬารักษ์มหาวิทยาลัย
- [21] ศรสวรรค์ ฤชกรดำรง. 2556. การสังเคราะห์อนุภาคนาโนไททานเนียมไดออกไซด์ด้วยวิธีการไฮโดรเทอร์มอลและการตรึงบนผ้าฝ้าย. วิทยานิพนธ์วิทยาศาสตรบัณฑิต สาขาวิชาเคมีอุตสาหกรรม คณะวิทยาศาสตร์ สถาบันเทคโนโลยีพระจอมเกล้าเจ้าคุณทหารลาดกระบัง.
- [22] จิฉัมพร ส้มหมื่นเม้า. 2556. การสังเคราะห์แคลเซียมคอปเปอร์ไททานเตดโดยวิธีการตกตะกอนและวิธีโซโนเคมี. วิทยานิพนธ์วิทยาศาสตรบัณฑิต สาขาวิชาเคมีอุตสาหกรรม คณะวิทยาศาสตร์ สถาบันเทคโนโลยีพระจอมเกล้าเจ้าคุณทหารลาดกระบัง.
- [23] Jira Janbua, Jitkasem Mayamae, Supamas Wirunchit, Rattana Baitahea and Naratip Vittayakorn. 2015. Directed synthesis, growth process and optical properties of monodispersed  $CaWO_4$  microspheres via a sonochemical route. *The Royal Society of Chemistry*. 5, 19893–19899

เอกสารนี้เป็นเอกสารที่สงวนไว้สำหรับการใช้งานเพื่อการศึกษาเท่านั้น ไม่อนุญาตให้นำไปใช้ประโยชน์ด้านการค้า ไม่ว่าจะกรณีใดๆทั้งสิ้น อีกทั้งห้ามมิให้ตัดแปลงเนื้อหา และต้องอ้างอิงถึงเจ้าของเอกสารทุกครั้งที่มีการนำไปใช้

- [24] นพพร สิริสายพิรุณ. 2554. การสังเคราะห์อนุภาคแม่เหล็กระดับนาโนของโคบอลต์เฟอร์ไรต์ด้วยวิธีโซโนเคมีและวิธีการตกตะกอนร่วม. วิทยานิพนธ์วิทยาศาสตร์บัณฑิต สาขาวิชาเคมีอุตสาหกรรม-เครื่องมือวิเคราะห์ คณะวิทยาศาสตร์ สถาบันเทคโนโลยีพระจอมเกล้าเจ้าคุณทหารลาดกระบัง.
- [25] C. Shivakumara, Rohit Saraf, Sukanti Behera, N. Dhananjaya and H. Nagabhushana. 2015. Scheelite-type  $MWO_4$  (M = Ca, Sr, and Ba) nanophosphors: Facile synthesis, structural characterization, photoluminescence, and photocatalytic properties. *Materials Research Bulletin*. 61, 422–432
- [26] ศันสนีย์ รักไทยเจริญชีพ. 2557. การวัดขนาดอนุภาคนาโนเมตรด้วยเทคนิค X-ray Diffraction. *สารสารกรมวิทยาศาสตร์บริการ*. 197, 34-35
- [27] นิพนธ์ ตั้งคณานุรักษ์ และ คณิตา ตั้งคณานุรักษ์. 2547. สเปกโทรสโกปีด้านการวิเคราะห์. กรุงเทพมหานคร : สำนักพิมพ์มหาวิทยาลัยเกษตรศาสตร์
- [28] [Online]. Available : <http://mmrc.caltech.edu/FTIR/FTIRintro.pdf>
- [29] [Online]. Available : <http://science.kmutt.ac.th/sic/index.php/chemistry/23-2013-09-04-02-40-21>
- [30] วิจิตร รัตนพานี. 2539. สเปกโตรสโกปีทางเคมีอินทรีย์. พิมพ์ครั้งที่ 1. กรุงเทพมหานคร : ห้างหุ้นส่วนจำกัด สำนักพิมพ์ประกายพริ้ง
- [31] [Online]. Available : [https://en.wikipedia.org/wiki/Raman\\_spectroscopy#/Media/File:Raman\\_energy\\_levels.svg](https://en.wikipedia.org/wiki/Raman_spectroscopy#/Media/File:Raman_energy_levels.svg)
- [32] ธรณินทร์ ไชยเรืองศรี. 2554. จุลทรรศน์ศาสตร์อิเล็กตรอนแบบส่องผ่านพื้นฐานสำหรับโลหะวิทยาและวัสดุศาสตร์. พิมพ์ครั้งที่1. เชียงใหม่ : ภัทรพีเพรส
- [33] [Online]. Available : [http://www.il.mahidol.ac.th/e-media/color-light/Page4\\_5.htm](http://www.il.mahidol.ac.th/e-media/color-light/Page4_5.htm)
- [34] [Online]. Available : <https://www.quora.com/What-is-the-Jablonski-diagram>
- [35] เย็นททัย แน่นหนา. 2549. สเปกโทรสโกปีสำหรับเคมีอินทรีย์. พิมพ์ครั้งที่1. กรุงเทพมหานคร : สำนักพิมพ์แห่งจุฬาลงกรณ์มหาวิทยาลัย
- [36] [Online]. Available : [http://faculty.sdmiramar.edu/fgarces/LabMatters/Instruments/UV\\_Vis/Cary50.htm](http://faculty.sdmiramar.edu/fgarces/LabMatters/Instruments/UV_Vis/Cary50.htm)
- [37] Anukorn Phuruangrat, Titipun Thongtem, Somchai Thongtem. 2012. Precipitate synthesis of  $BaMoO_4$  and  $BaWO_4$  nanoparticles at room temperature and their photoluminescence properties. *Superlattices and Microstructures*. 52, 78–83

เอกสารนี้เป็นเอกสารที่สงวนไว้สำหรับการใช้งานเพื่อการศึกษาเท่านั้น ไม่อนุญาตให้นำไปใช้ประโยชน์ด้านการค้า ไม่ว่าจะกรณีใดๆทั้งสิ้น อีกทั้งห้ามมิให้ตัดแปลงเนื้อหา และต้องอ้างอิงถึงเจ้าของเอกสารทุกครั้งที่มีการนำไปใช้

- [38] M.D.P. Silva, R.F. Gonçalves, I.C. Nogueira, V.M. Longo, L. Mondoni, M.G. Moron, Y.V. Santanae, E. Longo. 2016. Microwave-assisted hydrothermal synthesis of  $\text{Ag}_2(\text{W}_{1-x}\text{Mo}_x)\text{O}_4$  heterostructures: Nucleation of Ag, morphology and photoluminescence properties. *Spectrochimica Acta Part A: Molecular and Biomolecular Spectroscopy*. 153, 428–435
- [39] M. Mohamed Jaffer Sadiq, A. Samson Nesaraj. 2015. Soft chemical synthesis and characterization of  $\text{BaWO}_4$  nanoparticles for photocatalytic removal of Rhodamine B present in water sample. *J Nanostruct Chem*. 5, 45–54
- [40] S. Muthamizh, K. Giribabu, R. Suresh, R. Manigandan, S. Munusamy, S. Praveen Kumar and V. Narayanan. Silver tungstate nanoparticles: Characterization and Electrochemical Sensing property. *International Journal of ChemTech Research*, Aug-Sep. 3392-3394
- [41] Jianying Zhu, Hai Fan, Jianchao Sun, Shiyun Ai. Anion-exchange precipitation synthesis of  $\alpha$ - $\text{Ag}_2\text{WO}_4/\text{Zn-Cr}$  layered double hydroxides composite with enhanced visible-light-driven photocatalytic activity. *Separation and Purification Technology*. 120, 134–140
- [42] M. Ait Haddouch, Y. Aharbil, Y. Tamraoui, B. Manoun, P. Lazor, S. Benmokhtar. 2015. Synthesis, X-ray diffraction, Raman spectroscopy and Electronic structure studies of  $(\text{Ba}_{1-x}\text{Sr}_x)\text{WO}_4$  ceramics. *J. Mater. Environ. Sci*. 6, 3403-3415
- [43] Siti Murni, M Zawawi, Rosiyah Yahya, Aziz Hassan, H N M Ekramul Mahmud and Mohammad Noh Daud. 2013. Structural and optical characterization of metal tungstates ( $\text{MWO}_4$ ; M=Ni, Ba, Bi) synthesized by a sucrose-templated method. *Chemistry Central Journal*. 80, 1-10
- [44] Lei Zhang, Jun-Sen Dai, Lin Lian, Yin Liu. 2013. Dumbbell-like  $\text{BaWO}_4$  microstructure: Surfactant-free hydrothermal synthesis, growth mechanism and photoluminescence property. *Super lattices and Microstructures*. 54, 87-95
- [45] Yongkui Yin, Fenghua Yang, Yong Yang, Zibao Gan, Zengming Qia, Song Gao, Baibin Zhou, Xiaoxia Li. 2011. Controlled synthesis of  $\text{BaWO}_4$  hierarchical nanostructures by exploiting oriented attachment in the solu-

เอกสารนี้เป็นเอกสารที่สงวนไว้สำหรับการใช้งานเพื่อการศึกษาเท่านั้น ไม่อนุญาตให้นำไปใช้ประโยชน์ด้านการค้า ไม่ว่าจะกรณีใดๆทั้งสิ้น อีกทั้งห้ามมิให้ตัดแปลงเนื้อหา และต้องอ้างอิงถึงเจ้าของเอกสารทุกครั้งที่มีการนำไปใช้

- tion of  $\text{H}_2\text{O}$  and  $\text{C}_2\text{H}_5\text{OH}$ . Super lattices and Microstructures. 49, 599-607
- [46] Xiaomao Wang, Haiyan Xu, Hao Wang, Hui Yan. 2005. Morphology-controlled  $\text{BaWO}_4$  powders via a template-free precipitation technique. Journal of crystal Growth. 284, 254-261
- [47] Haihang Chen, Yiming Xu. 2014. Photoactivity and stability of  $\text{Ag}_2\text{WO}_4$  for organic degradation in aqueous suspensions. Applied Surface Science. 319, 319-323
- [48] Santosh Kumar Gupta, Kathi Sudarshan, Partha Sarathi Ghosh, Saurabh Mukherjee and Ramakant Mahadeo Kadam. 2016. Doping-Induced room Temperature Stabilization of Metastable  $\beta$ - $\text{Ag}_2\text{WO}_4$  and Origin of Visible Emission in  $\alpha$ - and  $\beta$ - $\text{Ag}_2\text{WO}_4$ : Low Temperature Photoluminescence Studies. J. Phys. Chem. C. 120, 7265-7276
- [49] Irene Martina, Rita Wiesinger, Dubravka Jembrih-Simbürger, 2012. Manfred Schreiner. Micro-Raman characterization of silver corrosion product: instrumental set up and reference database. 9, 1-8
- [50] A. Sreedevi, K. P. Priyanka, K. K. Babitha, N. Aloysius Sabu, T. S. Anu and T. Varghese. Chemical synthesis, structural characterization and optical properties of nanophase  $\alpha$ - $\text{Ag}_2\text{WO}_4$ . Indian Journal of Physics. 889-897
- [51] Lu Pan, Li Li, Yonghong Chen. 2013. Synthesis and electrocatalytic properties of micro-sized  $\text{Ag}_2\text{WO}_4$  and nanoscaled  $\text{MWO}_4$  ( $\text{M}=\text{Co}, \text{Mn}$ ). J Sol-Gel Technol. 66, 330-336



ภาคผนวก

เอกสารนี้เป็นเอกสารที่สงวนไว้สำหรับการใช้งานเพื่อการศึกษาเท่านั้น ไม่อนุญาตให้นำไปใช้ประโยชน์ด้านการค้า  
ไม่ว่ากรณีใดๆทั้งสิ้น อีกทั้งห้ามมิให้ดัดแปลงเนื้อหา และต้องอ้างอิงถึงเจ้าของเอกสารทุกครั้งที่มีการนำไปใช้

## ภาคผนวก ก

### การคำนวณหาค่าแลตทิซพารามิเตอร์

การตรวจพิสูจน์เอกลักษณ์ด้วยเทคนิคการเลี้ยวเบนของรังสีเอ็กซ์ สามารถคำนวณค่าแลตทิซพารามิเตอร์โดยใช้กฎของแบรกก์ในการคำนวณ ดังสูตรต่อไปนี้

สูตร 
$$\frac{1}{d^2} = \frac{h^2 + k^2 + l^2}{a^2}$$

- โดยที่ h, k, l = ระนาบของผลึก  
 a = แลตทิซพารามิเตอร์ซึ่งมีโครงสร้างผลึกเป็นลูกบาศก์  
 d = ระยะห่างระหว่างระนาบโดยใช้สมการของ Bragg Law  
 $\lambda$  = ค่าความยาวคลื่นที่มีค่าคงที่เท่ากับ 1.5406 Å  
 n = เลขจำนวนเต็มที่มีค่า เท่ากับ 1

โดยค่า d คำนวณได้จาก

$$d = \frac{n\lambda}{2 \sin\theta}$$

## ภาคผนวก ข

### การคำนวณหาขนาดผลึกของแบเรียมทังสเตตและซิลเวอร์ทังสเตต

การคำนวณหาขนาดอนุภาคของแบเรียมทังสเตตและซิลเวอร์ทังสเตตจะใช้สูตรในการคำนวณจากสมการของเชียร์เลอร์ (Scherrer equation) ดังแสดงในสูตรต่อไปนี้

สูตร

$$D = \frac{k\lambda}{\beta \cos\theta}$$

โดยที่	D	=	ขนาดอนุภาค
	K	=	ค่าคงที่มีค่าเท่ากับ 0.9
	$\lambda$	=	ค่าความยาวคลื่นของรังสีเอ็กซ์ มีค่าเท่ากับ 1.5406 Å
	$\beta$	=	ค่า FWHM ของพีคในมุมเรเดียนที่ $2\theta$
	$\theta$	=	มุมของการเลี้ยวเบน



## ภาคผนวก ค

### วิธีการคำนวณการเตรียมสาร

#### ตัวอย่างการคำนวณ

##### 1. การเตรียม $\text{BaWO}_4$ 5 g

จากงานวิจัย  $\text{Ba}(\text{NO}_3)_2$  0.01 mol ในน้ำปราศจากไอออน 50 ml  
 $\text{Na}_2\text{WO}_4 \cdot 2\text{H}_2\text{O}$  0.01 mol ในน้ำปราศจากไอออน 50 ml

$$\text{- ชั่ง } \text{Ba}(\text{NO}_3)_2 = \frac{5 \text{ g of } \text{BaWO}_4 \times \text{Molecular mass of } \text{Ba}(\text{NO}_3)_2}{\text{Molecular mass of } \text{BaWO}_4}$$

$$= \frac{(5 \text{ g}) \times (261.3368 \text{ g/mol})}{385.1646}$$

$$= 3.3925 \text{ g}$$

$$\text{- ชั่ง } \text{Na}_2\text{WO}_4 \cdot 2\text{H}_2\text{O} = \frac{5 \text{ g of } \text{BaWO}_4 \times \text{Molecular mass of } \text{Na}_2\text{WO}_4 \cdot 2\text{H}_2\text{O}}{\text{Molecular mass of } \text{BaWO}_4}$$

$$= \frac{(5 \text{ g}) \times (329.8476 \text{ g/mol})}{385.1646}$$

$$= 4.2819 \text{ g}$$

ดังนั้น ต้องการชั่งสาร  $\text{Ba}(\text{NO}_3)_2$  เท่ากับ 3.3925 g และ  $\text{Na}_2\text{WO}_4 \cdot 2\text{H}_2\text{O}$  เท่ากับ 4.2819 g ในน้ำปราศจากไอออน 50 ml

##### 1. การเตรียม $\text{Ag}_2\text{WO}_4$ 5 g

จากงานวิจัย  $\text{AgNO}_3$  0.01 mol ในน้ำปราศจากไอออน 50 ml  
 $\text{Na}_2\text{WO}_4 \cdot 2\text{H}_2\text{O}$  0.01 mol ในน้ำปราศจากไอออน 50 ml

$$\text{- ชั่ง } \text{AgNO}_3 = \frac{5 \text{ g of } \text{Ag}_2\text{WO}_4 \times (2 \times \text{Molecular mass of } \text{AgNO}_3)}{\text{Molecular mass of } \text{Ag}_2\text{WO}_4}$$

$$= \frac{(5 \text{ g}) \times (2 \times 339.7462 \text{ g/mol})}{463.5740}$$

$$= 3.6644 \text{ g}$$

$$\text{- ชั่ง } \text{Na}_2\text{WO}_4 \cdot 2\text{H}_2\text{O} = \frac{5 \text{ g of } \text{Ag}_2\text{WO}_4 \times \text{Molecular mass of } \text{Na}_2\text{WO}_4 \cdot 2\text{H}_2\text{O}}{\text{Molecular mass of } \text{Ag}_2\text{WO}_4}$$

$$= \frac{(5 \text{ g}) \times (329.8476 \text{ g/mol})}{463.5740}$$

$$= 3.5576 \text{ g}$$

เอกสารนี้เป็นเอกสารที่สงวนไว้สำหรับการใช้งานเพื่อการศึกษาเท่านั้น ไม่อนุญาตให้นำไปใช้ประโยชน์ด้านการค้า ไม่ว่าจะกรณีใดๆทั้งสิ้น อีกทั้งห้ามมิให้ตัดแปลงเนื้อหา และต้องอ้างอิงถึงเจ้าของเอกสารทุกครั้งที่มีการนำไปใช้

ดังนั้น ต้องการซังสาร  $\text{AgNO}_3$  เท่ากับ 3.6644 g และ  $\text{Na}_2\text{WO}_4 \cdot 2\text{H}_2\text{O}$  เท่ากับ 3.5576 g ในน้ำ  
ปราศจากไอออน 50 ml



เอกสารนี้เป็นเอกสารที่สงวนไว้สำหรับการใช้งานเพื่อการศึกษาเท่านั้น ไม่อนุญาตให้นำไปใช้ประโยชน์ด้านการค้า  
ไม่ว่ากรณีใดๆทั้งสิ้น อีกทั้งห้ามมิให้ดัดแปลงเนื้อหา และต้องอ้างอิงถึงเจ้าของเอกสารทุกครั้งที่มีการนำไปใช้